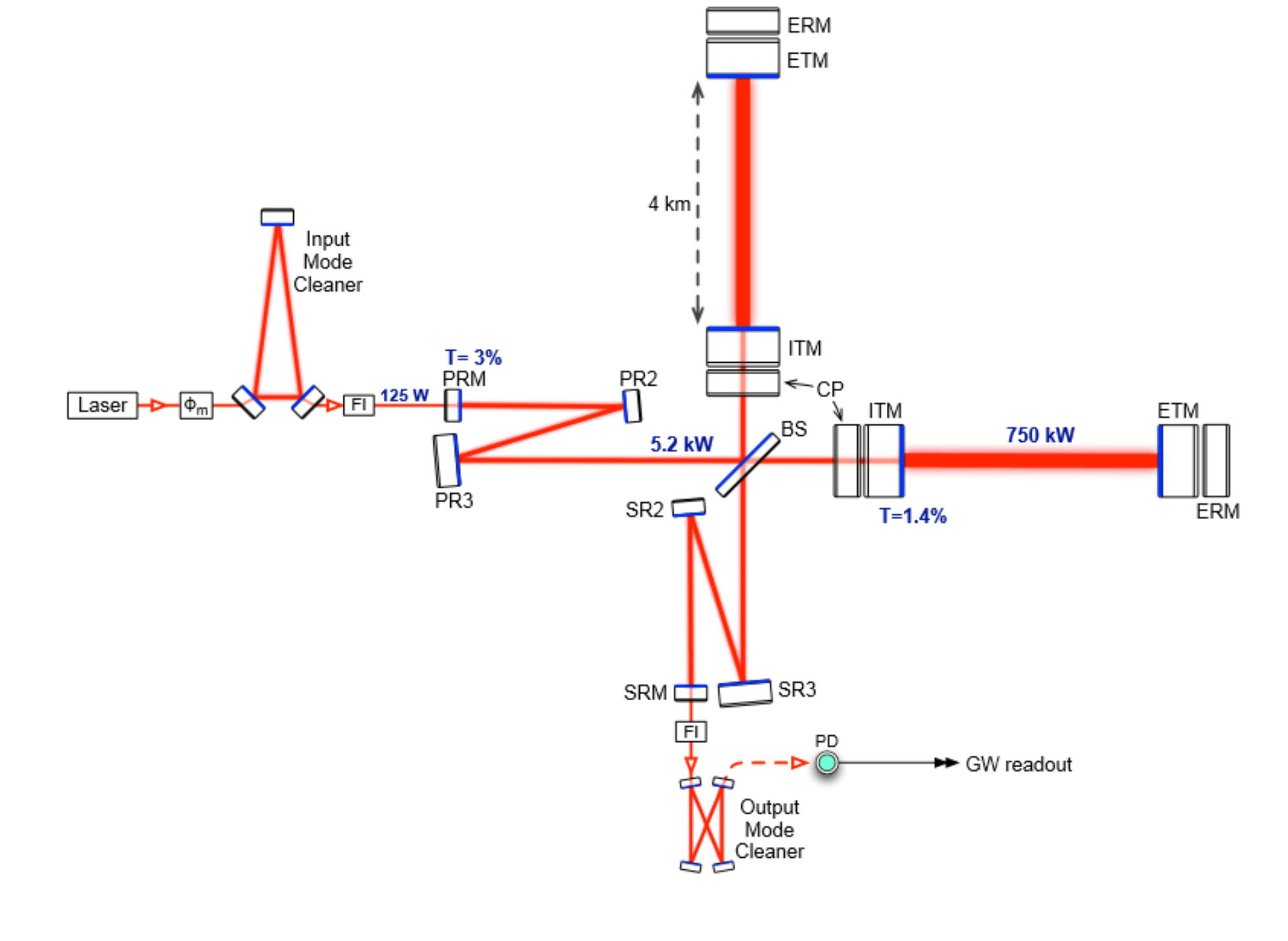
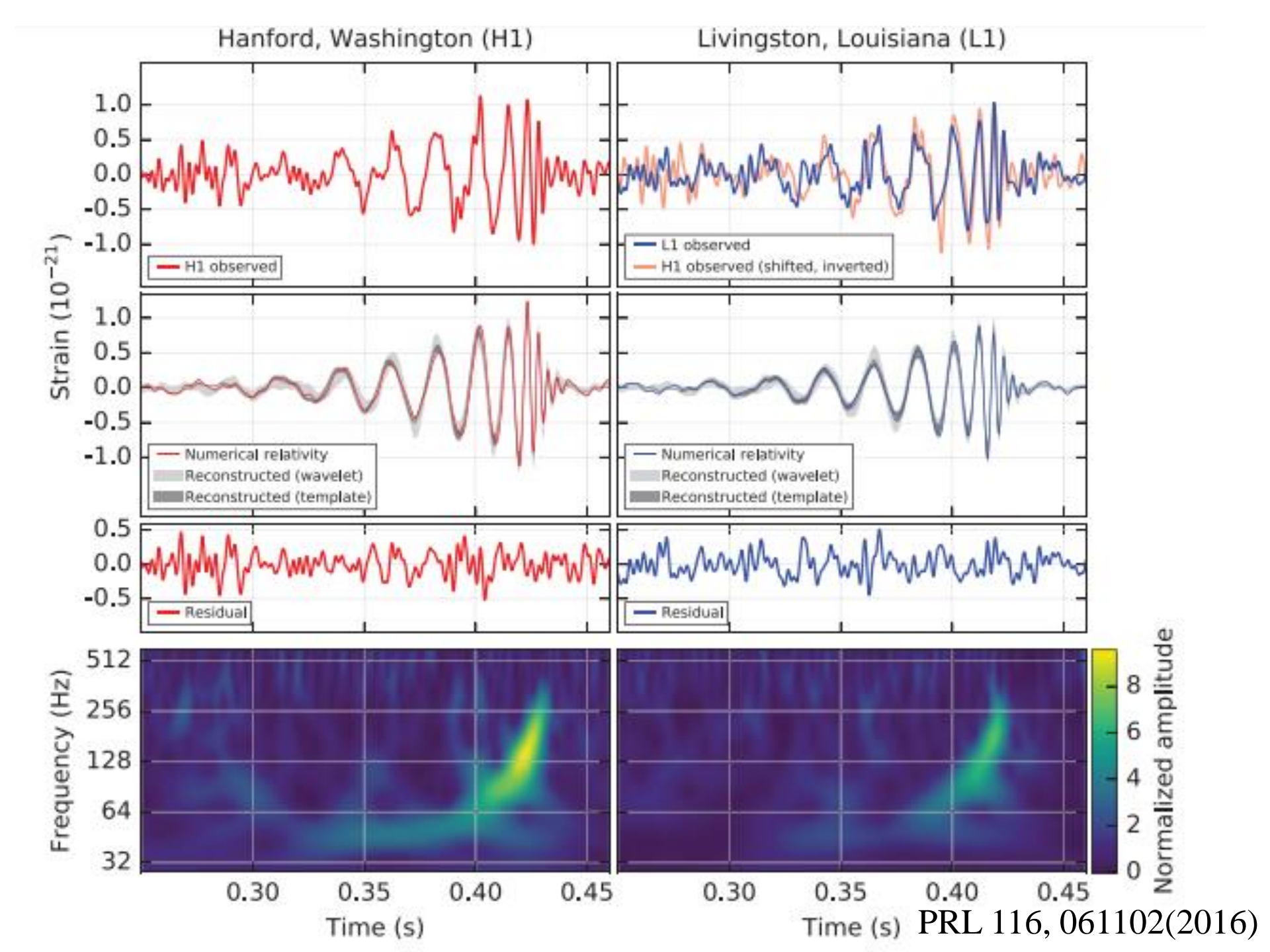
電磁気学3 ガイダンス (電気力学、電磁力学)

# 本日 物理学実験3水曜コースガイダンス

12:50~ @832

BからAへの移動受け付けています



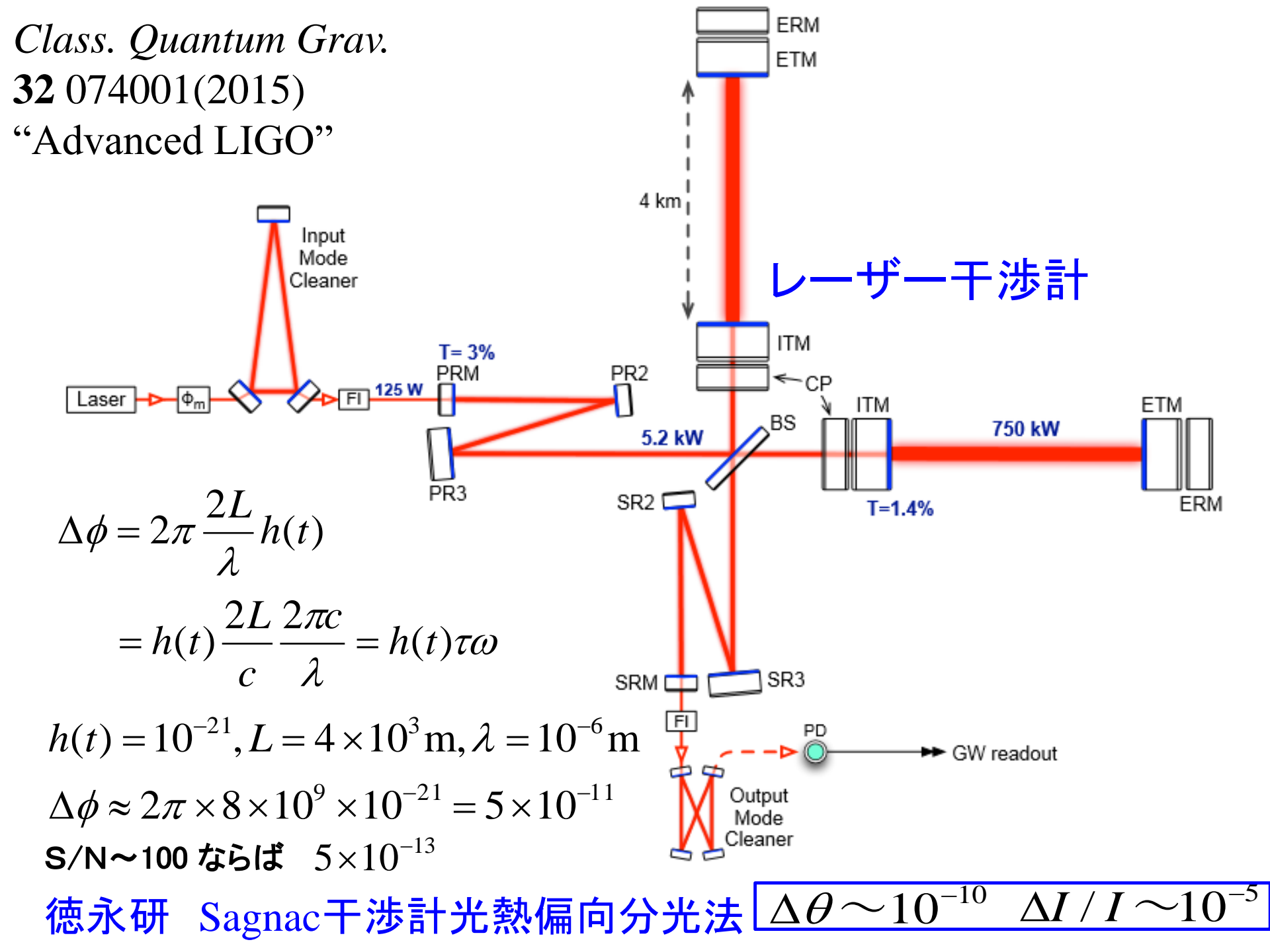


The initial black hole masses are  $36^{+5}_{-4} \, M_{\odot}$  and  $29^{+4}_{-4} \, M_{\odot}$ , and the final black hole mass is  $62^{+4}_{-4} \, M_{\odot}$ , with  $3.0^{+0.5}_{-0.5} \, M_{\odot} c^2$  radiated in gravitational waves.

### h=10-21の時空の歪みを検出するとは

地球-太陽間の距離 約1億5000万キロメートル = 10<sup>11</sup> m に対し、 水素原子の直径10<sup>-10</sup> m = 0.1 nm の変位を検出

> Wavelength of visible light 10<sup>-6</sup> m Atomic diameter 10<sup>-10</sup> m Nuclear diameter 10<sup>-15</sup> m



### LIGO

- 目的
  - Initial LIGO:基本技術の実証、可能なら重力波検出
  - Advanced LIGO: 重力波の初検出
- 現状: Initial LIGOからAdvanced LIGOへの改造中
- 総予算:約1,000億円(Advanced LIGOを含む)
- LIGO Scientific Collaboration
  - 研究機関:約100
  - 研究者:約1,000名

NSFの強力なサポート

重力波検出の原理と世界各国の検出器 by 川村静児

LIGO 德永研干渉計

1000億円 =  $50000 \times 200$ 万円

**Table 1.** Main parameters of the Advanced LIGO interferometers. PRC: power recycling cavity; SRC: signal recycling cavity.

Parameter	Value
Arm cavity length	3994.5 m
Arm cavity finesse	450
Laser type and wavelength	Nd:YAG, $\lambda = 1064 \text{ nm}$
Input power, at PRM	up to 125 W
Beam polarization	linear, horizontal
Test mass material	Fused silica
Test mass size & mass	34cm diam. x 20cm, 40 kg
Beam radius $(1/e^2)$ , ITM / ETM	5.3 cm / 6.2 cm
Radius of curvature, ITM / ETM	1934 m / 2245 m
Input mode cleaner length & finesse	32.9 m (round trip), 500
Recycling cavity lengths, PRC / SRC	57.6 m / 56.0 m

### アインシュタインの業績

光の量子論 量子力学

ブラウン運動の理論 分子の実在

特殊相対性理論原子力、太陽

一般相対性理論 宇宙論、ブラックホール、重力波、GPS

誘導放出の発見

レーザー

レーザー干渉計

レーザー冷却

ボース・アインシュタイン凝縮の予言 1995年に実現、超伝導・超流動

EPRのパラドックス 量子情報

# 3年物理学実験との関連 信号とノイズ X線回折 ホログラフィー マイクロ波の実験 レーザー 固体分光

2010,2011アンケート回答から

電磁波の話(同軸ケーブルや、導波管の話など)は実験(マイクロ波)と関連していて双方の理解に役立ちました。

物理実験3でTEM波、TE波がでてきて、この授業であらかじめ習っていたので役立った。

2014アンケート回答から

物理学実験3とリンクしている内容を扱ったので、理解を深めるのに役立

### 教員への意見:

授業内容自体が非常に分かり辛かった。

内容が多いためか授業のスピードがはやすぎる。

授業スピードが速すぎて全くついていけませんでした。3年間でここま で理解できなかった科目は初めてです。

週1回の授業にしては授業内容のボリュームが重かったように感じました。講義ページに掲載されているガイダンスの資料はとても参考になりました。

物理的解釈、直観的理解を中心とした講義は理解の手助けになった。

配布プリントがよく編集されていてとても良かった。

#### 授業で役に立った内容は?

先生がとても楽しそうだったので聞いていて楽しかったです。

相対性理論との照らし合わせなどを丁寧に伝えてくれたおかげで、知識としては定着したと思います。

物理学実験3の内容と絡んでくるところは聞いていてとても楽しかった。 同軸ケーブルの説明が良かった。

話の内容自体はどれも興味深いものだった。

光と物質の相互作用モデルを利用したレイリー散乱による、空が青く見える理由、夕焼けが赤く見える理由の説明にはなるほどと思わされた。導波管の中を通るTE波の性質に関して学んだことが物理学実験Ⅲのマイクロ波の勉強に非常に役に立ちました。

#### 教員への意見:

今までの電磁気に比べ、進行する早さや、<mark>内容の深さが段違い</mark>であるため、 授業に対してモチベーションを保つ学生が限られてしまっていたと思いま す。

授業での内容は、全く理解できなかった。先生も、先生で、自分の世界に 浸って、学生に本当に分かってもらおうとは思っていないと感じました。 本当に分かってもらおうとしていたなら、学生が分かっていない初歩的な 所から丁寧に教えてくれていた筈だと思うからです。

もう少し板書の早さを遅くしていただけると助かります。

講義資料の穴埋め形式はとても予習がしやすくよかったです。全体的に分かりやすく知識を身に着けることができる授業でした。ありがとうございました。

スライド1枚1枚がわかりやすかったです。ただ、過去のスライドを用いた話の時などはスライドが多くてどのスライドのことを言っているのかわからない時がありました。

#### 授業で役に立った内容は?

自由電子レーザーの話は面白かったです。THzレーザーの話もして欲しかったです。

私たちが生活していく上で最早欠かすことの出来ない技術、同軸ケーブル、 導波管、マイクロ波、などの仕組みを理解出来、普段の生活の中でそうい うものを意識するようになった。また、相対論と電磁気学の深い関係を少し 理解できたときはとても感動した。

授業の進行が速かったがその分さまざまなことを知ることができた。

矩形導波管やCherenkov放射についてなどはとてもわかりやすかったです。矩形導波管など高校の頃に知らなかったものについて詳しく学べたのがとてもためになったし、教師を目指している自分にとってはとても役に立ちました。

インピーダンスの説明が分かりやすかった。

先生の雑談は、<mark>最先端の研究を紹介</mark>などしてくれて、かなり面白かったです。しかし、授業の内容は全然分かりませんでした。

#### 教員への意見:

何をやっているのか全く理解できなかった。こんなに理解出来ない講義は初めてでした。

進むのが速くてついていけませんでした。

授業は興味がわくような内容で面白かったが、難しかった。

授業の内容に関して、大変興味深く、有意義な内容だったと思う。ただ、授業 内容が充実していることの裏返しとして授業スピードが非常に速く、前回の理 解が追いつかないうちに次単元に進んでいるような気がした。

授業自体は分かりやすいと思いますが、教科書が英語であることもあって、とっさに参照するのは結構厳しかったです。なので、できれば講義プリントの日本語のボリュームを増して欲しかったのと、そもそも最初に英語のテキストをがっつり予習してこいと言われた方が良かったかなと思います。

先生が終始楽しそうにしていたのが印象的でした。

#### 授業で役に立った内容は?

1,2年の電磁気学と比べてはるかに幅広い事項に触れられたのが楽しかった です。

授業が光についての内容だったので全体的に興味深かったが、その中でも 同軸ケーブルについてが特におもしろく理解できて良かった。

理論ばかりでゴールがマクスウェルの方程式のように書いてある教科書とは 違い、具体性をもって、さらに深い理論として相対論の入り口へと繋がる 流れが大変にためになりました。

- ・ガイダンスなどでのいろいろな研究などの紹介や授業内の話が面白かった。・電磁気1,2では、「問題を解くこと」に重点をおいてしまっていたが、電磁気3では「物理的な意味」などを深く考えるきっかけになってくれた。
- ・私は個人的に外微分形式を勉強しているのですが、相対論的電磁気学がテンソルによって表記されることと、外微分形式によって記述された電磁気学での議論が接続していて大変興味深かったです。・遅延ポテンシャルを用いて得られた結果と相対論的に導いた結果が一致したのは感動的でした。

## 教員への意見:

- あまりにも内容が難しすぎる。
- 説明が早かったり、話が前後したりするので、授業についていくのが 時々大変だった。
- 講義資料が少し分かりづらいので、復習がやりにくかった。
- ・小テストを行うと理解が深まると思います。
- •自分の予習が足りなかったせいか、授業についていけないことが多かった。予習すべきところを明確にするか、課題を毎週出すなどしてくれると定着が図れるのではないかと思った。
- 最初の段階からテストまで綿密にカリキュラムが計画されていたため、何をすれば良いのか明白だった。
- ・配布資料がわかりやすい。 ・講義ノートが穴埋め式でノートが非常に取りやすかった。 ・授業に沿うように準備された授業資料がとてもよかったと思う。大切な図表を書き込みながら、授業を聞くことに集中できる授業スタイルはとても効率がよいと感じた。 ・公式や計算だけではなく、図を多く描くような授業だったのでイメージがしやすかったです。
- 生き生きと楽しそうに講義をしている姿がとても良かったです。
- 楽しそうに授業してたので私も楽しんで授業を受けることができた。

#### 授業で役に立った内容は?

- ・更に踏み込んだ電磁気学の世界を学ぶことが出来たこと。
- 電磁気学を基礎から発展までまんべんなく学ぶことができて良かった。 すべての項目について言えることだが、ベクトル解析を1から復習するいい機会になった。
- ・高校で少しだけ聞いたことのあるBrewster角について、詳しくできたことがうれしかった。また、去年の電磁気の復習のような内容が結構あり、去年は理解できなかったことが今年の授業でようやく繋がって理解できたことがとても良かった。
- ・物質中の光の速度、完全導体中の電磁場、同軸ケーブルについて、 遅延ポテンシャル、電磁力学と相対論、シンクロトロン輻射
- ・電磁気学1.2より更に高度な内容で正直表面的な理解に終わってしまったように感じる。インピーダンスや力学振動子、電気双極子など所々で聞いたことあるものをヒントに少しずつであるが発展的な内容も理解できた部分もある。スライドがとてもわかりやすく、授業に参加する前に予習としてみることはできたが、どうしても完全に理解するには至らなかった。難しかったです。

# よかった点:2017授業アンケート回答から

- 幅広い分野をカバーしていたこと。考えさせられる授業であったこと。楽しそうにお話ししていたところ。
- 穴埋め教材でノートとるのに手間をかけず集中して講義が聞けた
- ・数式いじりにとどまらず、一貫して<mark>物理的な意味の解釈</mark>にも重きを置い ていたこと。
- ていたこと。 ・授業資料が充実していました。どの資料もGriffithsを読む際の補足となっていたので、Griffithsの内容をよく理解することができました。
- 広く深く扱うので、多くの物理現象について学べる(それがあるということを知れる)のは良いと思う。特に、徳永先生の興味がある疑問は確かにと思うことが多かった。楽しそうに教えてくれるので、こちらもやろうという気持ちになった。
- ・試験出題の問題群の問題が良問だと思う。

#### 改善してほしい点:

- ・良かった点でもあるが、広く深く扱う分、展開が速く追いつけないので、
- 授業だけではほとんど理解できない。真面目に、全てのことを学ぼうとすると1コマにつき2~3コマ分の勉強が必要なように思う。
- 時々なにを言っているのか理解できませんでした。
- 講義資料をもっとわかりやすくまとめてほしい。

# 改善しては201点授業アンケート回答から

- ・そもそもが難しすぎる。電磁気学2との間に大きな隔絶があるように感じた。隙間を埋める何かがほしい。。
- 教科書が英語なので読むのに時間がかかりました(実際、電磁気学3の範囲をすべて読むのに累計で80時間以上はかかっています)。正直、Griffithsを読んでいない状態でこの授業を受けても意味がないと思いました。 授業スピードがはやすぎる。
- 教授の板書の質を高めてほしいことと、数式の羅列のスライドを作ることをやめてほしいです。
- 話題が多方面にわたるため、明快な動機づけ・目標設定がないと道を 見失いがち。

#### 授業で役に立った内容は?

- 電磁気学3の内容で最も理解できて嬉しかったのは輻射の範囲である。高校や大学一年の時に前期量子論を学んだ際、加速する電荷が電磁波を放射してエネルギーを失う理由が理解できなかったが、今回の授業で理解することができた。
- マクスウェル方程式の電磁波への応用の部分がとても物理的に美しかった。身の回りの現象に電磁気学が深くかかわっていることが分かった。

2013年度成績 109 名受験、80名合格 S 20人 A 23人

2015年度成績 98名受験、81名合格 S 3人 A 26人

2016年度成績 99名受験、79名合格 S2人 A14人

2017年度成績 81名受験、68名合格 S11人 A23人 2014年度成績 97名受験、70名合格 S7人 A15人

# 質問(光と物質の相互作用)

なぜ吸収、屈折、反射、散乱が起こるのか? 空が青く、雲が白いのはなぜ?

透明な物質が1より大きい屈折率を持つのはなぜ? なぜ色により屈折率に違いが出るのか?

ホイヘンスの原理:なぜ後退波が存在しないか?

吸収の強さは何で決まる? 分子構造から分子の吸収スペクトルを予測できるか?

半波長ダイポールアンテナとは?携帯電話はどうなっている?

真空のインピーダンスとは?

レーザー光はどのように発生する?普通の発光とどのように違う?

## 質問

なぜ磁場というものが存在するのか? 点磁荷がないのに。 点電荷しかない世界なら電場だけでよいのではないか?

そもそもなぜ電磁場というものがこの世に存在するのだろう

電磁波の放射に必要な条件はなにか?それはなぜなのか? 根本原理を問う

光の輻射圧とは? その原理は? 勾配力とは?

通信・放送の原理は? なぜ光通信が大容量データ通信に有利なのか?

二酸化炭素、水蒸気が温室効果ガスなのはなぜ?

植物が緑なのはなぜ?

# 質問

量子力学では光子の吸収により電子が基底状態から 励起状態へ不連続に遷移する。

古典的には電磁波が物質中の電子を振動させることにより電磁波の吸収が起こる。

この2つの描像の関係は?

光学顕微鏡の空間分解能が光の波長で制限されるのはなぜだろうか? 光を使った回折限界を超える超解像とは?

近接場光とは何か?近接場光を使った超解像とは?

光を止めることができる?これはどういう性質の光なのだろう?

ホログラフィーと写真の違いは何か? 2次元のホログラムから3次元像が再生される?

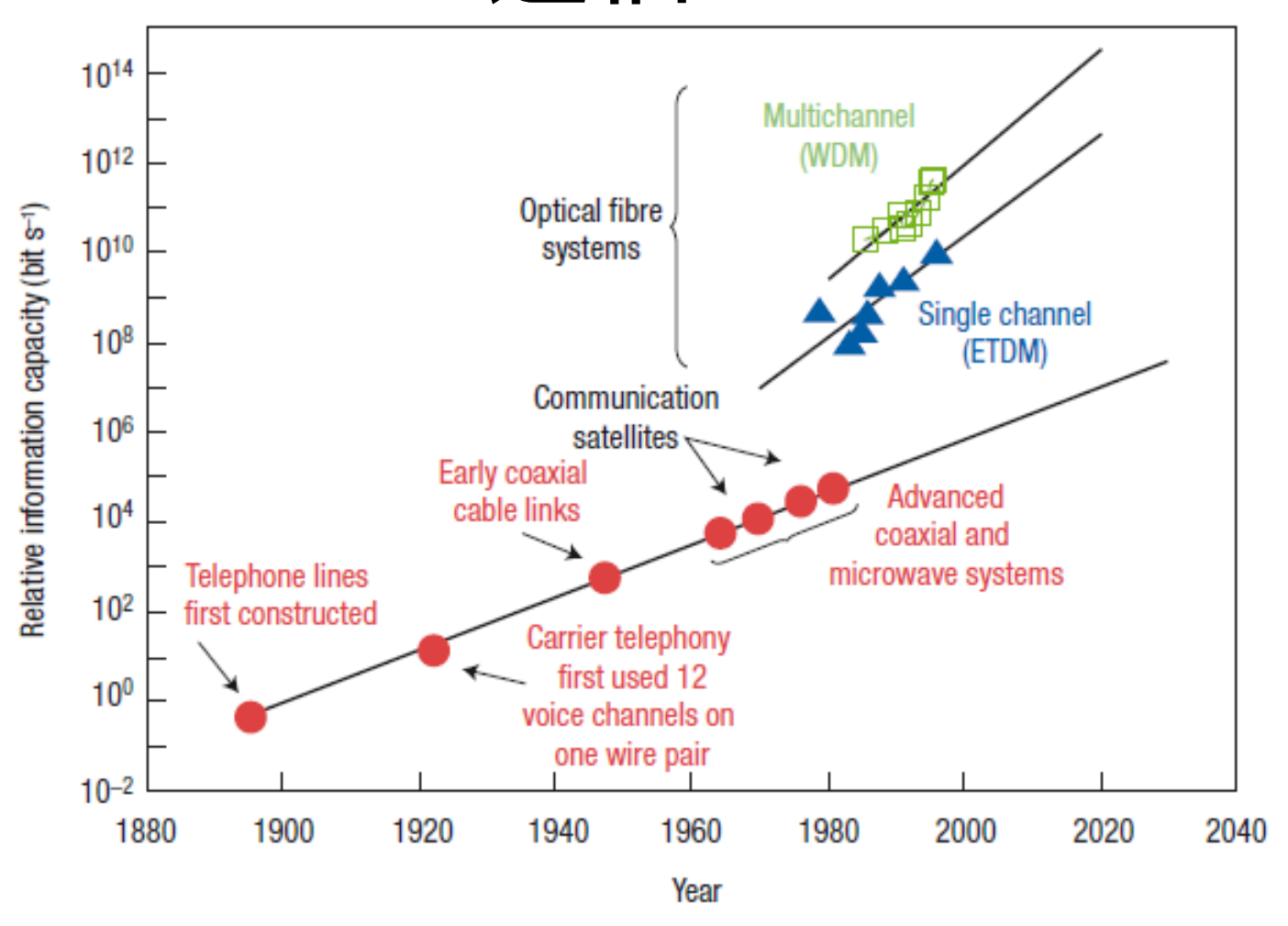
# 高校物理の教科書

# 物理II

ラザフォードの原子模型には、重大な難点があった。 従来の電磁波の理論では、原子核のまわりを回転 する電子は電磁波を放射し、エネルギーを失って 電子の軌道半径は小さくなり続けるので、この模型 は安定な原子を表せない。

ボーアは、…これらの難点を解決した。

# 通信



**Figure 1** Trend in the information-carrying capacity of a single line (wire or optical fibre) with time and technology. (WDM: wavelength-division multiplexing; ETDM: electronic time-division multiplexing). Reproduced with permission from Kimerling, L. C. *Opt. Photon. News* **9**, 19 (1998). Copyright (1998) OSA.

# 世界最大容量69テラビット伝送に成功

日本電信電話(NTT)は25日、1本の光ファイバに、世界最大 となる毎秒69.1テラビット(Tb/s)の大容量データを240km伝送 させることに成功したと発表した。

NTTの未来ねっと研究所では、これまでに1本の光ファイバ

で13.5Tb/sの大容量信号を7,000km以上伝送させるなどに成功していた。今回は、1波長171Gb/sの信号を432波長多重させることで実現したもので、これまでの光伝送容量の世界記録と

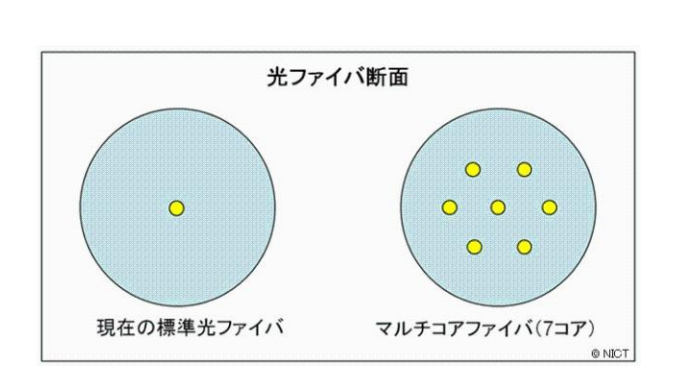
なっていた32Tb/sを2倍以上更新したという。なおこの成果は米国時間同日に開催される「OFC/NFOEC 2010」にて論文発表される予定。 送信部では16QAM変調方式と偏波多重方式を組み合わせ

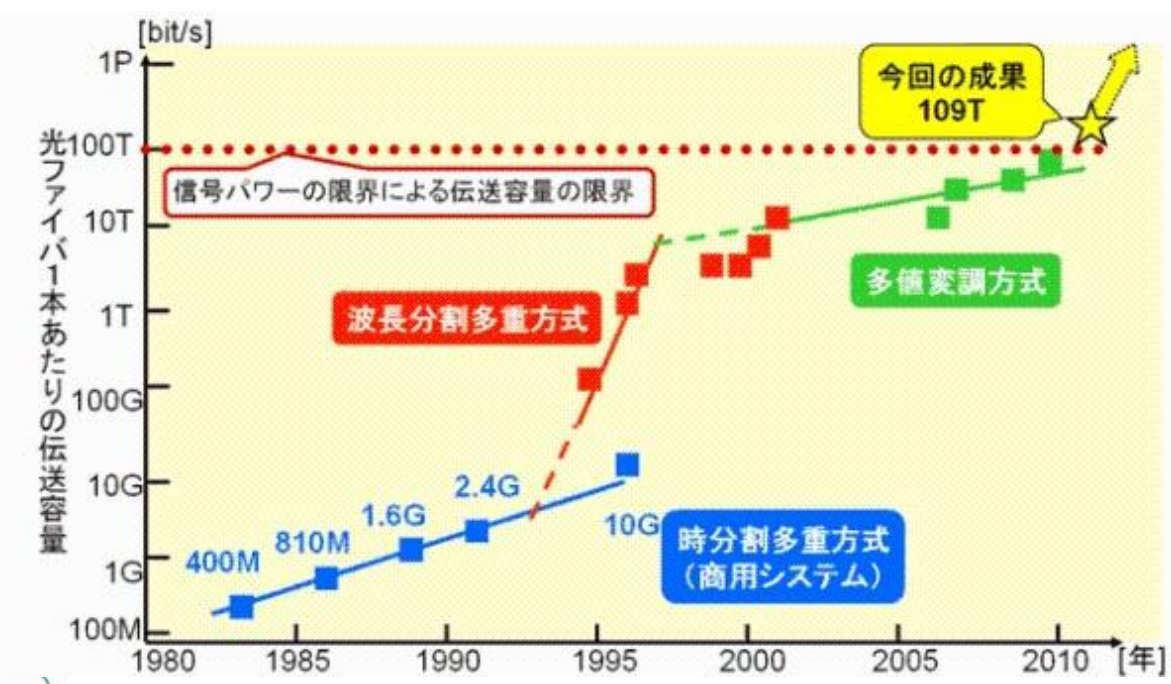
て、1チャンネル(波長)あたり171Gb/sの信号を生成し、周波数 利用効率向上を実現した。受信部ではコヒーレント受信とデジ タル信号処理技術を用い、余分なオーバヘッド信号が不要な 新規復調アルゴリズムを実現した。コヒーレント受信は従来の NRZ信号の直接受信に比べて受信感度が3dB以上向上する という。160AM信号を復調するために、新規のアルゴリズムを 用いて余分なオーバヘッド信号が不要なパイロットレス処理を 行ったとのこと。そして中継部では、C帯と拡張L帯を組み合わ せた10.8THz(従来の1.35倍)の増幅幅を有する超広帯域光増 <mark>幅技術を用い、69.1Tb/s信号光を240km伝送させた。</mark> NTTのフォトニクス研究所では、未来ねっと研究所と連携して OAM変調器、波長可変光源ならびにコヒーレント受信用回路 を開発。光変調器には平面型光集積回路とニオブ酸リチウム (LN)変調器をハイブリッド実装したPLC-LN変調器を用い、1 台の変調器で160AM信号を安定に発生させているという。 今回開発された技術を用いることで、1波長100Gb/sを超える シリアル信号を多数波重多重した大容量信号を基幹光ネット ワークで高信頼に伝送することが可能となる見込みだ。これに

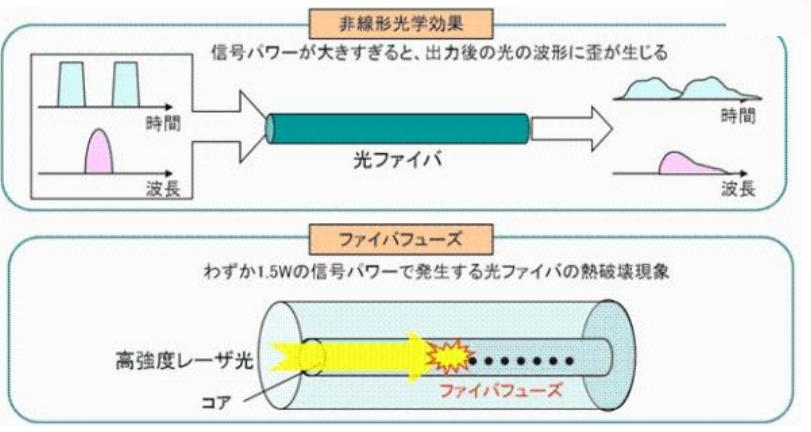
# 光ファイバ1本の伝送容量109Tbpsの

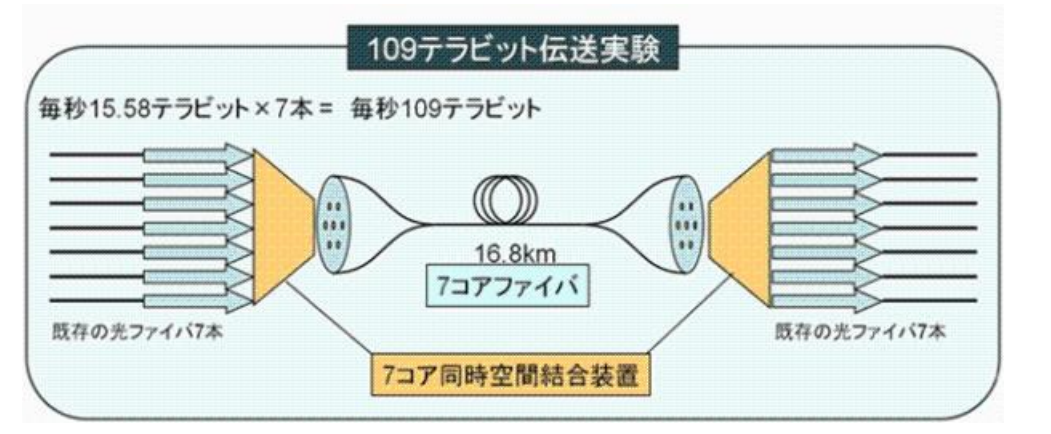
世界記録を樹立

情報通信研究機構(NICT) 2011年3月10日





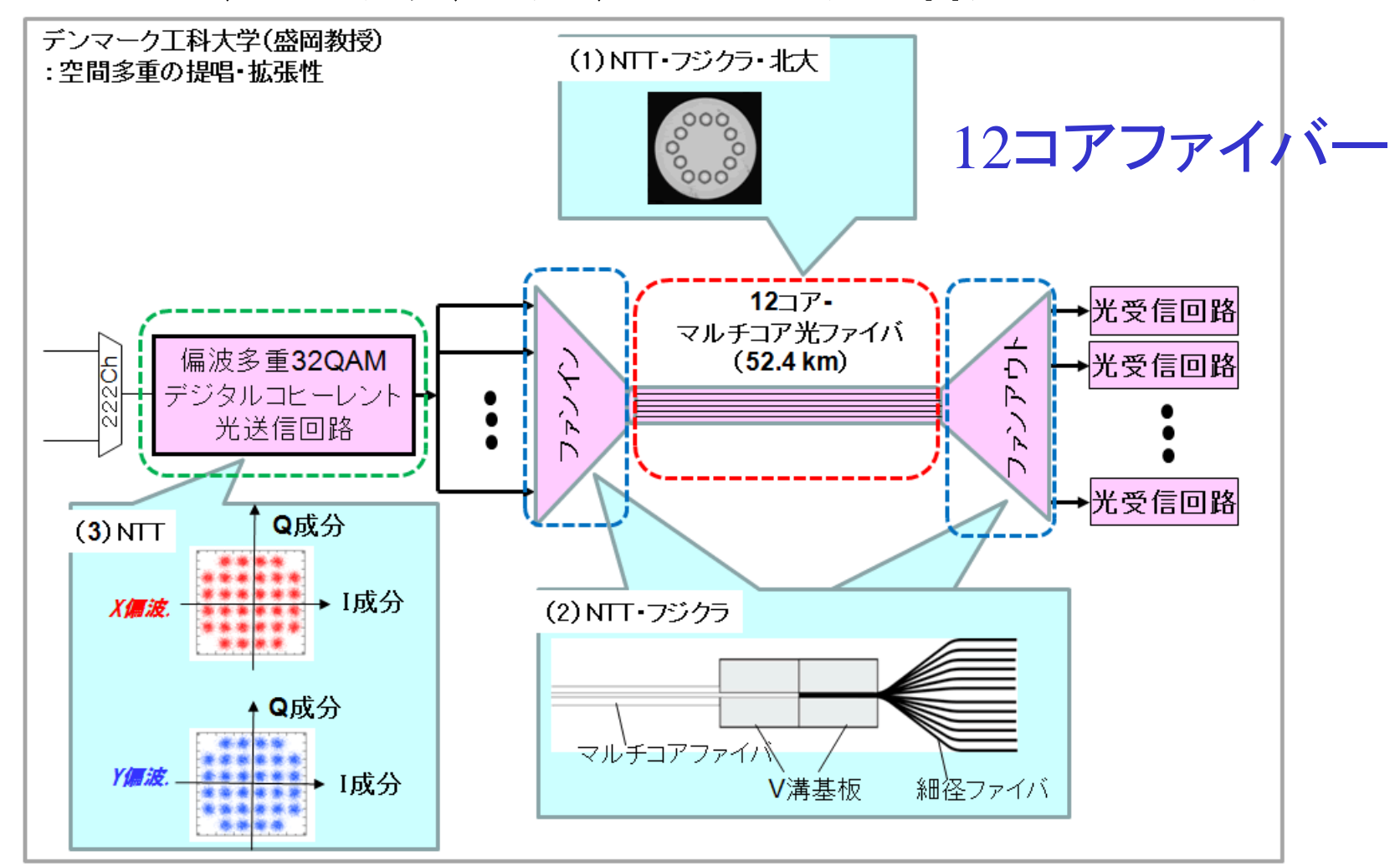




### 1Pbps、50kmの世界最大容量光伝送に成功

~ 光ファイバ1本でハイビジョン映画 約5000本分を 1秒で伝送可能に~

NTT、フジクラ、北大、デンマークエ科大 2012年9月20日



# 容量距離積「1エクサ」突破に成功、世界最大

# **容量の光ファイバ伝送実験** 2013年9月25日 KDDI研と古河電工は、大洋横断光ファイバ伝送において、世界最大と

なる毎秒140テラビットの超大容量信号を約7300km伝送することに成功したことを発表した。この距離は、東京ーブリスベン間、ニューヨークーローマ間の距離に相当する。 毎秒140テラビットは、ハイビジョン映像2時間分を、1秒で700本分転送可能な速度となる。また、この実験において、伝送容量と伝送距離の積で示す伝送性能指数「容量距離積」が、世界で初めて、1エクサ(Exa:1京の100倍、10の18乗)ビットを突破したという。毎秒100テラ

ビットを超える大容量伝送実験が、「マルチコアファイバ」を用いて実

施されているが、伝送システムの性能指数である「容量距離積」は、

毎秒0.7エクサビット・キロメータ程度までしか実現できていなかった。コア間の信号の干渉を十分に抑えることで長距離中継伝送を可能とする7コア光ファイバと7コア光増幅器を共同開発。さらに、新たな信号処理技術を導入し、従来と比較して伝送効率を2倍に向上することに成功。この成果は、商用化されている毎秒100ギガビット波長多重伝送システム(伝送容量約毎秒9テラビット、伝送距離約1,500km)と比較すると、伝送容量では約15倍、容量距離積では約70倍向上。

# 光ファイバの最大伝送容量の世界記録を更新、

### 2.15ペタビット毎秒を達成 2015年10月1日

NICT(情報通信研究機構)は、住友電工、RAM Photonics, LLCと共 同で、従来世界記録であった光ファイバ1本あたりの伝送容量を2倍 以上に更新し、2.15ペタビット毎秒の光信号の送受信実験に成功。 光ファイバ1本当たりの伝送容量を拡大する次世代技術として、新型 光ファイバが世界的に研究されている中、今回、品質が均一で長距 離伝送に好適な同種コア型のシングルモード22コアファイバと波長多 重光を一括で生成可能な高精度光コム光源を用いて、30km伝送を 実証。

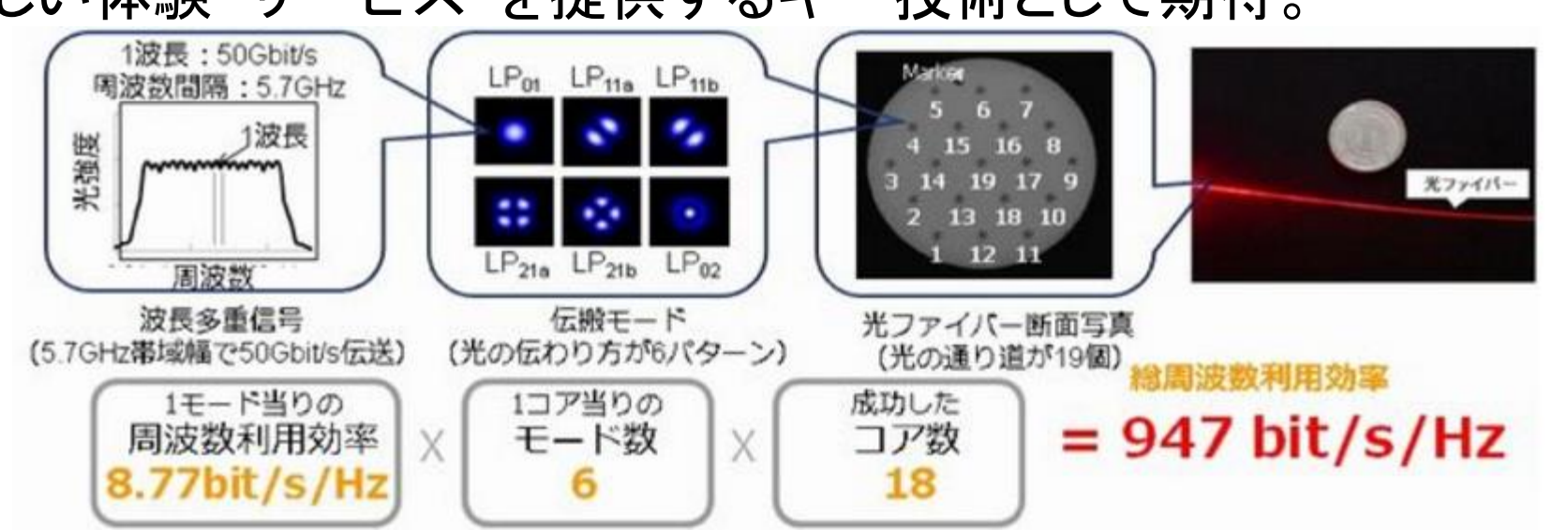
光伝送システムでの利用が期待されている高精度光コム光源を採用 した今回の実験により、将来の大規模デジタルコヒー

レント光ネットワーク実現の可能性。なお、本論文は、 第41回欧州光通信国際会議(ECOC2015)にて高い 評価を得て、最優秀ホットトピック論文として採択。

# 世界最高周波数利用効率を達成した光ファイバーの伝送容量拡大技術の実証に成功

2016年10月14日

株式会社KDDI総合研究所は、光ファイバー通信の伝送容量を拡大するために必要となる周波数利用効率を著しく向上する技術を開発し、周波数利用効率947bit/s/Hzという、これまでの記録を2倍に更新する伝送実験に成功。これは、4Gモバイル通信で用いられているLTEの約60倍の周波数利用効率。5G時代には、無線技術だけでなく、それを支えるネットワーク技術や光ファイバー伝送技術の革新も不可欠。この技術は、より低遅延で高速な5G以降のモバイル通信システムを支え、"新しい体験・サービス"を提供するキー技術として期待。



# 光学

光とは何か?光速はいくらか? 精密な物理学として最も古い歴史

幾何光学 波動光学(干渉・回折)

電磁気学 光=電磁波

量子力学、特殊相対性理論 を生む原動力

光=光子

レーザーの発明

非線形光学 量子光学

OPTICKS: TREATISE REFLEXIONS, REFRACTIONS, INFLEXIONS and COLOURS Two TREATISES SPECIES and MAGNITUDE Curvilinear Figures. LONDON, Printed for Sam. SMITH, and BENJ. WALFORD, Printers to the Royal Society, at the Princes Arms in

> ニュートン 光学 1704

日進月歩

# ノーベル物理学賞

2017 ワイス,バリッシュ,ソーンLIGO検出器および重力波観測 2014 赤崎勇 天野浩 中村修二 青色発光ダイオードの発明

(化学賞)2014 ベツィッヒ、ヘル、モーナー 超高解像度蛍光顕微鏡の開発

2012 アロシュ、ワインランド 光子/イオンの状態を操り、測る実験手法(量子コンピュータの基礎)

2009 カオ 光ファイバー(の低損失化) (西澤潤一) ボイル、スミス CCDの発明

2005 グラウバー 光のコヒーレンスの量子理論 (高橋秀俊) ホール、ヘンシュ 光周波数コム技術を含むレーザ ーを用いた精密分光

2001 コーネル、ケターレ、ワイマン 希薄なアルカリ原子ガスでのボーズ アインシュタイン凝縮の実現2000アルフョーロフ、クレーマー 光エレクトロニクスに利用(キルビー)される半導体へテロ構造の開発 (林 厳雄)(化学賞)1999 ズベイル 化学反応の遷移状態をめぐるフェムト秒分光1997 チュー、コーエンタヌジ、フィリップス

レーザーを用いて原子を極低温に冷却する技術

1986 ルスカ 電子顕微鏡 ビーニッヒ、ローラー 走査型トンネル電子顕微鏡

1989 デーメルト、パウル、ラムゼー 高精度原子分光法

1981 ブレンベルゲン、シャーロウ レーザー分光学 シーグバーン 高分解能光電子分光法

1971 ガボール ホログラフィーの発明

- 1966 カスレ 原子内のヘルツ波共鳴の光学的方法
- 1964 タウンズ、バソフ、プロホロフメーザー、レーザーの発明
- 1958 チェレンコフ、タム、フランク チェレンコフ効果
- 1955 クッシュ 電子の磁気モーメントの研究 ラム 水素の微細構造のマイクロ波による測定
- 1953 ゼルニケ 位相差顕微鏡
- 1952 ブロッホ 核磁気共鳴吸収による原子核のパーセル 磁気モーメントの測定
- 1944 ラビ 共鳴法による原子核の磁気モーメントの測定

1930 ラマン ラマン効果の発見

(化学賞)1925 ジグモンディ コロイド溶液の研究 限外顕微鏡

1922 **ボーア** 原子の構造とその放射に関する研究

1921 アインシュタイン 光電効果の法則の発見

1919 シュタルク 陽極線のドップラー効果および シュタルク効果の発見

1911 ウィーン 熱放射に関する法則の発見 1909 マルコーニ、ブラウン 無線電信の発達に対する貢献

1908 リップマン 光の干渉を利用した天然色写真

1907 マイケルソン 干渉計の考案とそれによる分光学

1902 ローレンツ、ゼーマン 放射に対する磁場の影響の研究 1901 レントゲン X線の発見

#### 他にも

X線回折、コンプトン効果、X線分光学 エネルギー量子 シュタルク効果(分光学) 電波天文学、宇宙背景放射、X線天文学

> 2002 ニュートリノ天文学 小柴昌俊 2015 ニュートリノ振動 梶田隆章

> > カミオカンデ、スーパーカミオカンデ 光で検出 (Cherenkov放射を利用)

#### 光の粒子性

# 光子1個の明るさとは?

1cm<sup>2</sup>あたり光子数 10μm×10μm

快晴の日の地上

1018 /秒

1012 /秒

満月の夜

1012 /秒

106 /秒

星明かりの下

109 /秒

103 /秒

# 素粒子

**Fermion** 

	γ	u	C	t	Quark
Boson	g	d	S	b	
	W	e	μ	τ	
H Higgs Boson	Z	ν <sub>e</sub>	$\nu_{\mu}$	ν <sub>τ</sub>	Lepton

宇宙で最も多い素粒子は?

# 宇宙で最も多い素粒子=光子

太陽が50億年で放出してきた光子数 >1062個

太陽質量がすべて水素原子の静止質量による としたときの 陽子数(電子数) 10<sup>57</sup>個

宇宙のバリオン-光子数比  $\frac{n_b}{n_\gamma}$   $\sim$   $10^{-10}$ 

 $n_b$ :バリオン数密度

n<sub>ν</sub>:光子の数密度

# Nature関連誌

**Nature** 

Nature Physics

Nature Photonics (日本に編集部)

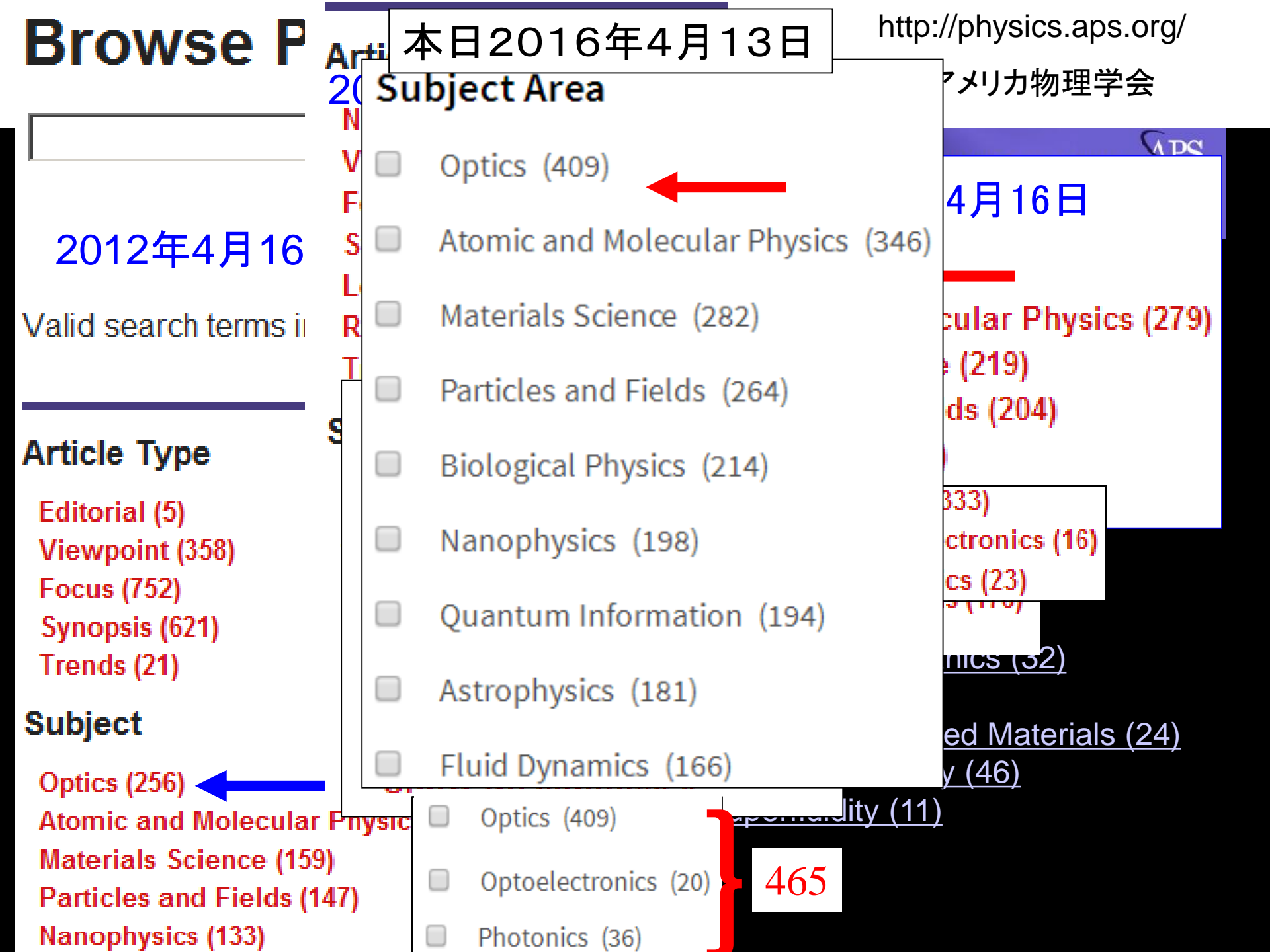
Nature Chemistry

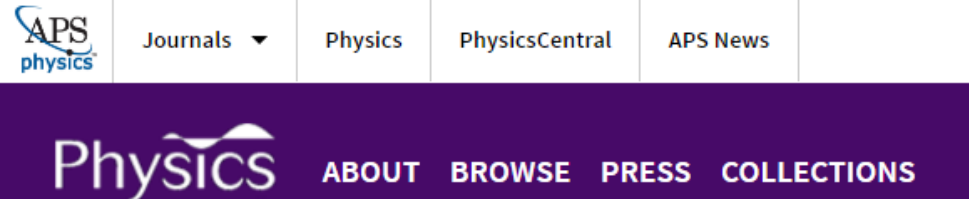
Nature Nanotechnology

**Nature Materials** 

Nature Geoscience

Nature Cell Biology





http://physics.aps.org/ アメリカ物理学会 spotlighting exceptional research

Optoelectronics (22)

#### Subject Area

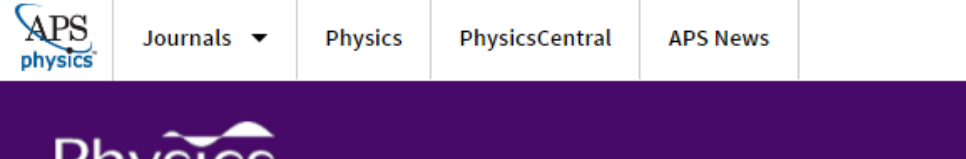
518

2017.4.12 本日

	Optics (451) Photonics (45)
•	Atomic and Molecular Physics (379)
	Materials Science (299)
	Particles and Fields (286)
	Biological Physics (226)
	Quantum Information (220)
	Astrophysics (209)
	Nanophysics (207)

Quantum Physics (194)

Fluid Dynamics (188)



http://physics.aps.org/アメリカ物理学会 spotlighting exceptional research

#### Subject Area

2018.4.11 本日

- Optics (483) Photonics (51) Optoelectronics (23)
- =539 Atomic and Molecular Physics (422)
  - Particles and Fields (320)
  - Materials Science (316)
  - Biological Physics (244)
  - Astrophysics (239)
  - Quantum Information (238)
  - Nanophysics (214)
  - Quantum Physics (213)

13 S 新聞朝

Tyコンなどに使うことを想定している。 増える。 減らしながら、 クラウドサービス回を提供するデー 発に乗り出す。製品を小型化し 日立製作所や富士通、 の消費電力で動く次世代半導体の共同 やりとりできるデータの量は大幅に 9年度の実用化を目標としている。 NECなど電機大手が、 タセンターやパ 電力の消費量を 現 る。 る。 なるため、 また、

パソコン並みの 高速で省電力に

高速で信号を送る なければならない。現

配線の間隔は1

備向けの電力も削減でき こともできるため、空調設 できる。熱の発生を抑える

ンターに使われるサー

つサーバ データ

)消費電力を約3割削減

美用化されれば、<br />

化を目指した競争が続い きるという。 るスマートフォンも実現で に載せることも可能にな 央演算処理装置)をスマー 処理速度を持つCPU(中 トフォン(高機能携帯電話) 電池の持ちが2倍にな 小型化するために は、 までしか狭くできな

#### 輸光半導体を使った省エネイメージ 日本のITの電力消費は、クラ ウドサービスの拡大で飛躍的 に増える 3000 5.2倍 2500 億サーラッ時 2000 3.5倍 1500 2.1倍 1000 1.3倍 500 10 15 20 25年 2006 (経済産業省試算) データセンター データ量が 増えると消 費電力が増 える 光半導体を 使うことで 消費電力を 削減

クラウド

光半導体の使用 でスマートフォン が高性能化

PCも高性能化

らされている配線を狭くし は、回路の基板上に張り巡

> 日立などは、 デジ

#### Integrated Photonics-Electronics Convergence System Technology 超低消費電力型光エレクトロニクス実装システム技術開発

お問い合わ

#### 世界最高性能の半導体光変調器を開発

一従来比で光損失を10分の1に低減、変換効率5倍を達成一

2017年7月25日

こにより、ブタ、电力用具の本格が予心で作ると、八寺の电子域品の用具电力で八個に

減します。



#### 世界最高伝送密度の光送受信技術と高速省電力の光変 調伝送技術を開発

一サーバーの処理速度の大幅な改善に大きく貢献一

2017年9月19日



消費電力: 1/10 実装面積: 1/100 配線密度: 10倍

# 従来の1/10の超低消費エネルギー でデータ伝送可能なレーザの開発 に成功 2013/5/24

~マイクロプロセッサチップ内への光配線導入に大きく前進~NTTは、毎秒10ギガビット(100億ビット)の信号を、世界で最も小さな消費エネルギーで伝送可能な超小型半導体レーザ(以下、LEAPレーザ)の開発に成功しました。1ビットのデータ転送に必要なエネルギーは従来の半導体レーザの1/10以下の5.5 フェムトジュールです。

この技術を利用して、現在は電気配線を用いているマイクロプロセッサ間やマイクロプロセッサ内のデータ転送を光配線に置き換えれば、サーバやルータなどのIT機器で大きな消費電力を使っているマイクロプロセッサの消費電力を4割程度削減できます。

本成果は、英国科学雑誌「Nature Photonics」のオンライン速報版で公開されます。

# NTT、スパコンをパソコン大に 光配線技術開発 2014/2/24

NTTはスーパーコンピューターをパソコン並みに小さくする基礎技術を開発した。情報伝送の担い手をこれまでの電子から光に変える。10年後の実用化が目標という。研究成果を英科学誌ネイチャー・マテリアルズ(電子版)に掲載した。

半導体の中に、光が行き来する構造を作った。直径170 ナノ(ナノは10億分の1)メートルの穴を整然と並べた シリコンの板のうえに、インジウムやリンでできた細線 を置いた。

光で計算結果を高速でやり取りすれば、小型のパソコンでも、スパコン並みの計算速度が出せるという。光は電子と違って、熱を発生しない。冷却装置も省ける。 最先端のスパコンは広大な敷地が必要になるくらい大きい。

#### マイクロ波送電

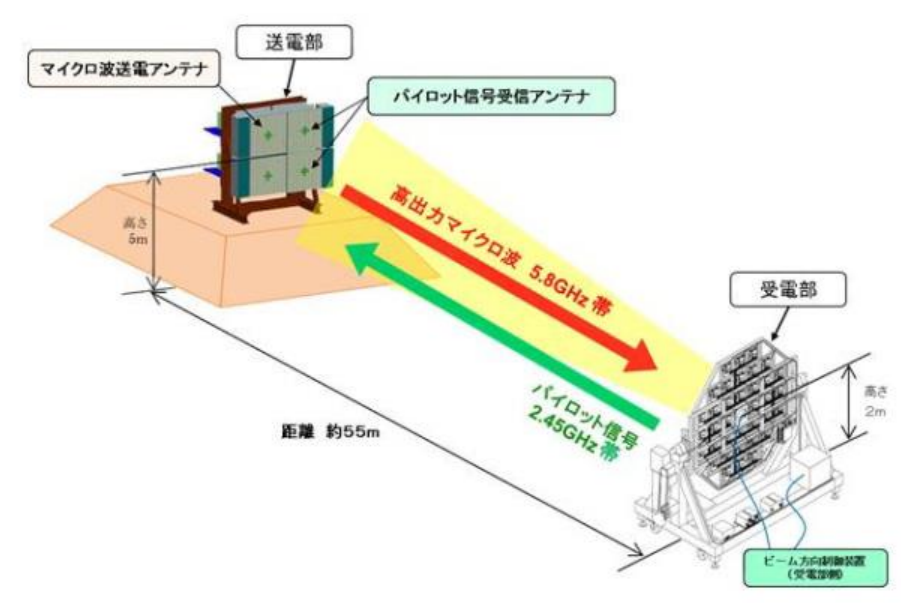
2015年3月10日

三菱重工、宇宙太陽光発電に向けたワイヤレス送 電実証試験に成功。10kWを送電、500m先で受信

宇宙太陽光発電システム (宇宙空間に設置した太陽光パネルで発電した電力をレーザーやマイクロ波に変換して地上に送り、受電パネルで再び電力として取り出すシステム)の中核技術。

無線送電技術の課題のひとつは、マイクロ波ビームをいかに正確に受電ユニットへ届けるか。今回の試験においてマイクロ波を狙った場所にピンポイントで照射する「ビーム方向制御技術」を開発。

取り出せた電力は送電したうち の10% ほど。JAXA の実験でも 1.8kWの電力をを送電し、取り 出した電力は300W前後。



# 電磁気学3の位置づけ

宇宙とは? 物質の究極の姿は?

高エネルギー(実験)物理学

様々な応用 情報、エネルギー 観測手段、運動量

量子光学

非線形光学

万物理論 素粒子論 レーザーの発明

量子電磁力学(QED)

光物性

光と物質との相互作用 が織り成す多彩な世界

物性論

ゲージ理論

電荷を持つ素粒子間の 力を媒介するgauge boson である光子

量子力学

特殊相対論

なぜ電磁場が存在?

電磁力学(電磁波)

(静)電磁気学

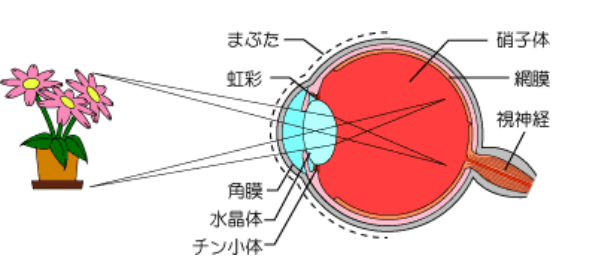
光学、力学

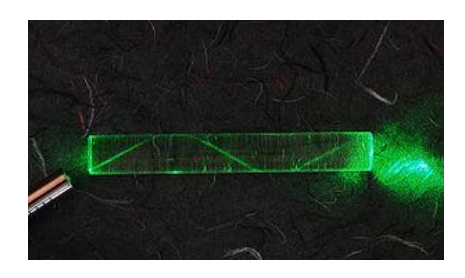
分光学

## 光の利用

情報

視覚 照明 光通信 光メモリ 量子情報処理









エネルギー 光合成 太陽電池 光触媒

運動量

光ピンセット 光冷却 宇宙ヨット

計測手段

分光測定 ニュートリノ検出 光トポグラフィー

20世紀は電子(electronics)の時代

21世紀は光(photonics) の時代

実際は opto-electronics の時代

電子工学の土台の上に、光の本格的利用が始まっている

#### 光の自由度とコヒーレンス

強度、振幅、光子数 周波数、位相 運動量(縦運動量) 角運動量(軌道角運動量、横運動量) 偏光(スピン角運動量) 電場、磁場

極端コヒーレンス時間、周波数、空間、波数ベクトル

#### さらなる豊かな分野

非線形光学

量子光学

最近30年の革新技術 光の新しい自由度 光-物質相互作用による光(物質)の制御 光の軌道角運動量 微小共振器ポラリトン
量子情報 ベクトルビーム フォトニック結晶(ファイバー)スクイーズド光 量子コンピュータ 電磁誘起透明化 補償光学 量子テレポーテーション Opto Genetics 回折限界を超える 量子もつれ光子対 近接場分光 2次元分光 単一光子光源 二光子顕微鏡 STED (Stimul. Emission Depletion) 顕微鏡<mark>超短パルス技術</mark> 高次高調波 負の屈折率 超レンズ 透明マント コヒーレント制御 プラズモニクス 光誘起相転移 光周波数標準 光コム ボーズ・アインシュタイン凝縮 レーザー光による分子操作 レーザー冷却、光トラップ、光格子 テラヘルツパルス Optomechanics、トラクター(牽引)ビーム アト秒パルス

シリコンレーザー、セラミックレーザー アト秒パルス レーザー航跡場加速 高エネルギー、素粒子物理ファイバーレーザー、光流体(Optofluidics)

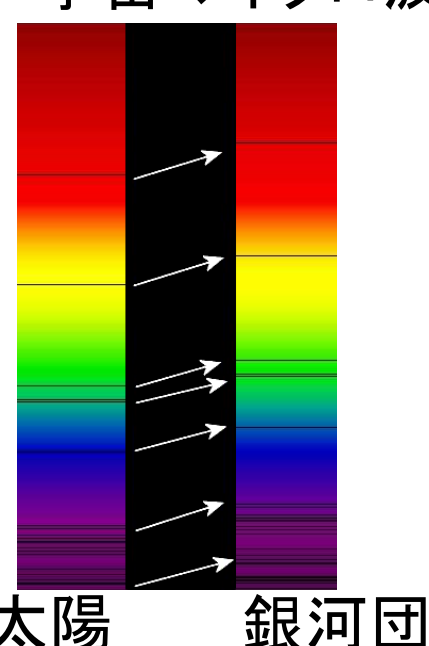
光学測定は非接触で物質の電子状態がわかる強力な手段 科学技術の学術雑誌 50~70%以上が可視・紫外・赤外域の 分光測定を最終計測手段としている

(柴田和雄 日本分光学会 会長 1982)

# 天体物理学

観測の大半は電磁波スペクトルを用いて行われている (電波、赤外線、可視光、X線)

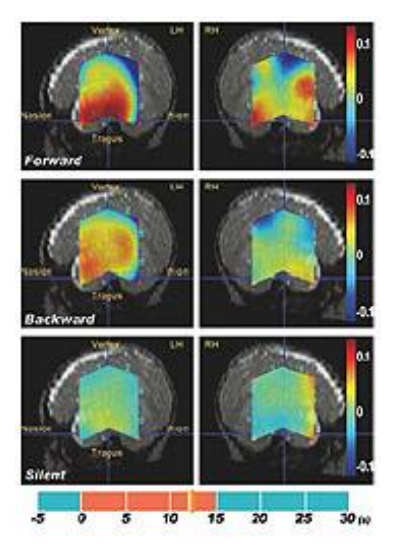
惑星の大気の成分 太陽・恒星の温度 (黒体輻射) 恒星や銀河、星雲などの化学組 宇宙の膨張 赤方偏移 宇宙マイクロ波背景放射



黒体輻射の色

# 脳科学

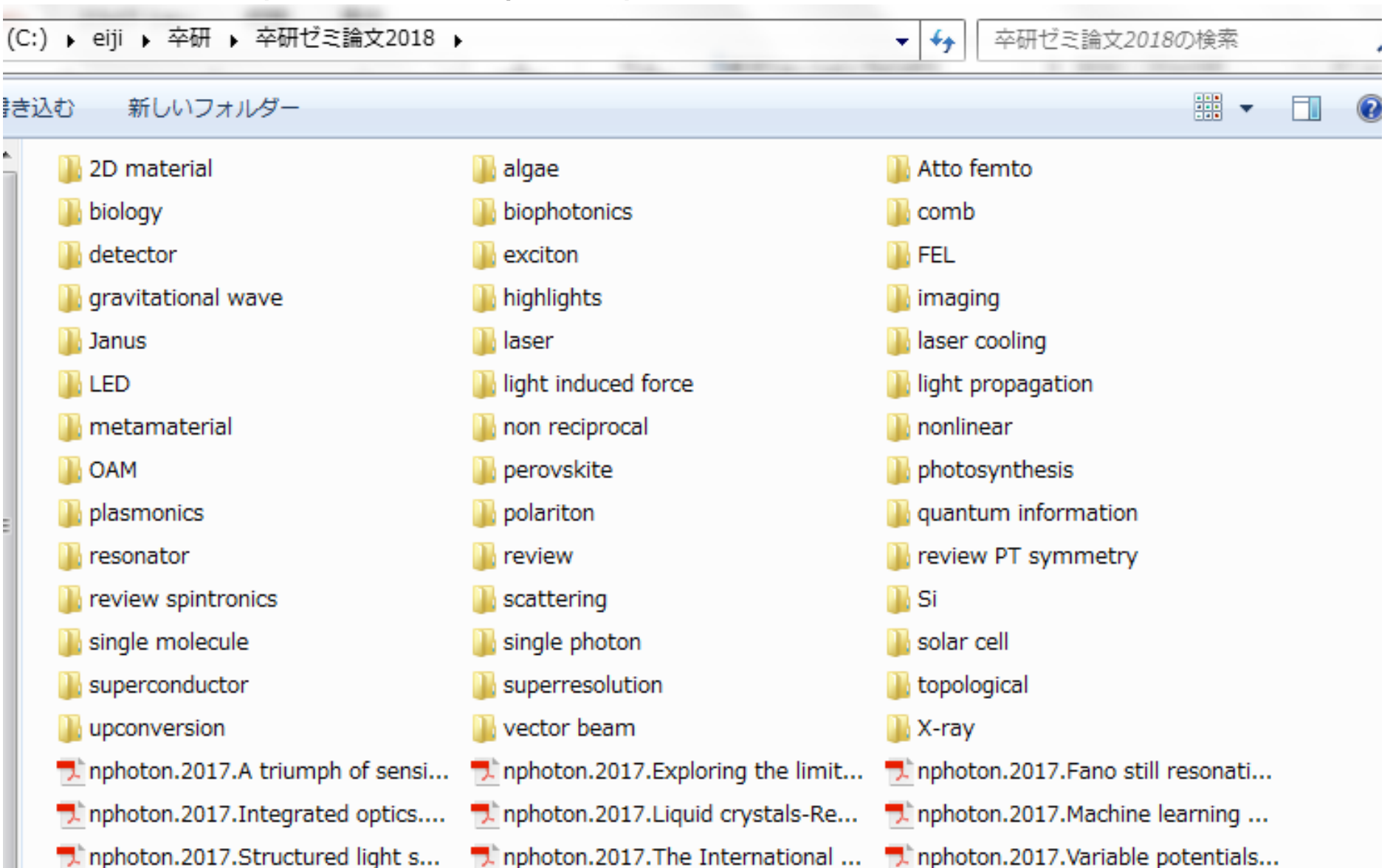




750nm、850nmの近赤外線が 頭蓋骨を透過して脳内に 酸化ヘモグロビンは750nmに、 還元ヘモグロビンは850nmに 反応



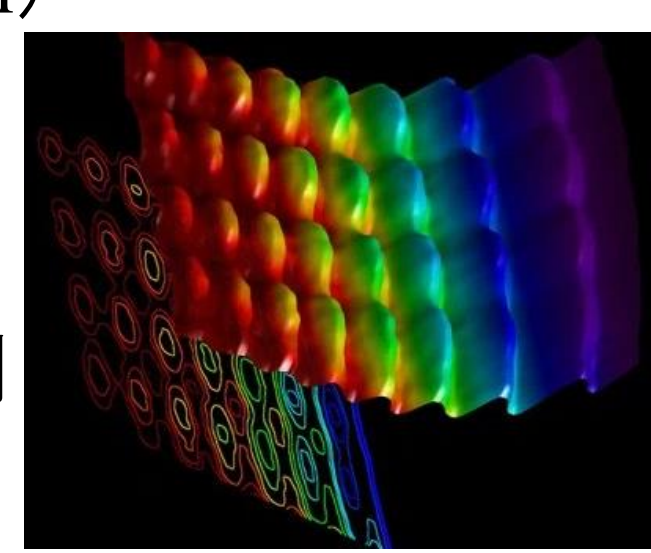
#### 2018卒研 現在 約200報 収集中



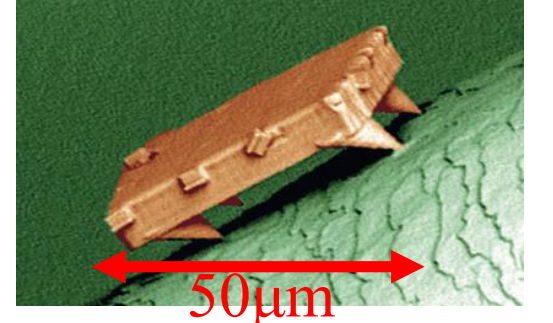
- 毎秒4.4兆フレームでシングルショット連続画像取得を 行う動画カメラ
  - (最速の電子的なカメラ この1/105以下)

2015

- 単一光子の非線形光学効果(review)
- Perovskite太陽電池による12.3%効率の水分解
- 光子をN個ずつの集団として放出するエミッター
- フォトニック結晶ファイバーによる深紫外から中赤外のsupercontinuum
- 3mmにわたって波長(630nm)以下のビーム径で伝播 する反回折性ビーム (通常は3µm)
- 単一光子トランジスタ
- 室温電子注入ポラリトンレーザー
- 金属の過渡的励起子の観測
- ・ 光の波動性と粒子性を同時に観測

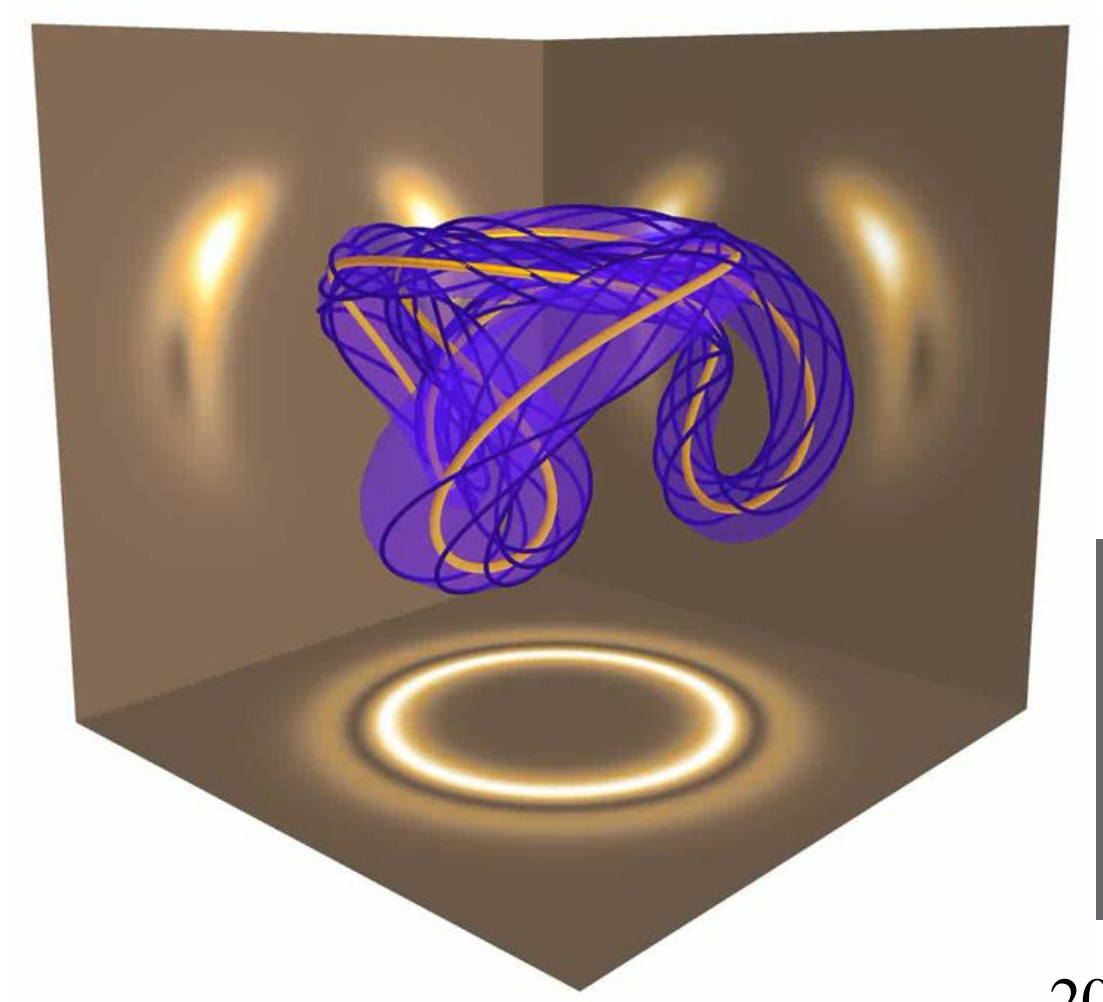


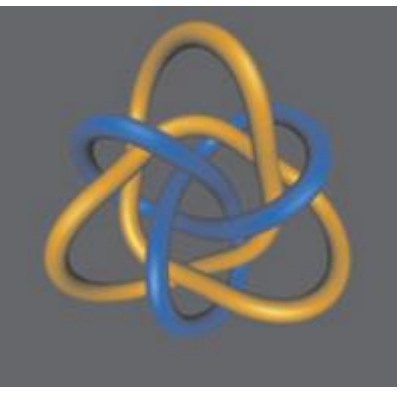
- •2次元層状物質 光変調器
- ・光駆動マイクロロボット 2016



- ・K<sub>3</sub>C<sub>60</sub>における高温での光誘起超伝導の可能性
- ・ 蛍光によらない単一分子検出、イメージング、分光
- ・完全再構成可能なフォトニック集積信号処理デバイス
- オンチップ・ゼロ屈折率メタマテリアル
- 電気的に駆動される光アンテナ
- 可視光周波数で機能するハイパボリックメタ表面
- ・空間的なクラマース・クローニッヒの関係式と波の反射
- 高次元の多光子エンタングルメント
- ・細胞内マイクロレーザー

# 結び目がある電磁波 Knotted exact solutions of Maxwell





2008 Nature Phys.

2013 Phys. Rev. Lett. Youtube

## 2018卒研で取り上げたい面白そうな論文

- Photons couple like Cooper pairs
- Diffraction-free space—time light sheets
- Non-locality prevents reflection
- Sorting photons via their Radial Quantum Number
- Photonic Hat Trick (genuine three-photon interference)
- Detecting Energy-Time Entanglement
- Room-temperature ultrafast nonlinear spectroscopy of a single molecule

# 2017年度の卒研ゼミ

毎週土曜日12:50-16:00 @843

#### HPトップに予定を掲示

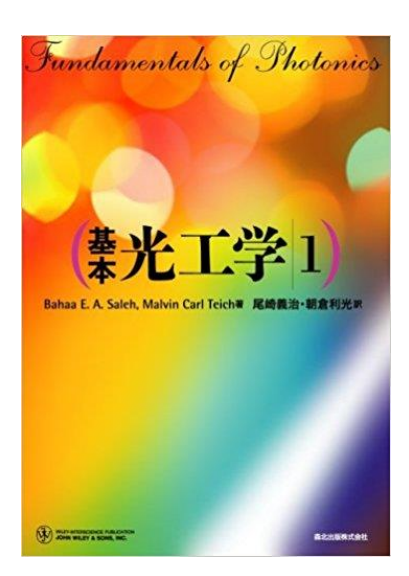
#### 光物理学の基礎 基本光工学1

- 川村 1物質の中の光
- ・ 櫻内 2光の伝搬方程式

 $2017.4.15(\pm)$ 

- 佐々木 3 応答関数と光学定数
- 鈴木 5物質(金属以外)の光学応答 6金属の光学応答
- 千万 光線光学
- 磯谷 波動光学
- 川村 ビーム光学
- 櫻内 フーリエ光学
- 佐々木 共振器光学
- 鈴木 統計光学
- 千万 光子光学





## 毎週土曜日12:50-16:00 @843 HPトップに予定を掲示

細胞の物理生物学

量子力学で生命の謎を解く





- 岩瀬 第5章 生細胞における力学的・化学的平衡
- 中野 第9章 塩を含む溶液の静電気学

 $2017.4.15(\pm)$ 

- 清水 第11章 生体膜—2次元の生命現象
- 加藤 第12章 水の数理
- 初田 第14章 混み合って無秩序な環境にある生命
- ・ 岩瀬 第16章 分子モーターのダイナミクス
- 中野 第3章 生命のエンジン
- 清水 第4章 量子のうなり
- 加藤 第5章 ニモの家を探せ
- 初田 第6章 チョウ、ショウジョウバエ、量子のコマドリ

# 2018年度の卒研ゼミ

毎週土曜日12:50-16:00 @222

HPトップに予定を掲示

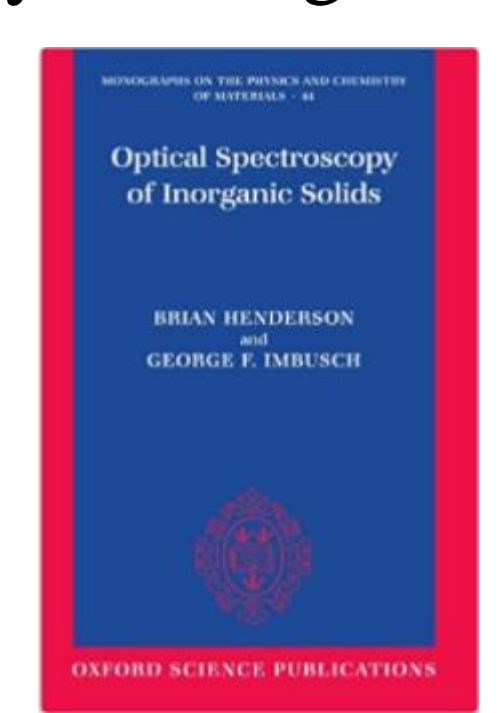
物理光学

光物性入門

Optical Spectroscopy of Inorganic Solids

これからの光学

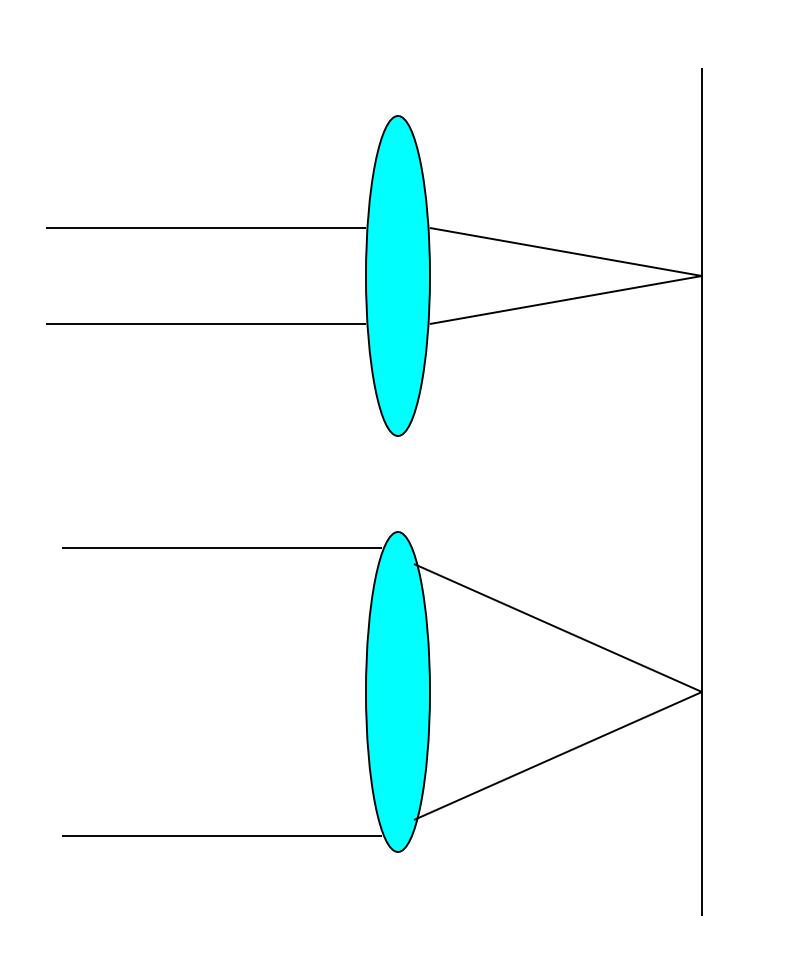








# 光学顕微鏡の空間分解能(回折限界) どちらがスポット径が小さい?

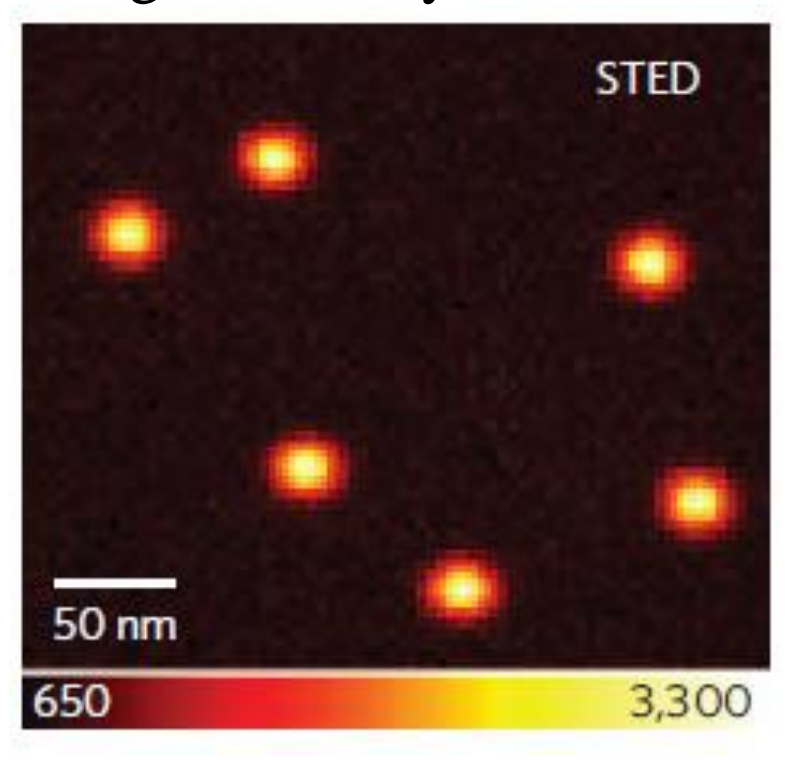


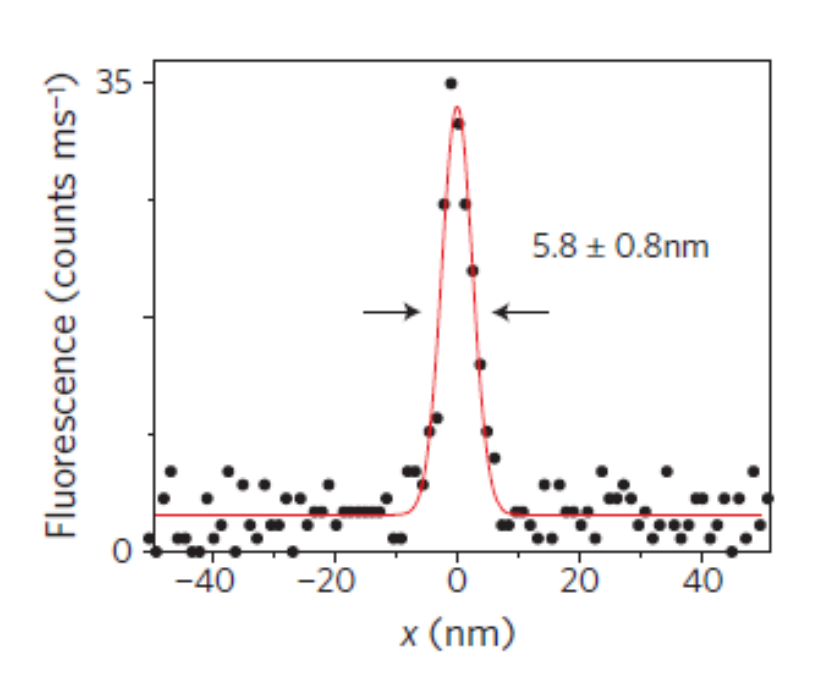
空間コヒーレンスの良い単色レーザー光 (理想的平面波) ビーム径が異なる

> 同じ焦点距離、 収差のない理想的レンズ (顕微鏡対物レンズ)

# 回折限界を超える光学顕微鏡

Stimulated Emission Depletion Microscopy reveals nitrogen-vacancy centers in daiamond.





16nm空間分解能

2014 ノーベル化学賞

# フェムト秒レーザー技術 大出力レーザーパルス

10<sup>15</sup>W 高強度場 10<sup>21</sup>W/cm<sup>2</sup>

> E~10<sup>14</sup>V/m 分子内電場10<sup>11</sup>~10<sup>12</sup>V/m

高エネルギーレーザー科学 レーザー核融合 レーザー加速器 宇宙物理

## 分子内、原子内電場

#### 水素原子

$$E = \frac{1}{4\pi\varepsilon_0} \frac{q}{r^2}$$
  $r = 0.53A, q = 1.6 \times 10^{-19}C$ 

$$E = 9.0 \times 10^{9} \left[ \frac{\text{N} \cdot \text{m}^{2}}{\text{C}^{2}} \right] \times \frac{1.6 \times 10^{-19}}{(0.53 \times 10^{-10})^{2}} \left[ \frac{\text{C}}{\text{m}^{2}} \right]$$

$$= \frac{9.0 \times 1.6}{0.53^2} \times 10^{10} \text{ N/C}$$

$$=5.1\times10^{11}$$
 N/C  $=5.1\times10^{11}$  V/m

# 超短パルスの電場 最も普及している市販のフェムト秒増幅パルス

1 mJ, 100 fs, 1 kHz のとき、  $10^{10}$  W  $0.1 \times 0.1$ mm²に集光  $10^{18}$  [W/m²]=  $10^{14}$  [W/cm²] =  $\epsilon_0$  E² c / 2 I =  $\epsilon_0$  E² c / 2 [W/m²]

 $\varepsilon_0 = 8.85 \times 10^{-12} \,\mathrm{C}^2/(\mathrm{N} \cdot \mathrm{m}^2)$ E  $\sim 3 \times 10^{10} \,\mathrm{V/m}$ 

分子内電場10<sup>11</sup>~10<sup>12</sup>V/m

# 実験室で模擬ブラックホール

高出力レーザーで実現ー大阪大 2009年10月19日 <u>時事通信</u> 高出力のレーザーを使い、ブラックホール周辺で観測されて

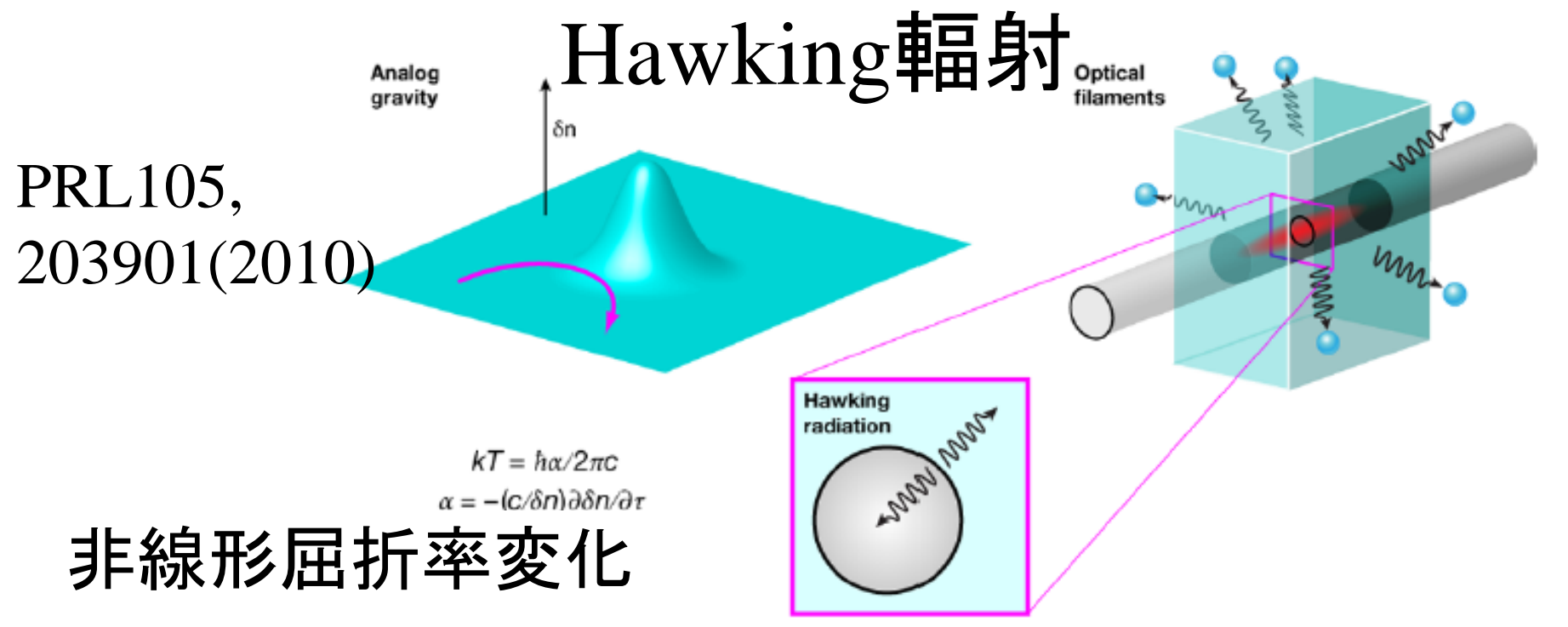
いる現象を実験室で発生させることに、大阪大などの国際

共同研究チームが成功した。天文学の新たな研究手段として活用できるという(英科学誌ネイチャー・フィジックスの電子版) 阪大レーザーエネルギー学研究センターの藤岡慎介助教は「ブラックホール周辺の環境を地上につくり出すことができた。高出力レーザーを使うことで、将来はブラックホールそのものをつくれる可能性が出てきた」と話している。 実験は阪大の大型レーザー「激光XII号」で実施。

プラスチックに高出力のレーザーを照射し圧縮、ブラックホール周辺で観測される「光電離プラズマ」を発生させた。ここから放射されたX線は、天体観測で得たデータに近いという。

直径約2メートルの真空状態の容器の中で、直径0.5ミリの

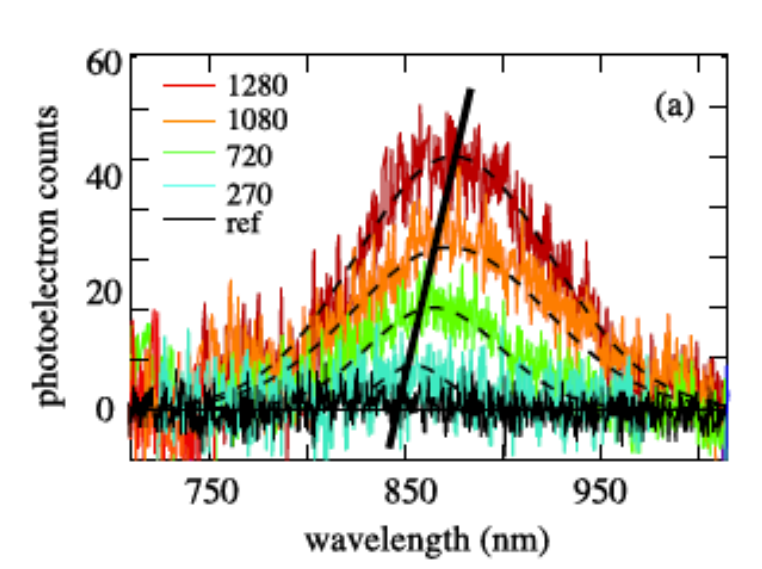
# 超短パルスレーザーfilamentからの



 $n=n_0+n_2I$ 模擬的 重力ポテンシャル

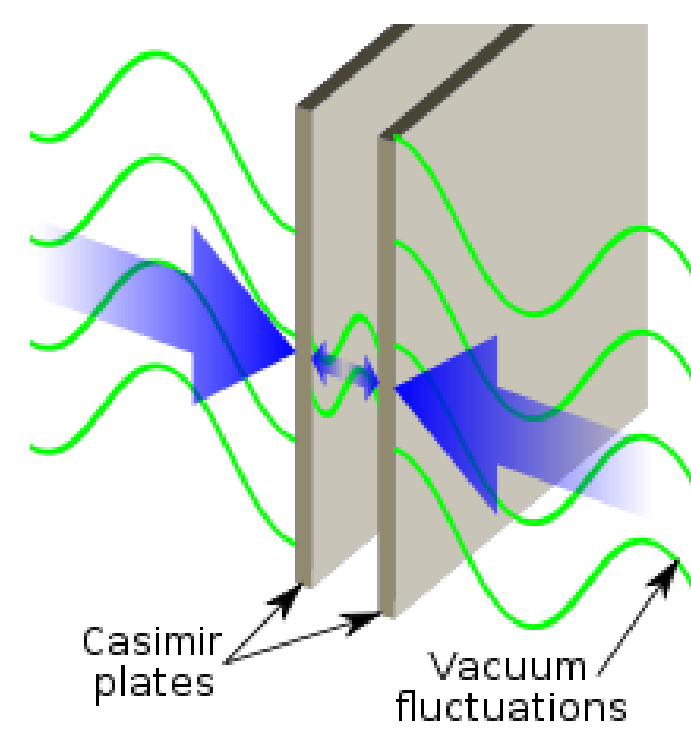
屈折率上昇による光速度減少

事象の地平面の形成



## Shaking photons out of the vacuum

動的カシミール効果 Nature 479, 376 (2011)



真空:粒子が生成と消滅を繰り返すごく短い時間しか存在しない仮想粒子

鏡を光速に近い速さで動かせば 仮想光子が実光子に

超伝導回路を利用してこの原理により マイクロ波の光子を発生

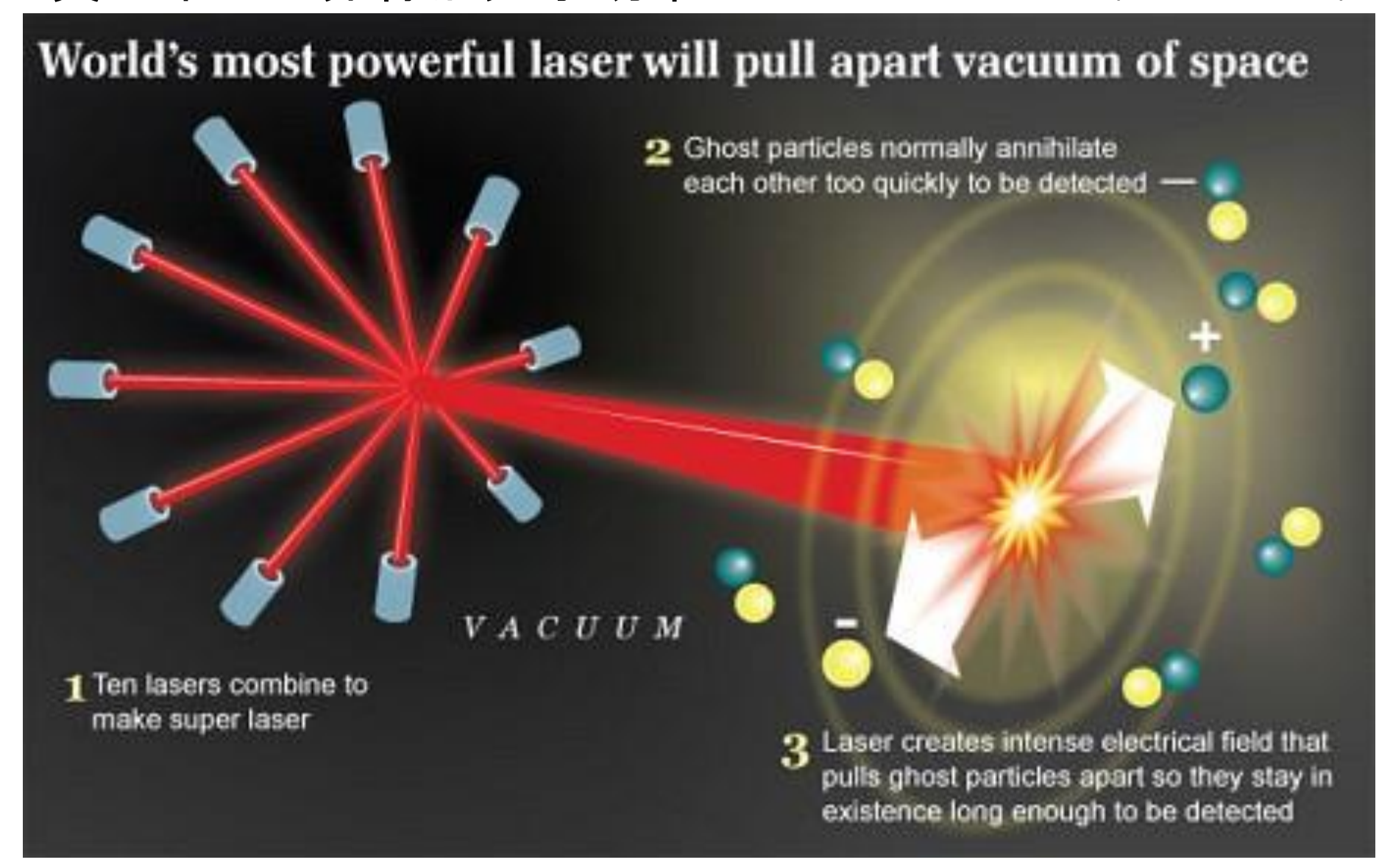
#### 鏡(完全導体)による電磁波の反射:

界面で電場が節、磁場が腹の境界条件:鏡の表面に遮蔽電流真空のゆらぎによって生成される遮蔽電流が加速して電磁放射

# 高エネルギー物理学

真空中での非線形光学効果

by Richard Gray



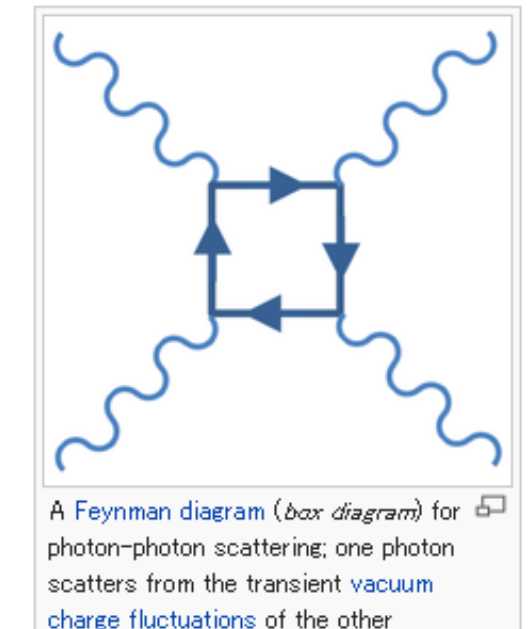
From Wikipedia, the free encyclopedia

In quantum electrodynamics (QED), the **Schwinger limit** is a scale above which the electromagnetic field is expected to become nonlinear. The limit was first derived in one of QED's earliest theoretical successes by Fritz Sauter in 1931 [1] and discussed further by Werner Heisenberg and his student Hans Euler. [2] The limit, however, is commonly named in the literature [3] for Julian Schwinger, who derived the leading nonlinear corrections to the fields and calculated the production rate of electron-positron pairs in a strong electric field. [4] The limit is typically reported as a maximum electric field before nonlinearity for the vacuum of

$$E_S = \frac{m_e^2 c^3}{q_e \hbar} \simeq 1.3 \times 10^{18} \, \mathrm{V/m},$$

where  $m_e$  is the mass of the electron, c is the speed of light in vacuum,  $q_e$  is the elementary charge, and  $\hbar$  is the reduced Planck constant.

In a vacuum, the classical Maxwell's equations are perfectly linear differential equations. This implies - by the superposition principle - that the sum of any two solutions to Maxwell's equations is yet another solution to Maxwell's equations. For example, two beams of light pointed toward each other should simply add together their electric fields and pass right through each other. Thus Maxwell's equations predict the



impossibility of any but trivial elastic photon-photon scattering. In QED, however, non-elastic photon-photon scattering becomes possible when the combined energy is large enough to create virtual electron-positron pairs spontaneously, illustrated by the Feynman diagram in the figure on the right.

# J. Schwinger, "On Gauge Invariance and Vacuum Polarization", *Phys. Rev.* **82,** 664 (1951).

# フェムト秒からアト秒へ

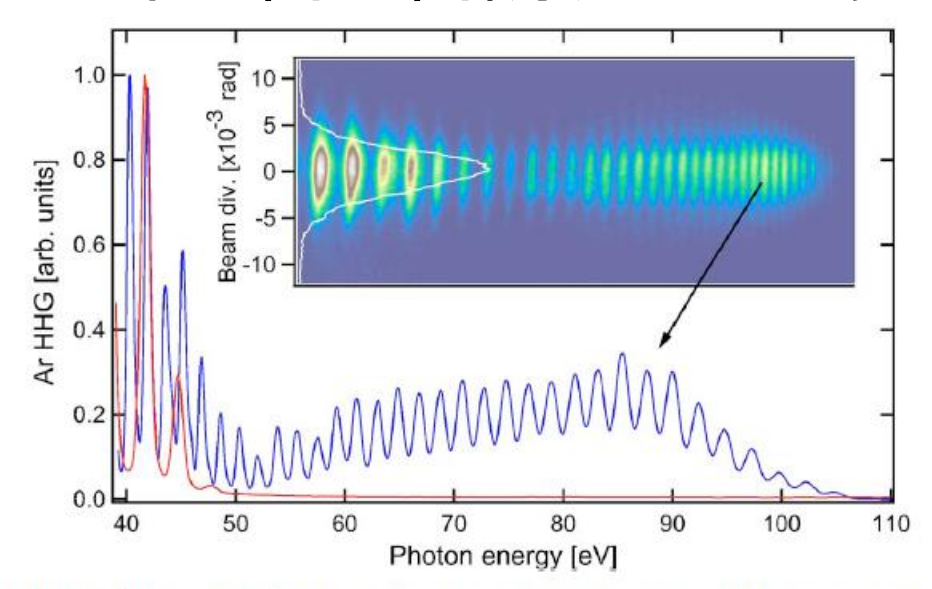
 $10^{-15} \, \mathrm{s}$ 

 $10^{-18}\,\mathrm{s}$ 

# 可視光からX線へ

希ガス中で高次高調波パルス発生

APL93, 041111(2008) >100<sup>th</sup> harmonics 奇数次のみ



アト秒時間分解X線ホログラフィー

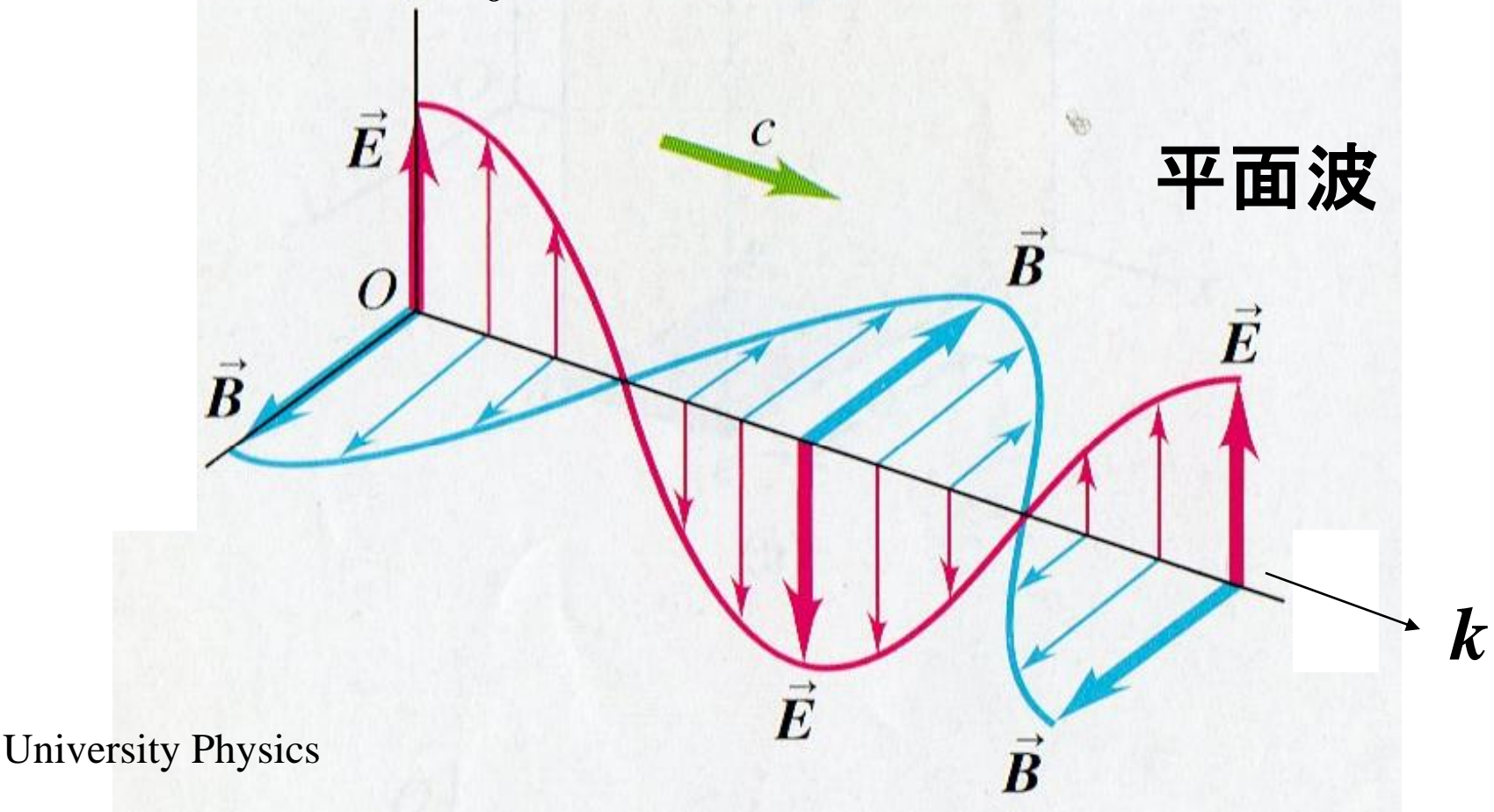
結晶格子の高速の構造変化の3次元イメージ

# 電磁波

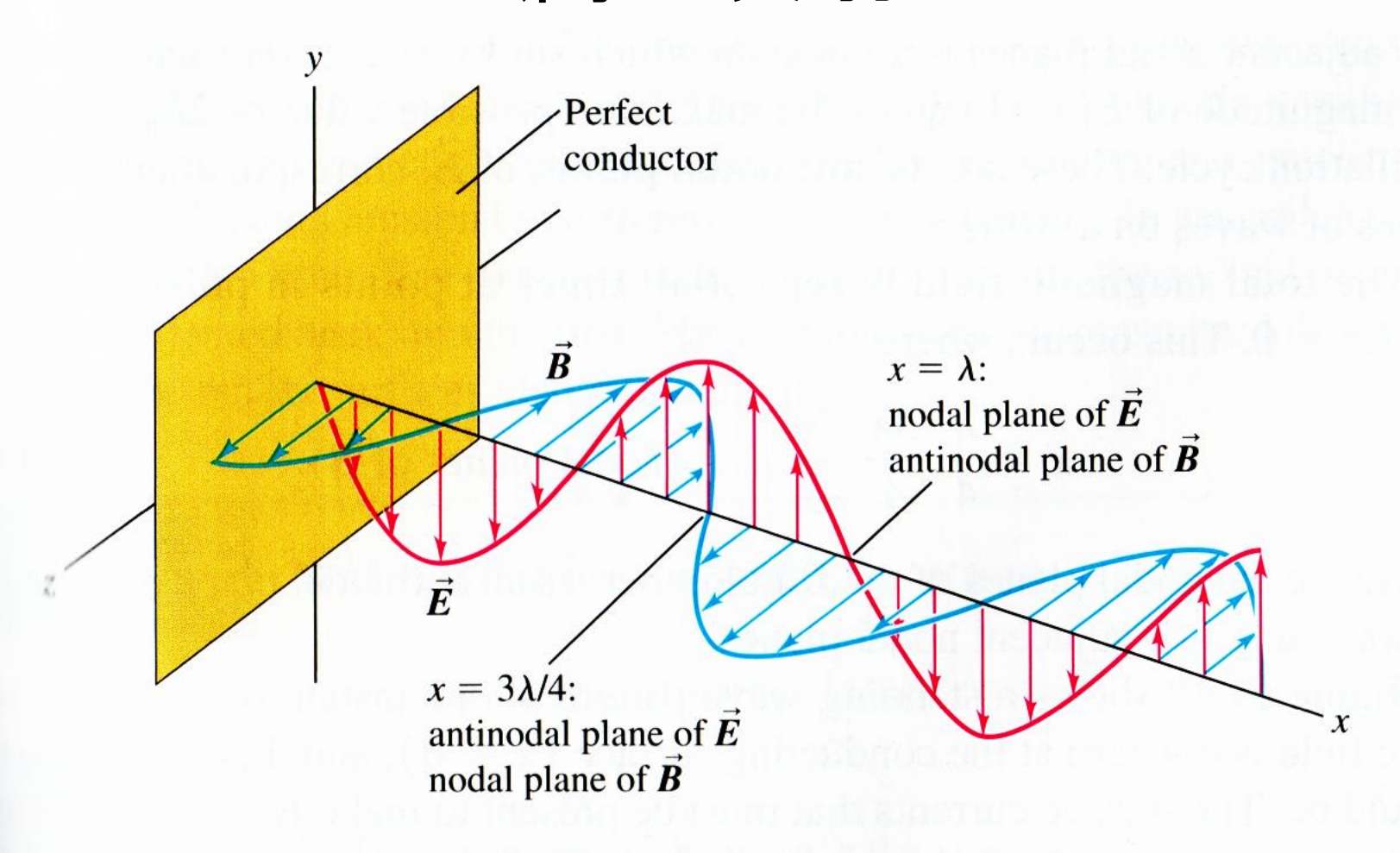
$$E(r,t) = E_0 \sin(\omega t - k \cdot r)$$

$$= E_0 \sin(\omega t - k_x x - k_y y - k_z z)$$

 $\boldsymbol{B}(\boldsymbol{r},t) = \boldsymbol{B}_0 \sin(\omega t - \boldsymbol{k} \cdot \boldsymbol{r})$ 



# 金属で反射したとき

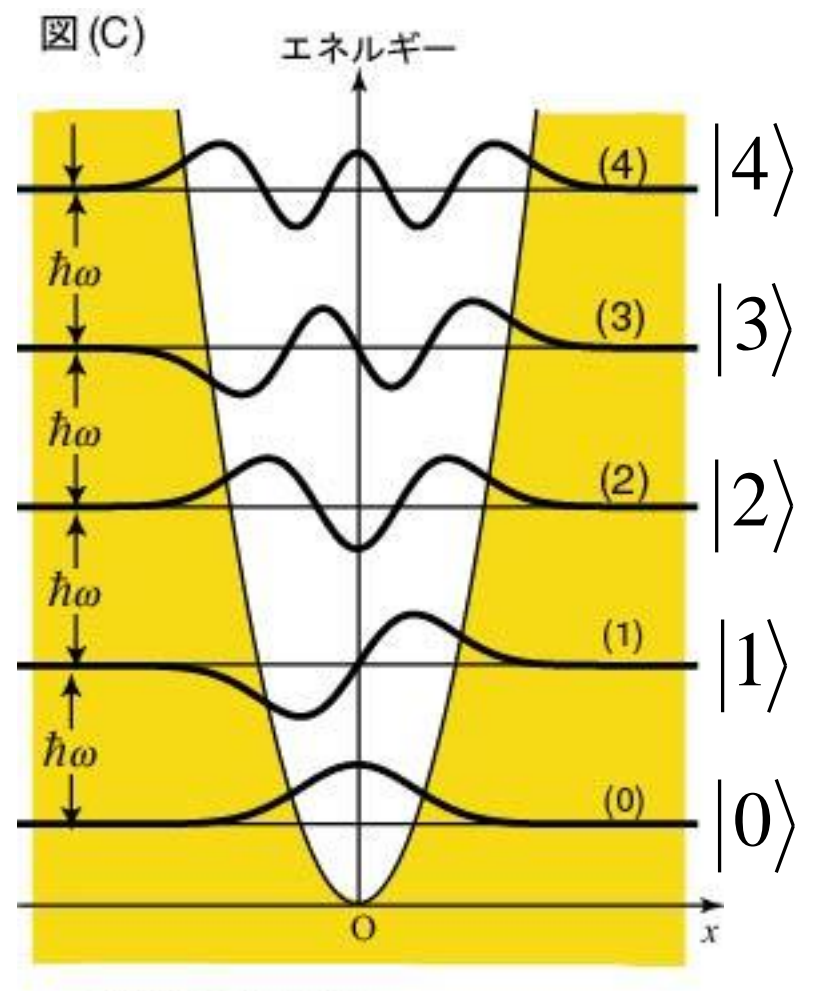


magnet electron  $\omega t = 3$ to the x where h As time along the  $\vec{E}$  and  $\vec{E}$ 

32.18

光共振器中の定在波 
$$U=rac{1}{2}(arepsilon_0 E^2+rac{1}{\mu_0}B^2)$$
 調和振動子

# 電磁波は調和振動子である



光子数状態 調和振動子の解

レーザー光を光子数状態で表す コヒーレント状態

$$|\alpha\rangle = e^{-\frac{1}{2}|\alpha|^2} \sum_{n=0}^{\infty} \frac{\alpha^n}{\sqrt{n!}} |n\rangle$$

Poisson分布 (放射線計測)

太い実曲線が波動関数

(0): 基底状態

(1)(2)(3)...:励起状態

http://www.phys.u-ryukyu.ac.jp/~maeno/qm2006/harmonic.html

#### 電磁波

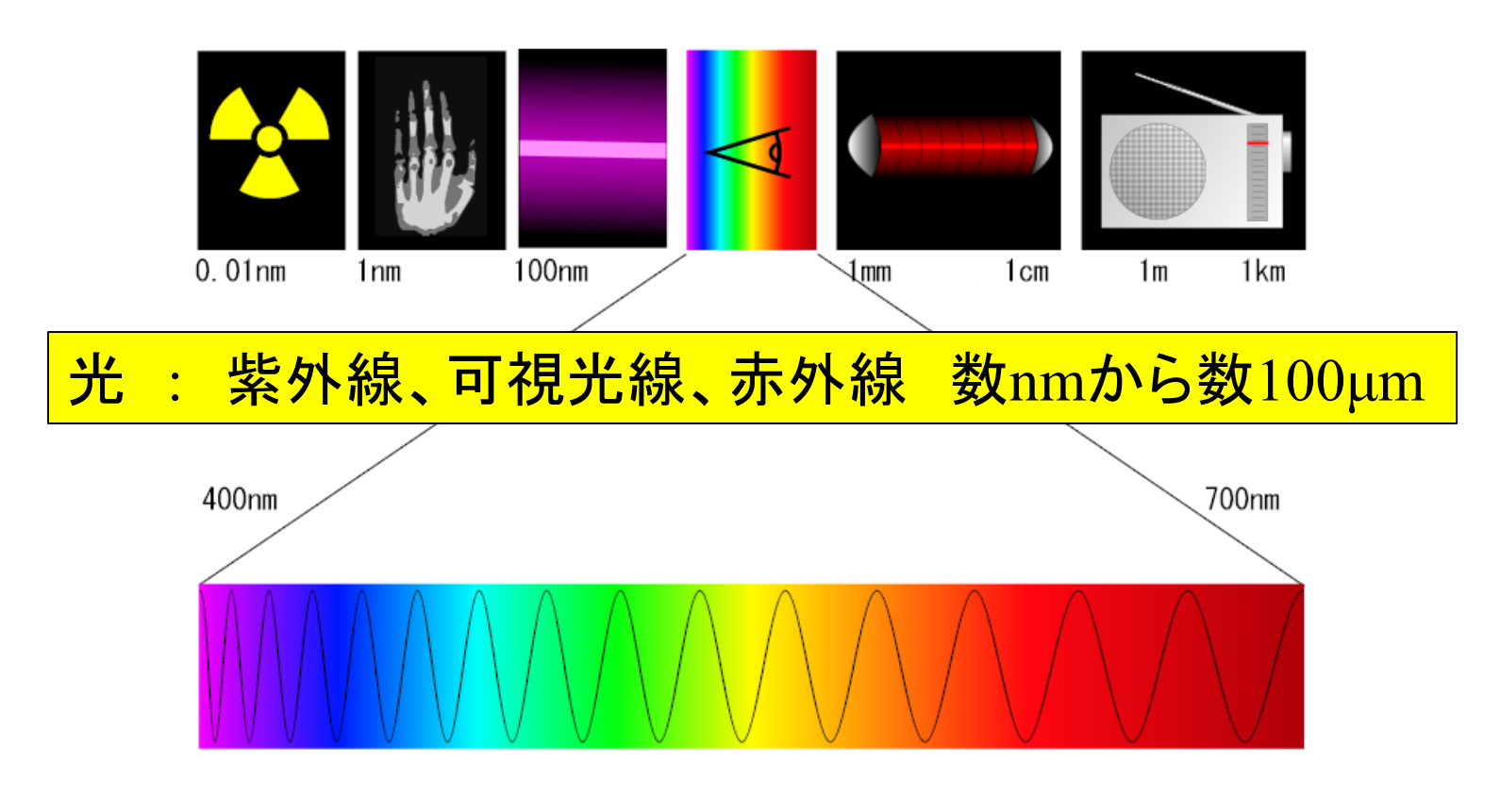
← 長波長 短波長 →

電波・マイクロ波・テラヘルツ波・赤外線・可視光線・紫外線・X線・ガンマ線

紫外線	近紫外線(UV-A・UV-B・UV-C)・遠紫外線(UVU)・極端紫外線
可視光線	赤・橙・黄・緑・青・藍・紫
マイクロ波	$\frac{1}{2} \left( \frac{1}{2} \sum_{i=1}^{n} \frac{1}{2} \sum_{i=$
電波	極極極超短波(EHF、ミリ波)・極極超短波(SHF、センチメートル波)・極超短波(UHF)・超短波(VHF)・短波(HF)・中波(MF)・長波(LF)・超長波(VLF)・極超長波(ULF)・極極超長波(SLF)・極極極超長波(ELF)

注意:マイクロ波 波長 100マイクロメートル ~ 1メートル、 周波数 3テラヘルツ~300メガヘルツ 電波の中で最も短い波長域という意味

Wikipedia



Wikipedia

#### 周波数による電磁波の分類 γ線 1億THz-1,000万THz-X線 10万THz-1万THz-紫外絲 789THz-可視光線 384THz-赤外線 3THz-電離させることができない電磁波 100GHz-10GHz-マイクロ波通信 1GHz-気象レーダー 携帯電話 PHS 供 ħ 100MHz-00 00 10MHz-温熱治療器 1MHz-1 T(テラ) =10<sup>12</sup> 1G(ギカ) =10<sup>9</sup> 60Hz-50Hz-超低周波(ELF)電磁界 1M(メガ)=10<sup>6</sup>

電波産業会 電磁環境委員会HP

# 電磁波(真空中)

$$E = cB[N/C]$$
  $B = \varepsilon_0 \mu_0 cE[N/(A \cdot m)]$   $c = \frac{1}{\sqrt{\varepsilon_0 \mu_0}}[m/s]$  光速

$$\vec{\boldsymbol{B}}(x,t) = \hat{\boldsymbol{k}}B_{\text{max}}\cos(kx - \omega t)$$
  
$$\vec{\boldsymbol{E}}(x,t) = \hat{\boldsymbol{j}}E_{\text{max}}\cos(kx - \omega t)$$

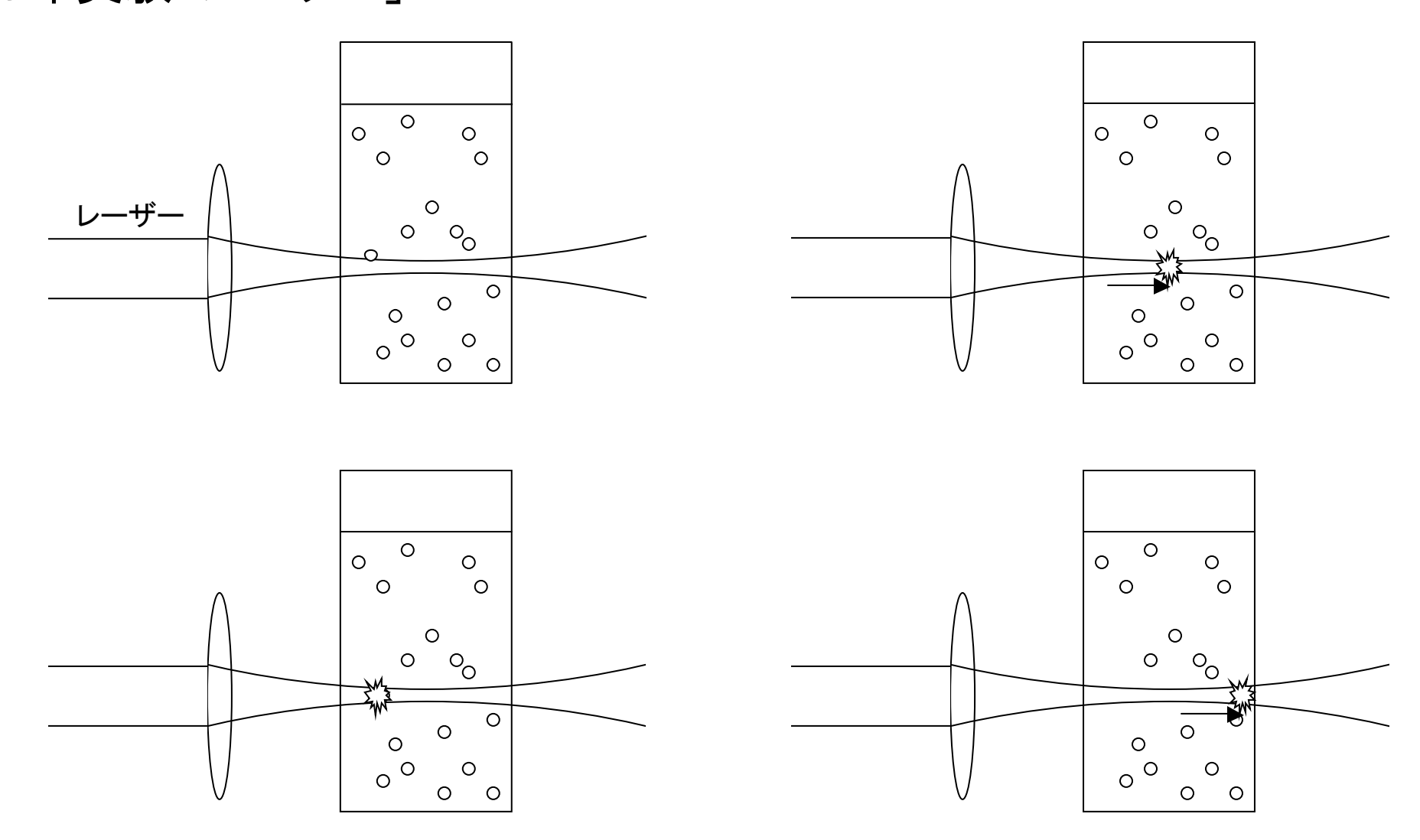
$$\vec{S} = \frac{1}{\mu_0} \vec{E} \times \vec{B} [J/(m^2 \cdot s)] ポインティングベクトル(エネルギー流東密度)$$

$$I = S_{\text{av}} = \frac{E_{\text{max}} B_{\text{max}}}{2\mu_0} = \frac{E_{\text{max}}^2}{2\mu_0 c} = \frac{1}{2} \sqrt{\frac{\varepsilon_0}{\mu_0}} E_{\text{max}}^2 = \frac{1}{2} \varepsilon_0 c E_{\text{max}}^2 \left[ J/(m^2 \cdot s) \right]$$
光の強度

$$\frac{1}{A}\frac{dp}{dt} = \frac{S}{c} = \frac{EB}{\mu_0 c}$$
 光の運動量流束密度

$$p_{rad} = \frac{S_{av}}{C} = \frac{I}{C} [N/m^2]$$
 光の輻射圧(吸収の場合)

# 水中の直径 $20 \mu$ mのポリスチレン球を3年実験「レーザー」 レーザー光で動かす

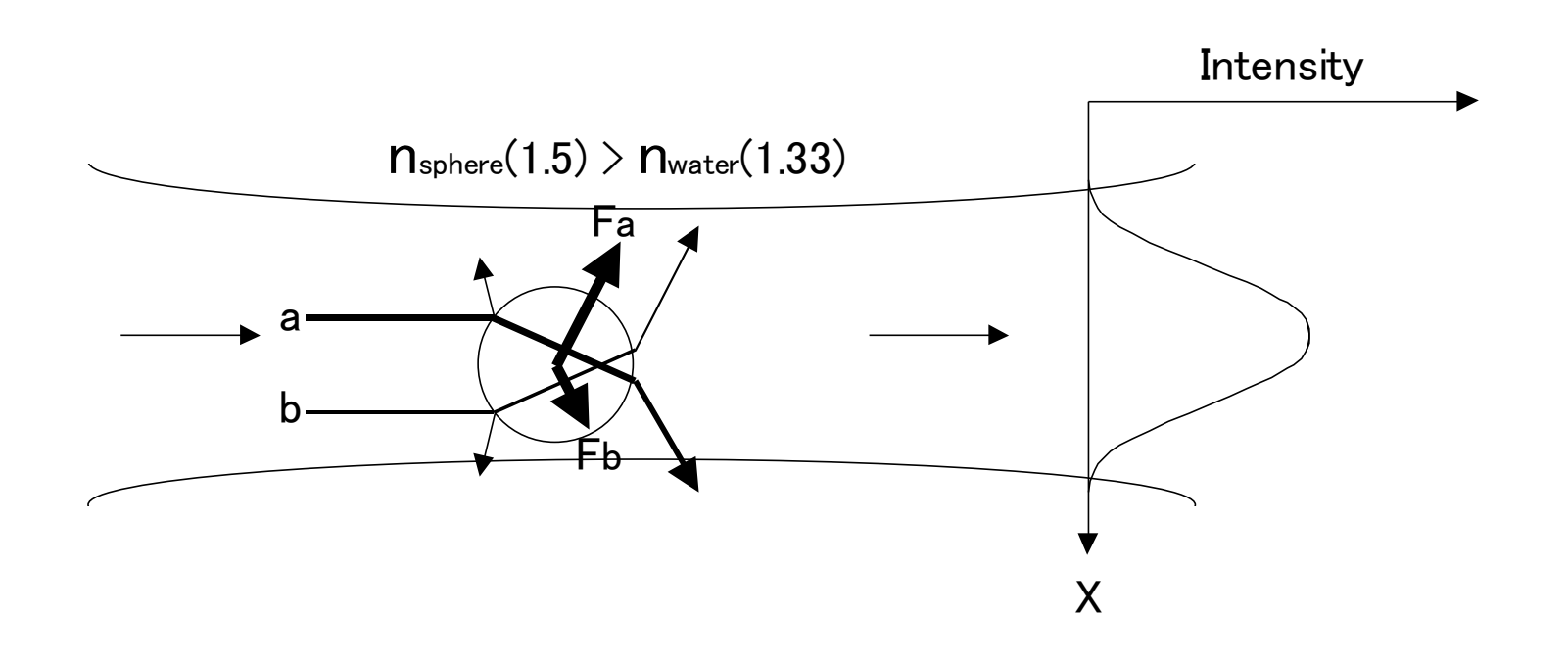


# 水中の直径20 $\mu$ mのポリスチレン球をレーザー光で動かす





#### 光の輻射圧による微小球のトラップと推進



r:ポリマー球の半径 10µm≈集光径

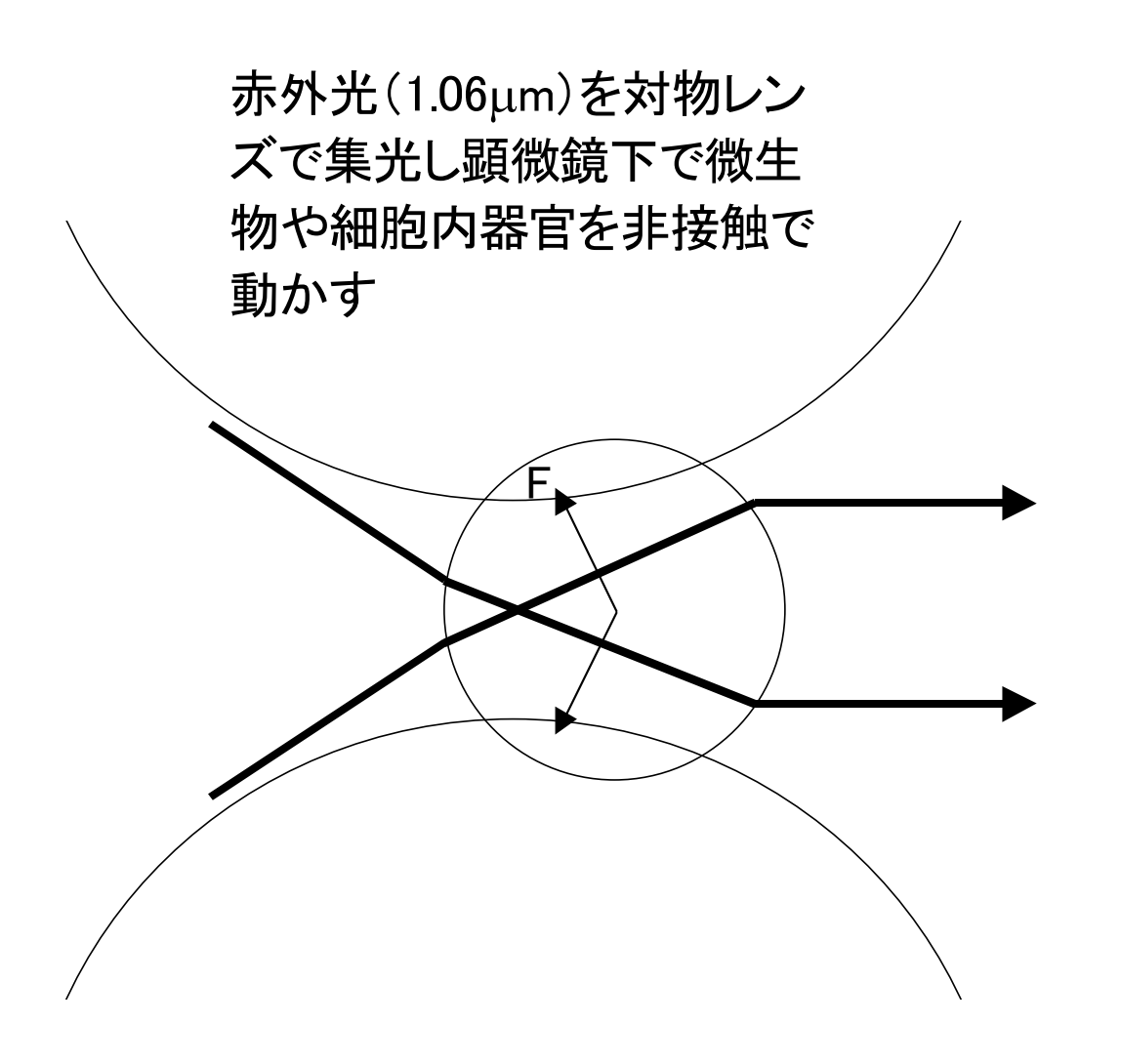
η: 水の粘性 10<sup>-3</sup> N·s/m<sup>2</sup> P:レーザーパワー60mW

$$F_{rad} = F_{\eta}$$
  $F_{rad} \approx \frac{I}{c} \times \pi r^2 = \frac{P}{\pi r^2 c} \times \pi r^2 = \frac{P}{c}$   $F_{\eta} = 6\pi \eta r v$  (Stokes's law)

終端速度1mm/s

I/c: 完全吸収の場合 実際は?

## 光ピンセット(optical tweezers)



言曹

曹

SF小説に描かれた夢の宇宙探査機の実現に向けて日 帆を開くロケット実験に成功し、来年には気球を使っ 本の計画が動き出した。八月には高度百五十計・以で に実験も試みられる。木星を目指し出帆する日を目指 大きな帆を張り、ヨットのように宇宙空間を進む。 (滝田

比べるとあまりに小さいた 地上では風の動きや重力に 宇宙を航行する。 め私たちには感じられな 子の束だ。光子の動きは、 量を持つ光子と呼ばれる粒 トは太陽光の圧力を使って 海面を滑る。「ソーラーセ 太陽光の圧力とはこう ル」と呼ばれる宇宙ヨッ ヨットは帆に風を受けて 光は非常に小さな運動

> るが、光圧のほうが千倍近 尾には太陽が噴出する高速 くも強い。 で飛ばされたちりの尾があ 青いガスの帯と、光の圧力 のプラズマに吹き流された 宇宙では太陽光の光子の圧 が乱されるほど。すい星の 力によって人工衛星の姿勢 真空、

の光子は無尽蔵の『燃料』 者が提案した。地球付近で 九二〇年代にロシアの科学 に一京個も衝突する太陽光 一平方だ・があたり一秒間 にしようという考えは、 太陽光をヨットの推進力 一九七二年には作家の

の風」を発表している。 宇宙ヨットレースをテーマ にしたSF小説「太陽から アーサー・C・クラークが

ットの研究を進めている字 か見つからなかった。 る、薄く軽い帆が必要だっ 間の過酷な環境に耐えられ 放射線にさらされる宇宙空 枚に働く重力程度。だから 実用化へのハードルは高か に立たない。高温でしかも 帆や探査機自体が重いと役 万の帆を広げて、1円玉工 った。光の推進力は百以四 そんな中、日本で宇宙ヨ だが、SFならまだしも 理想の材料はなかな

木星に向かう ソーラーセールのイメージ

させたアル ミを吹き付け、毛髪の太さ 帯電話やパソコンの電子基 研究員は「ポリイミドは携 片面に気化 材料にした。 の十分の一程度の七・五谷 ・
が
と
い
う
薄
さ
に
し
て
帆
の 同機構の横田力男・主任

板として多用されており、 に折 に積 巨大 耐えられ、 ミドは300度以上の熱に 宙航空研究開発機構は、「ポ リイミド」という高分子フ ィルムに着目した。ポリイ 放射線や紫外線

太陽光の圧力つかめ

さ六

にも強い。

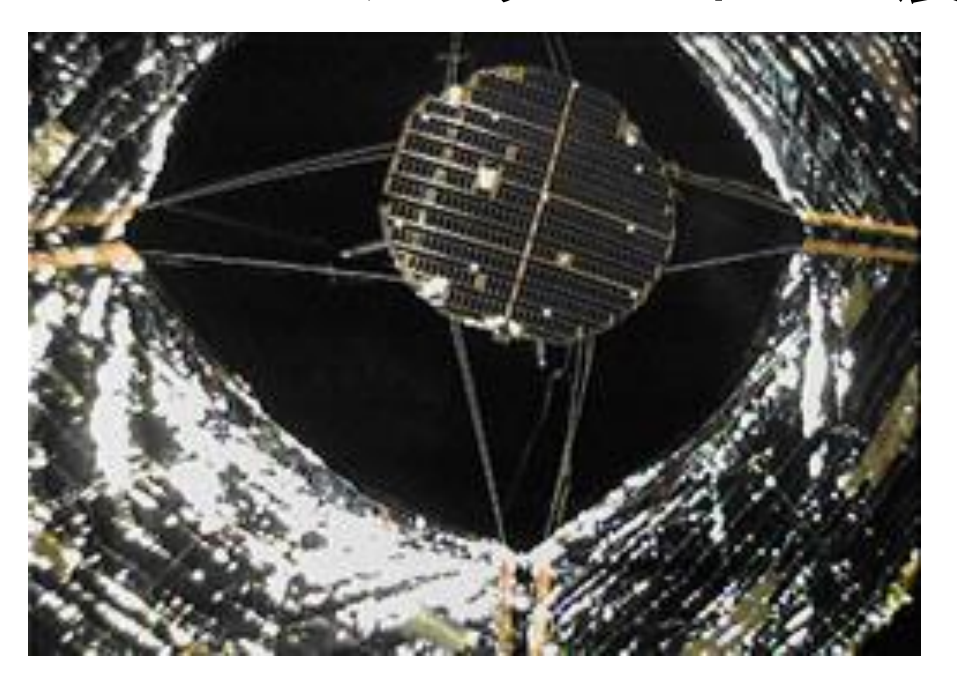
同機構では光の反射率を

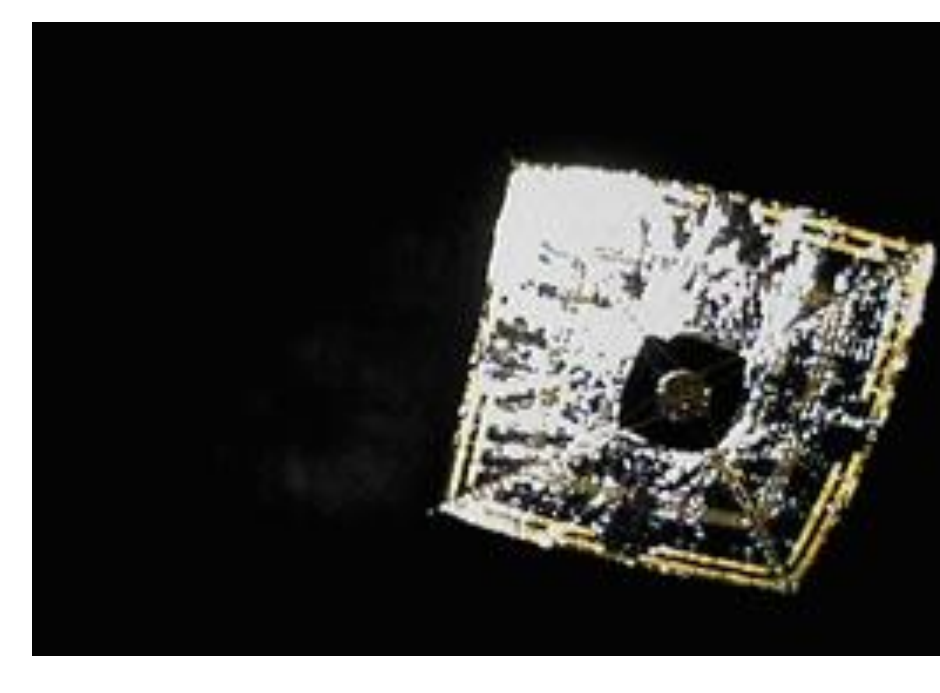
上げるため

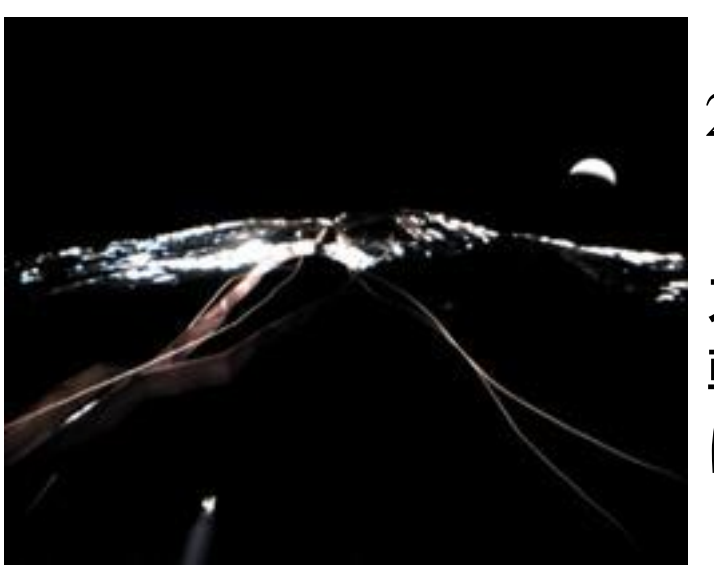
## ソーラーセイル実証機イカロス

宇宙航空開発機構(JAXA)は、2010年度に種子島宇宙センタ ーから、小型ソーラ電力セイル実証機「IKAROS(イカロス)」を 金星探査機「あかつき(PLANET-C)」と相乗りでH-IIAロケット により打ち上げる予定です。 「イカロス」は、「一辺約14.1mの大きな帆でヨットのように太陽 の光を受けて、太陽系を航行する」宇宙船です。「イカロスキャ ンペーン」では、全世界の人々から応募いただいたお名前とメ ッセージをアルミプレートやDVDに収録し、「イカロス」に載せ、 金星軌道に向かって宇宙の大海に旅立つというものです。 また、「イカロス」と同じく2010年末に打ち上げ予定である米国 惑星協会の「Light Sail-1(ライトセイル1号)」について、相互に ミッション応援キャンペーンを実施します。

### 打ち上げ成功 2010年5月21日 ソーラーセイルの展開成功 6月10日







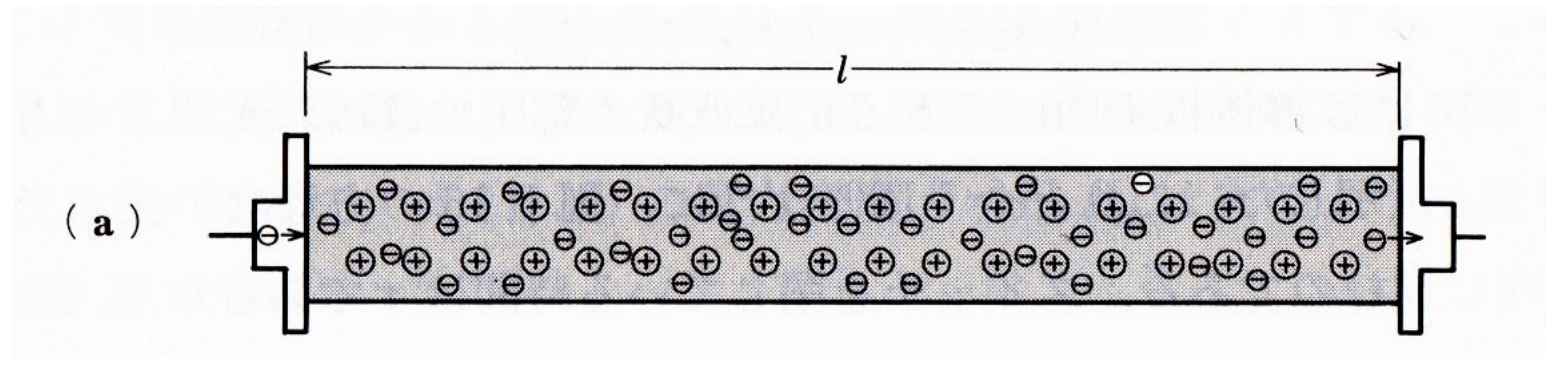
2010年12月、金星のそばを通り過ぎる

太陽光を帆に受けることによる加速や減速、 軌道制御など、予定していたすべての任務 に成功

## 電磁波がどうして力を及ぼせるのか (なぜ運動量を持つのか)

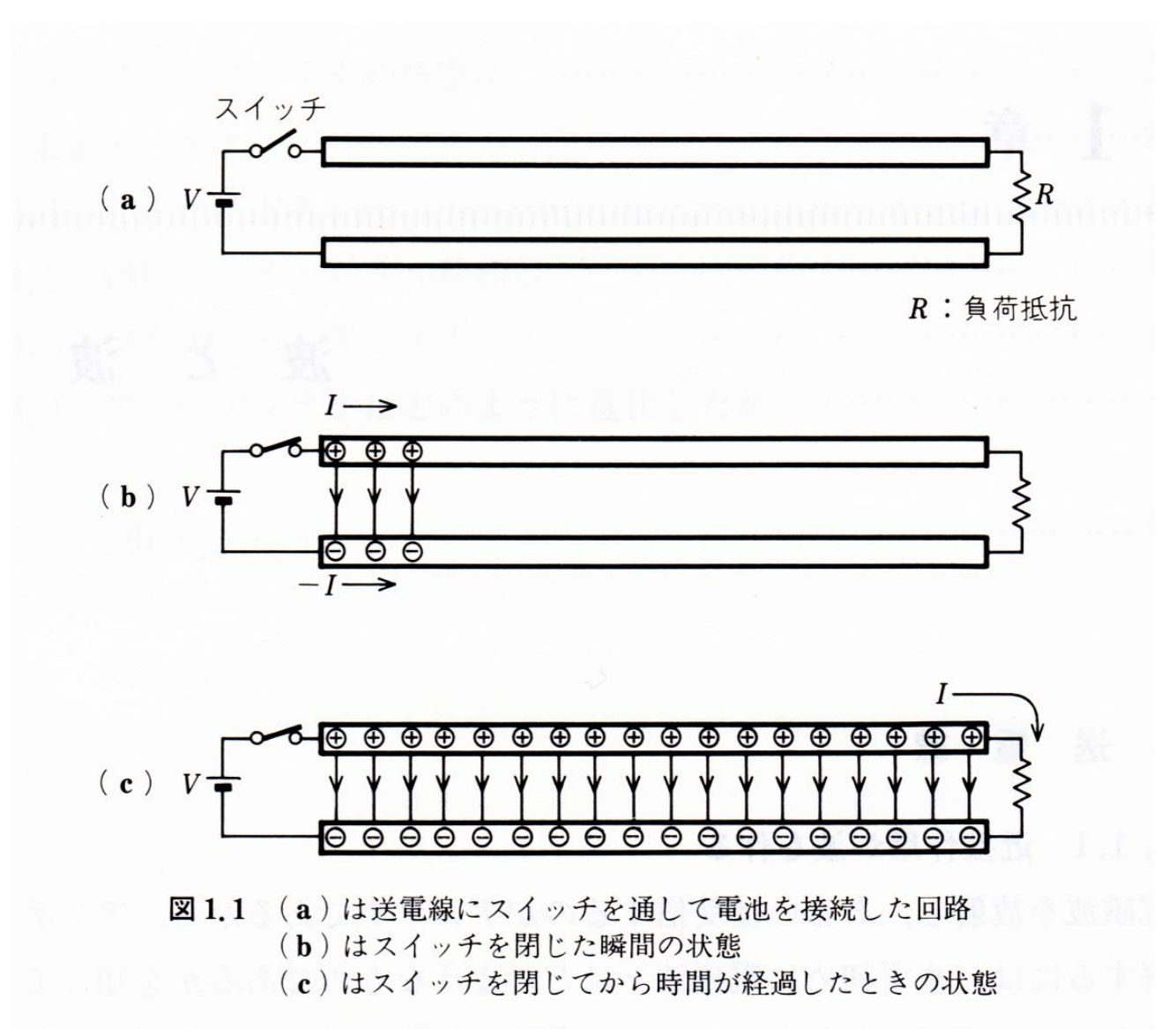
# 導線での電子の平均移動速度は?

Cu 1mm<sup>3</sup> 中の自由電子の電荷 13.6C 13.6Aが断面積1mm<sup>2</sup> の導線を流れても 電子の平均移動速度1mm/s

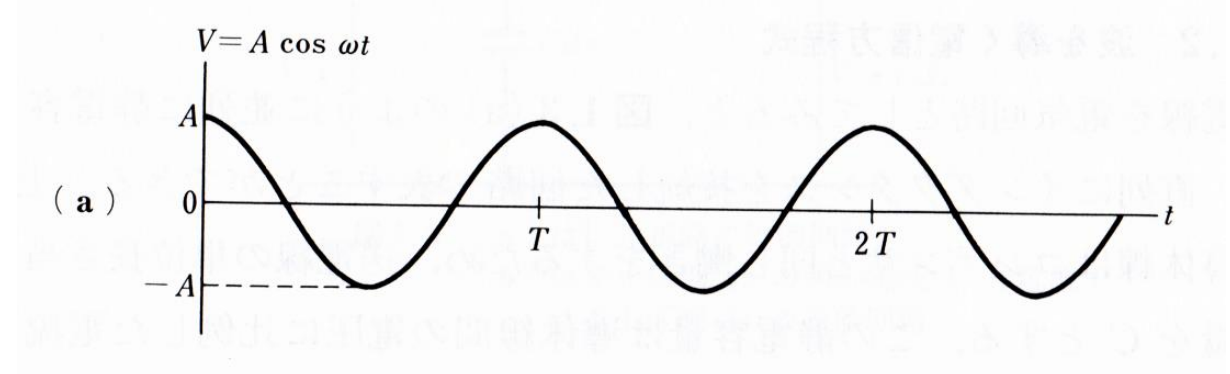


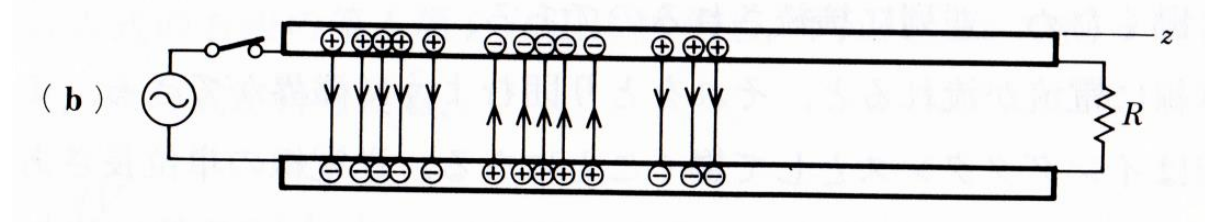
# フェルミ速度? 信号伝達速度?

# 電気回路は何を運ぶ?



#### 後藤尚久 図説・アンテナ





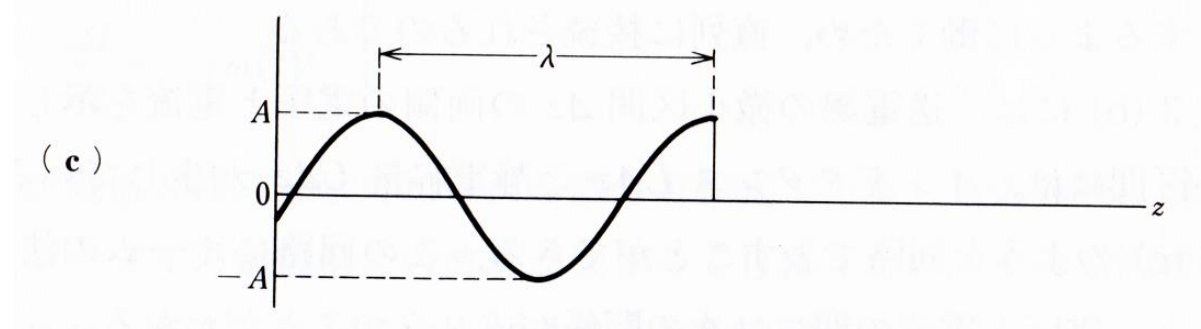
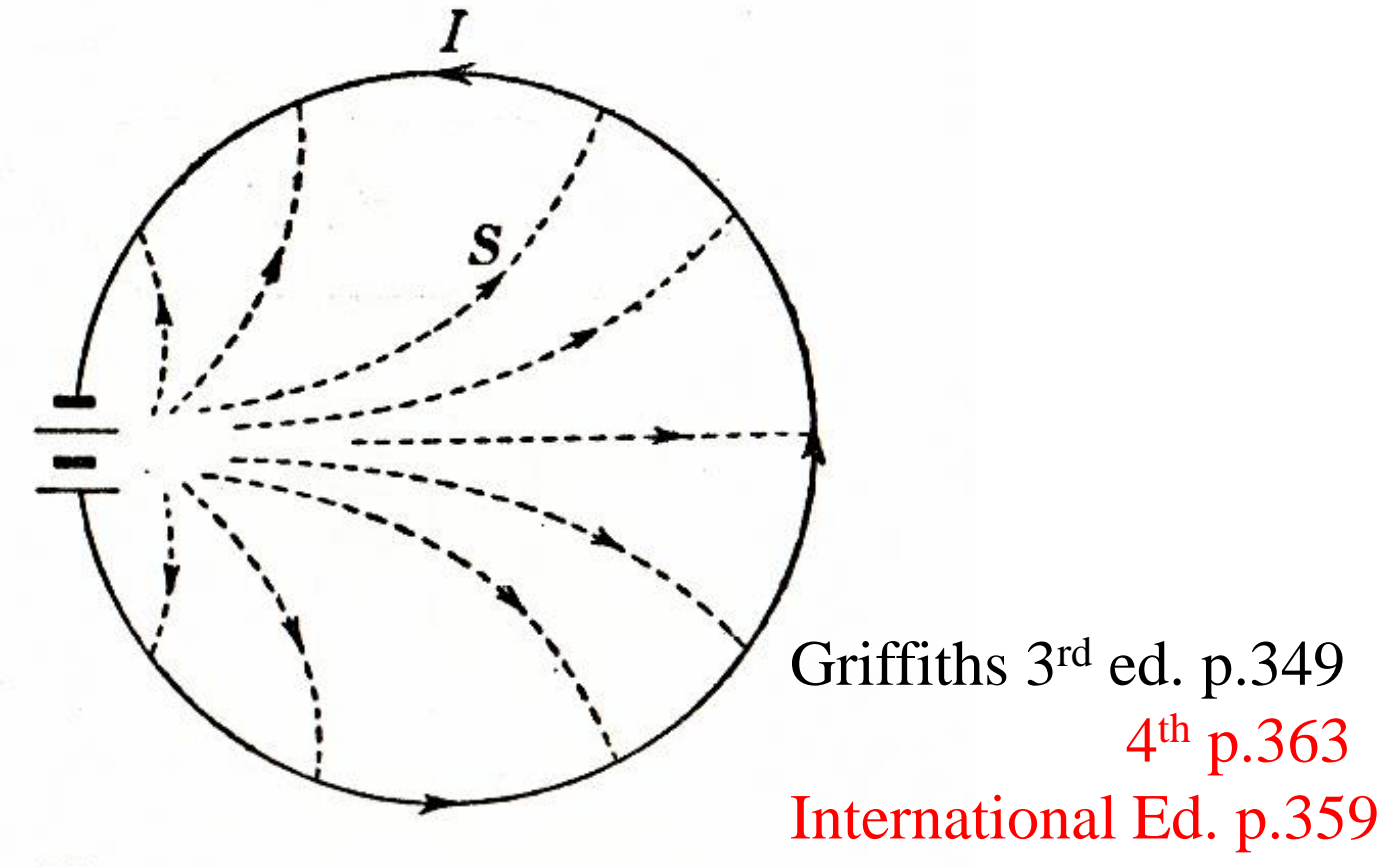


図1.2 (a)は交流電源の電圧波形

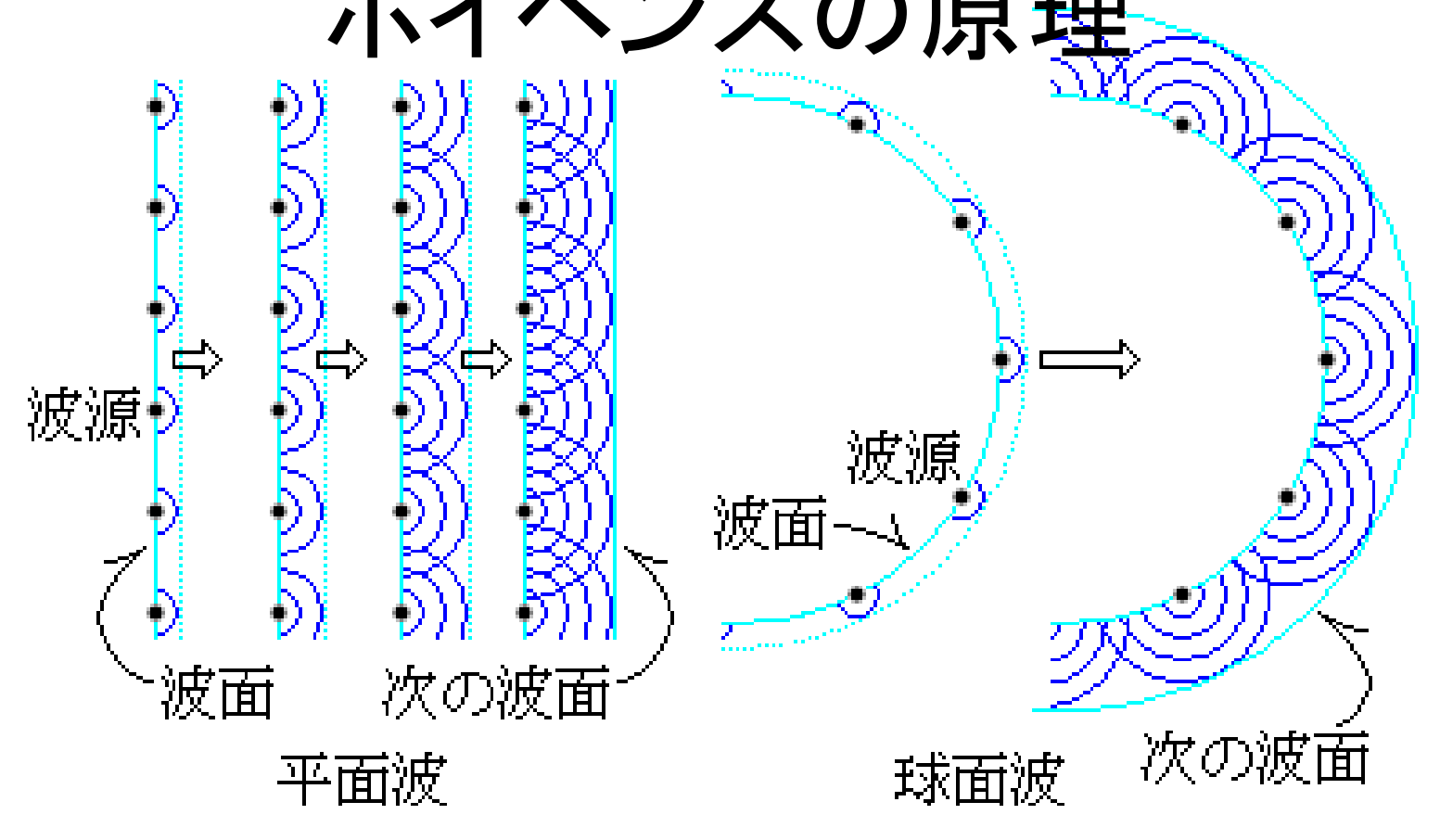
- (b)は図1.1の電池の代わりに交流電源を用い, スイッチを閉じた瞬間の状態
- (c)は送電線に沿う電圧の波形



V.1-4 図 電池から流れ 出たエネルギーは点線に 沿って空間を伝わって導 線に入る.

高橋秀俊 電磁気学

# 電磁波の空間・物質中の伝播ホイヘンスの原理



- ・なぜ後退波が存在しないか?
- ・物質中の光速が遅くなることを認めれば、屈折が説明できる。 ではなぜ物質中で速度が遅くなるのか?

# 電磁波の発生 電気双極子輻射(放射)

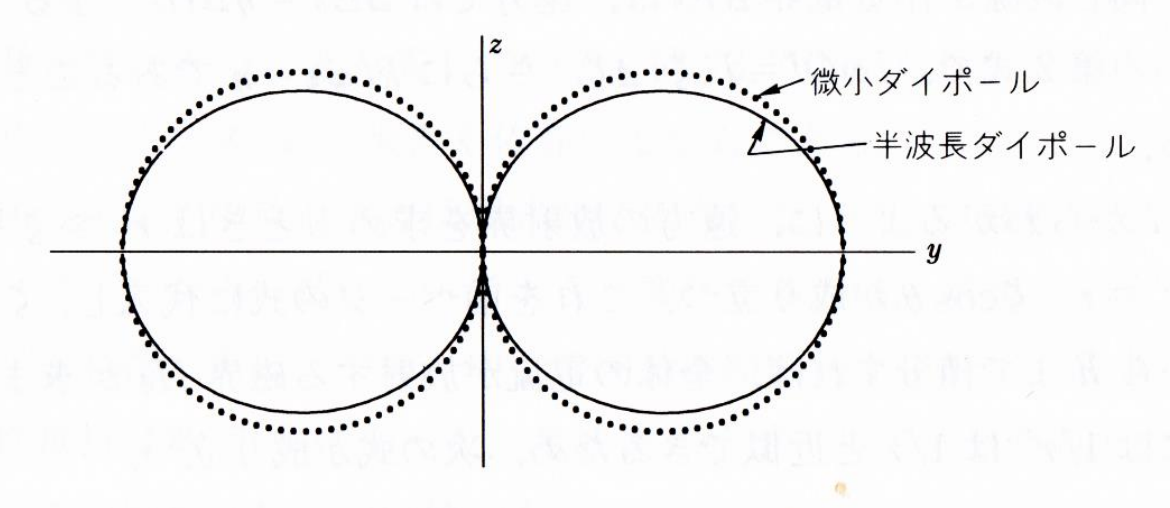
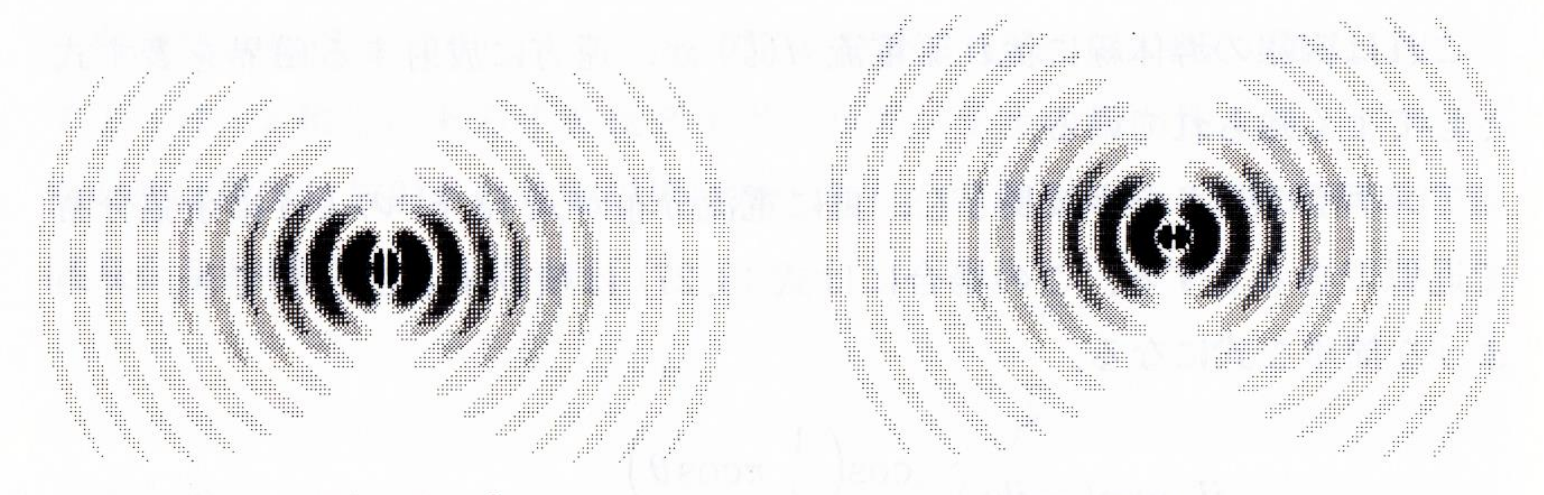


図 3.18 アンテナの指向性



(a) 半波長ダイポール

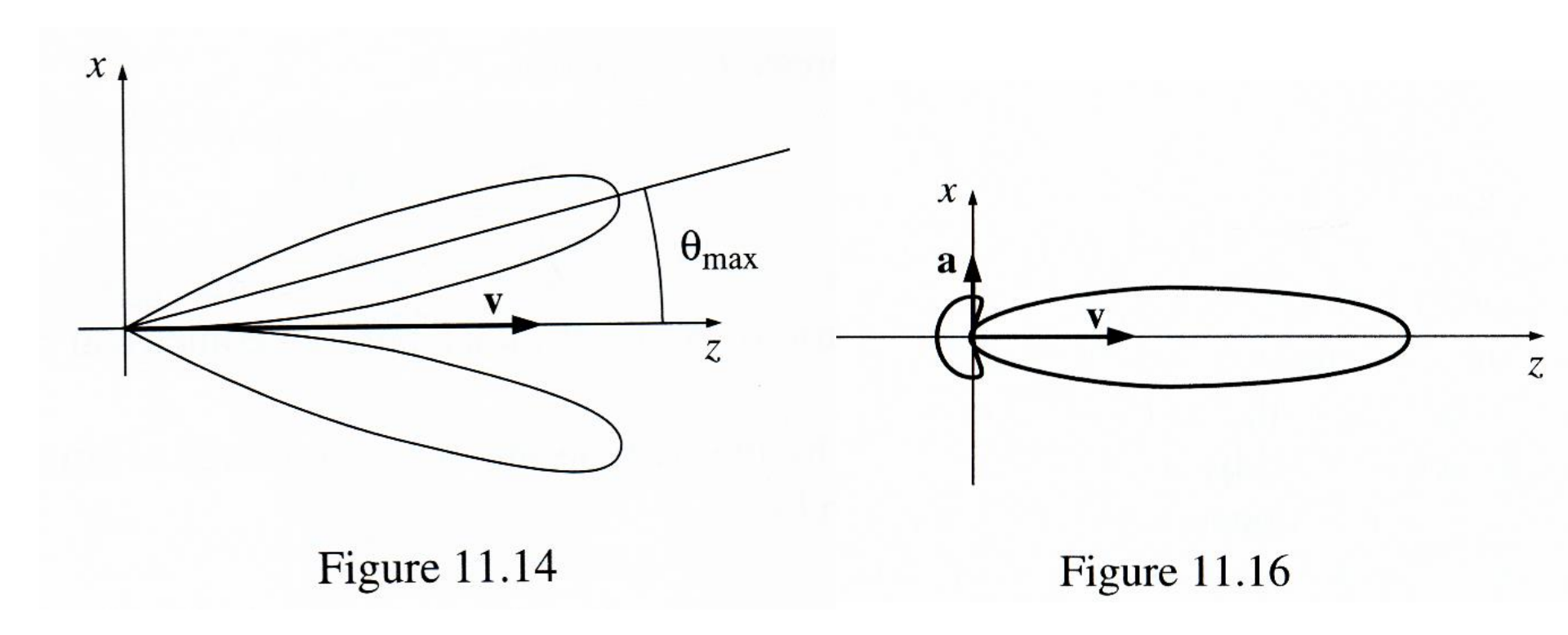
(b) 微小ダイポール

図説・アンテナ

図 3.19 パソコングラフィックスで示したアンテナの指向性

電磁波の発生

# 制動輻射、シンクロトロン輻射



http://webphysics.davidson.edu/applets/sync/default.html

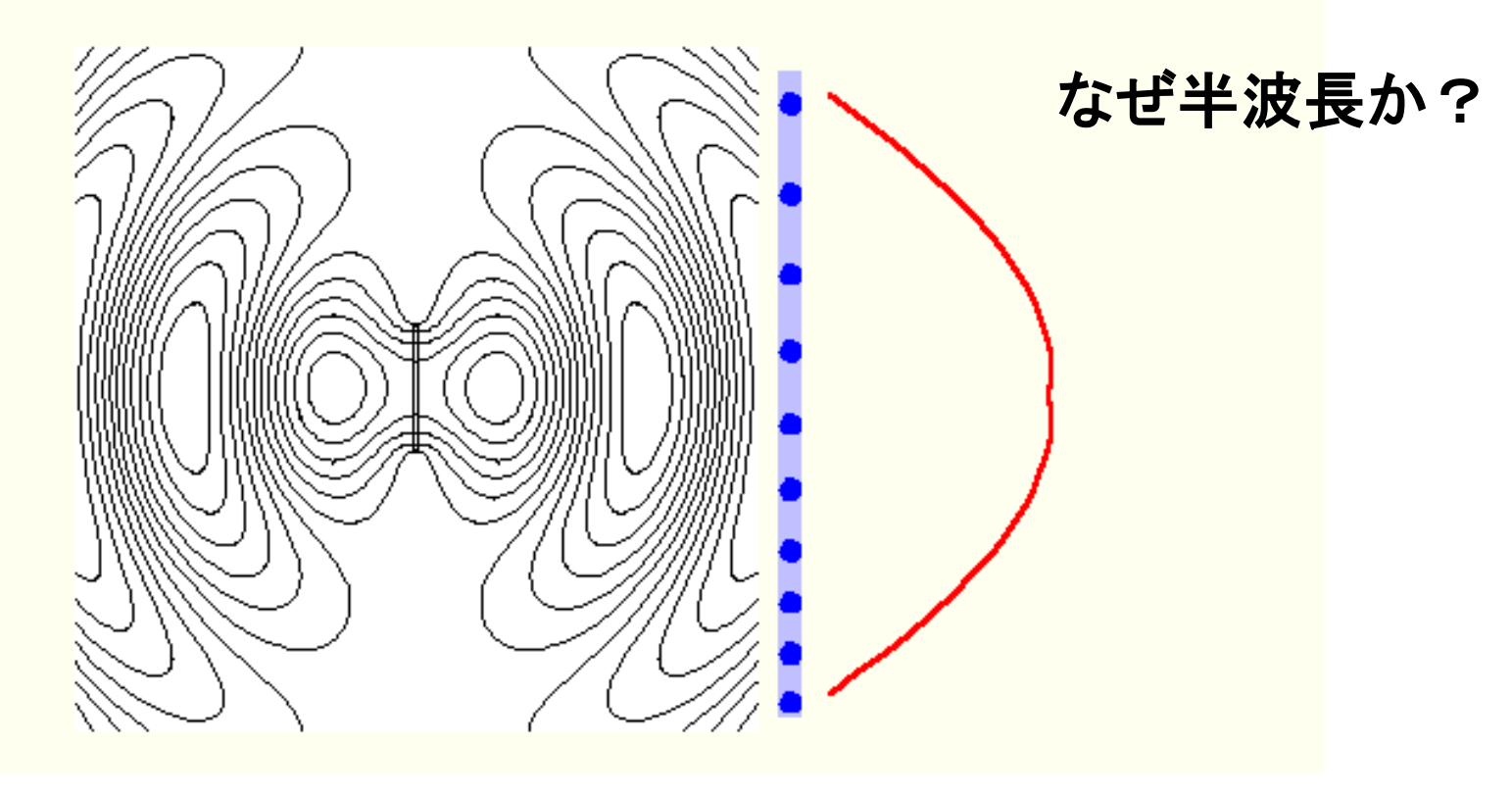
#### 応用 軌道放射光 自由電子レーザー

Griffiths Intro. ElectroDynamics

電磁波の送信・受信ダイポールアンテナ

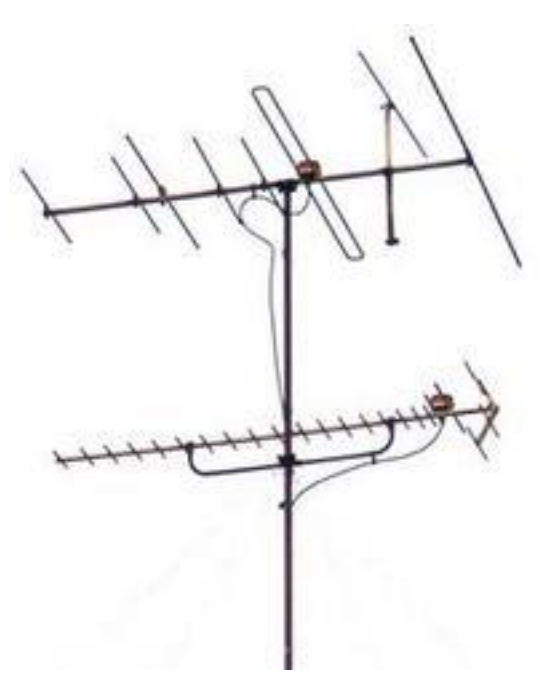
半波長ダイポールアンテナから電気力線のアニメーション

2.51×2.51の範囲を描画



http://www-antenna.ee.titech.ac.jp/ ~hira/hobby/edu/em/halfdip/halfdip-j.html

# 八木・宇田アンテナ



テレビ受信用八木・宇田アンテナ(上段が VHF 用、下段が UHF 用)

1928年

# 光学ナノアンテナ

単一分子からの 発光強度、空間分布を アンテナで変化させる

同様にナノアンテナで 回折限界よりも 小さなスケールに光を集光

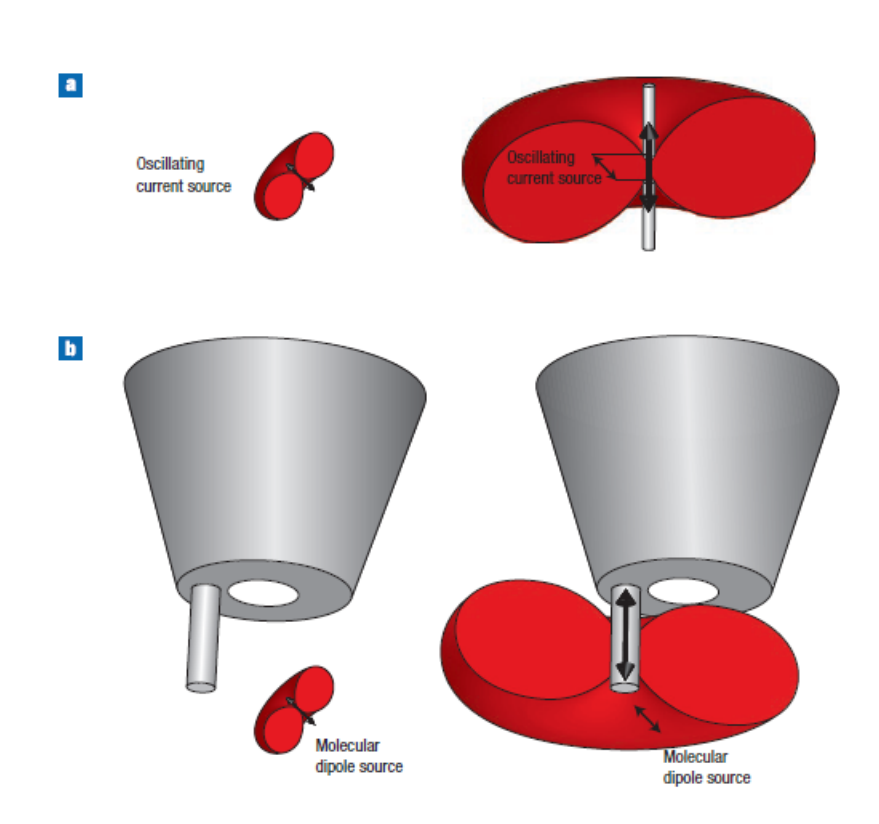


Figure 1 Antennas amplifying and redirecting emission. a, An oscillating point source (left) is not an efficient radiator, but when that current source is wired to a half-wavelength antenna (right), emission from the coupled system is amplified and redirected into the dipolar mode of the antenna. b, Likewise, the emission from a single fluorescent molecule (left) can be amplified and redirected by coupling to the optical antenna at the tip of a near-field probe (right). Note that by coupling the molecule to a highly directional antenna, the coupled system acquires the directionality of the antenna.

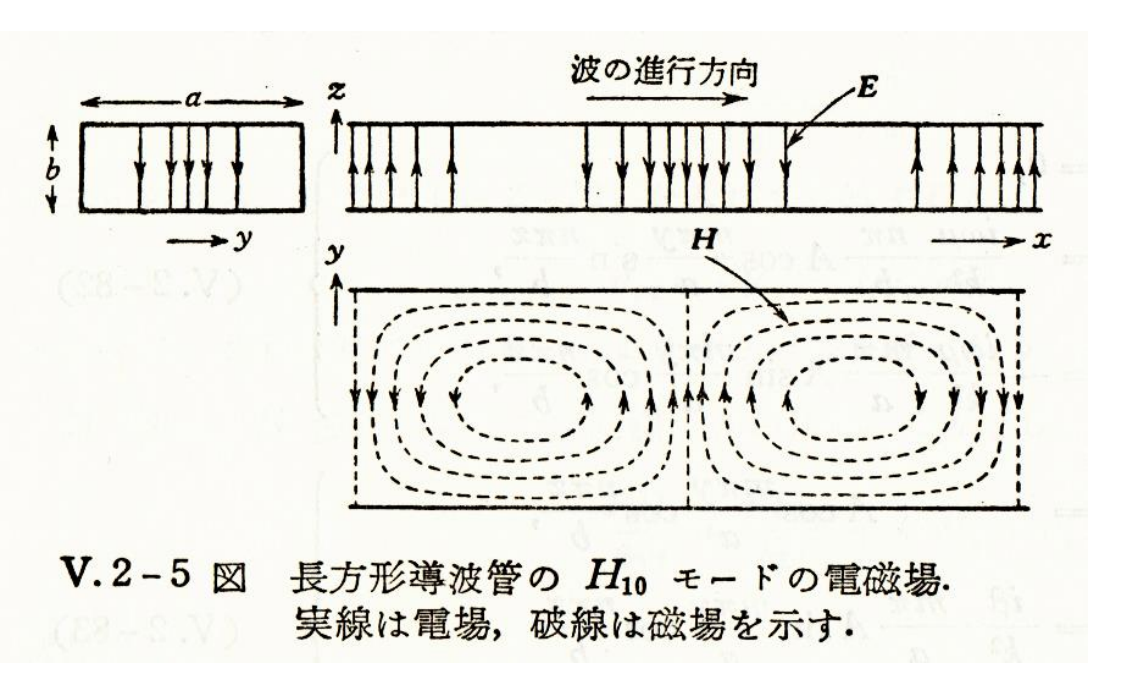
Nature Photon. 2, 230 (2008)

# 導波管





真空中とは異なるモード 縦電場、縦磁場が存在 なぜか?





大強度陽子加速器J-PARC クライストロン出力伝送用立体回路

高橋秀俊 電磁気学



# 同軸ケーブル



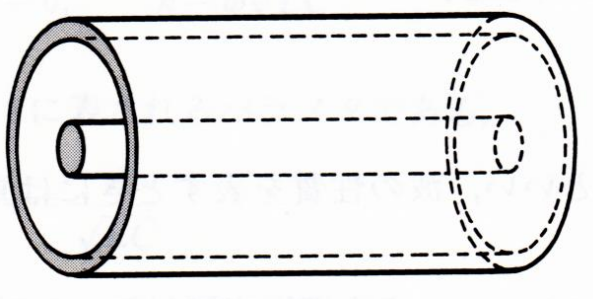
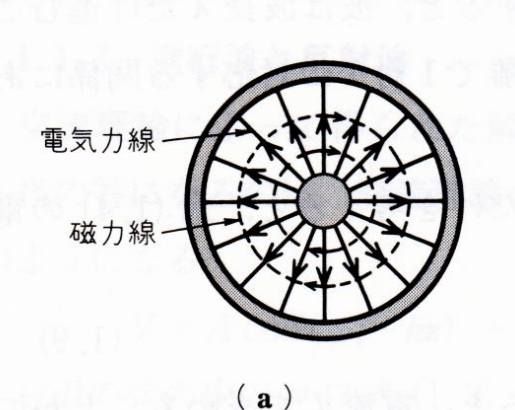
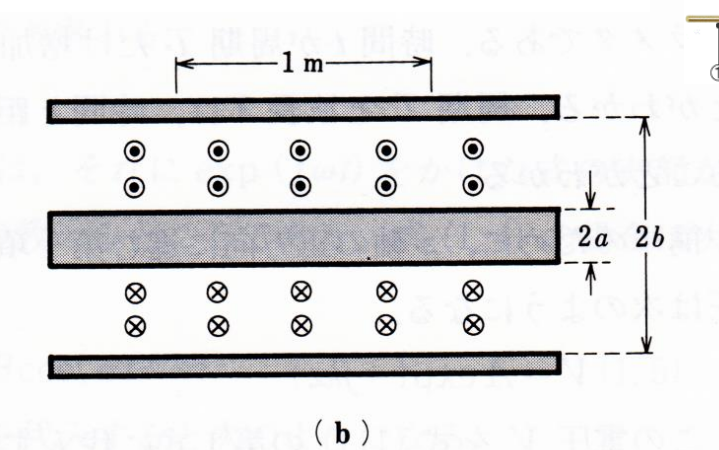


図 1.4 同軸線路







テレビ受像機の アンテナ給電線

図1.5 (a)は同軸線路の断面図

- (b)は同軸線路の軸方向の断面図
  - ●と⊗は磁力線の方向を示す.

図説・アンテナ

核磁気共鳴 プラズマ診断(プラズマ密度計測) ICカード

盗難防止ゲート 時間の標準

- ・災害時の非常緊急連絡用通信(防災無線、消防無線、警察無線等)
- 衛星放送/衛星通信
- タクシー無線
- アマチュア無線
- GPS (Global Positioning System: 電波を用いた位置情報システム)
- ITS (Intelligent Transport Systems:電波を用いた高度道路交通システム
- ・無線LAN(電波を用いたLocal Area Networkシステム)
- 医療機器
- •電波天文学

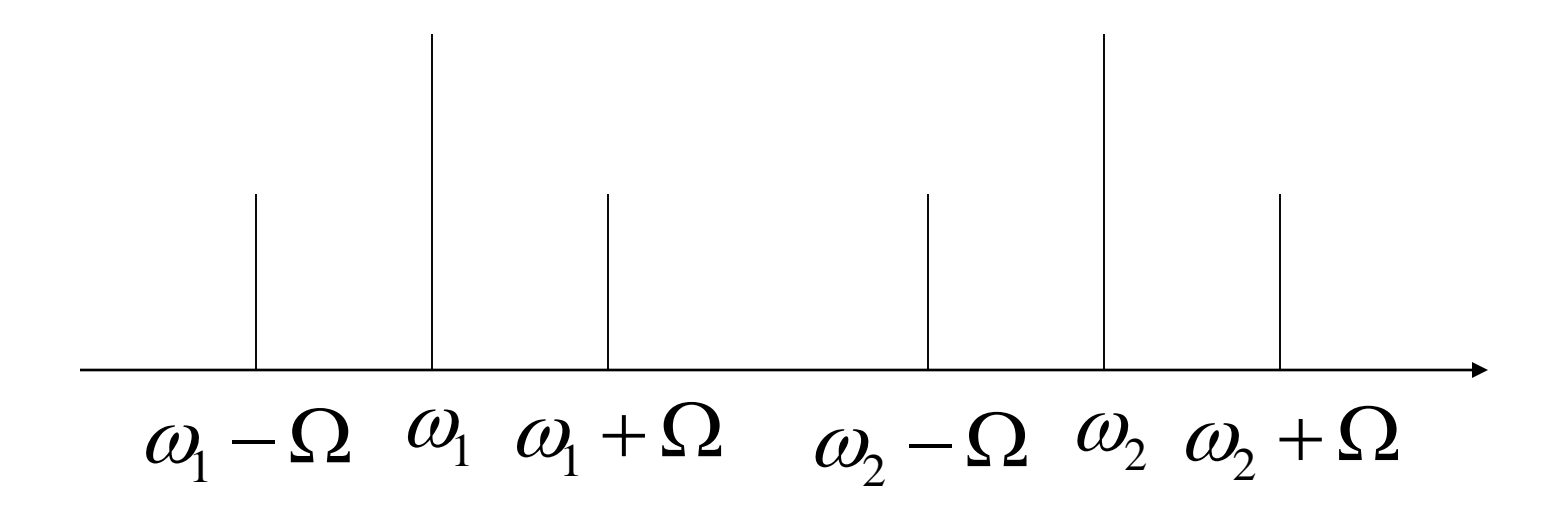
なぜ大容量通信に光通信が必要か?

なぜ大容量通信に光通信が必要か?

## 光(電磁波)に情報を乗せる

 $(1 + A\cos\Omega t)\cos\omega t$  振幅変調

$$\cos \Omega t \cdot \cos \omega t = \frac{e^{i\Omega t} + e^{-i\Omega t}}{2} \cdot \frac{e^{i\omega t} + e^{-i\omega t}}{2}$$
$$= \frac{1}{4} \left( e^{i(\omega + \Omega)t} + e^{-i(\omega + \Omega)t} + e^{i(\omega - \Omega)t} + e^{-i(\omega - \Omega)t} \right)$$



# 通信速度 bps (bits per second)

$$u = \frac{c}{\lambda}$$

$$\left|\Delta \nu\right| = \frac{c}{\lambda^2} \left|\Delta \lambda\right|$$

波長が短いほど波長当たりの周波数密度が高い

携帯電話 極超短波 0.3GHz~3GHz GHzで変調できない<Gbps 光通信 850nm, 1310nm, 1550nm ~300THz

$$\lambda = 1 \mu m$$
で、 $\Delta \lambda = 1 nm$  のとき  $\Delta \nu = 300 GHz$ 

光通信用の光源 (近赤外線)レーザー 0.85,1.31,1.55,1.65µm

200-300THzの電磁波

どうやって発生する? 電子回路(発振器)で可能か?

# 現在の技術では困難 GHzが限界

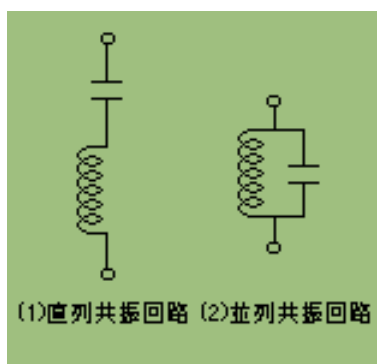
なぜだろうか?

## ラジオ

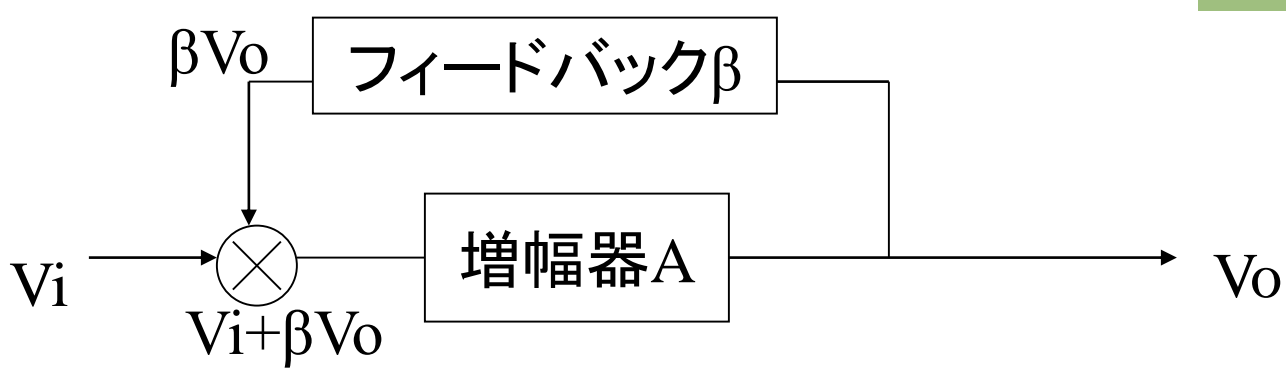
受信 並列共振回路

$$Z = \frac{1}{\frac{1}{j\omega L} + j\omega C} = \frac{j\omega L}{1 - \omega^2 LC}$$

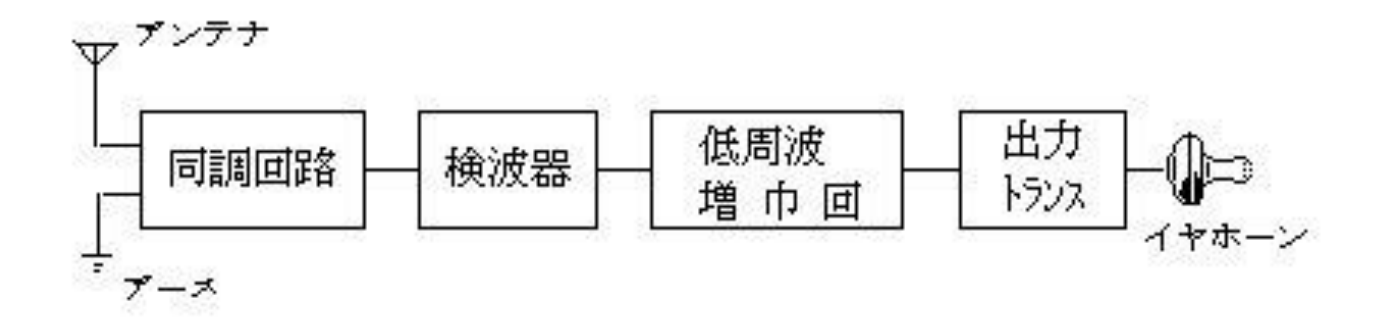
共振周波数 $\omega = \frac{1}{\sqrt{LC}}$ 



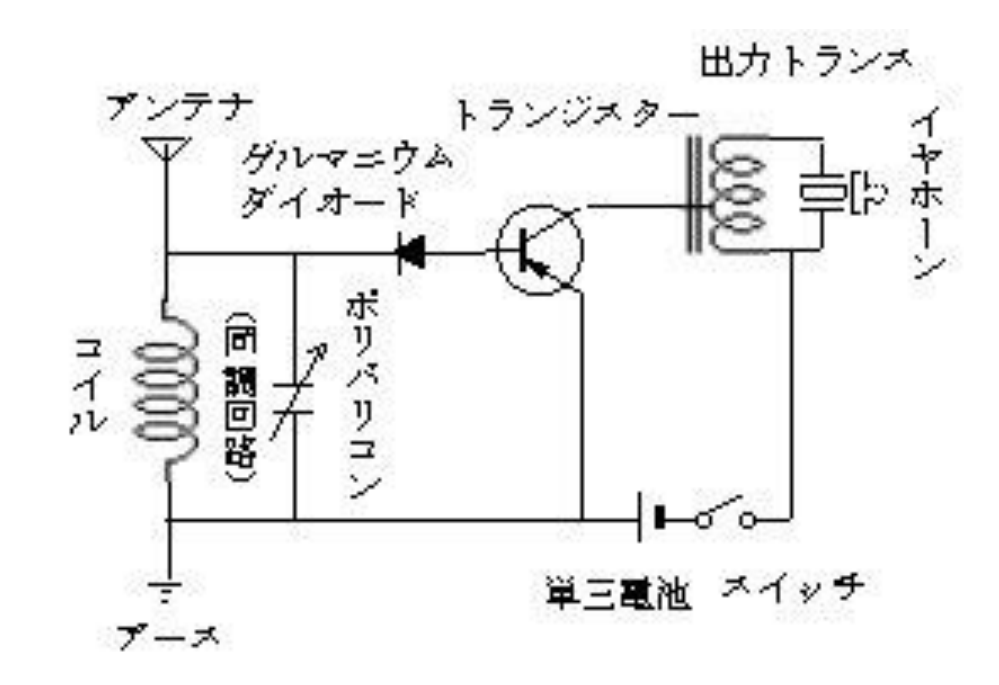
#### 発振(放送電波の発生)



Vo=A(Vi+βVo) 
$$\frac{V_o}{V_i} = \frac{A}{1 - \beta A} \qquad \beta A = 1$$
 **発振**



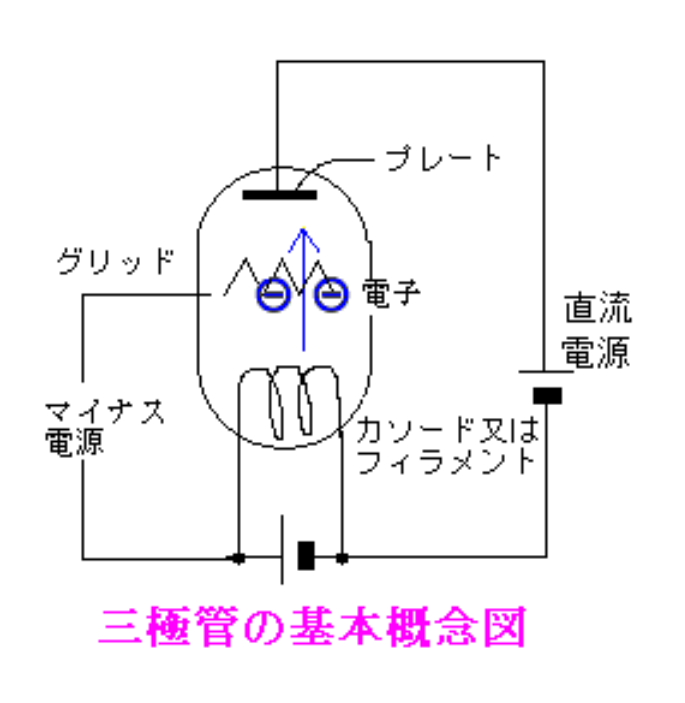
第1図1石低周波一段増幅ラジオのブロック図(系統図)

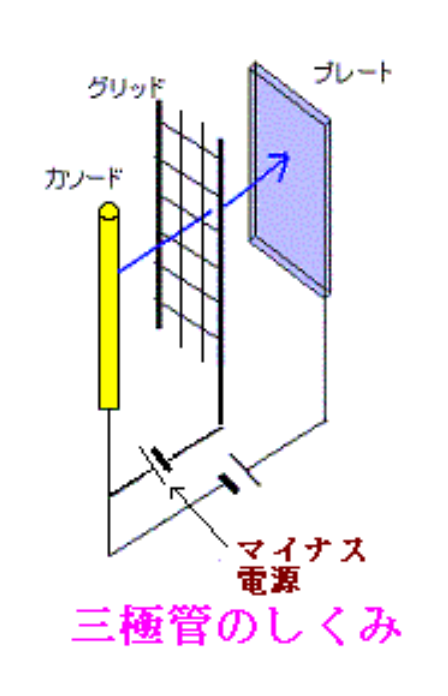


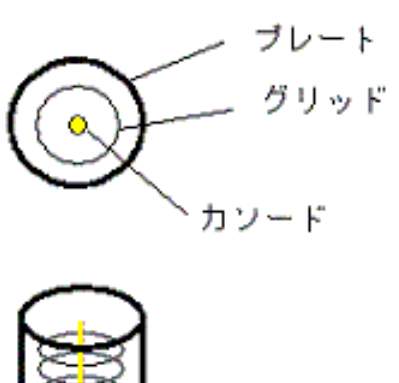
第2図 1石低周波一段増幅ラジオの実際例

#### 初歩のラジオ実験室ホームページ

### 増幅器









- (1) 周波数が大きくなると、電子が陽極まで到達しない(走行時間効果)
- (2) 共振周波数 $\omega = \frac{1}{\sqrt{LC}}$   $\omega > 1$ THzのためには C < 1pF L < 1pH

回路の浮遊容量、漏洩インダクタンスのため、小さくすることは困難 ——— 素子を小さくする——— 半導体素子

半導体増幅器(トランジスタ) 応答速度 通常 数100MHz

### 電子レンジ マグネトロン

マグネトロンの構造

2.45GHz(~12cm)

**アンテナ** 高周波出力部

#### 取り付け板

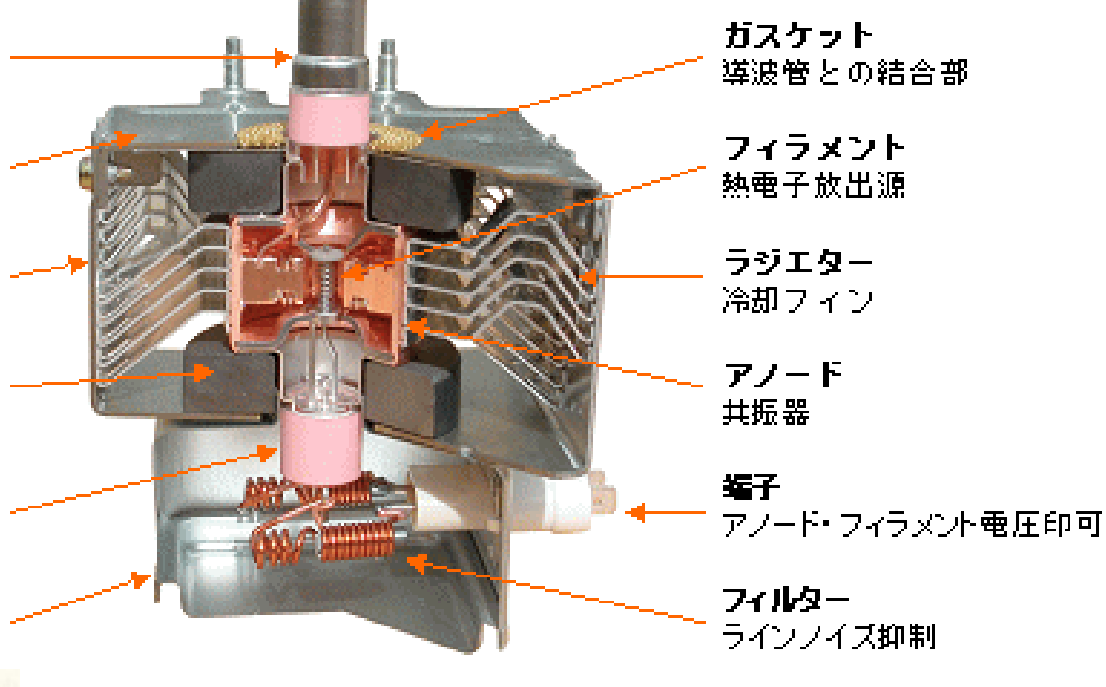
オーブンへの取り付け部、磁路

ヨ**ーク** 磁路

マグネット 磁界発生源

**ステム** フィラメント保持、入力絶縁

> **フィルターボックス** パワー漏れのシールド



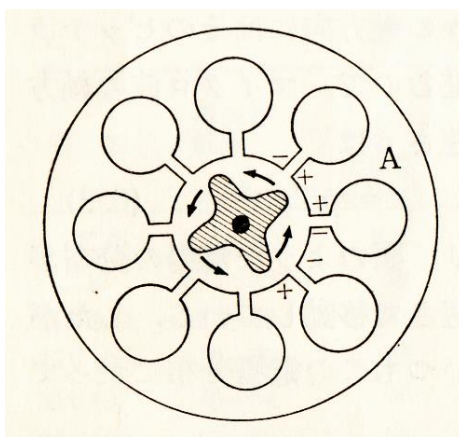


図 6.8 8分割マグネトロン (中央 の黒丸は陰極Cの断面)

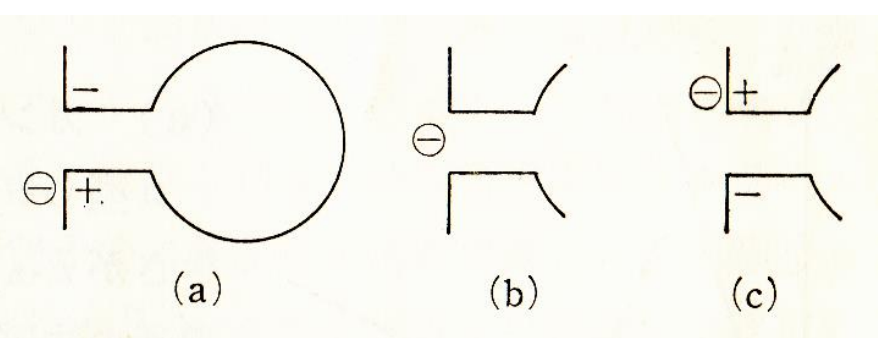


図 6.9 スリットの前面を通りすぎる極(電子のダマ)が共振器を励振する.

阿部英太郎 マイクロ波技術

# 高電子移動度トランジスタ High Electron Mobility Transistor

1979 富士通 三村

### HEMTの電気的特性

・高周波における利得が高く、電流利得カットオフ周波数 $f_T$ ならびに最大発振周波数 $f_{max}$ が高いこれまでに報告された $f_T$ の最高値は2008年に報告された30nmゲートInP系PHEMTの628GHzである。

## 共鳴トンネルダイオード

1.42THzの室温発振

1.92THzの室温発振

### 数100THzの発振は

レーザー

でないと不可能

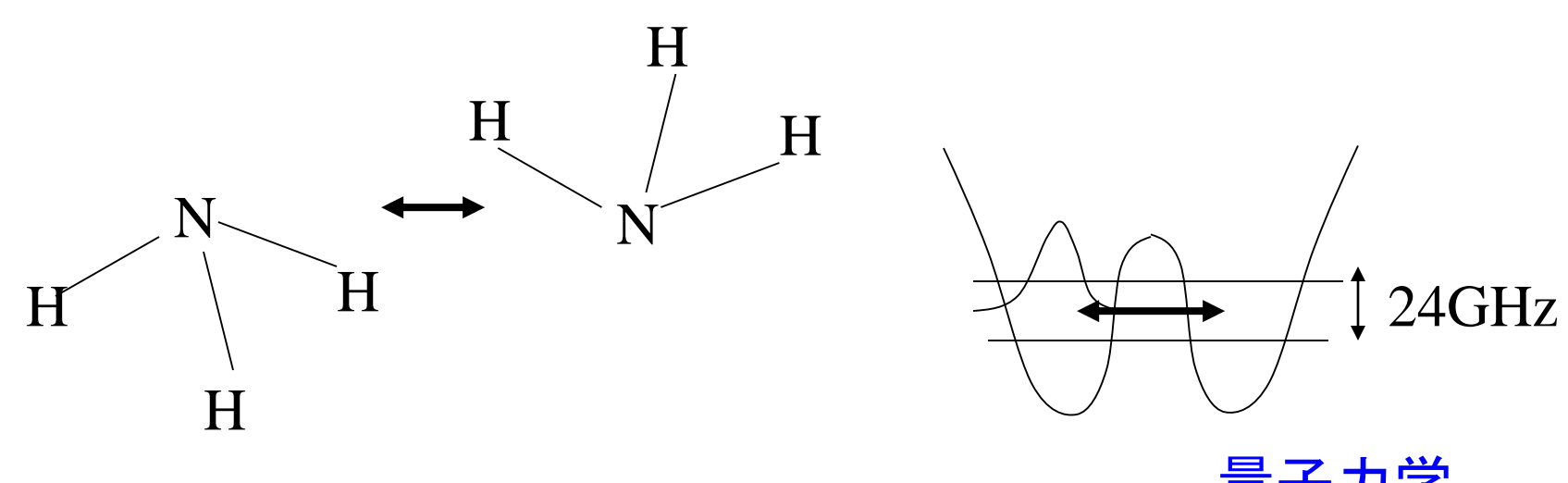
### 誘導放出

1917年 アインシュタインの予言

Light Amplification by Stimulated Emission of Radiation 放射の誘導放出による光増幅 ⇔ 自然放出光

短波長の電磁波になるほど、光増幅すなわちレーザー発振は困難になる なぜか?

最初のレーザー アンモニアメーザー 24GHz、波長1.2cm Light でなく Microwave なので Maser 1954



### メーザーからレーザーへ

初めての可視光でのレーザー発振

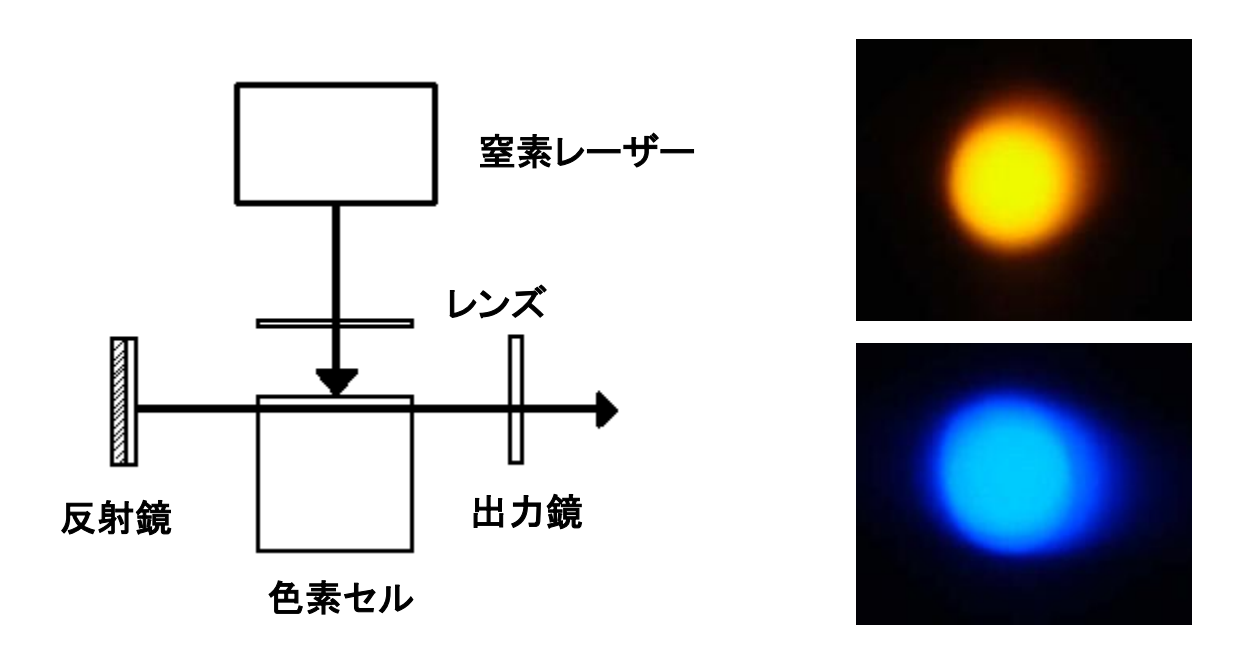
ルビー結晶 1960

赤色 693.5nm 432.6THz 14419cm<sup>-1</sup>

3年実験 固体分光 でルビーを使用

### 3年物理学実験

色素レーザーの発振: レーザー共振器を組んで窒素レーザー 励起の色素レーザーを発振させる



強いレーザー光を得るには? 自然放出光·誘導放出光とは? 発振波長を変えるには? レーザーの4種類のコヒーレンス?

# レーザーは短い波長ほど実現困難。 なぜか?

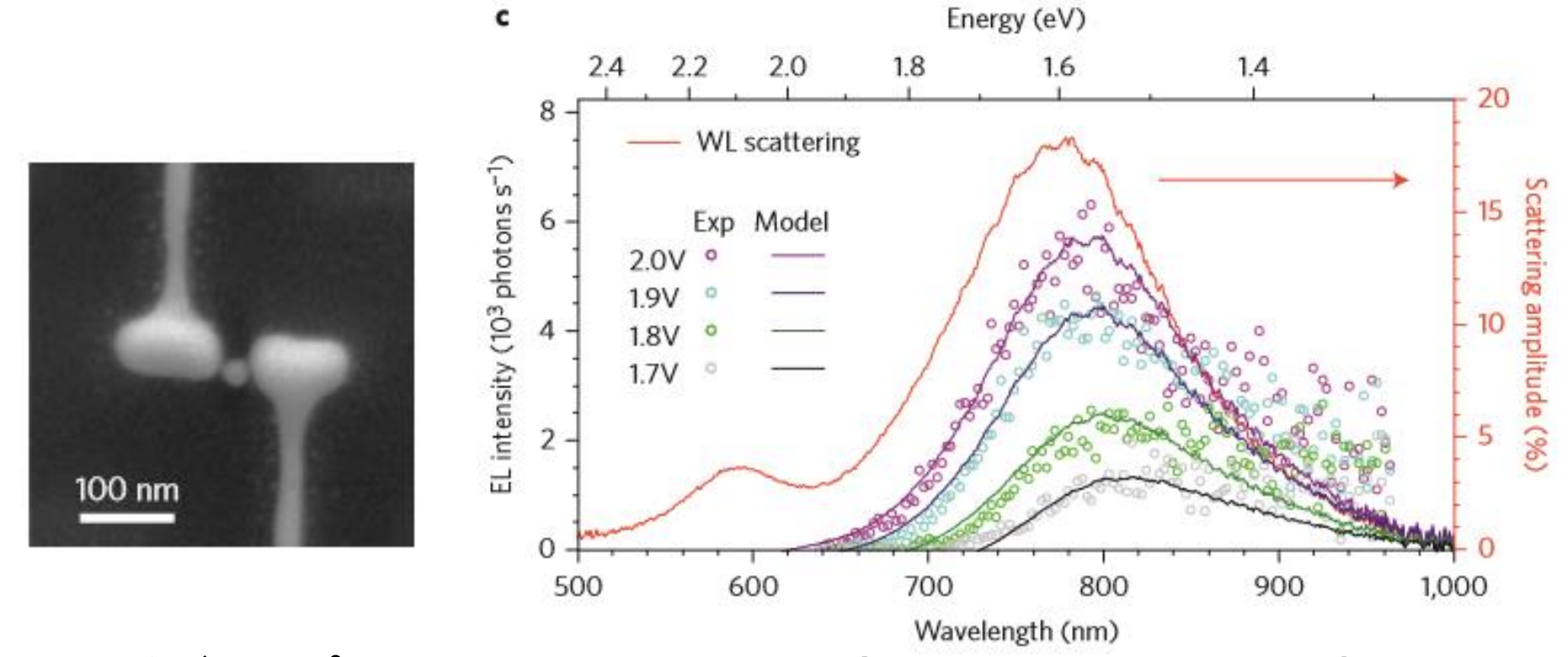
物性論2C (3年後期前半)

### Electrically driven optical antennas

Nature Photon. 9, 582 (2015)

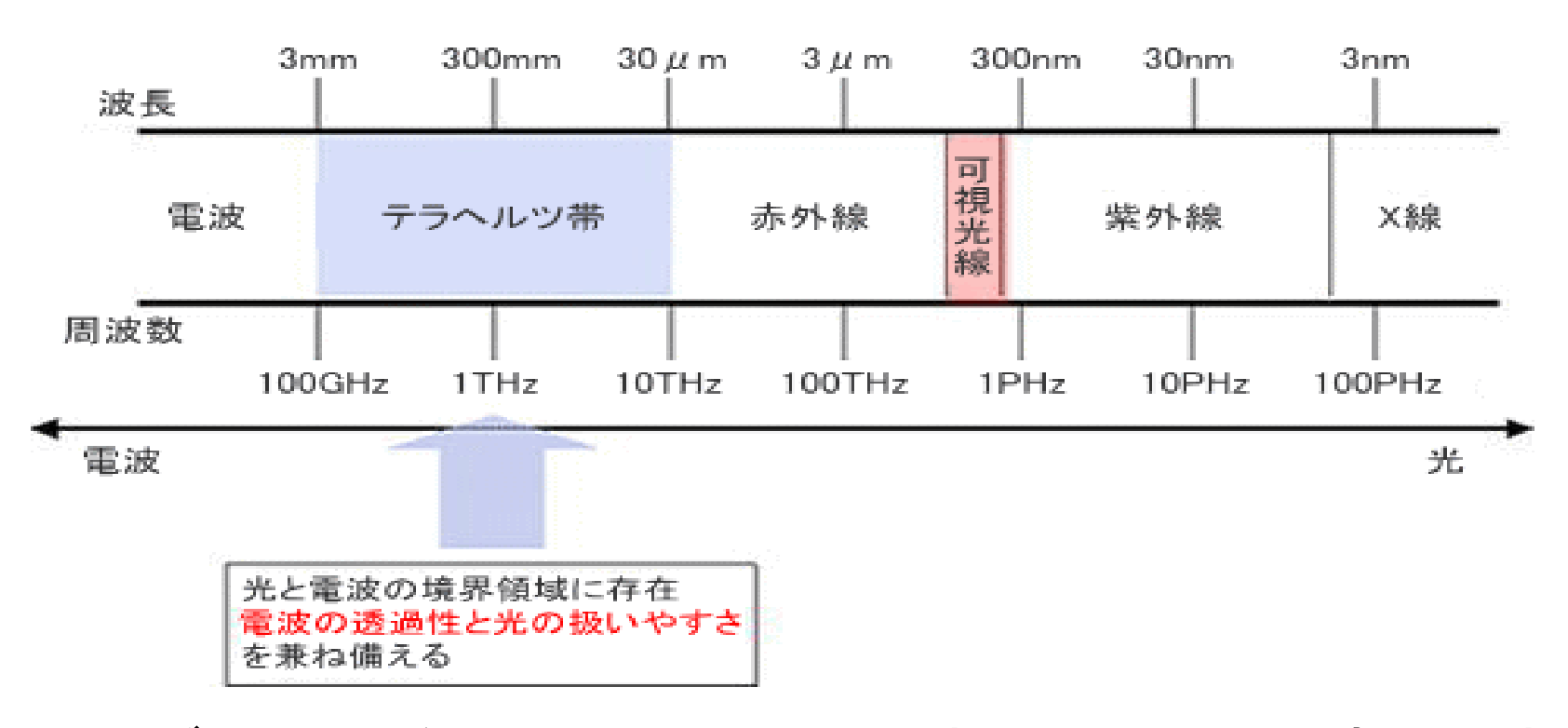
- Radio- and microwaves can be generated by currents that oscillate within antennas driven by high-frequency voltage sources that extend up into the 100 GHz regime.
- Sources for optical and infrared radiation are traditionally based on transitions between quantum states or bulky thermal sources because conventional electrical circuits are unable to generate oscillating currents with frequencies in the high THz regime.
- As a result, the well-developed and powerful concepts of Antenna theory are difficult to apply to optical radiation.

### 発光(発振)スペクトル



フィードギャップを通るトンネル電子の広帯域量子ショット雑音によって、面内光アンテナを直接電気的に駆動した。放出光子のスペクトルは、アンテナの形状によって決まり、印加電圧で調節できる。発光の方向と偏光はアンテナ共振によって制御され、これによって外部量子効率も最高で2桁向上する。

## THz電磁波(~遠赤外線)



エネルギー領域:結晶フォノン、分子間振動、分子の回転、水素結合

### 磁場下の半導体表面からのTHz波の発生



試料台と 電磁石



半導体(InAs)にfs秒光パルスを入射させ、THz波を発生させている。InAsに比較的強い磁場を印加するとTHz波の放射強度が増強することが分かっている。

可視光と電波の間の周波数領域の未開拓の電磁波。フェムト秒レーザー技術により発生・検出法が開発され、注目されている。*分光やイメージング*で新しい展開。

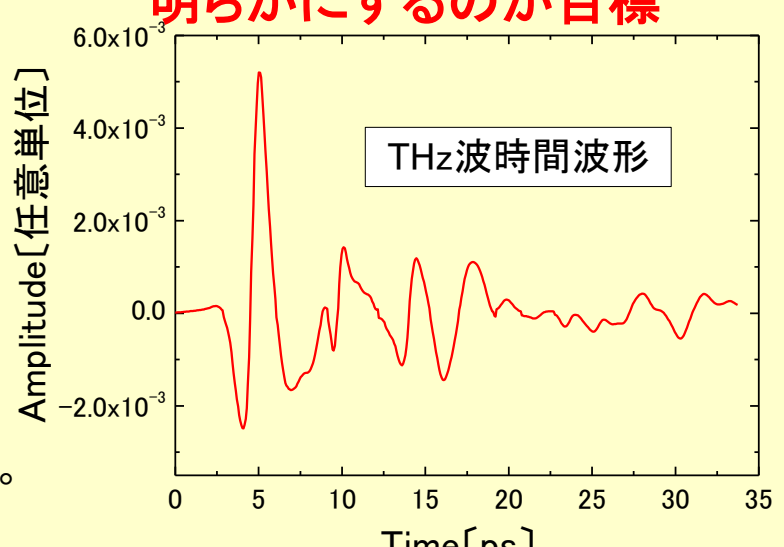
応用研<mark>究の充実に</mark>向け

高強度&広帯域のTHz光源 の開発が重要!!

そのためにTHz波の発生機構を

明らかにするのが目標

7...



# THz波による イメージング

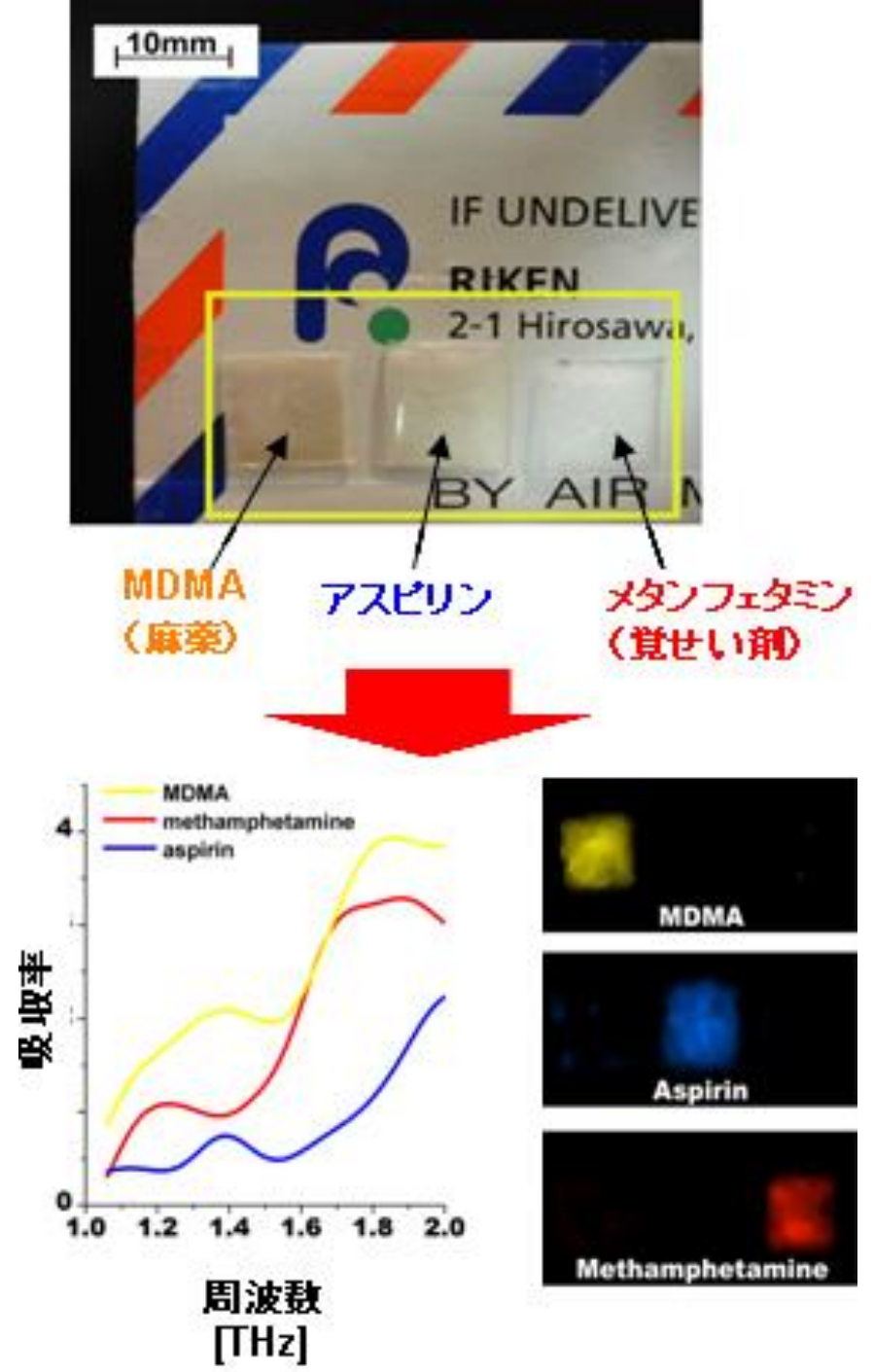
テラ(1012)へルツ波

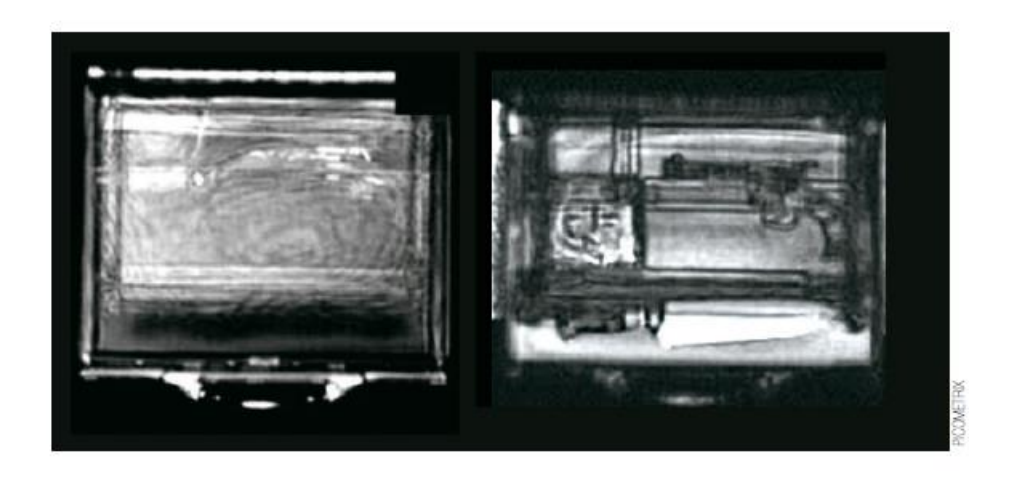
周波数0.3THzから10THzの電磁波フェムト秒パルスを使い固体中の非線形効果で発生

封筒内に隠された禁止薬物のテラヘルツ分光イメージングと分光スペクトル

非破壊測定 人体に無害

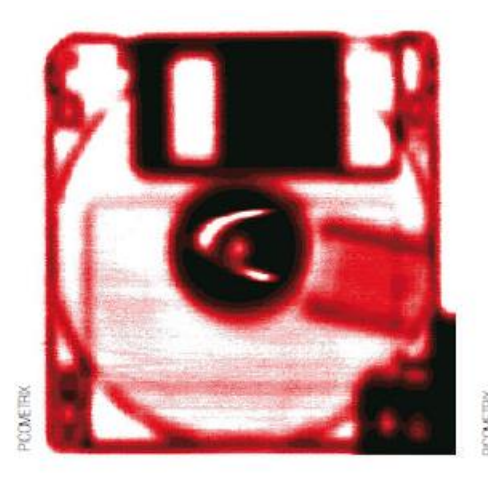
 $1THz = 300 \mu m$ 

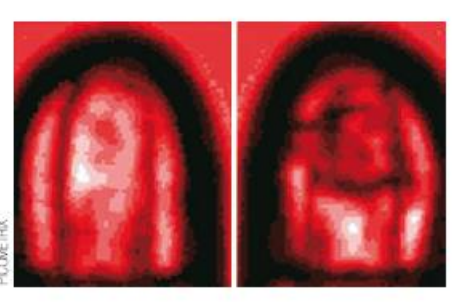




#### かばんの中

Terahertz imaging makes it possible to image objects that are hidden beneath clothes or inside bags and shoes, for example. This capability is making the technology of great interest for applications in homeland security.





フロッピーディスク

A terahertz image of floppy disk, taken by the QA1000 terahertz-imaging system from the US firm Picometrix. The technology is proving useful in quality assurance applications for detecting flaws in objects that are hard to spot by other imaging means.

### 全身透視スキャナー

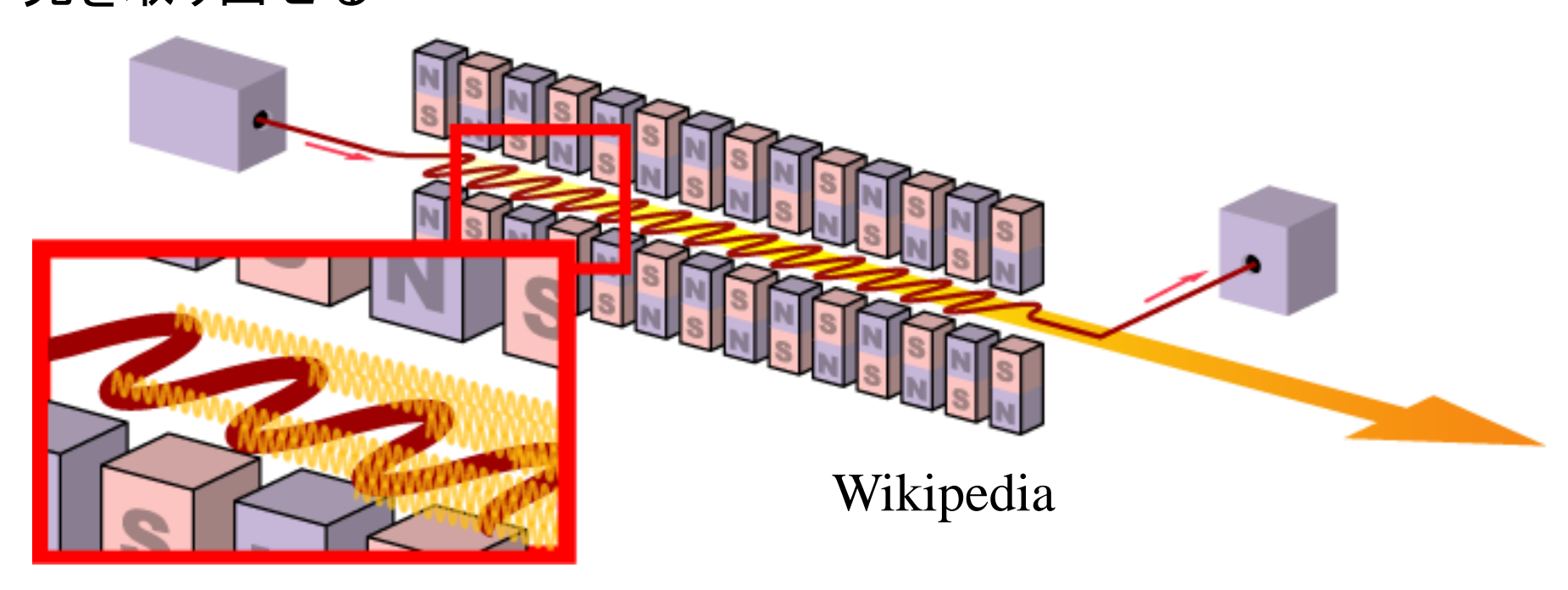
後方散乱X線検査装置

or

ミリ波スキャナー

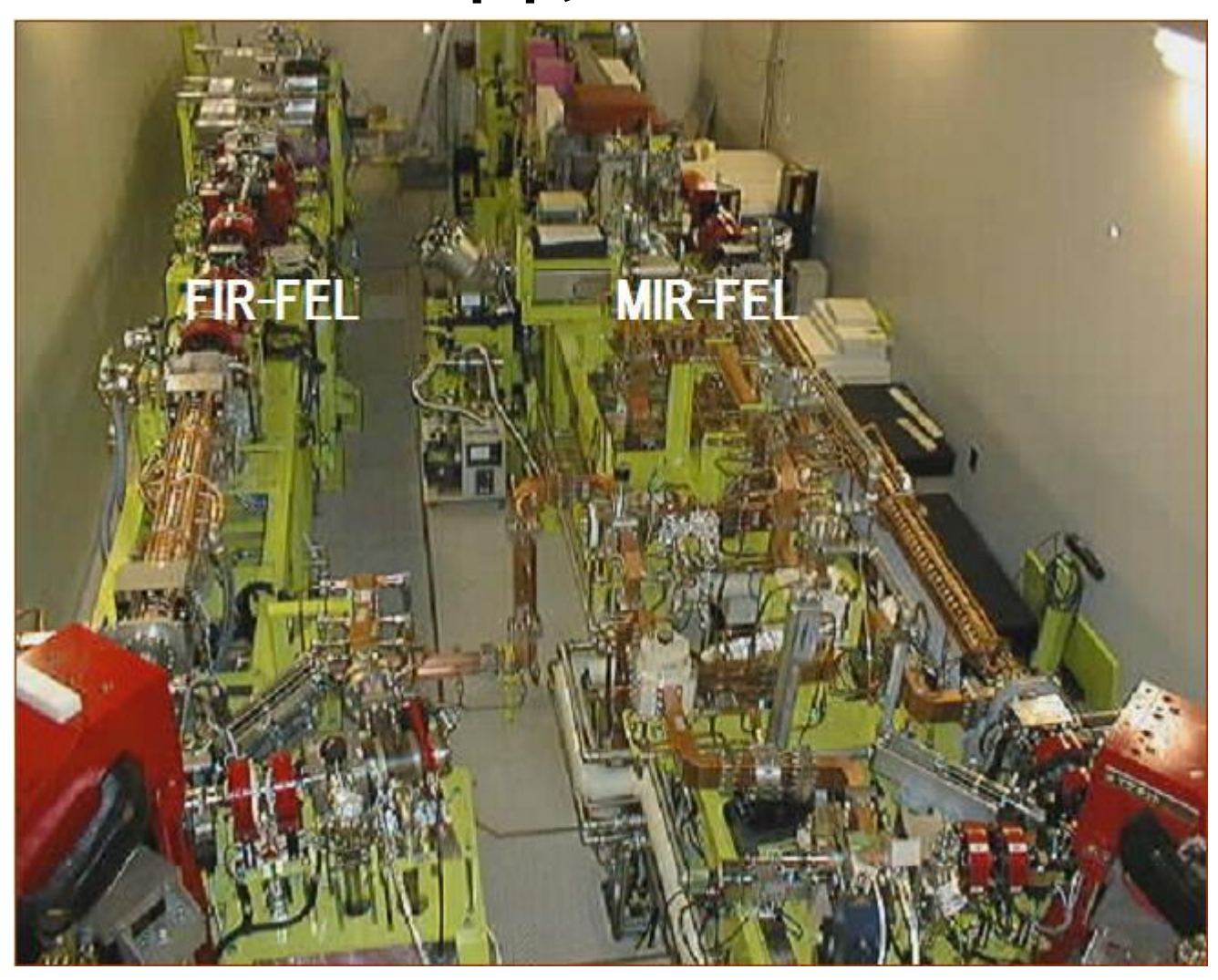
### 自由電子レーザー

自由電子のビームと電磁場との共鳴的な相互作用によって コヒーレント光を発生させる方式のレーザー 媒質によって発する光の波長が決まる一般のレーザーと異なり、 磁場・電子エネルギーを変えることによって波長可変という特徴 を持ち、軟X線、紫外線、可視光線、遠赤外線まで幅広い波長の 光を取り出せる



シンクロトロン放射光

# 理科大FEL



MIR(中赤外)-FEL が稼動 4~16μm 75THz~19THz

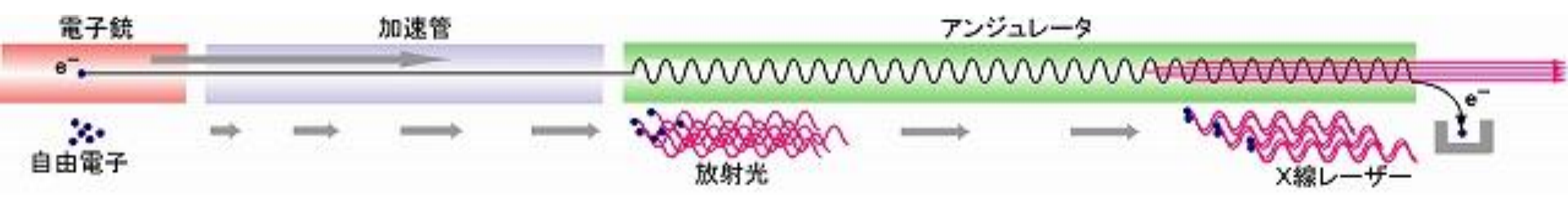
# 夢のレーザー X線自由電子レーザー

2009年4月 1.5 Åで発振

X線自由電子レーザー計画 日本(理研)、米国、EU



2011年3月 0.8ÅのX線発生





- 世界最短波長(1.2Å)となるX線レーザーの発振に成功
- ビーム運転開始からわずか3カ月という短期間での達成
- 性能をさらに向上させ、2011年度内に供用運転を開始

7月13日 0.8Åの波長のXFELの発振に成功 世界最短波長のレーザー光

# Europe turns on bright X-ray source

The opening of the superconducting European X-ray free-electron laser in Hamburg, Germany provides exciting opportunities for exploring a completely new world of science.

he long-awaited European X-ray freeelectron laser (XFEL) at Schenefeld near Hamburg in Germany is now open and up and running. Following eight years of construction, the facility celebrated its official inauguration on 1 September 2017 and as we publish this issue the first user experiments are starting.

The European XFEL provides a coherent source of X-rays with energy ranging from 260 eV to beyond 20 keV using electrons accelerated to 8–17.5 GeV along a 2.1-km-long superconducting linear accelerator. The number of electron bunches (27,000 pulses per second) and the peak brilliance (5 × 10<sup>33</sup> photons s<sup>-1</sup> mm<sup>-2</sup> mrad<sup>2</sup>



Credit: European XFEL / Heiner Müller-Elsner

electron bunches can be accelerated compared with in the warm, non-superconducting accelerators such as the Linac Coherent Light Source (LCLS) in Stanford, USA and the SPring-8 Angstrom Compact Free Electron Laser (SACLA) in Japan.

Interestingly, both the USA and China have firm plans to realize free-electron laser sources based on superconducting accelerators within the next few years, making the European XFEL the first of a new breed of superconducting X-ray sources. The new superconducting LCLS-II at Stanford is expected to be open in the early 2020s and China's SXFEL in Shanghai may be ready by 2019.

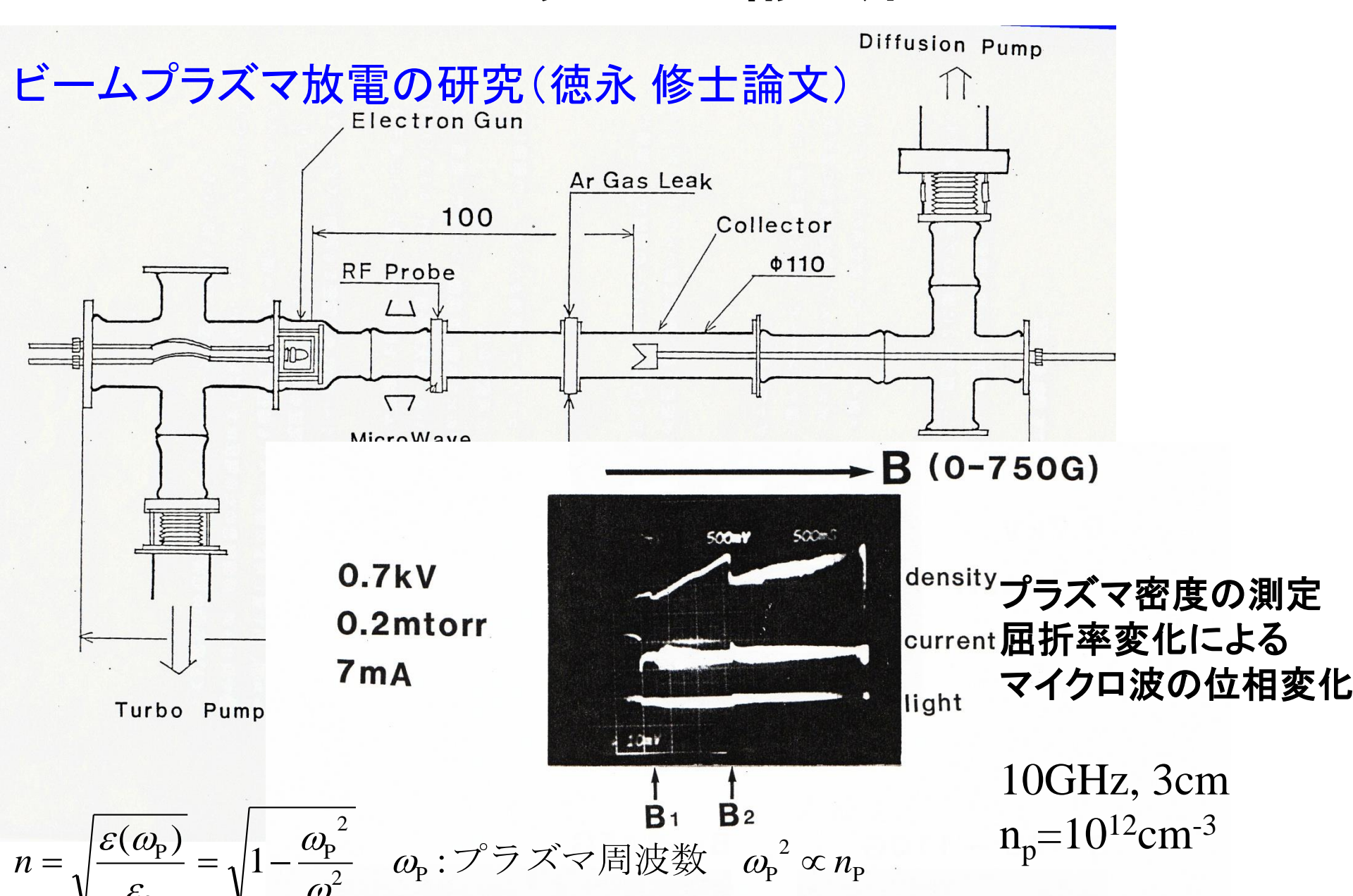
Nature Photonics Published online on Sep. 29, 2017

### 3年実験 X線回折

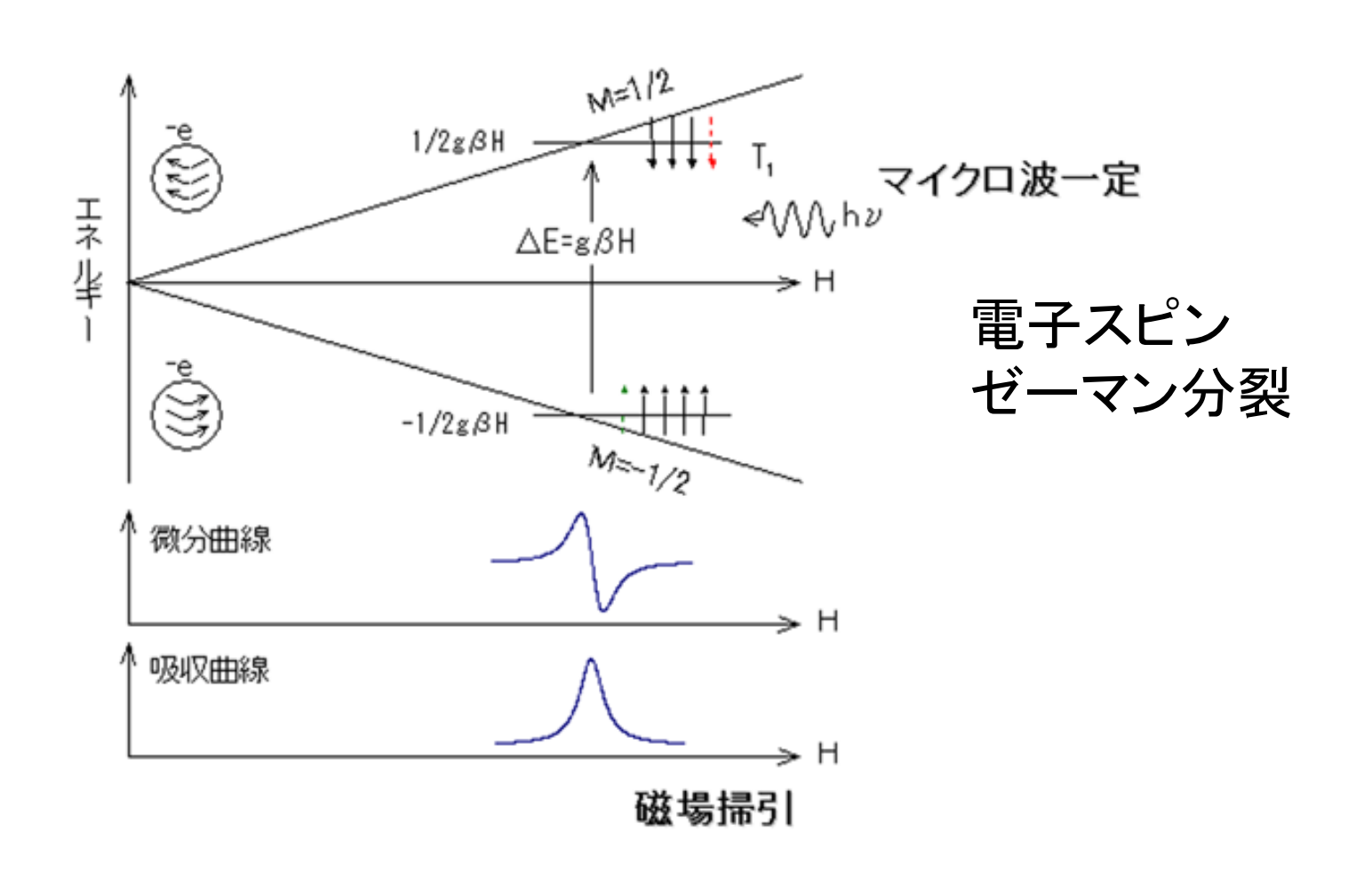
Moの特性X線を使用 インコヒーレント光

X線レーザー=コヒーレント光が使用できれば?

# プラズマ診断

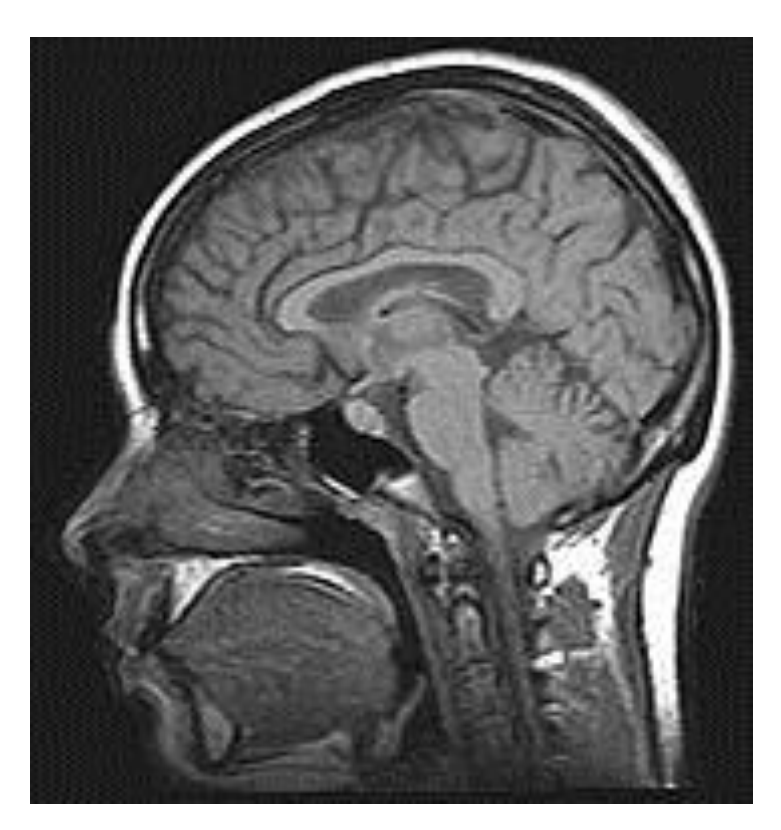


# 電子スピン共鳴(ESR) マイクロ波(~10GHz)



# 核磁気共鳴画像法(MRI) 10~60MHz(ラジオ波)

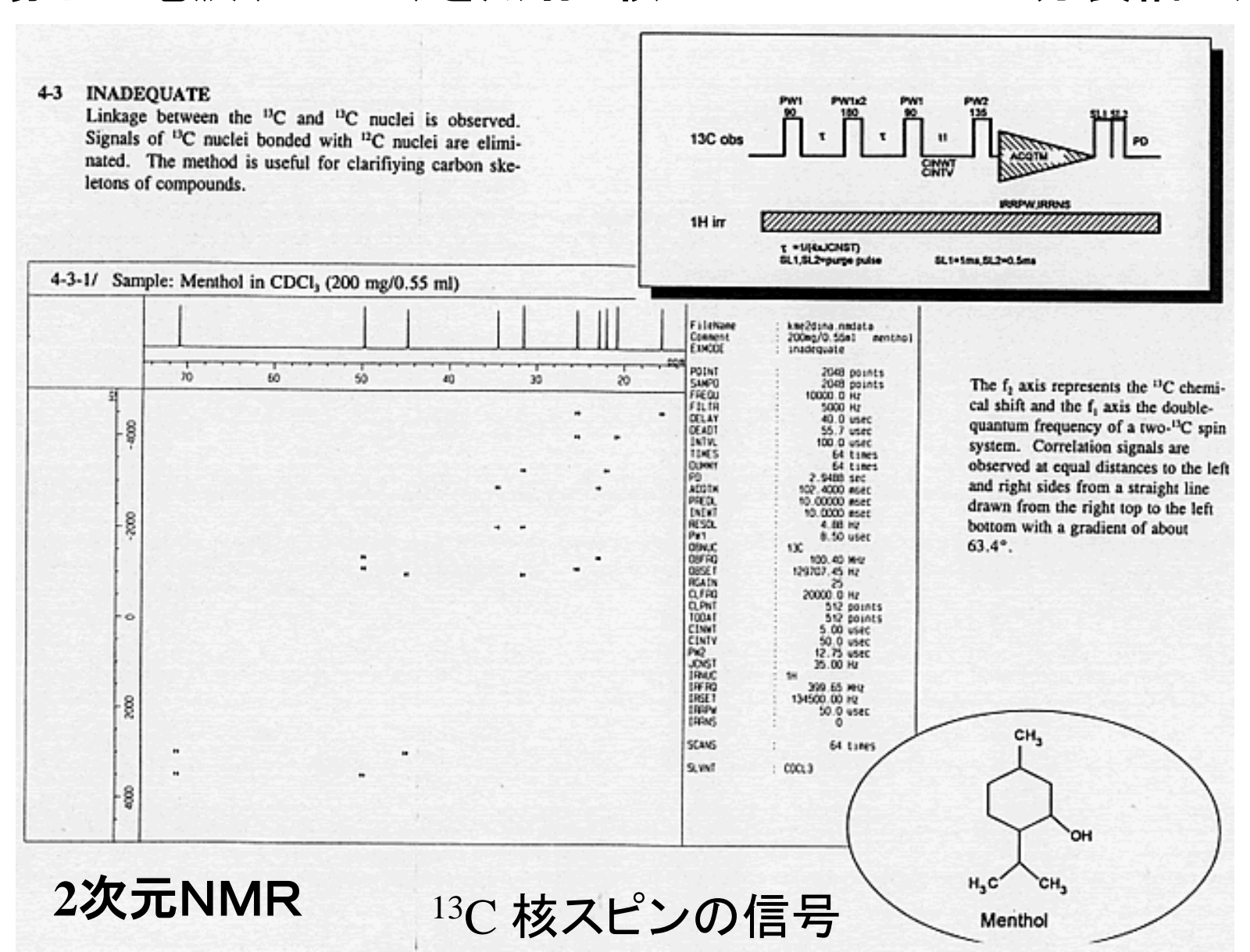




水素原子 ¹H 核スピンの信号

# 核磁気共鳴(NMR) 数百MHz

磁場下で電波(パルス)を照射 核スピンのゼーマン分裂幅に共鳴

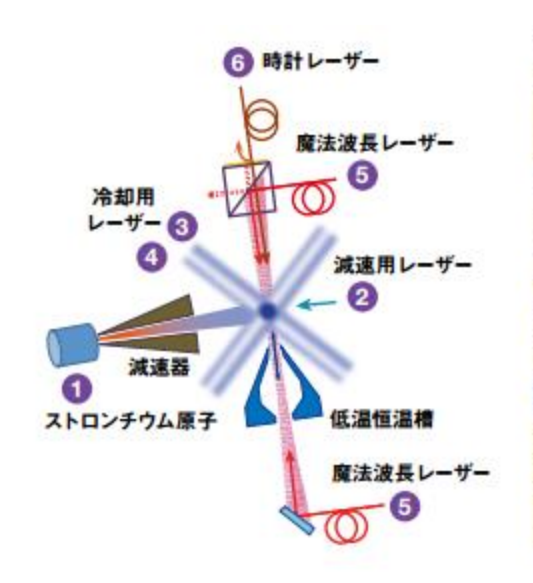


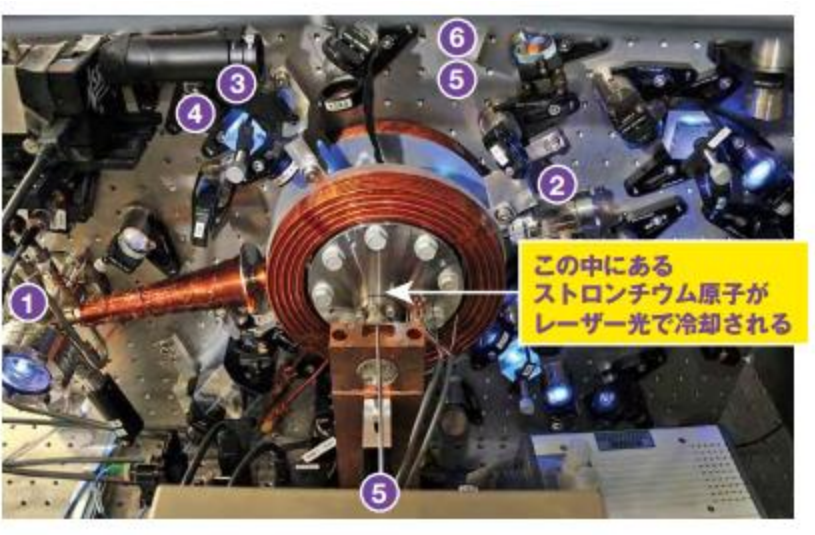
### 光周波数標準、光学時計

- 現在の時間の国際標準 セシウム原子時計で定義(1967) 9.2GHz(9192631770Hz)のマイクロ波遷移(超微細準位間)
- 1秒の定義 セシウム133 原子の基底状態の2つの超微細準位間の遷移 に対応する放射の9 192 631 770 周期の継続時間 (1967)
- マイクロ波の代わりに光を使えば 時間の測定精度は5桁向上 光の周波数は数百THz
- 光の周波数をマイクロ波の周波数へ変換する技術が確立、 イオンや中性原子の光学遷移を周波数標準とすることが可能に
- 2004.3.19 可視光周波数域で1オクターブ以上に渡る"光コム"生成 (規則的に並んだ櫛の歯のようなスペクトルを持った光) フェムト秒レーザーの応用 10<sup>-19</sup>の高い精度で周波数を決定

### 光格子時計

### 160億年に1秒しか狂わない光格子時計を実現

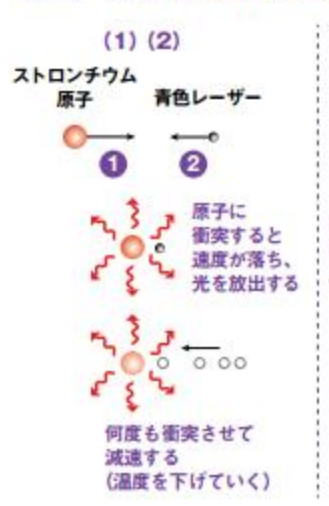


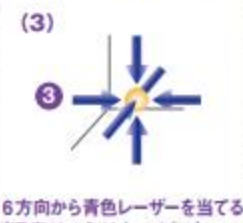


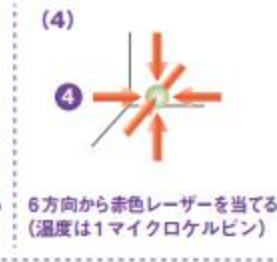
2014

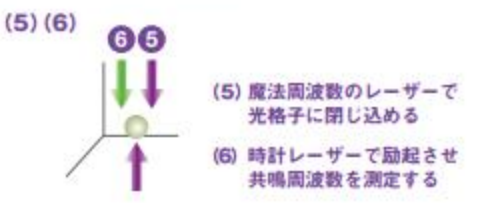
香取 秀俊

#### 図2 光格子時計による原子の閉じ込めの流れ

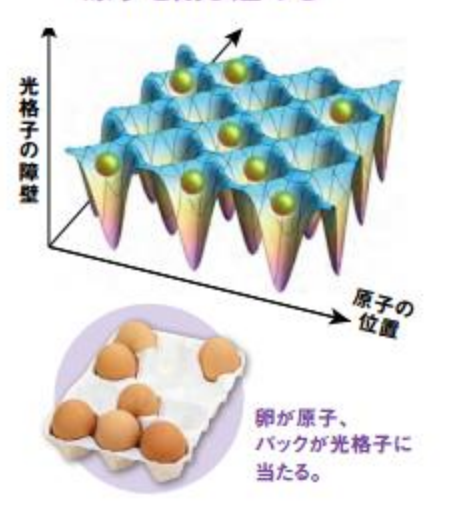








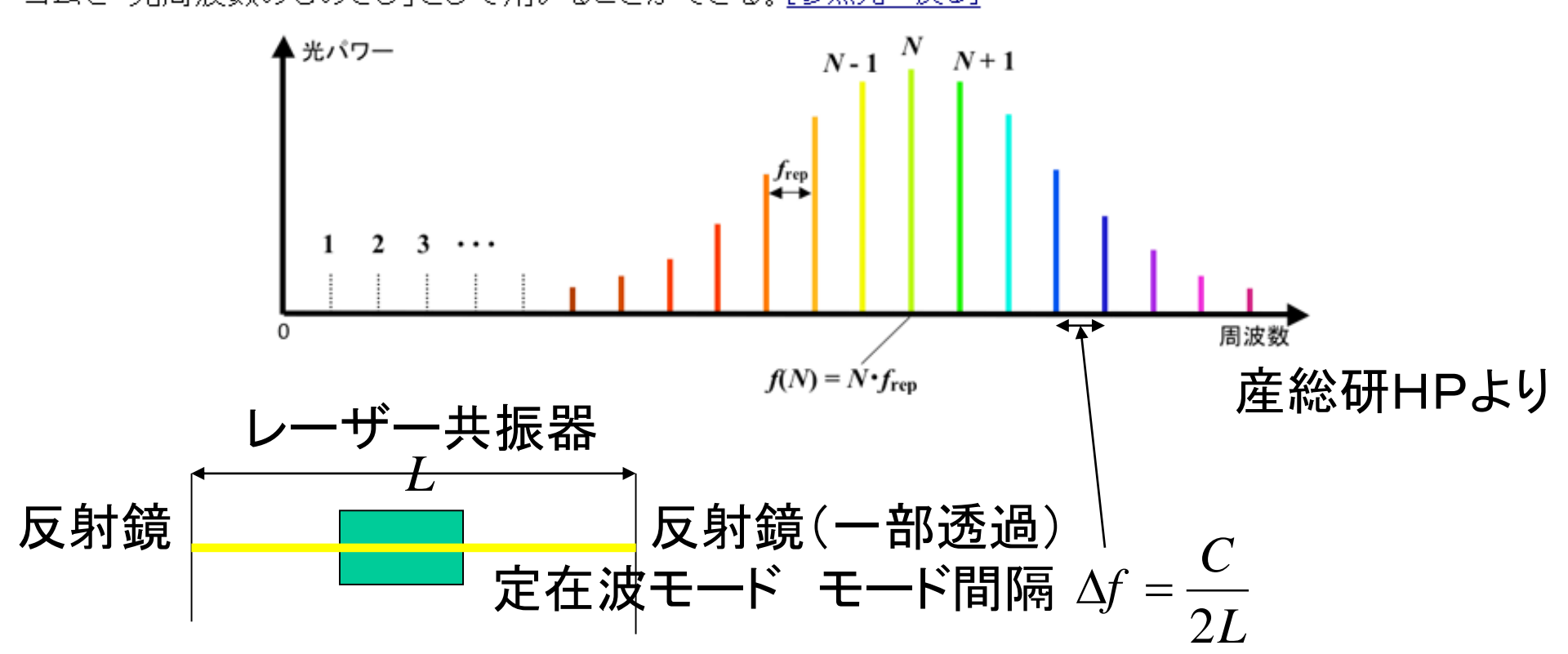
#### 図3 パックに入った卵のように 原子を閉じ込める



#### 光周波数コム

#### ◆光周波数コム

モード同期レーザーと呼ばれる超短光パルスレーザーから出力される、広帯域かつ櫛状のスペクトルを持つ光のこと。モード同期レーザーが発生する超短光パルス列は、光周波数コムの模式図にあるように、繰り返し周波数( $f_{rep}$ )で決まる間隔を持った細いスペクトル成分(モード)を持つ。このスペクトルの形状がくし(comb)に似ていることから「光周波数コム(comb)」と呼ばれる。繰り返し周波数波数 $f_{rep}$ を、協定世界時に同期すれば、光周波数コムを「光周波数のものさし」として用いることができる。[参照元へ戻る]



#### 長さ(1m)の定義

地球の子午線の赤道から北極までの長さの1000万分の1実際の測量に基づいてメートル原器 (1889)

クリプトン86原子のスペクトル線の波長を用いて定義(1960)

真空中の光の速さを用いた定義(1983) 1秒の 299 792 458分の1の時間に光が 光の速さ=定義値299 792 458 m/s

C=299792458 m/s 「憎くなく 二人寄れば いつもハッピー」

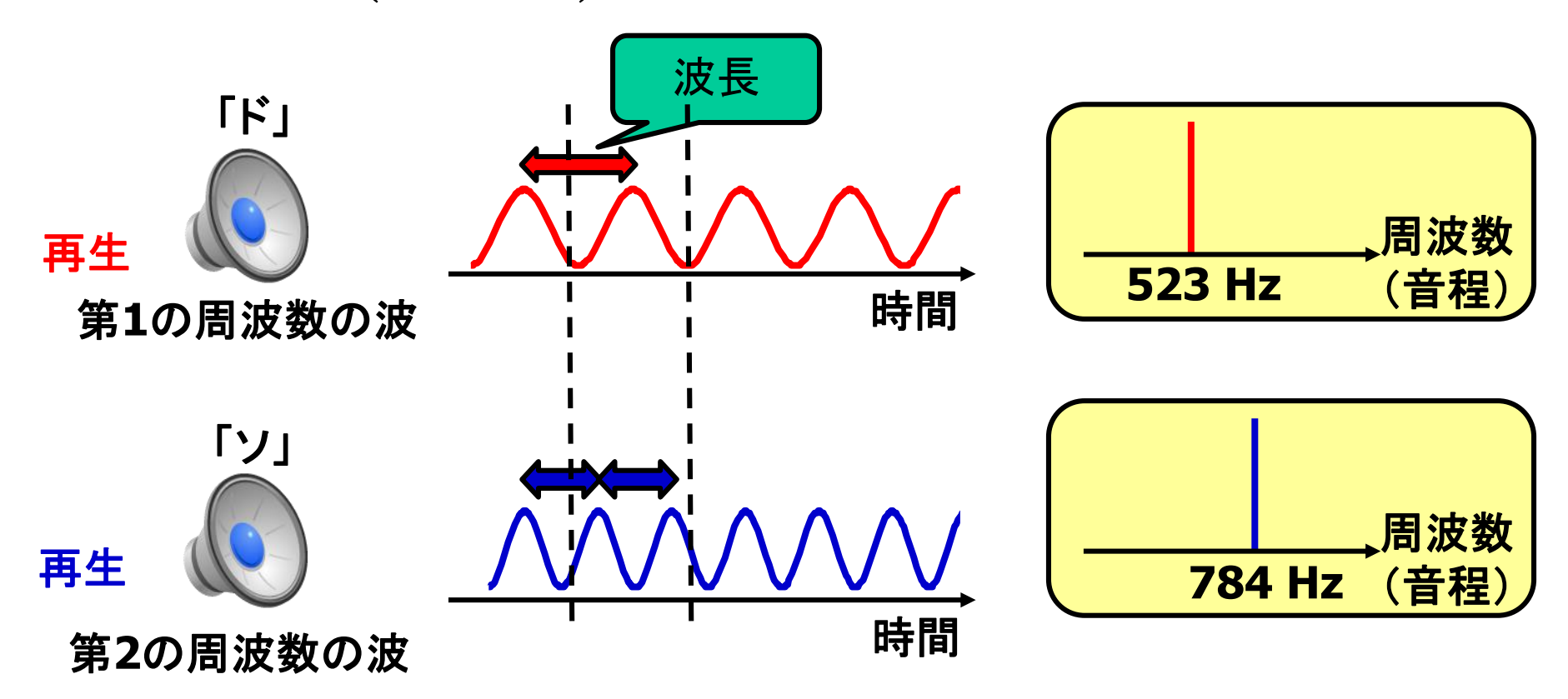
長さの国家標準 「協定世界時に同期した光周波数コム装置」 (2009) 実際の1 mを測定するために、レーザ光の波長を「長さのものさし」として使う。  $\lambda[\mathbf{m}] = \frac{c[\mathbf{m}/\mathbf{s}]}{f[1/s]}$  光コムは

時間の定義に従い正確な光周波数を発生できる「光周波数のものさし」 この装置により正確なレーザ光の波長=「長さのものさし」を決定

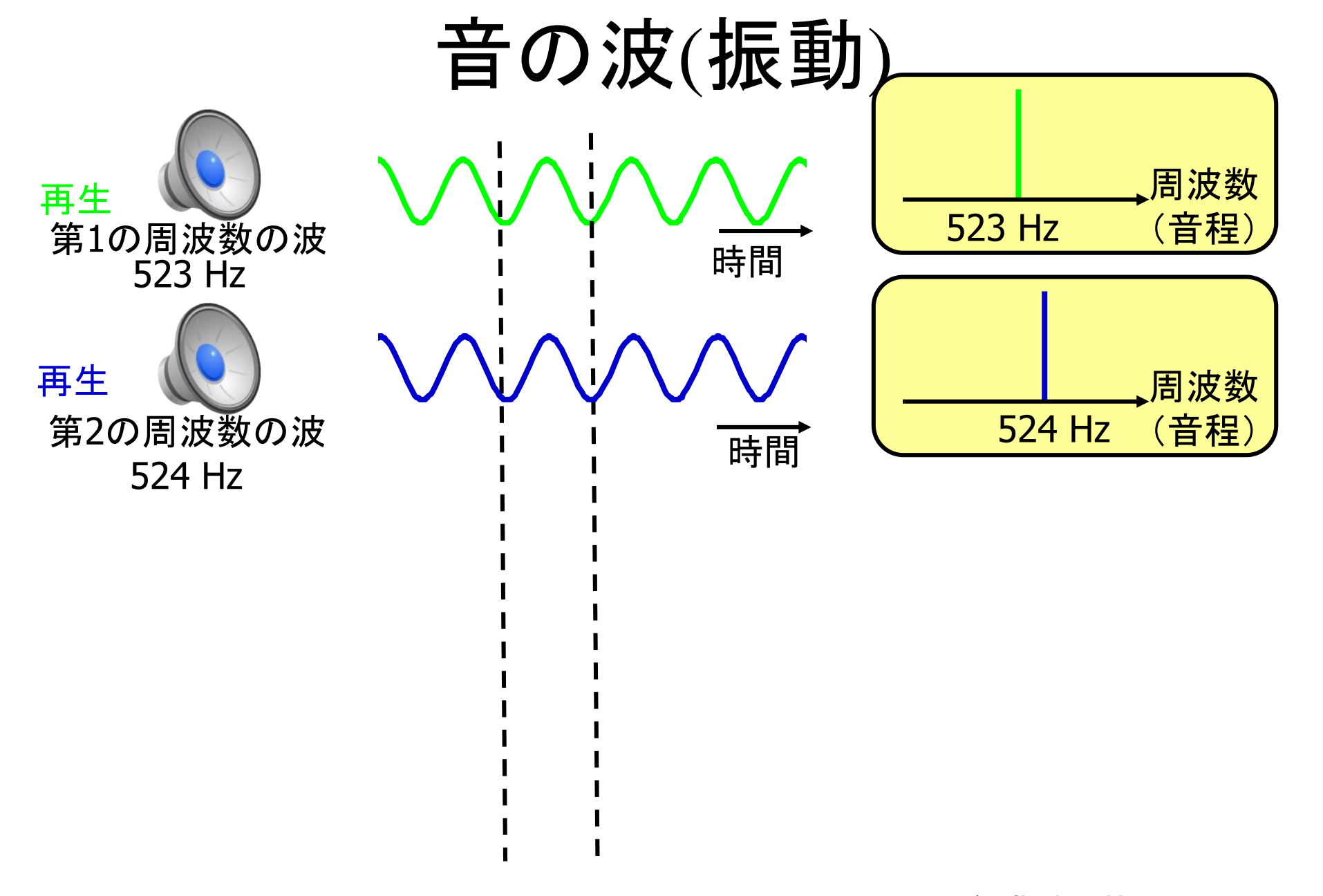
https://www.nmij.jp/library/units/length/

#### 超短パルスレーザーとは?:「周波数軸」

## 音の波(振動)



by 美濃島 薫(電通大)



by 美濃島 薫(電通大)

音の波(振動 周波数 523 Hz (音程 時間 周波数 524 Hz (音程 時間 周波数 523 **⊕** 524 Hz(音程) 時間

第1の周波数の波 523 Hz

第2の周波数の波 524 Hz

再生



2つの重ね合わせ 523 **⊕** 524 Hz



音の波(振動)



第2の周波数の波 524 Hz

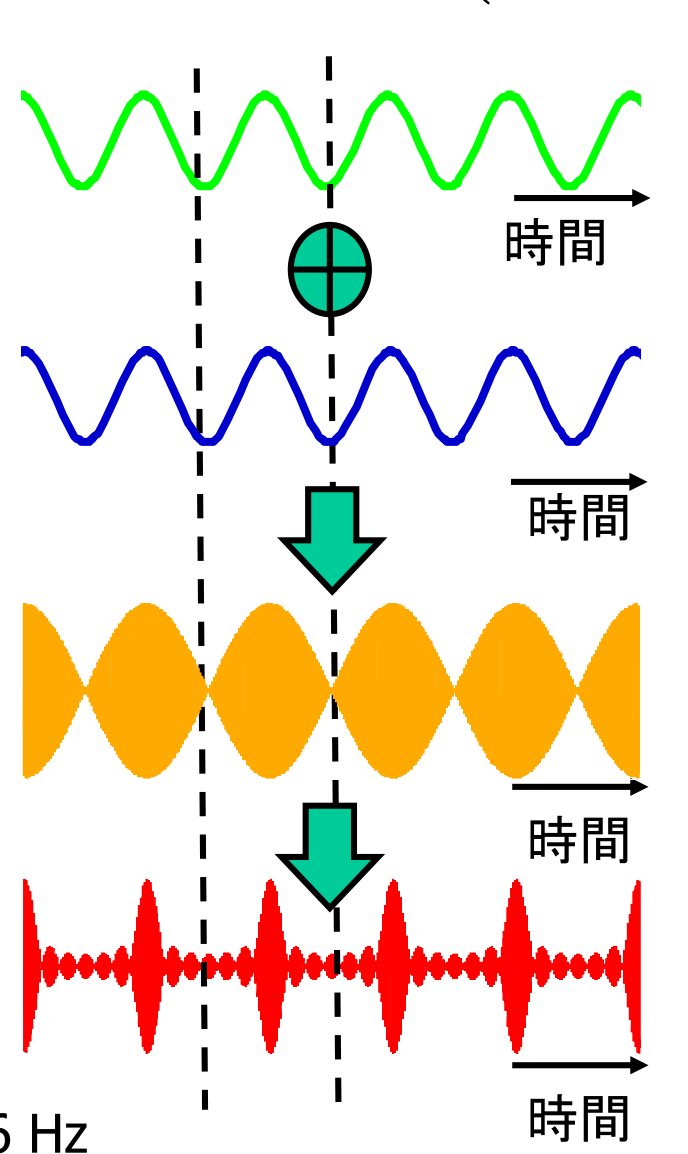
2つの重ね合わせ 523 **⊕** 524 Hz

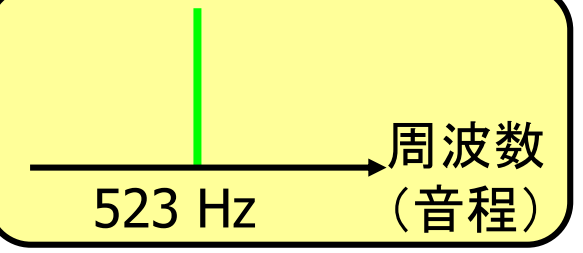
再生

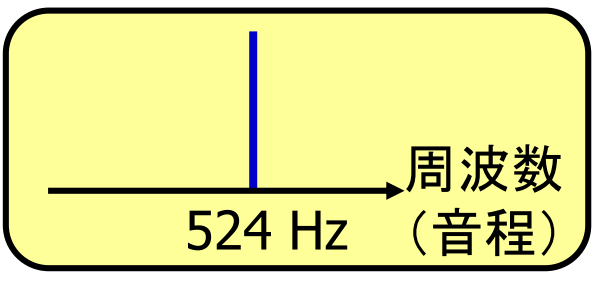


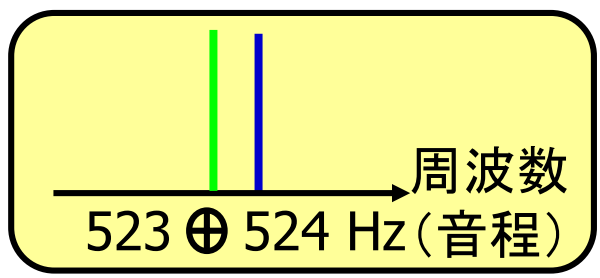
7つの重ね合わせ

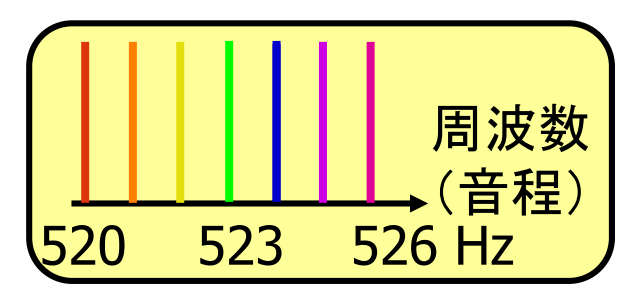
520⊕ . . .523. .⊕ 526 Hz



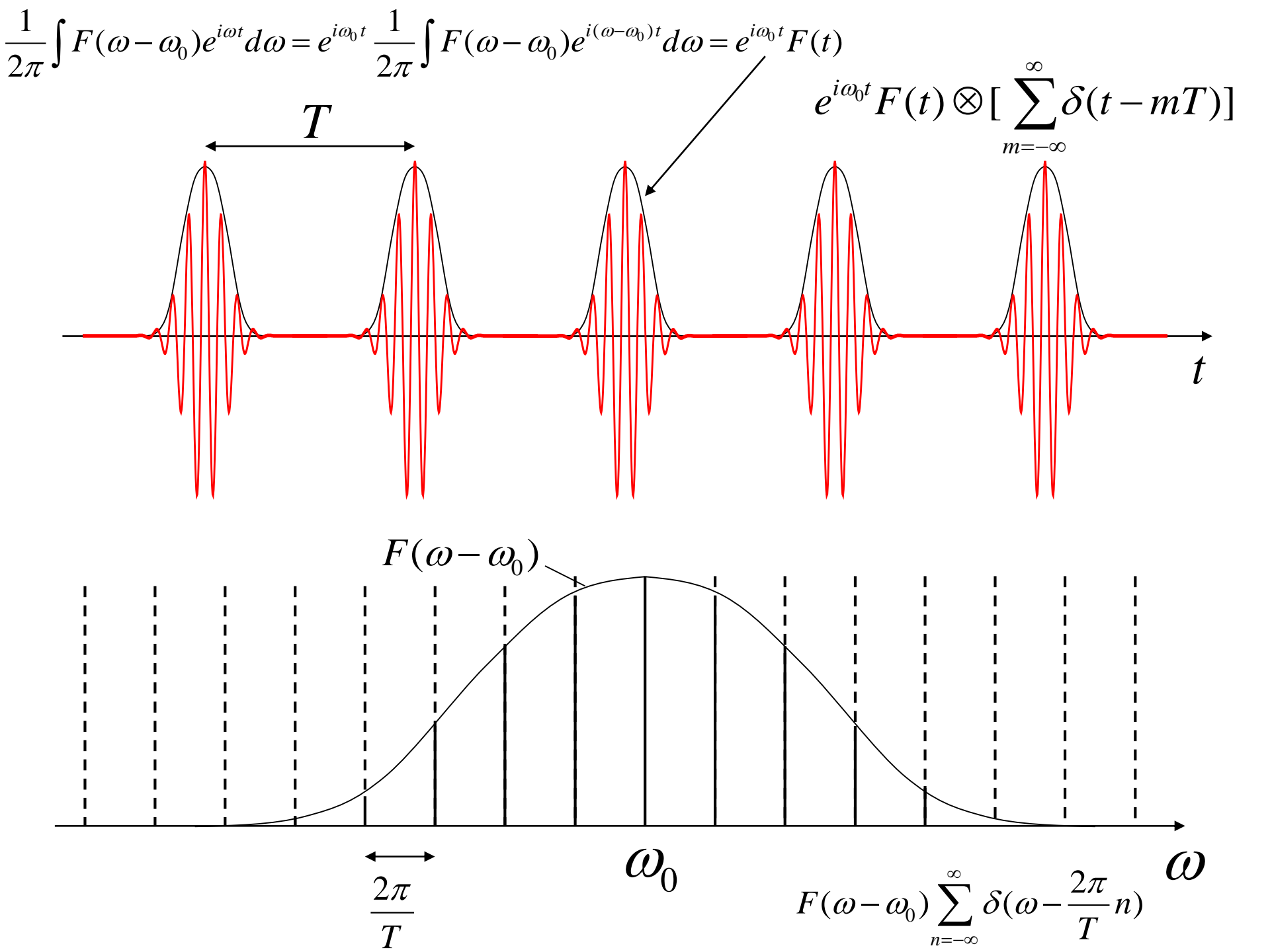




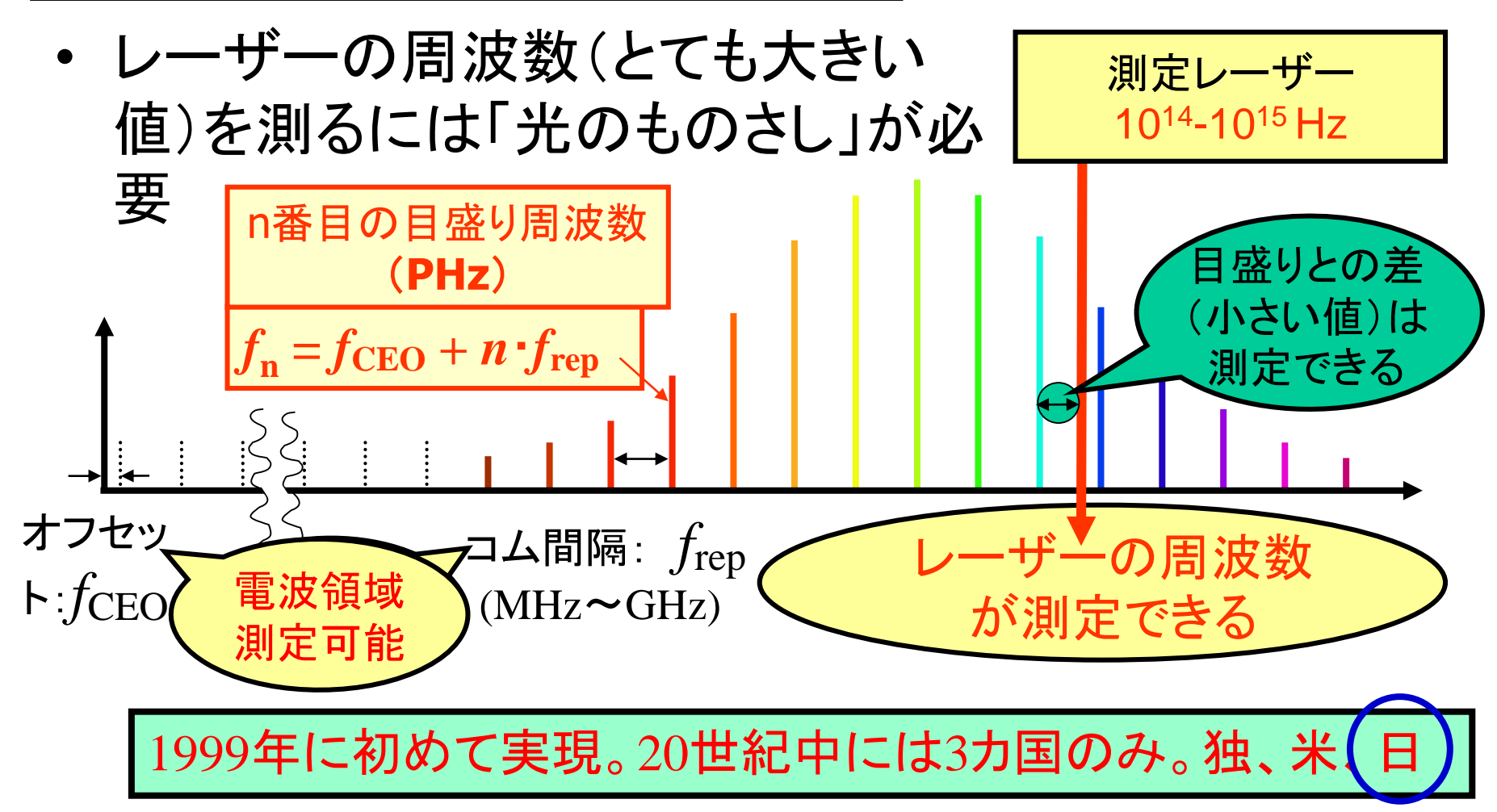




by 美濃島 薫(電通大)



#### 光コムは「光のものさし」



2005年ノーベル物理学賞 T.W. Hänsch (独), J.L. Hall (米)

by 美濃島 薫(電通大)

#### 光コムを一言でいうと

# ファイバーから取り出す地球金星間のコヒーレンス長を持つ300万色の周波数等間隔レーザー

2014卒研 共同研究先の美濃島プロジェクトで実験

#### 光ファイバの最大伝送容量の世界記録を更新、

#### 2.15ペタビット毎秒を達成 2015年10月1日

NICT(情報通信研究機構)は、住友電工、RAM Photonics, LLCと共 同で、従来世界記録であった光ファイバ1本あたりの伝送容量を2倍 以上に更新し、2.15ペタビット毎秒の光信号の送受信実験に成功。 光ファイバ1本当たりの伝送容量を拡大する次世代技術として、新型 光ファイバが世界的に研究されている中、今回、品質が均一で長距 離伝送に好適な同種コア型のシングルモード22コアファイバと波長多 重光を一括で生成可能な高精度光コム光源を用いて、30km伝送を 実証。

光伝送システムでの利用が期待されている高精度光コム光源を採用 した今回の実験により、将来の大規模デジタルコヒー

レント光ネットワーク実現の可能性。なお、本論文は、 第41回欧州光通信国際会議(ECOC2015)にて高い 評価を得て、最優秀ホットトピック論文として採択。

## プラズモニクス

- 電子 ne:密度

+ 正イオン *n*i

中性 ne=ni=n

電子気体の運動方程式

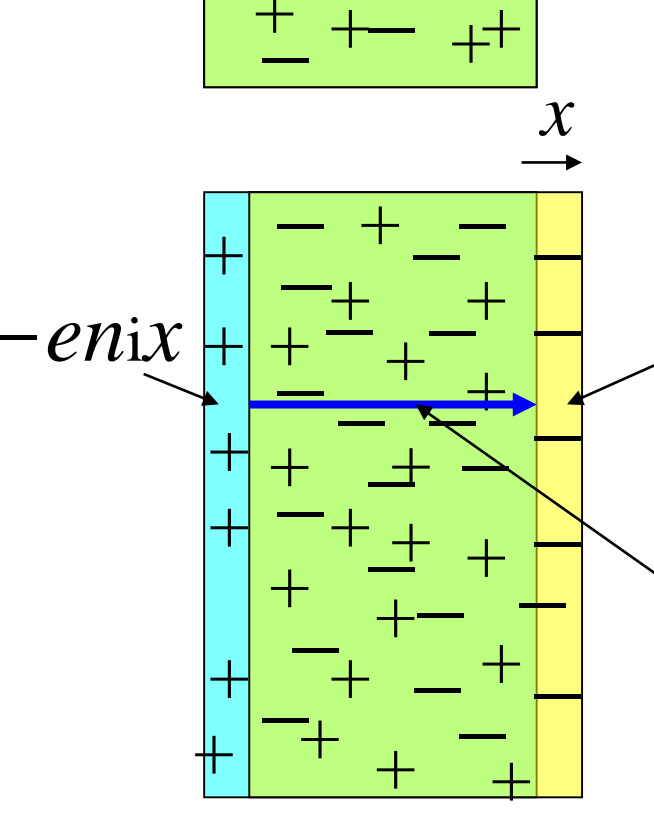
$$m\frac{d^2x}{dt^2} = -eE$$

$$\frac{d^2x}{dt^2} = -\frac{e^2n_{\rm e}}{m\varepsilon_0}$$

$$\frac{d^2x}{dt^2} + \omega_{\rm P}^2 x = 0$$

$$\omega_{\mathrm{P}} = \sqrt{\frac{n_{\mathrm{e}}e^2}{\varepsilon_0 m}}$$
:プラズマ周波数

プラズマ振動 縦波



表面電荷密度

-enex

$$E=enx/\varepsilon_0$$

#### プラズモニクス

電子気体の運動方程式 (金属のドルーデモデル)

$$m\frac{d^{2}x}{dt^{2}} = -eE \quad E = E_{0}e^{-i\omega t} \quad x = x_{0}e^{-i\omega t}$$

$$-\omega^{2}x = -\frac{e}{m}E \quad x = \frac{e}{m\omega^{2}}E \quad P = -nex = -\frac{ne^{2}}{m\omega^{2}}E$$

$$\varepsilon E = \varepsilon_{0}E + P \quad \varepsilon E = \varepsilon_{0}E - \frac{ne^{2}}{m\omega^{2}}E \quad \varepsilon = \varepsilon_{0} - \frac{ne^{2}}{m\omega^{2}}E$$

$$\frac{\mathcal{E}}{\mathcal{E}_0} = 1 - \frac{\omega_P^2}{\omega^2}$$

$$\frac{\mathcal{E}}{\mathcal{E}_0} = 1 - \frac{\omega_{\mathrm{P}}^2}{\omega^2}$$

$$P = \frac{N_0}{V} p = \mathcal{E}_0 \chi^{(1)} E \square - V \mathcal{Y} + \mathcal{T} \mathcal{V}$$

$$\chi^{(1)}(\omega) = \frac{1}{\mathcal{E}_0} \frac{N_0}{V} \frac{q^2}{m} \frac{1}{\omega_0^2 - \omega^2 - i\omega \Gamma_0}$$

$$\mathcal{E} = \mathcal{E}_0 + \mathcal{E}_0 \chi^{(1)} \mathcal{T} \omega_0 = 0, \Gamma_0 = 0$$

$$\frac{\varepsilon}{\varepsilon_0} = 1 - \frac{\omega_P^2}{\omega^2} \qquad \hat{\mathcal{J}} = \frac{1}{2} - \frac{1}{2} \frac{1}{2} = \frac{1}{2} - \frac{1}{2} \frac{1}{2} = \frac{1}{2} - \frac{1}{2} \frac{1}{2} \frac{1}{2} = \frac{1}{2} \frac{1}{2$$

$$\omega_{\mathrm{P}} = \sqrt{\frac{n_{\mathrm{e}}e^2}{\varepsilon_0 m}}$$
:プラズマ周波数

$$\omega < \omega_{\rm p}$$
  $\varepsilon < 0$  屈折率 $n = i\kappa$  純虚数

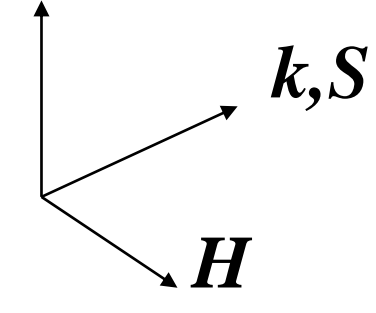
$$E, H \propto e^{-i(\omega t - k \cdot x)}, S = E \times H$$

$$\nabla \times \mathbf{E} = -\mu \frac{\partial \mathbf{H}}{\partial t} \quad \mathbf{k} \times \mathbf{E} = \omega \mu \mathbf{H}$$

$$\nabla \times \boldsymbol{H} = \varepsilon \frac{\partial \boldsymbol{E}}{\partial t} \quad \boldsymbol{k} \times \boldsymbol{H} = -\omega \varepsilon \boldsymbol{E}$$

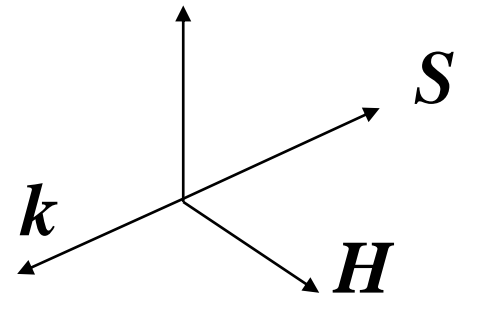
$$\varepsilon > 0, \mu > 0$$

E 右手系(正の屈折率)

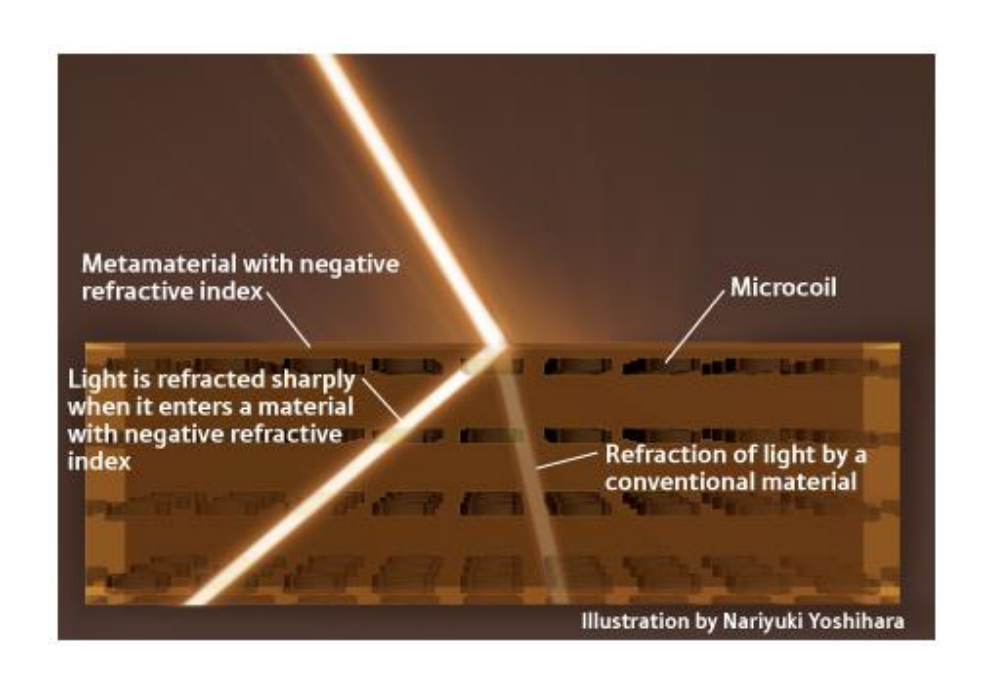


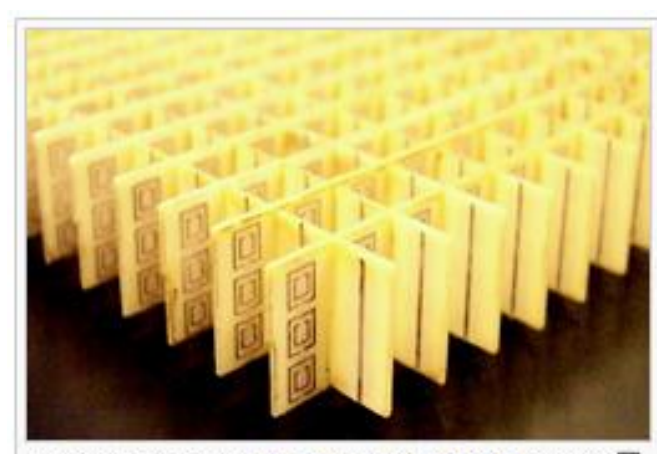
$$\varepsilon$$
 < 0,  $\mu$  < 0

E 左手系(負の屈折率)



#### 負の屈折率 メタマテリアル





Photograph of the metamaterial lattice used to demonstrate negative refraction. The array of square split-ring resonators gives the material a negative magnetic permeability, whereas the array of straight wires gives it a negative permittivity

#### プラズモニクス

横波である電磁波は 縦波であるバルクのプラズマ振動(プラズモン) とカップルできない(励起できない) しかし、金属表面でTM波が表面プラズモンとカップルできる

表面プラズモン 
$$k = \frac{\omega}{c} \sqrt{\frac{\varepsilon_{\rm M} \varepsilon_{\rm D}}{\varepsilon_{\rm M} + \varepsilon_{\rm D}}}$$

if 
$$\varepsilon_{\rm M} + \varepsilon_{\rm D} = 0$$
 表面プラズモン共鳴  $\omega_{\rm SP} = \sqrt{\frac{\varepsilon_0}{\varepsilon_0 + \varepsilon_{\rm D}}} \omega_{\rm P}$  for  $\frac{\varepsilon_{\rm M}}{\varepsilon_0} = 1 - \frac{\omega_{\rm P}^2}{\omega^2}$ 

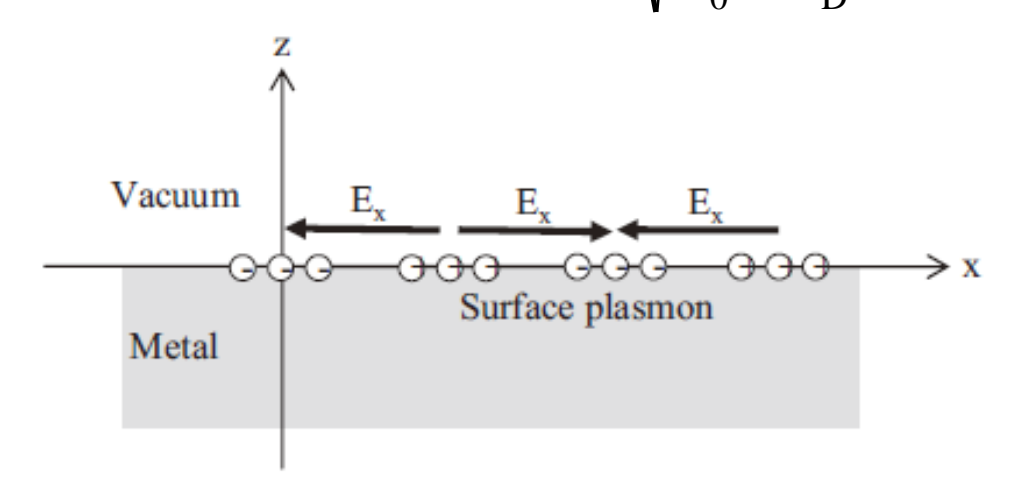
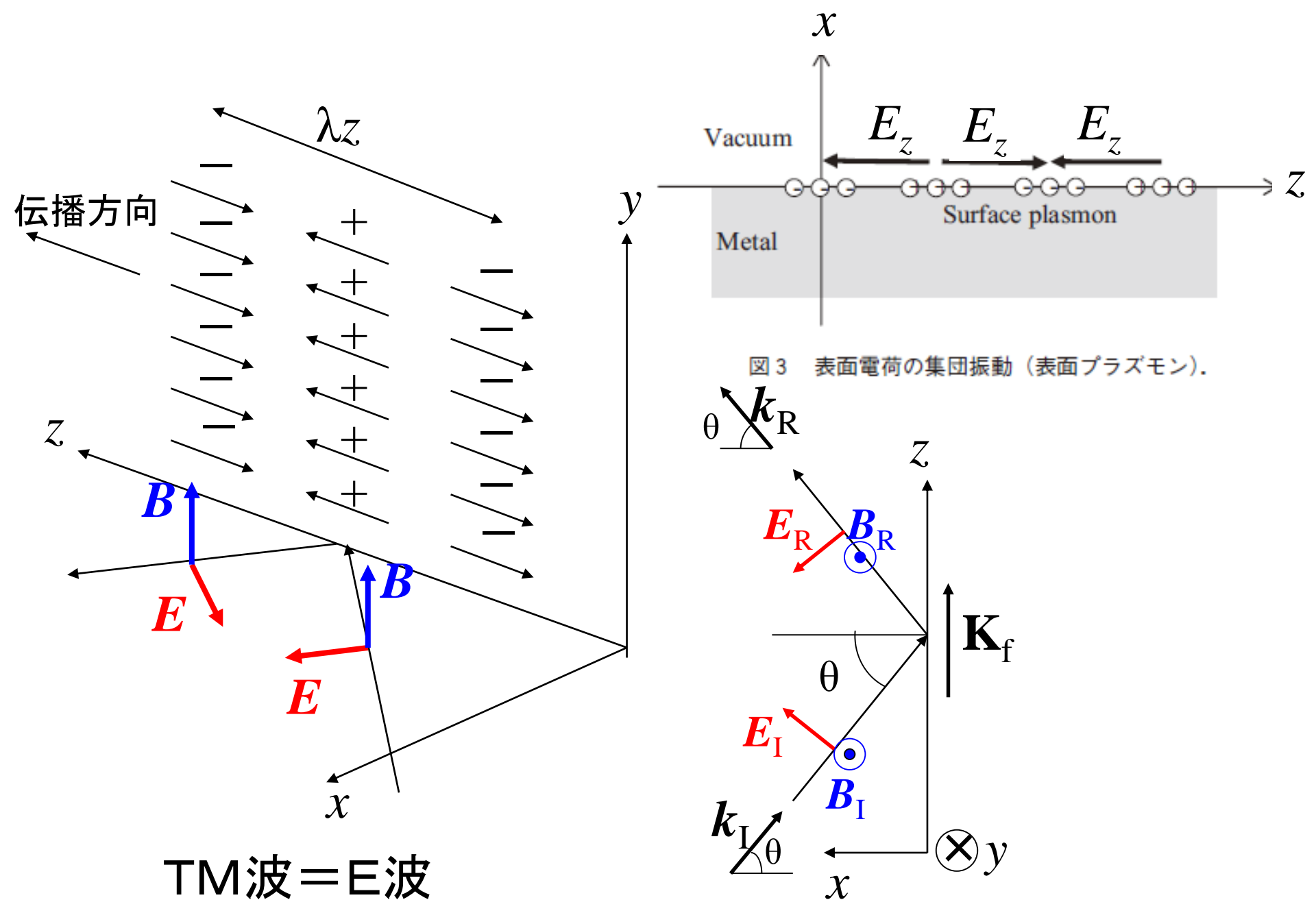


図3 表面電荷の集団振動(表面プラズモン).

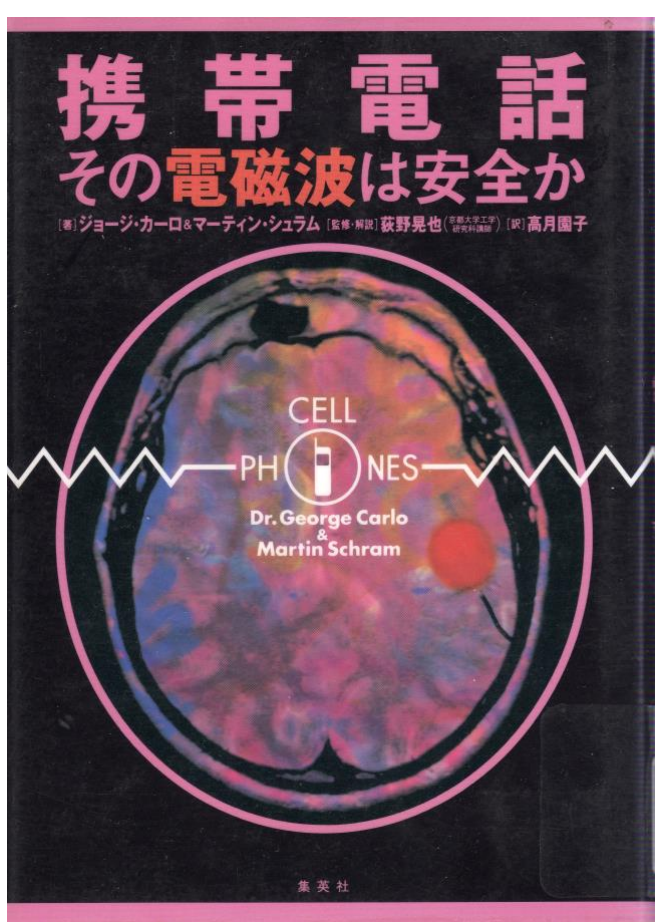
#### プラズモニクス



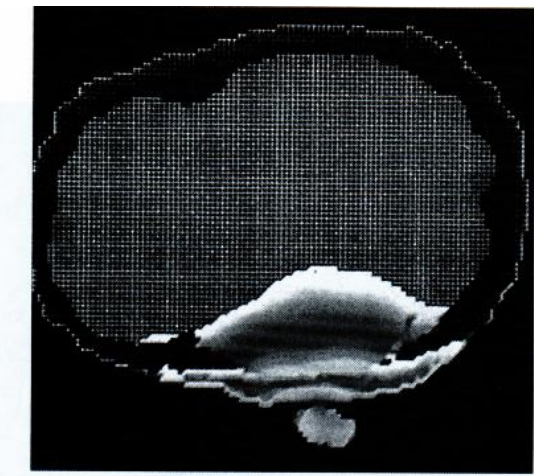
#### 電磁波は安全か



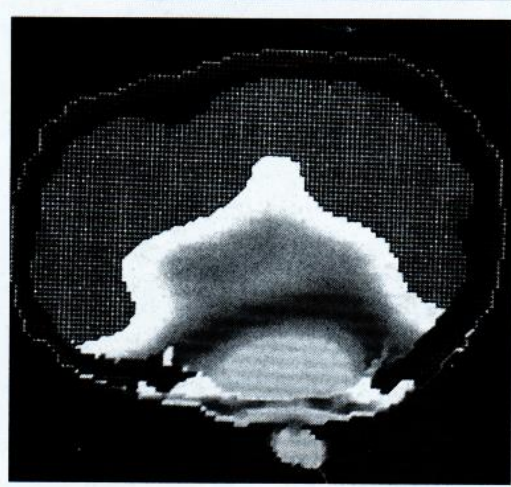




# 携帯電話 800MHz帯(106MHz帯域)、 1.5GHz(48MHz帯域) 2GHz



大人の頭を 電磁波が貫く様子

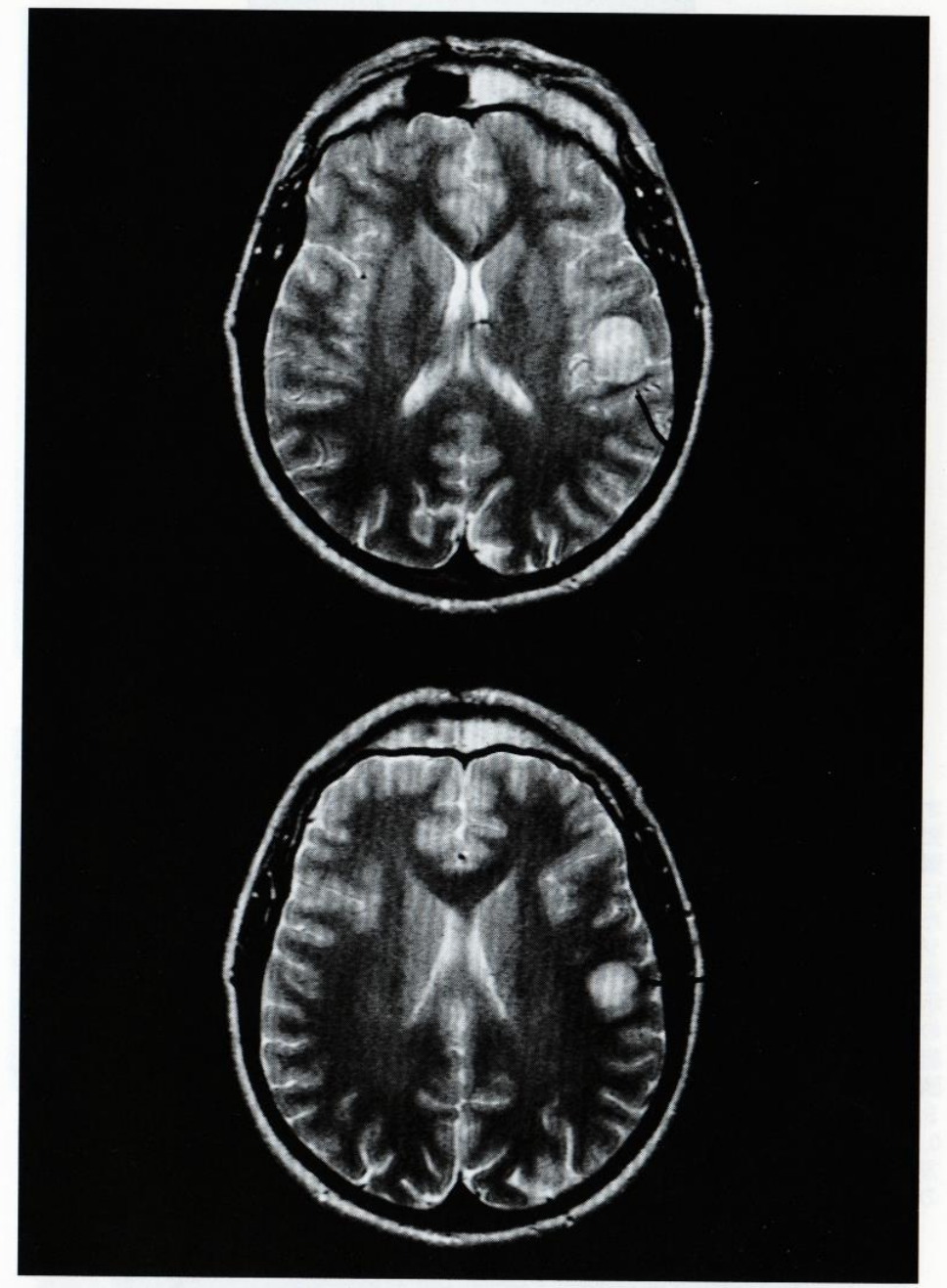


10才の子供の頭を 電磁波が貫く様子

究より。電磁波が子供の 頭を大人の頭よりはるか に深く貫く様子を再現し たコンピューター・イメー ジ(同縮尺に調整済み) ※訳注:SAR値が下に 示されている。メッシュ状 の範囲が脳で、下の突 起部分は耳。耳および 頭の下部が~1W/Kgの SAR値、灰色部分が~ 0.34W/KgのSAR値、上 方の白色は~0.11W/Kg のCAR値を示している

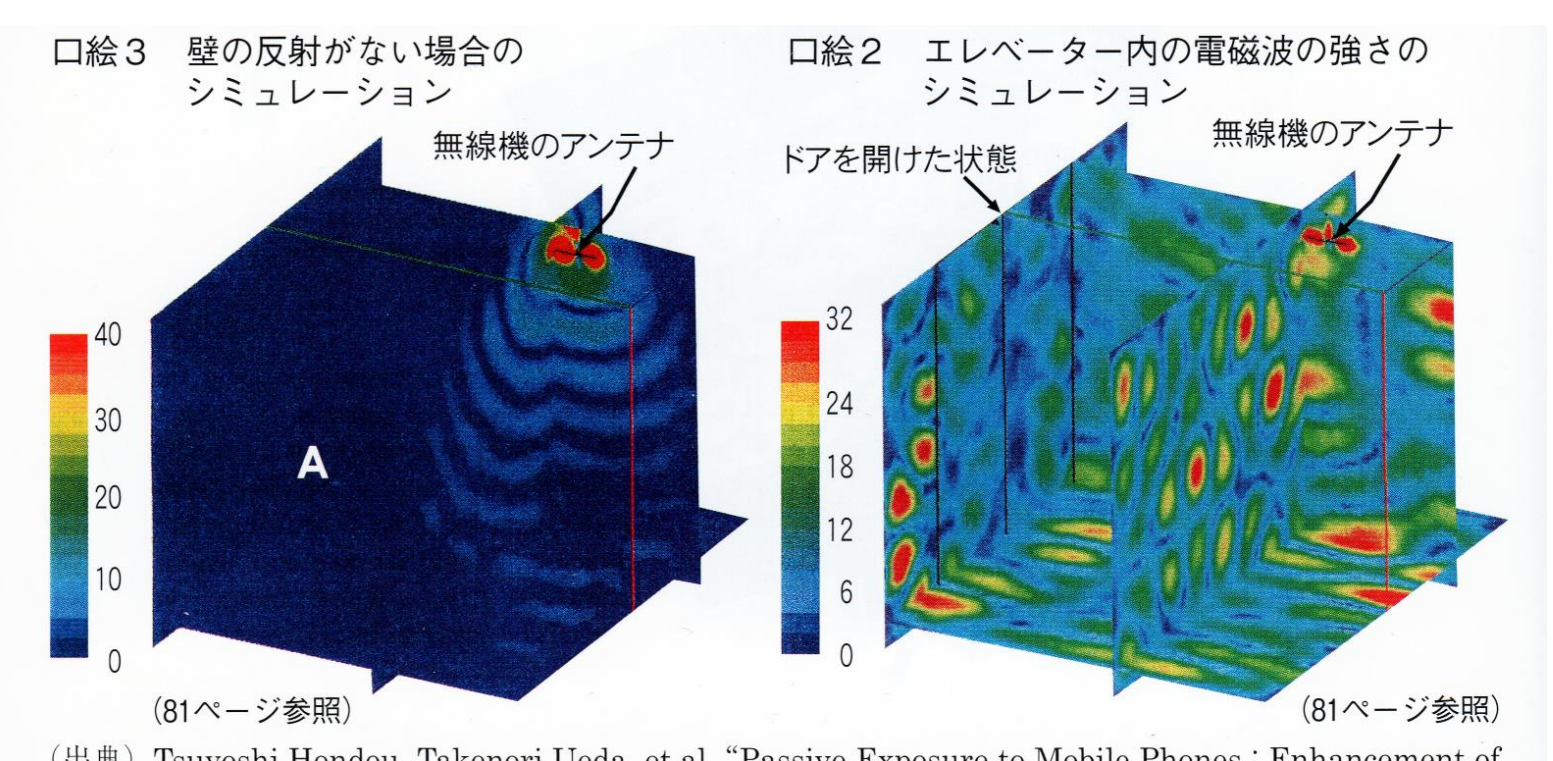


5才の子供の頭を 電磁波が貫く様子



通話中に端末が当る部分に脳腫瘍 ができた携帯ユーザーのX線写真2 枚。黒い線で指し示したところが癌

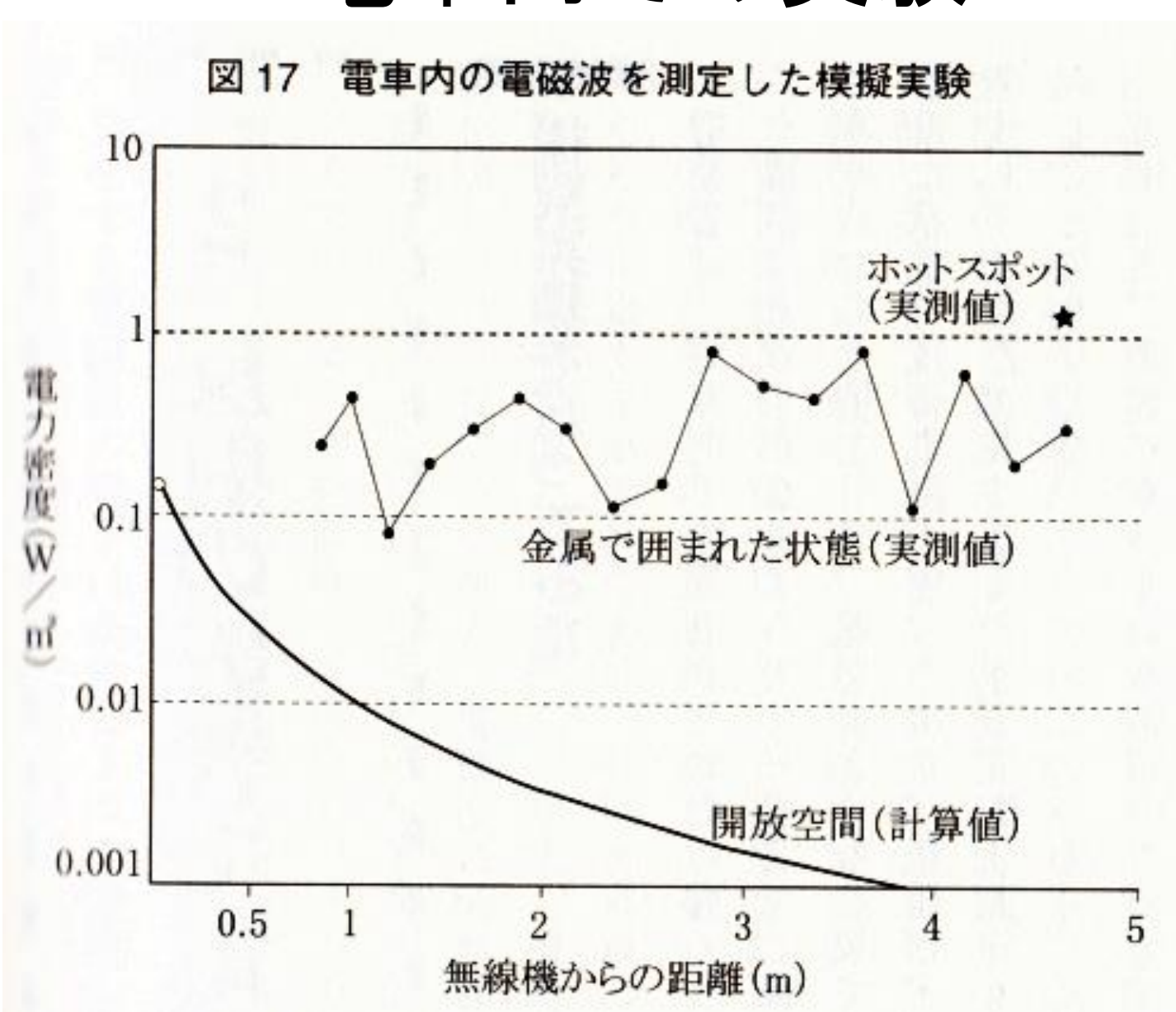
# 金属の密閉空間では電波は反射する



(出典) Tsuyoshi Hondou, Takenori Ueda, et.al., "Passive Exposure to Mobile Phones: Enhancement of Intensity by Reflection", J. Phys. Soc. Jpn., Vol.75, No.8, Aug., 2006.

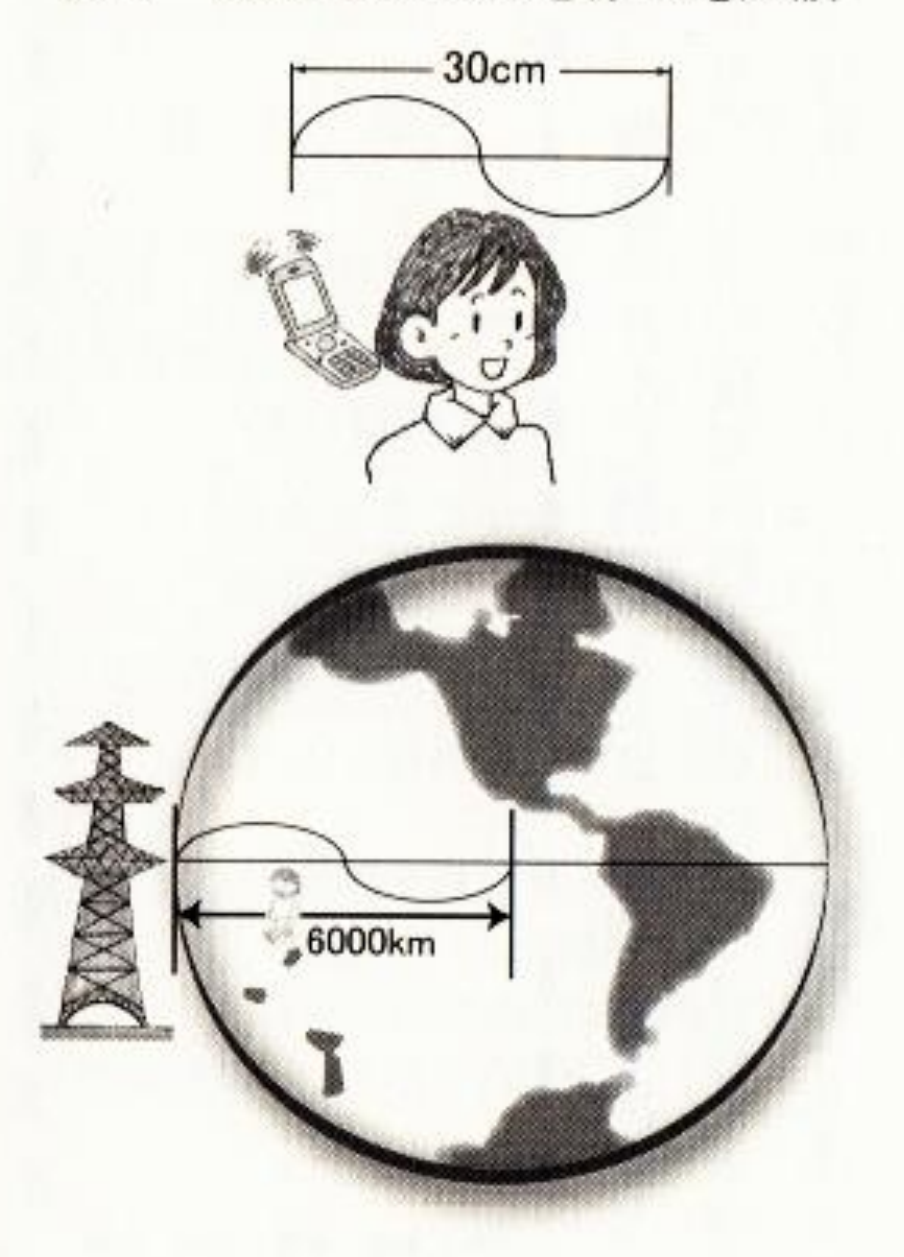
#### エレベーター内

#### 電車内での実験



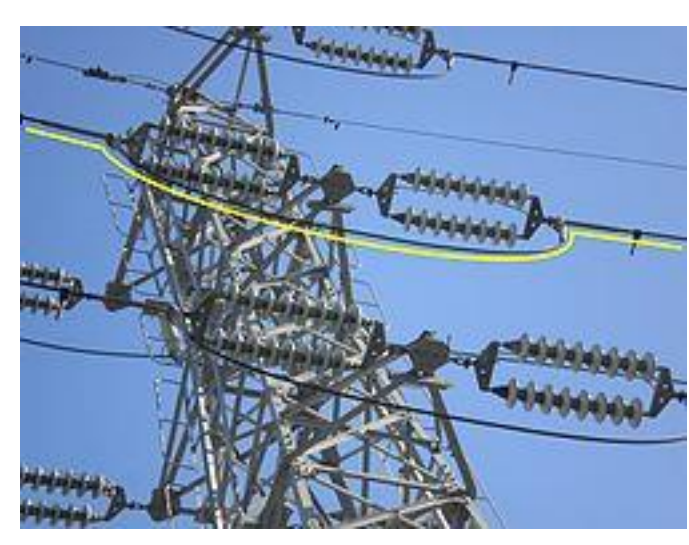
優先席でのみ携帯の電源を切っても意味がない

図9 携帯電話と送電線の電磁波



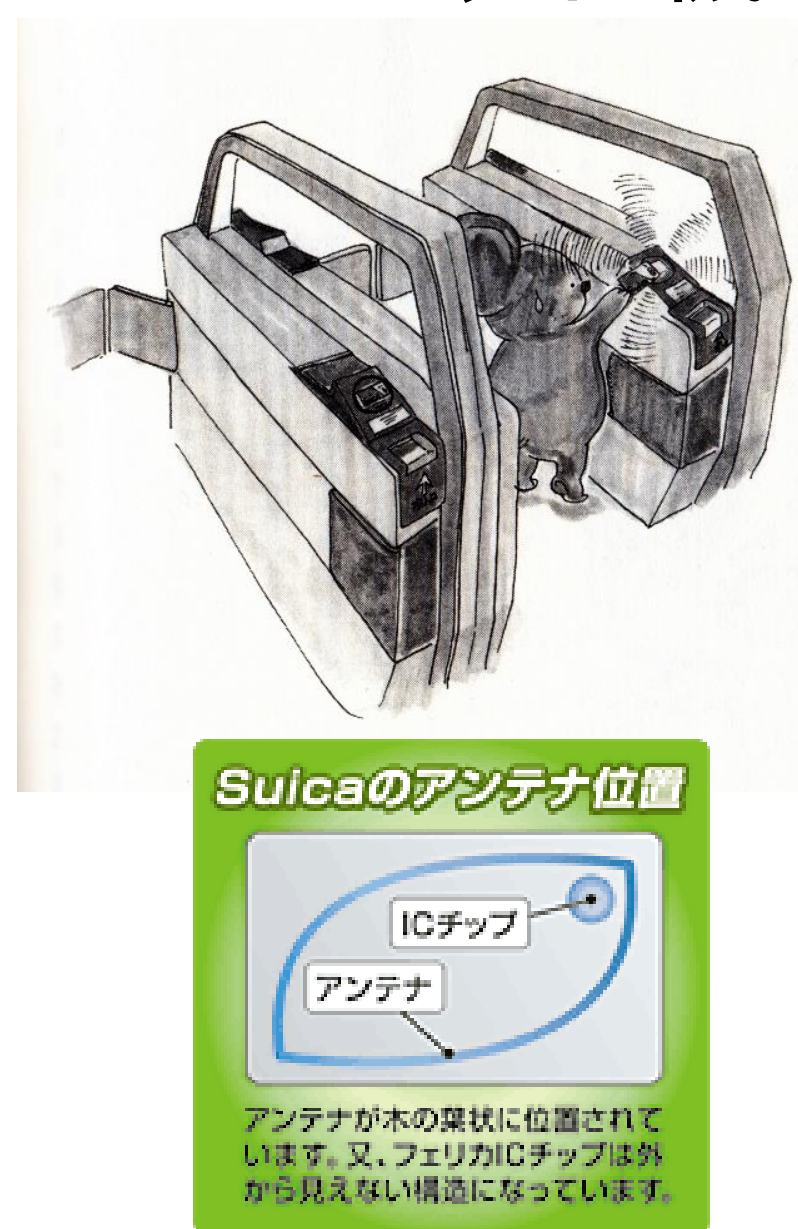
# 送電線 50Hz, 60Hz







### ICカード改札機



#### 13.56MHz



染川駅での測定場面。数値は 0.8730 A/m を示した



**PASMO** 

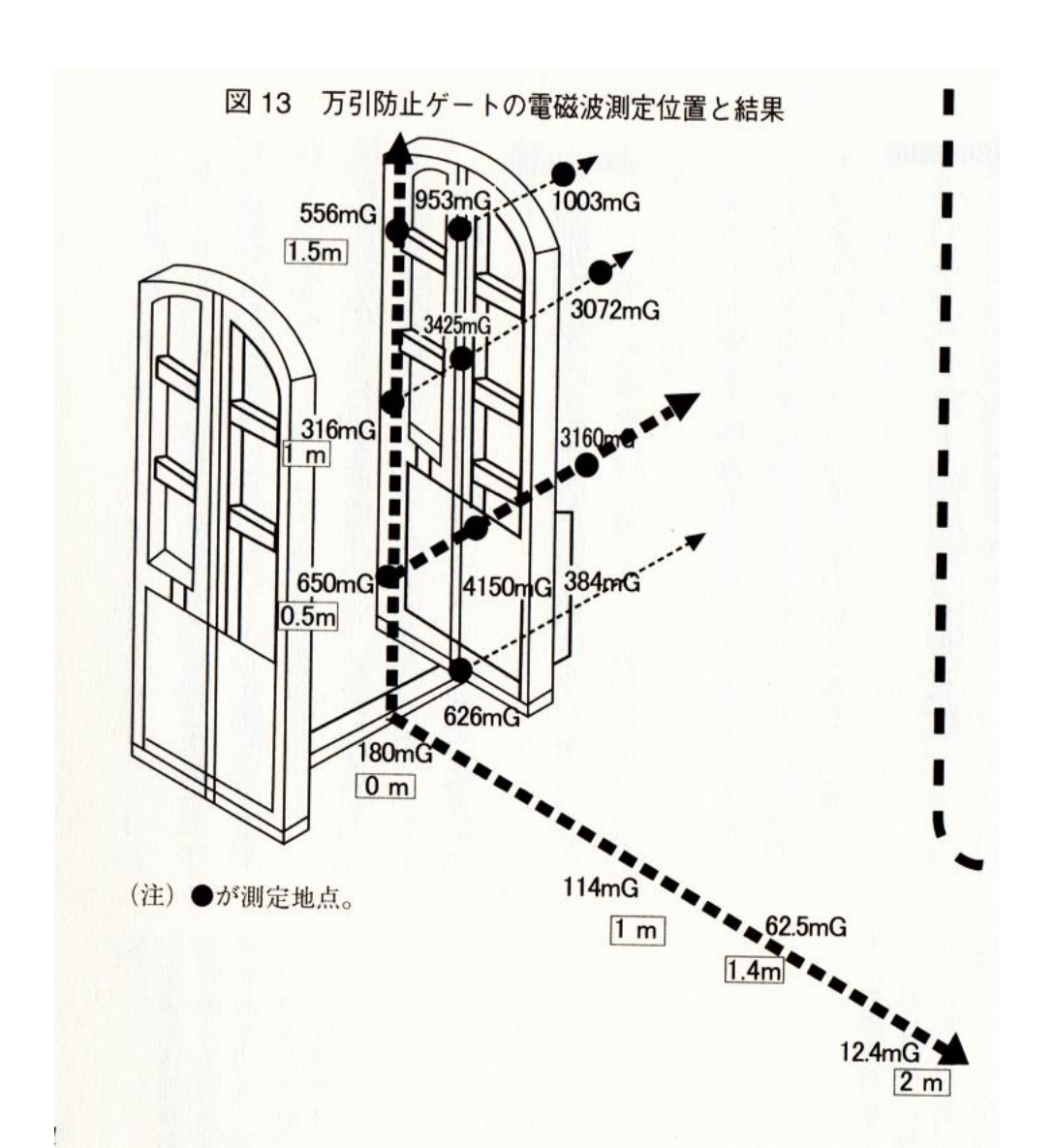
ICタグ (RFタグ)





http://www.sk-el.co.jp/sales/rfid/

# **万引防止ゲート** 14kHz (図書館、レンタルショップ)



磁気式防犯タグ

- ◇PASMO、Suicaの改札では国の基準を超える電磁波
- ◇盗難防止ゲートでは鍋が過熱
- ◇アメリカでペースメーカー装着者が失神
- ◇スーパー・図書館の職員は知っているのか
- ◇総務省「たぶん経済産業省が管轄…」

#### 念のため

現在のところ、携帯電話・送電線・万引き防止ゲートなどからの 電磁波が人体に有害であることを示す統計的に確実に有意と いえる調査結果はない

(ペースメーカーなど電子機器で生命を維持している場合は別)

電場の大きさから物理的に考える限り、通常の使用条件では 生体作用に影響を及ぼすとは思えないが、

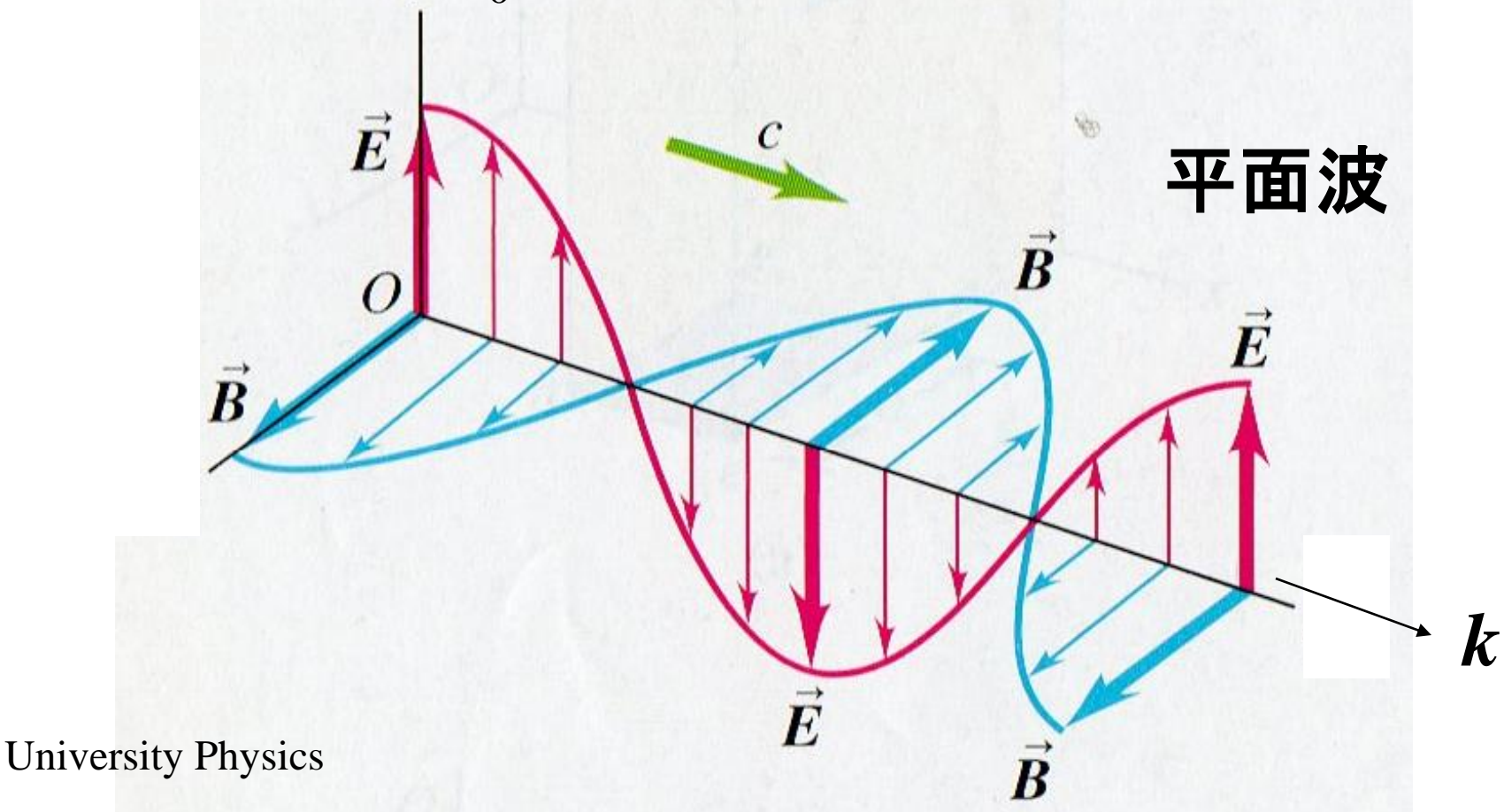
影響が全くないと証明されているわけでもない

#### 電磁波とMaxwell方程式

$$E(r,t) = E_0 \sin(\omega t - k \cdot r)$$

$$= E_0 \sin(\omega t - k_x x - k_y y - k_z z)$$

 $\boldsymbol{B}(\boldsymbol{r},t) = \boldsymbol{B}_0 \sin(\omega t - \boldsymbol{k} \cdot \boldsymbol{r})$ 



### 真空中のマックスウェル方程式

Gauss's law for 
$$\vec{E}$$
  $\int_{S} \vec{E} \cdot d\vec{S} = 0$ 

$$\vec{\nabla} \cdot \vec{E} = 0$$

Gauss's law for 
$$\vec{B}$$
  $\int_{S} \vec{B} \cdot d\vec{S} = 0$ 

$$\vec{\nabla} \cdot \vec{\boldsymbol{B}} = 0$$

Ampere's law 
$$\oint \vec{B} \cdot d\vec{l} = \varepsilon_0 \mu_0 \frac{d\Phi_E}{dt}$$

$$\vec{\nabla} \times \vec{\boldsymbol{B}} = \varepsilon_0 \mu_0 \frac{\partial \vec{\boldsymbol{E}}}{\partial t}$$

Faraday's law 
$$\oint \vec{E} \cdot d\vec{l} = -\frac{d\Phi_B}{dt}$$

$$\vec{\nabla} \times \vec{E} = -\frac{\partial B}{\partial t}$$

Equation of motion 
$$\vec{F} = m\vec{a} = q(\vec{E} + \vec{v} \times \vec{B})$$

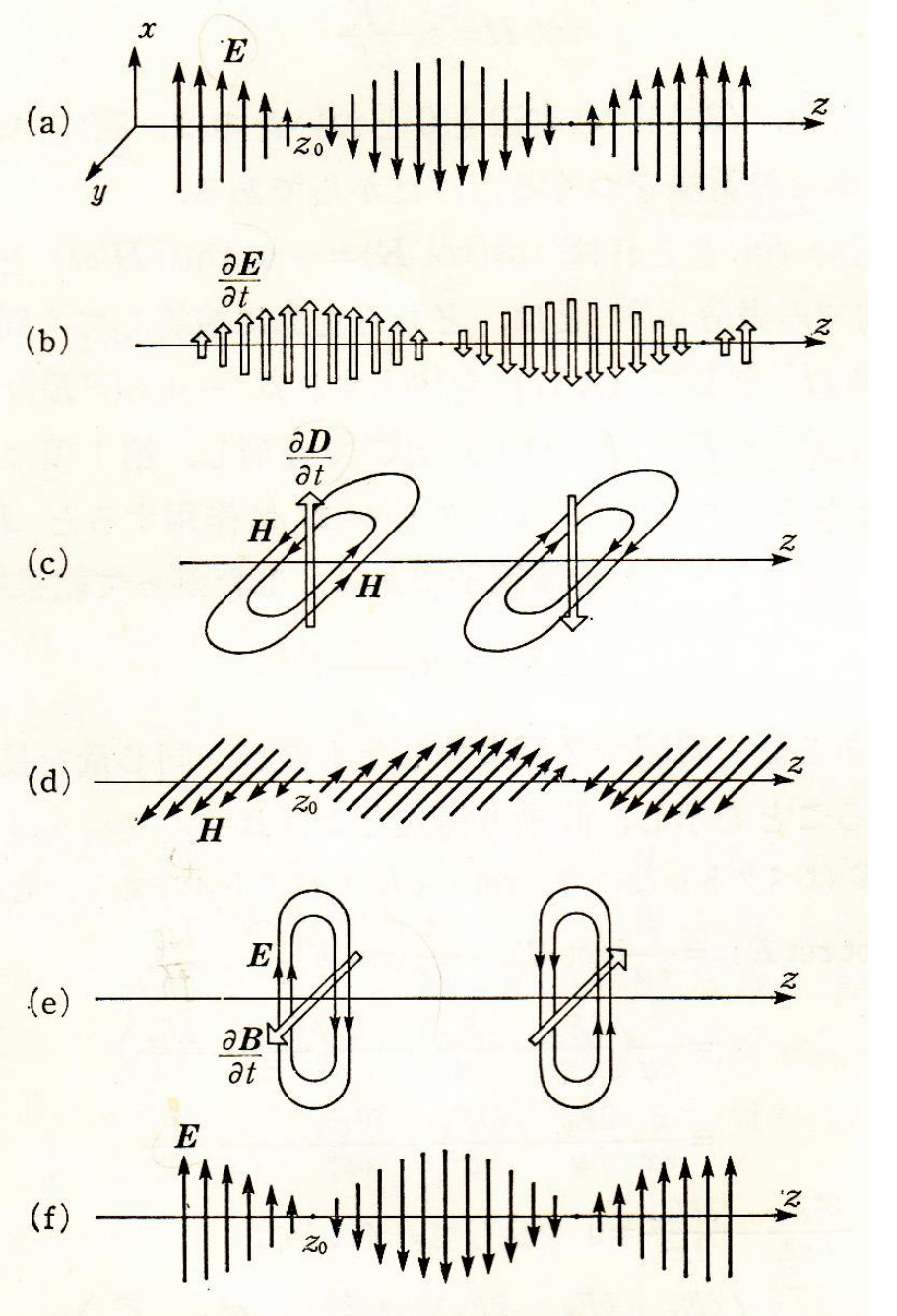
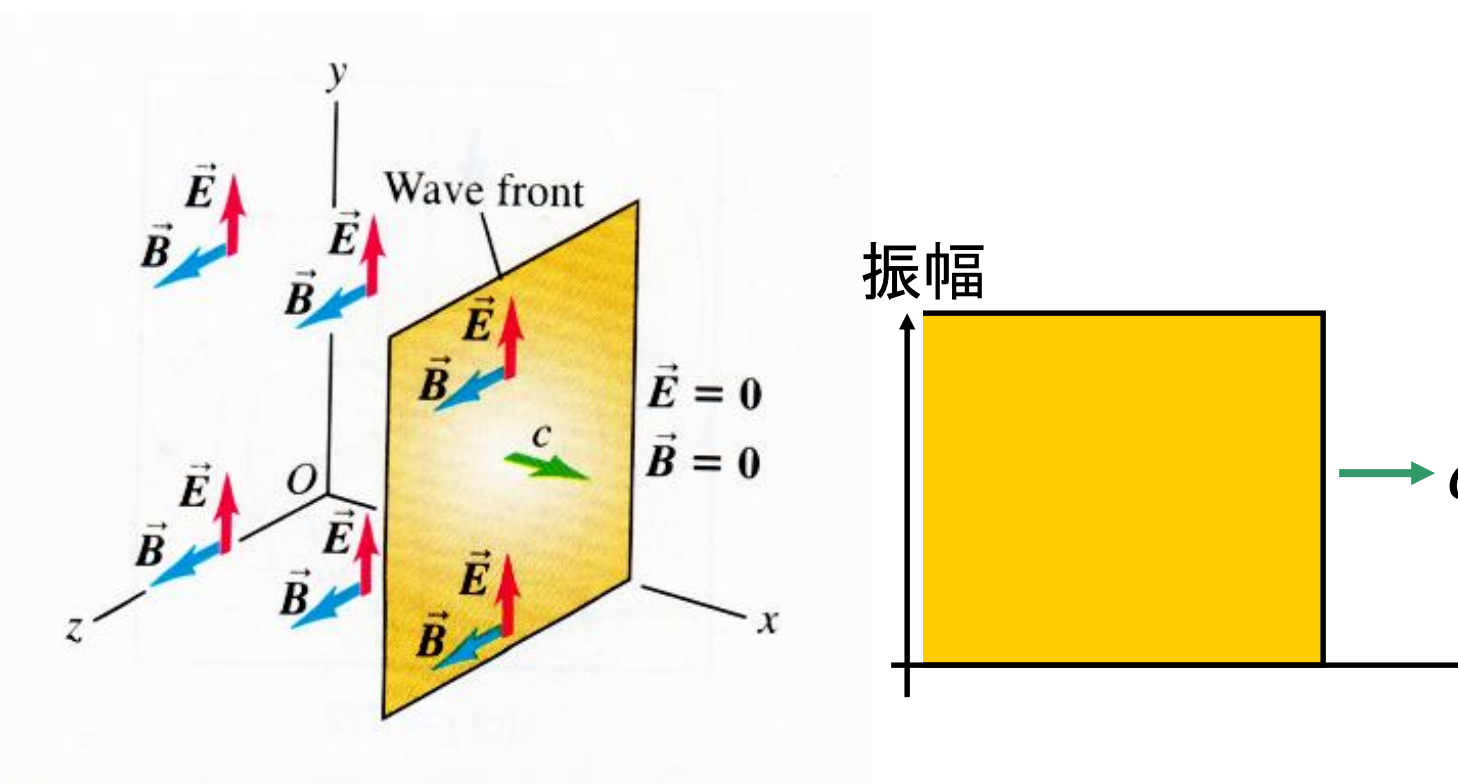


図 2.2 z の正方向(右むき)に進む平面波(同じ時刻 における種々の量)

阿部英太郎 マイクロ波技術

#### マックスウェル方程式の特殊解を探す

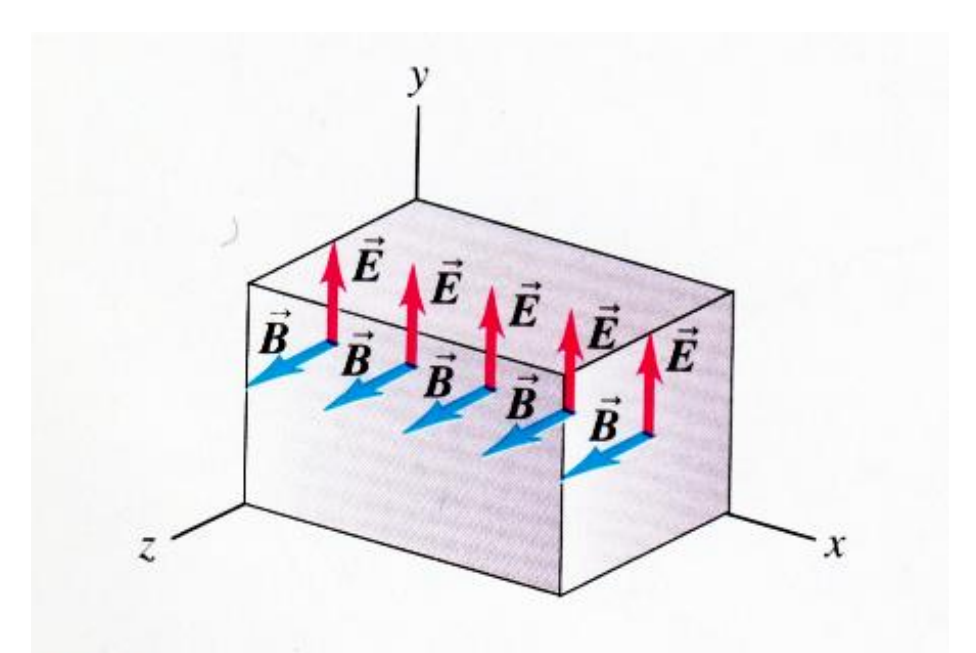
#### 横波一様平面波



**32.3** An electromagnetic wave front. The plane representing the wave front moves to the right with speed c. The  $\vec{E}$  and  $\vec{B}$  fields are uniform over the region behind the wave front but are zero everywhere in front of it.

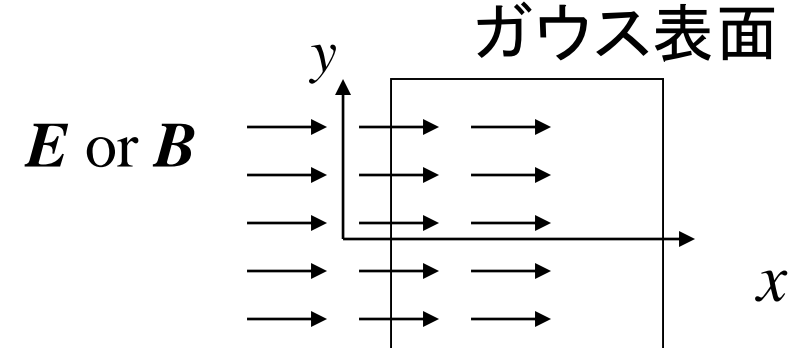
どのようにすれば 発生できるか?

University Physics

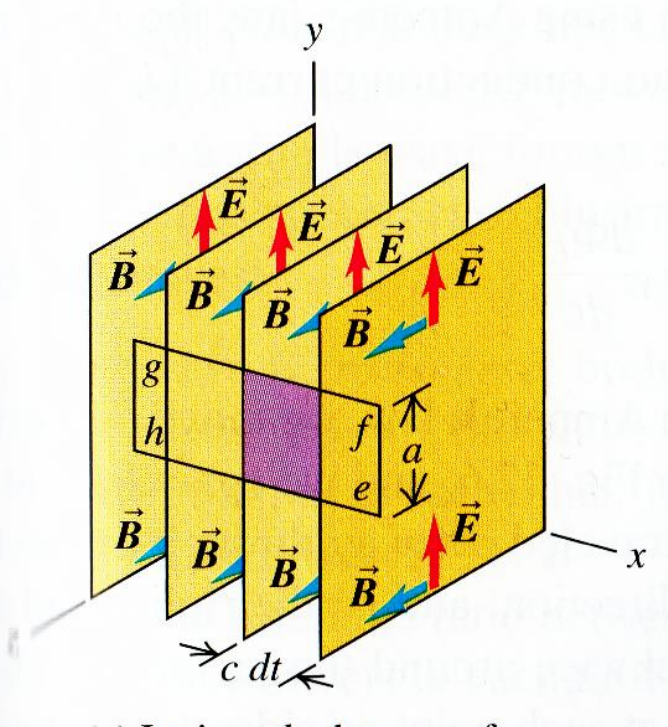


32.4 Gaussian surface for a plane electromagnetic wave. The total electric flux and the total magnetic flux through the surface are both zero.

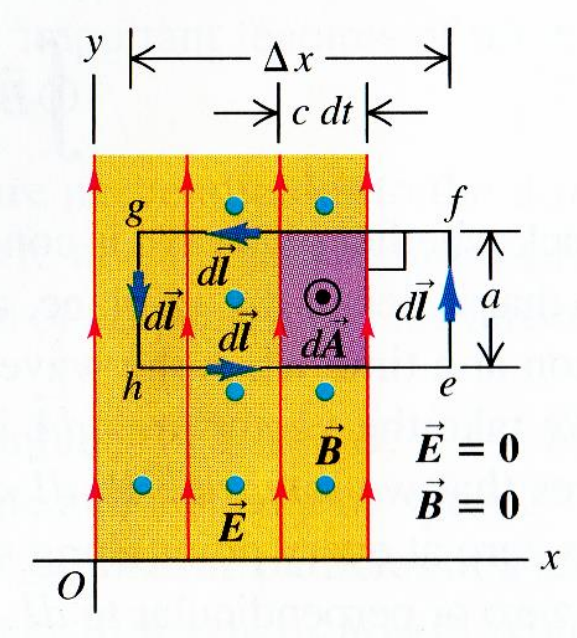
もし電場・磁場が縦成分を持つと ガウスの法則を満たさない



$$\int_{S} \vec{E} \cdot d\vec{S} = 0 \quad \int_{S} \vec{B} \cdot d\vec{S} = 0$$



(a) In time dt, the wave front moves a distance c dt in the +x-direction

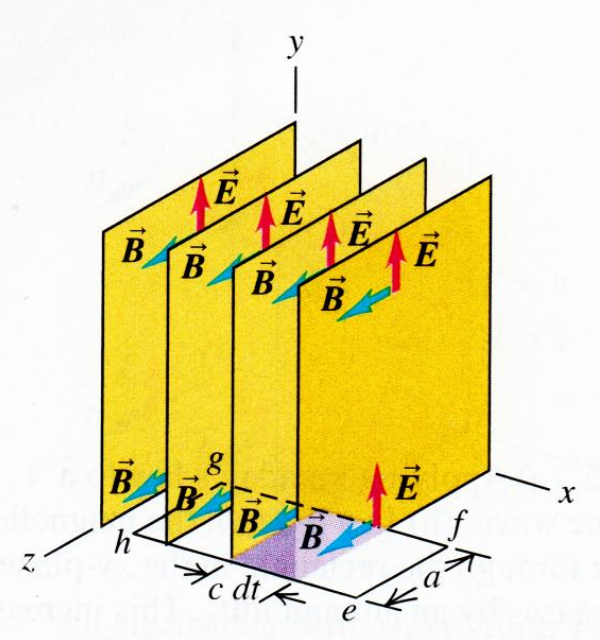


(b) Side view of situation in (a)

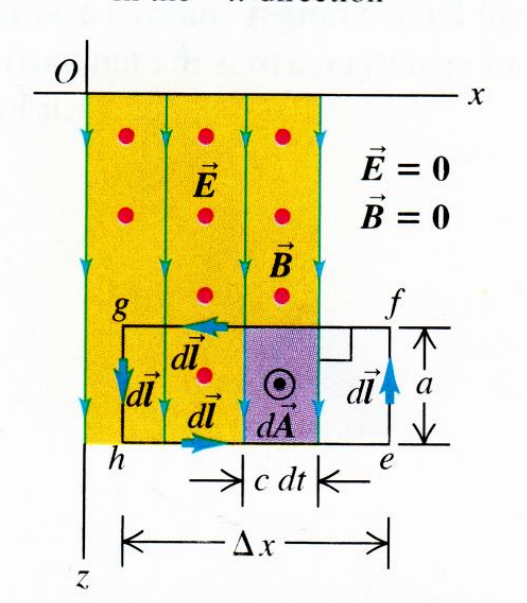
Faraday's law 
$$\oint \vec{E} \cdot d\vec{l} = -\frac{d\Phi_B}{dt}$$

$$\oint \vec{E} \cdot d\vec{l} = -Ea \qquad \frac{d\Phi_B}{dt} = Bac$$

$$-Ea = -Bac$$
  $\therefore E = cB$ 



(a) In time dt, the wave front moves a distance c dt in the +x-direction



(b) Top view of situation in (a)

Ampere's law

$$\text{law} \quad \oint \vec{B} \cdot d\vec{l} = \varepsilon_0 \mu_0 \frac{d\Phi_E}{dt}$$

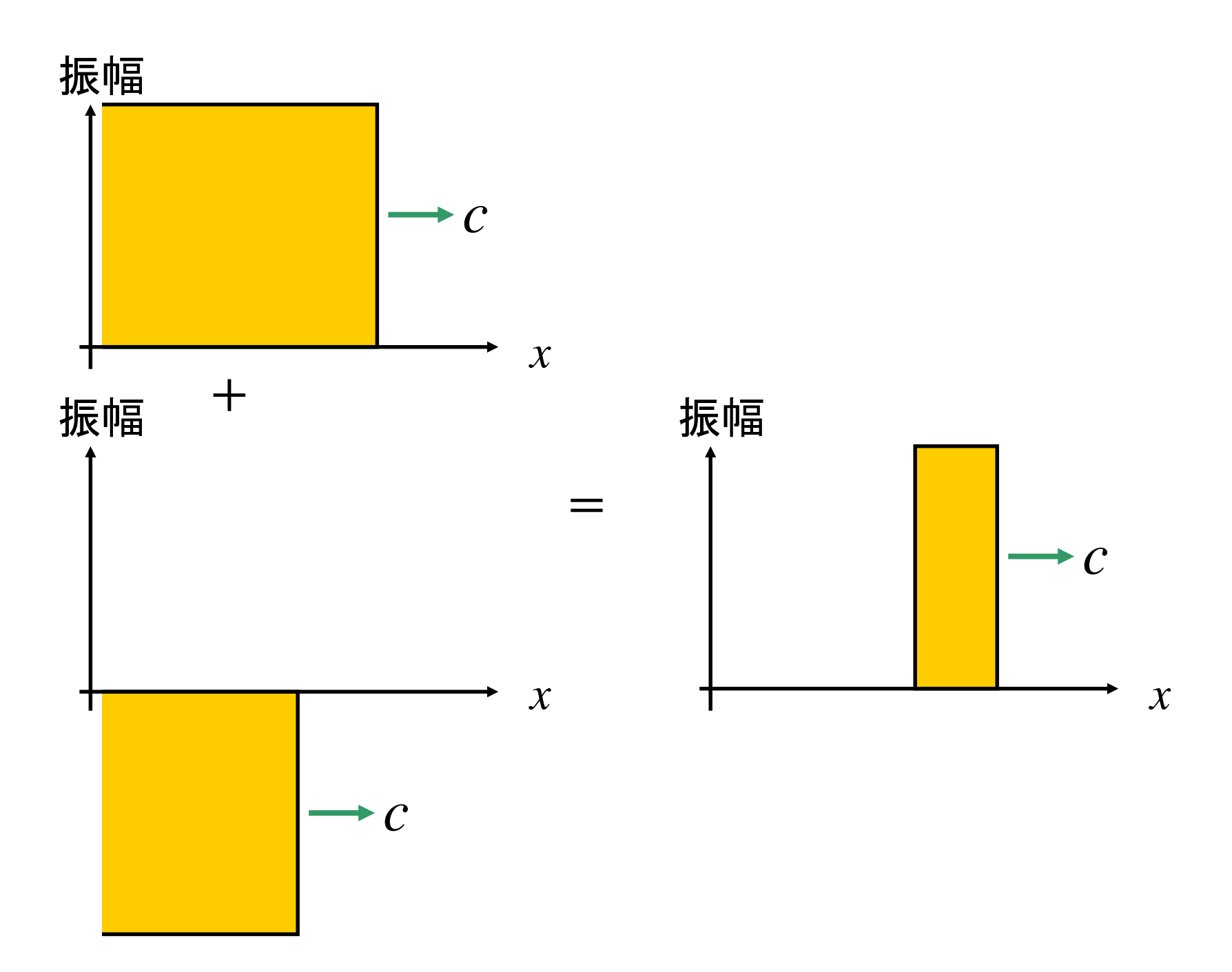
$$\oint \vec{B} \cdot d\vec{l} = Ba$$

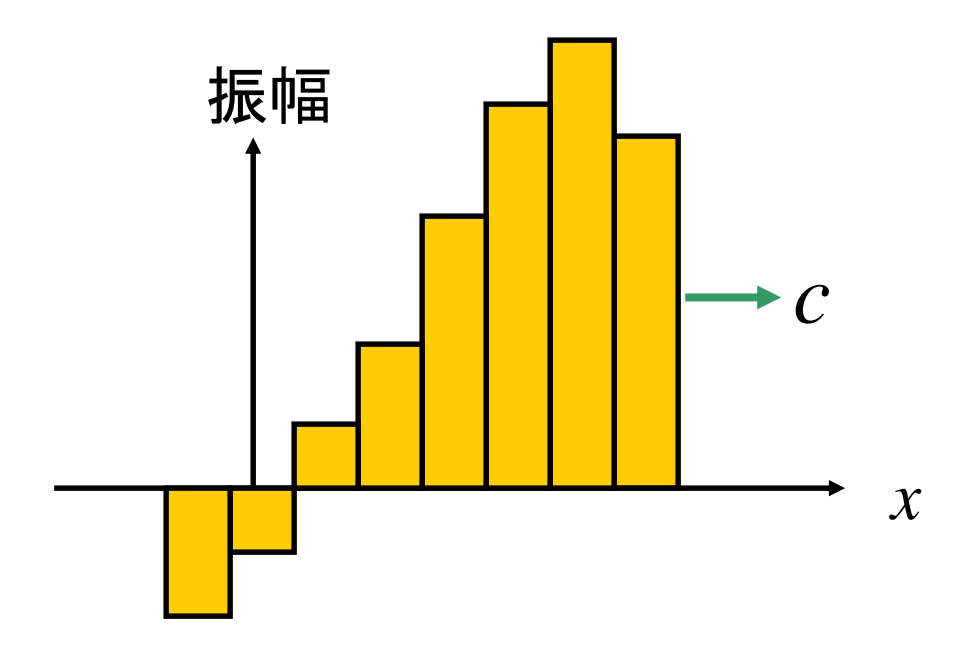
$$Ba = \varepsilon_0 \mu_0 Eac$$

$$\frac{d\Phi_{\rm E}}{dt} = Eac$$

$$\therefore B = \varepsilon_0 \mu_0 c E$$

$$E = cB$$
 and  $B = \varepsilon_0 \mu_0 cE$ 

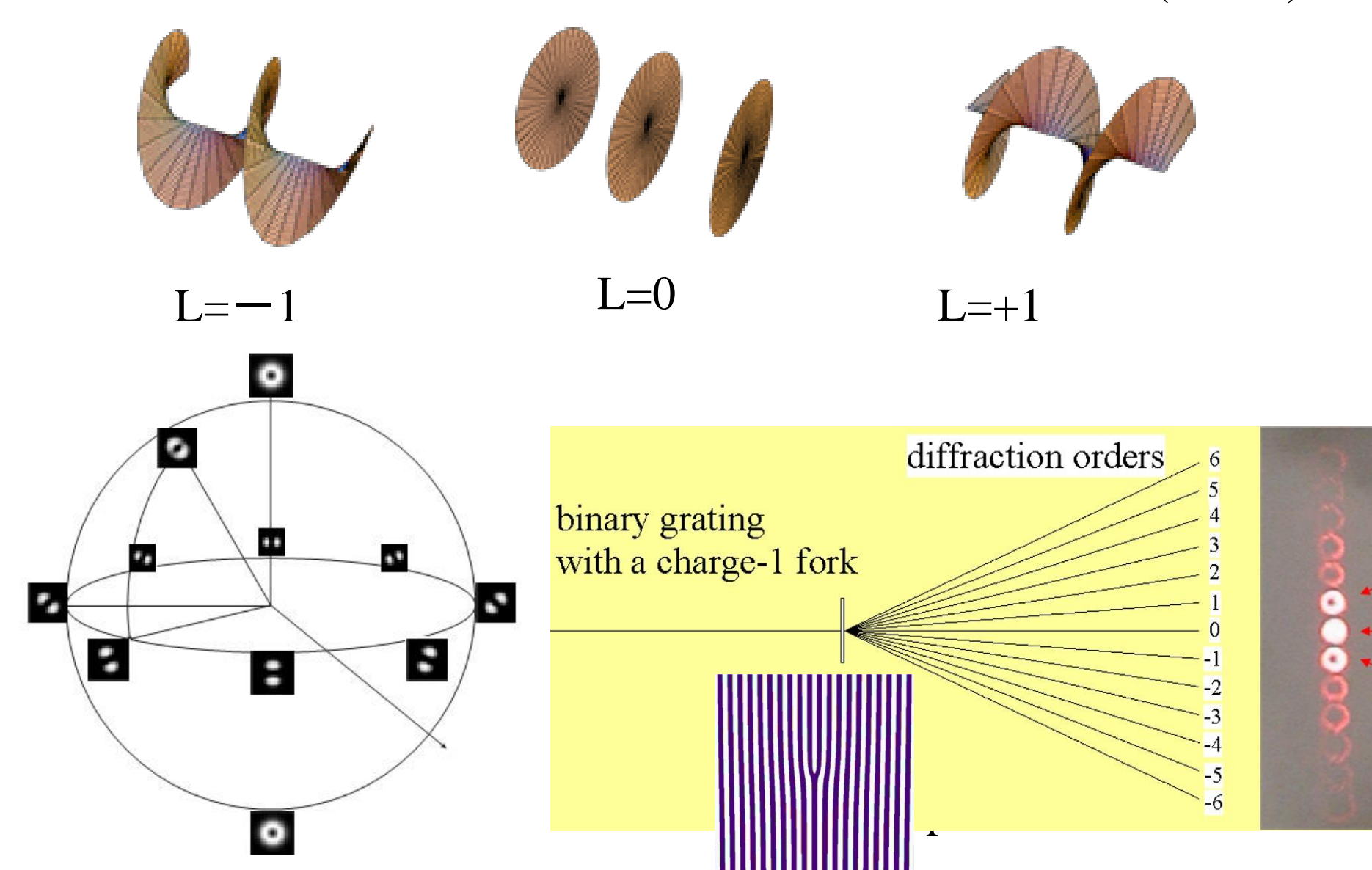




任意の波形でMaxwell方程式を満たす

#### 軌道角運動量を持つ光 L=r×P

 $\propto r \times (E \times B)$ 

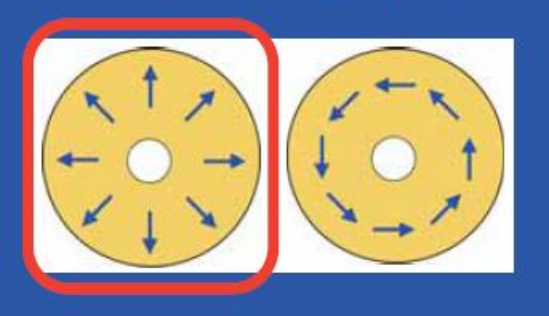


#### ベクトルビーム

ビーム断面に偏光の分布がある

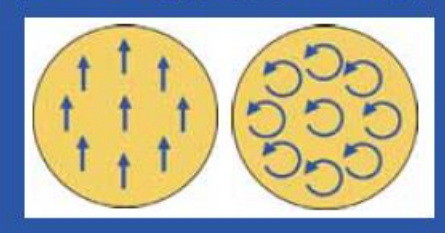
径偏光ビーム、方位偏光ビーム

軸対称偏光モード



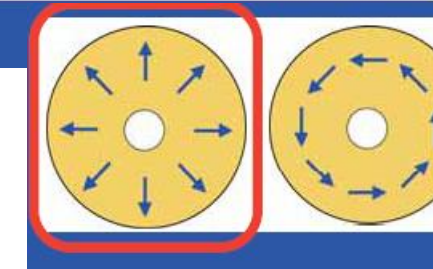
方位角偏光 径偏光

通常のレーザーモード (ビーム断面内で一様)



直線偏光

円偏光



偏光特異点 光強度・・・0

ドーナツ状のビーム

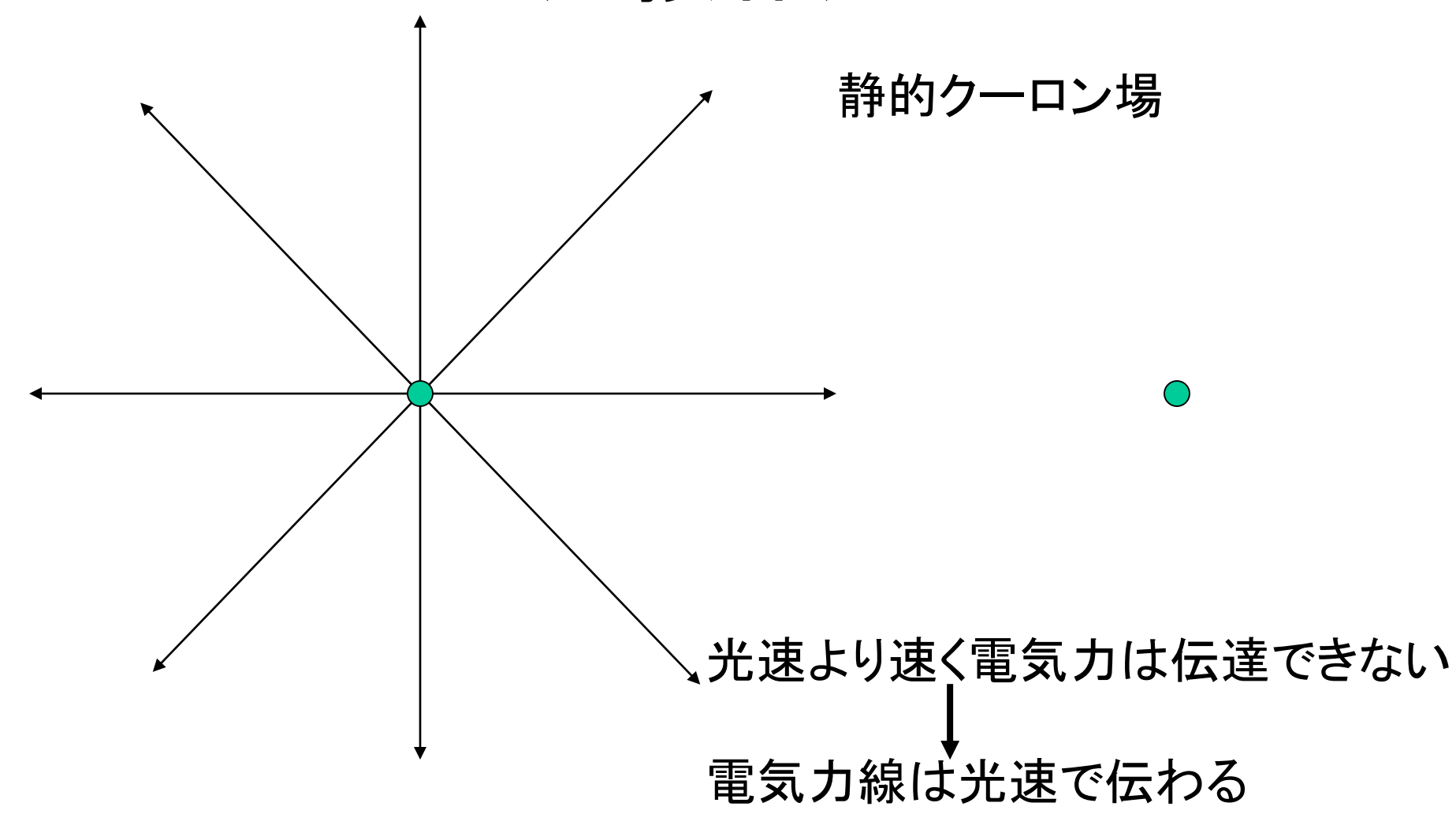


高空間分解分光

北大、千葉大 森田、岡、丹田、尾松 光渦・偏光渦レーザーの開発と レーザー加工への応用 より



#### 近接作用

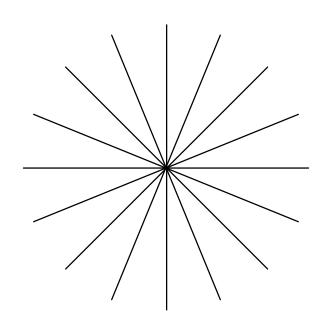


# 電荷が等速運動すると

電荷は静止していて、観測者が等速運動するのと区別できない

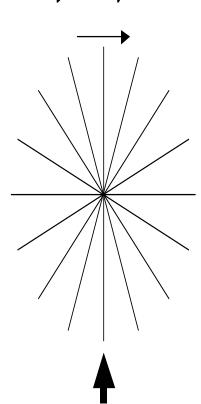
#### 等速直線運動する荷電粒子の作る電場





$$E = \frac{q}{4\pi\varepsilon_0} \frac{1}{r^2}$$

$$v = V$$

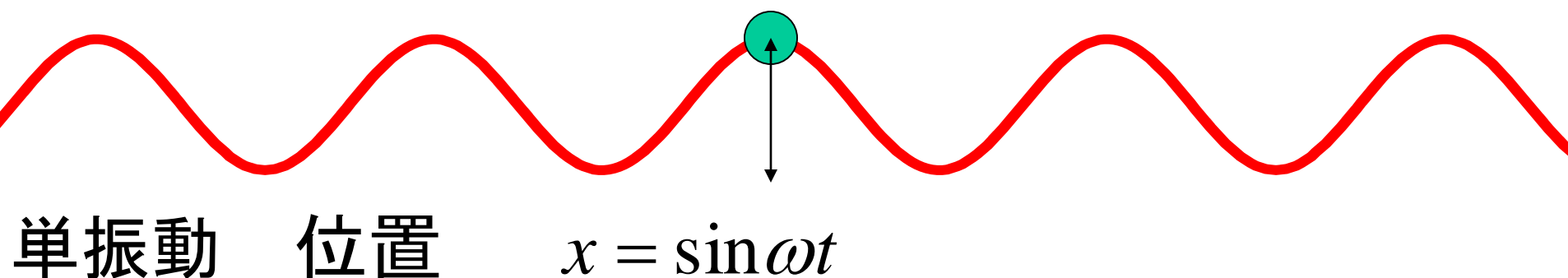


$$E = \frac{q}{4\pi\varepsilon_0} \frac{1}{r^2} \frac{1}{\sqrt{1 - V^2 / c^2}}$$

電荷が加速度運動すると?

## 電子が加速度運動すると 電磁波が放出される

電子の振動(分極) ⇔ 電磁波



位置 
$$x = \sin \omega t$$

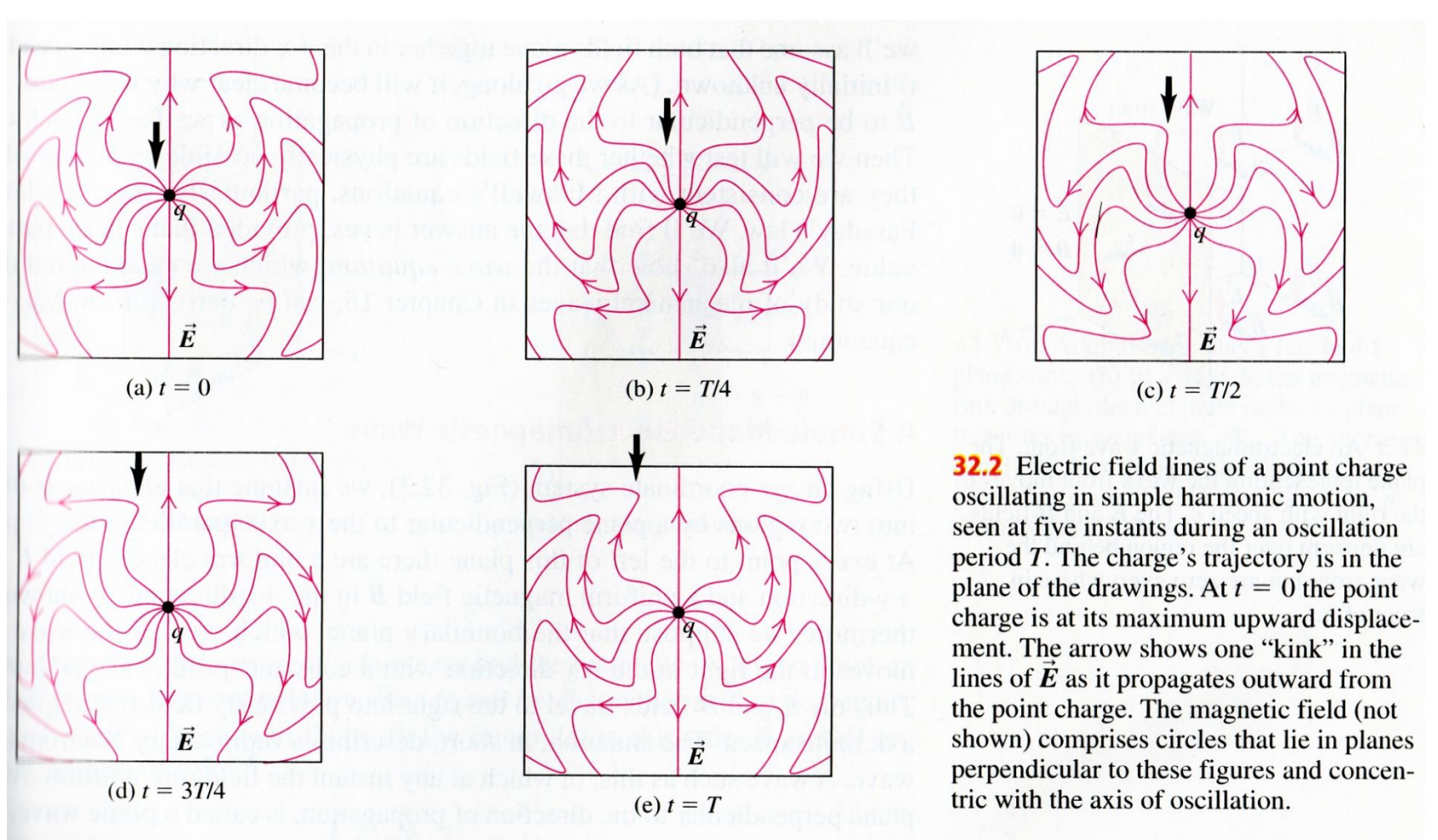
速度 
$$v = \frac{dx}{dt} = \omega \cos \omega t$$

加速度 
$$a = \frac{dv}{dt} = -\omega^2 \sin \omega t$$

 $\omega (=2\pi c/\lambda)$ が大きいほど放出電磁波の強度大きい

### なぜ加速度運動で電磁放射?

光速度が無限大だったら?



**University Physics** 

#### 電磁波の発生 電気双極子輻射(放射)

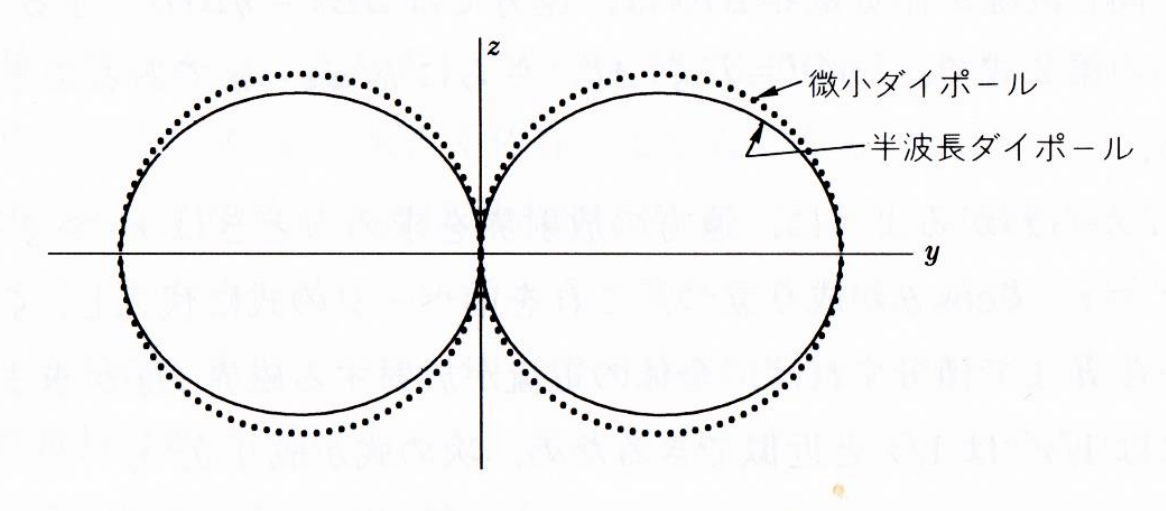
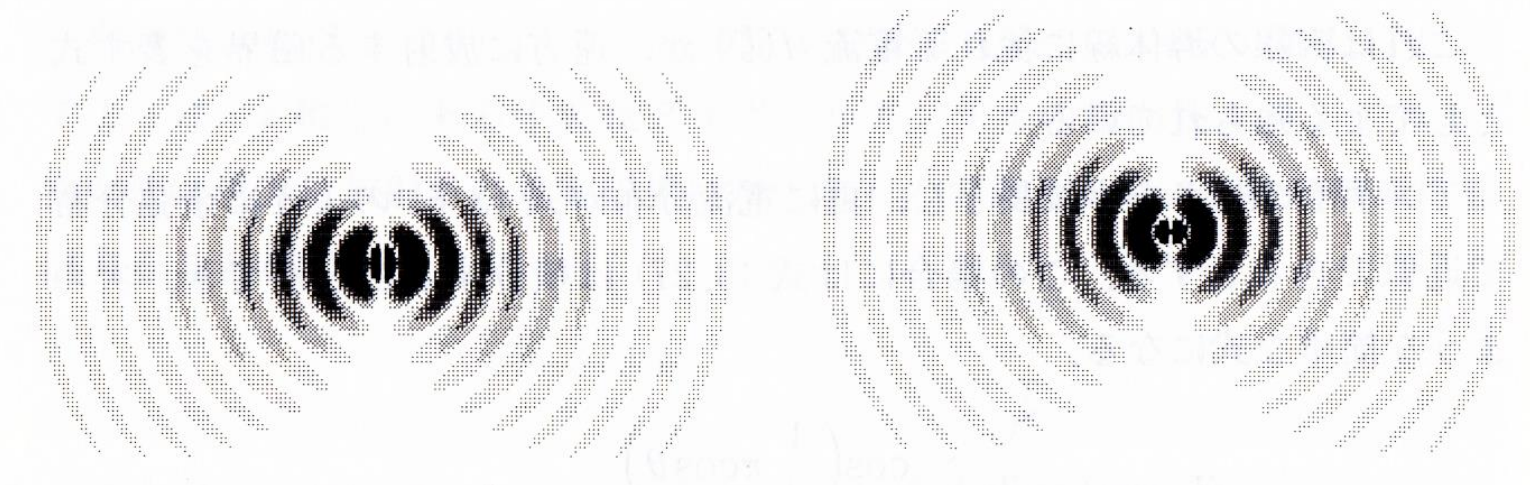


図 3.18 アンテナの指向性



(a) 半波長ダイポール

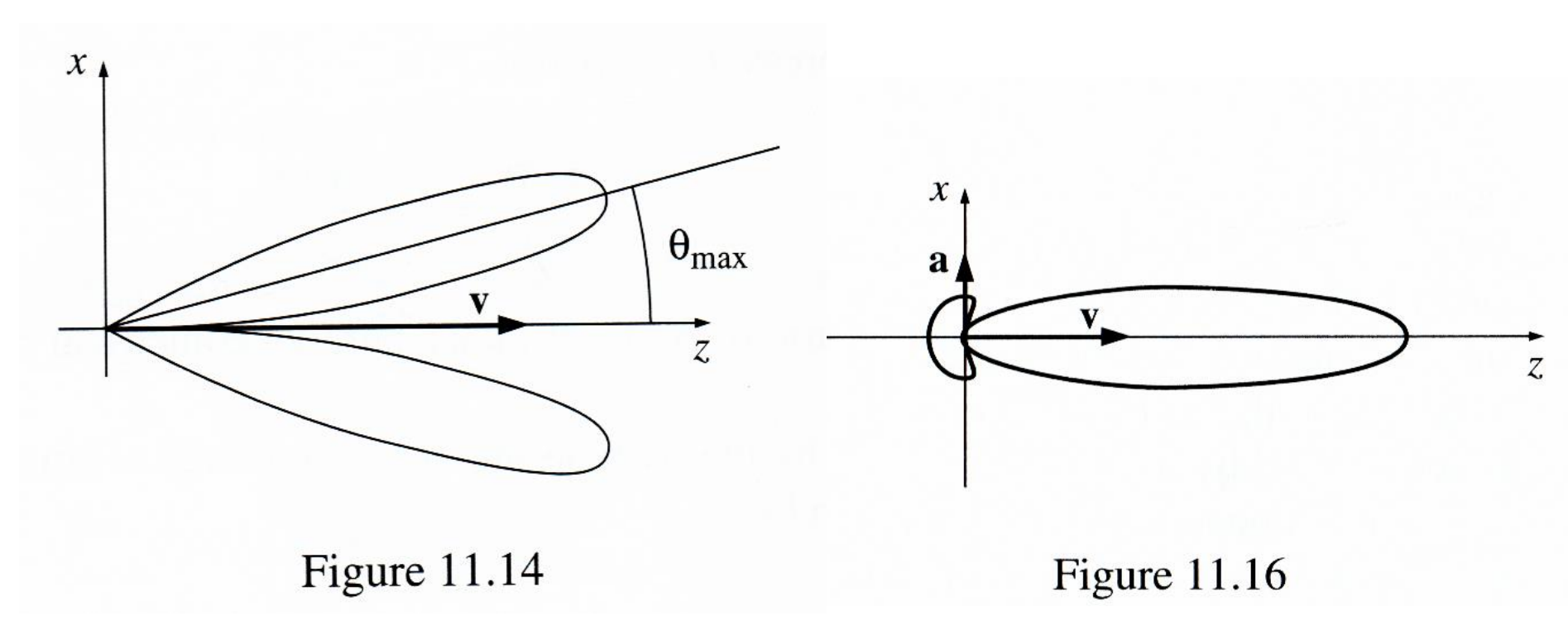
(b) 微小ダイポール

図説・アンテナ

図 3.19 パソコングラフィックスで示したアンテナの指向性

電磁波の発生

#### 制動輻射、シンクロトロン輻射



Griffiths Intro. ElectroDynamics

http://webphysics.davidson.edu/applets/sync/default.html

応用 軌道放射光 自由電子レーザー

## 制動輻射

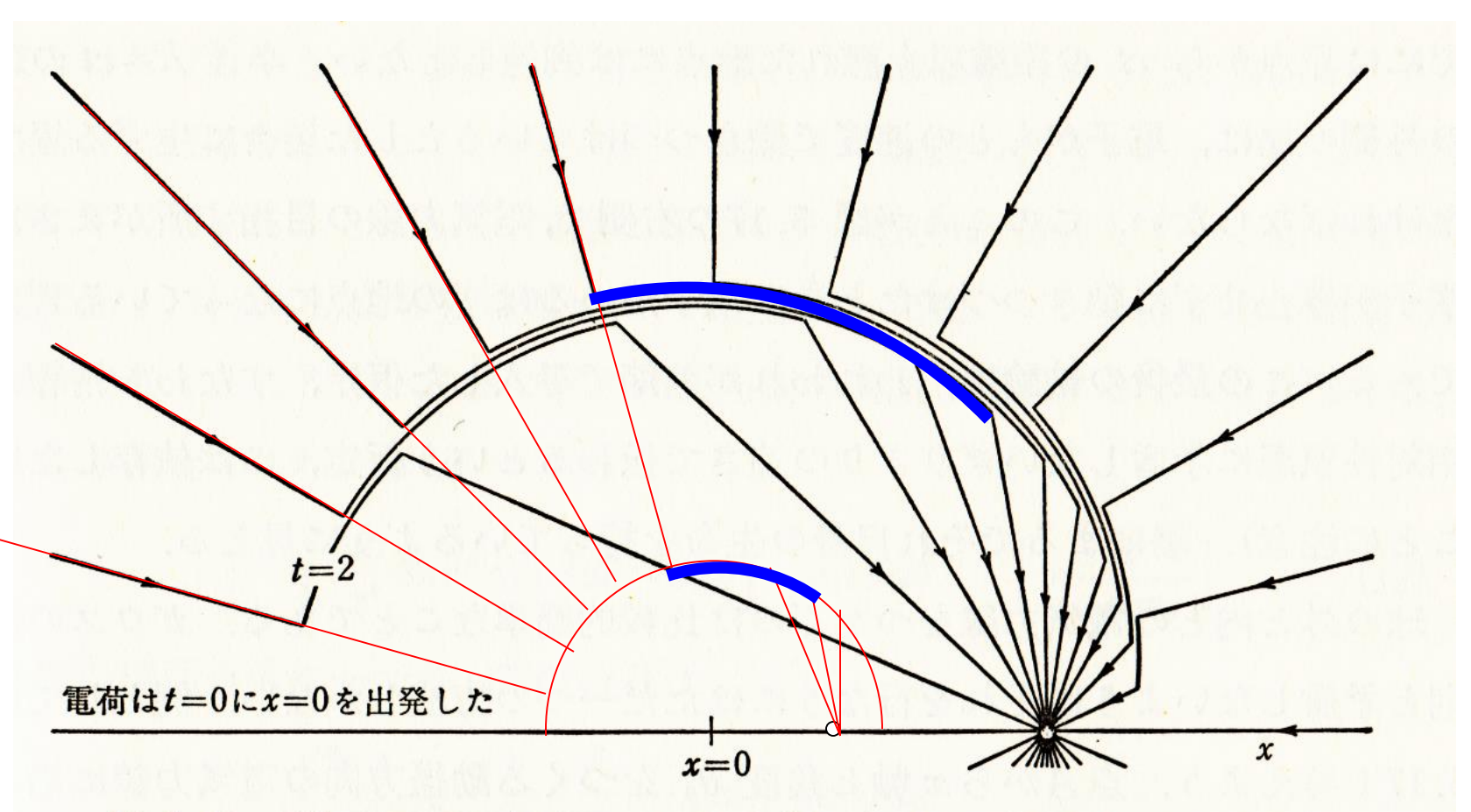


図 5.16 最初 x=0 に静止していた電荷が t=0 に突然加速されてその後一定速度で動いている.

パーセル 電磁気

#### 制動輻射

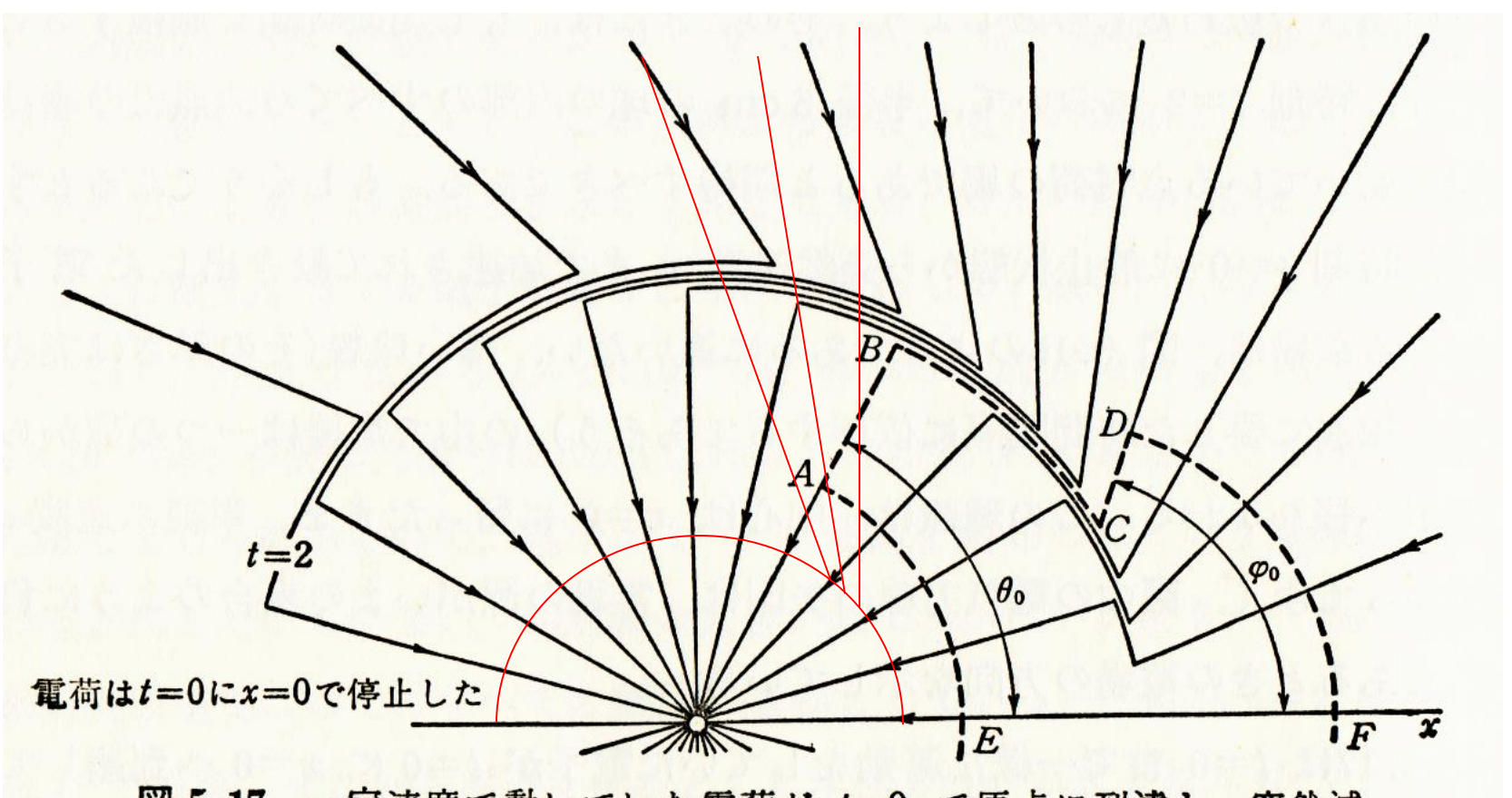
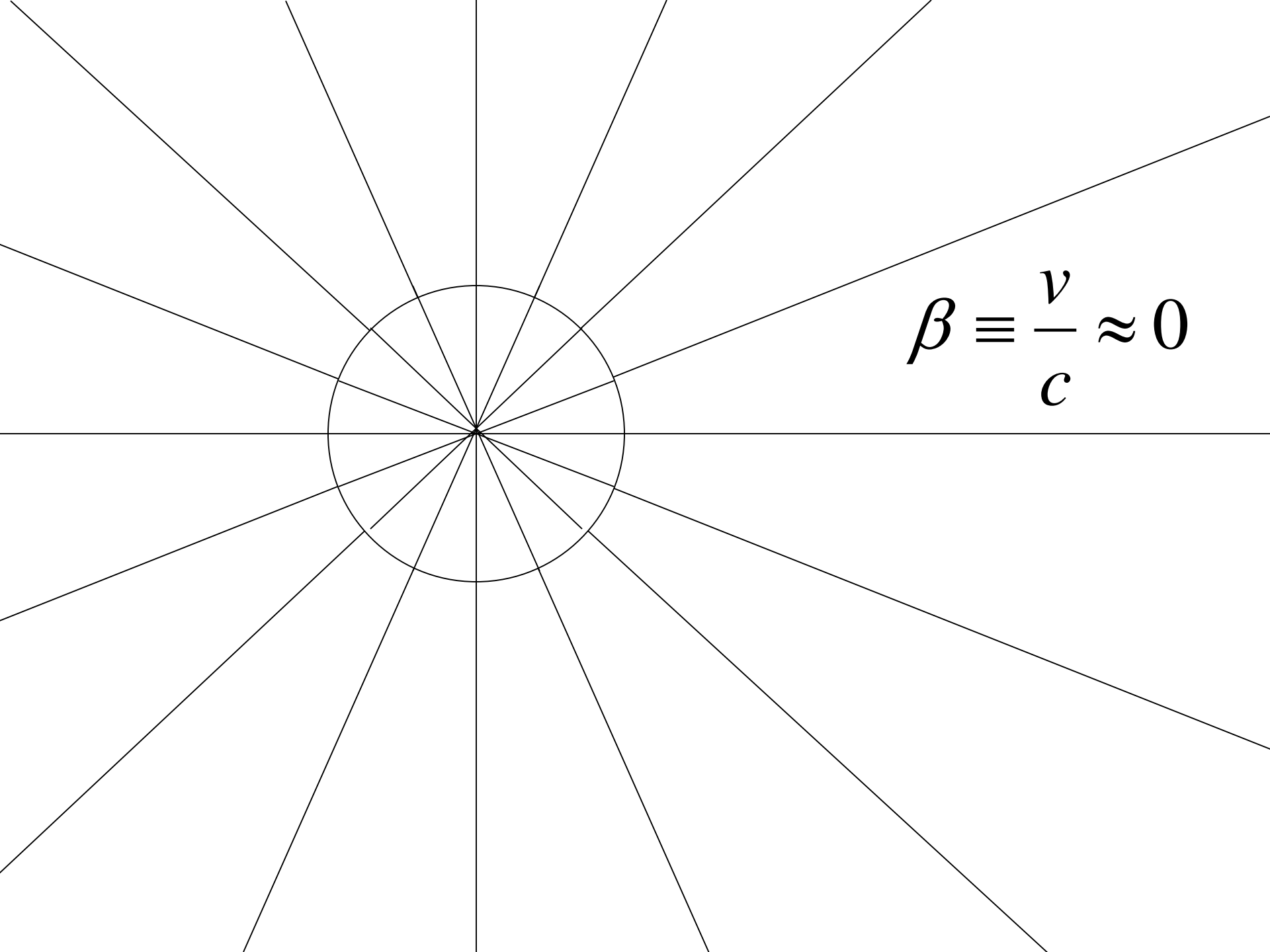


図 5.17 一定速度で動いていた電荷が t=0 で原点に到達し、突然減速されて停止しその後原点に留る.

パーセル 電磁気

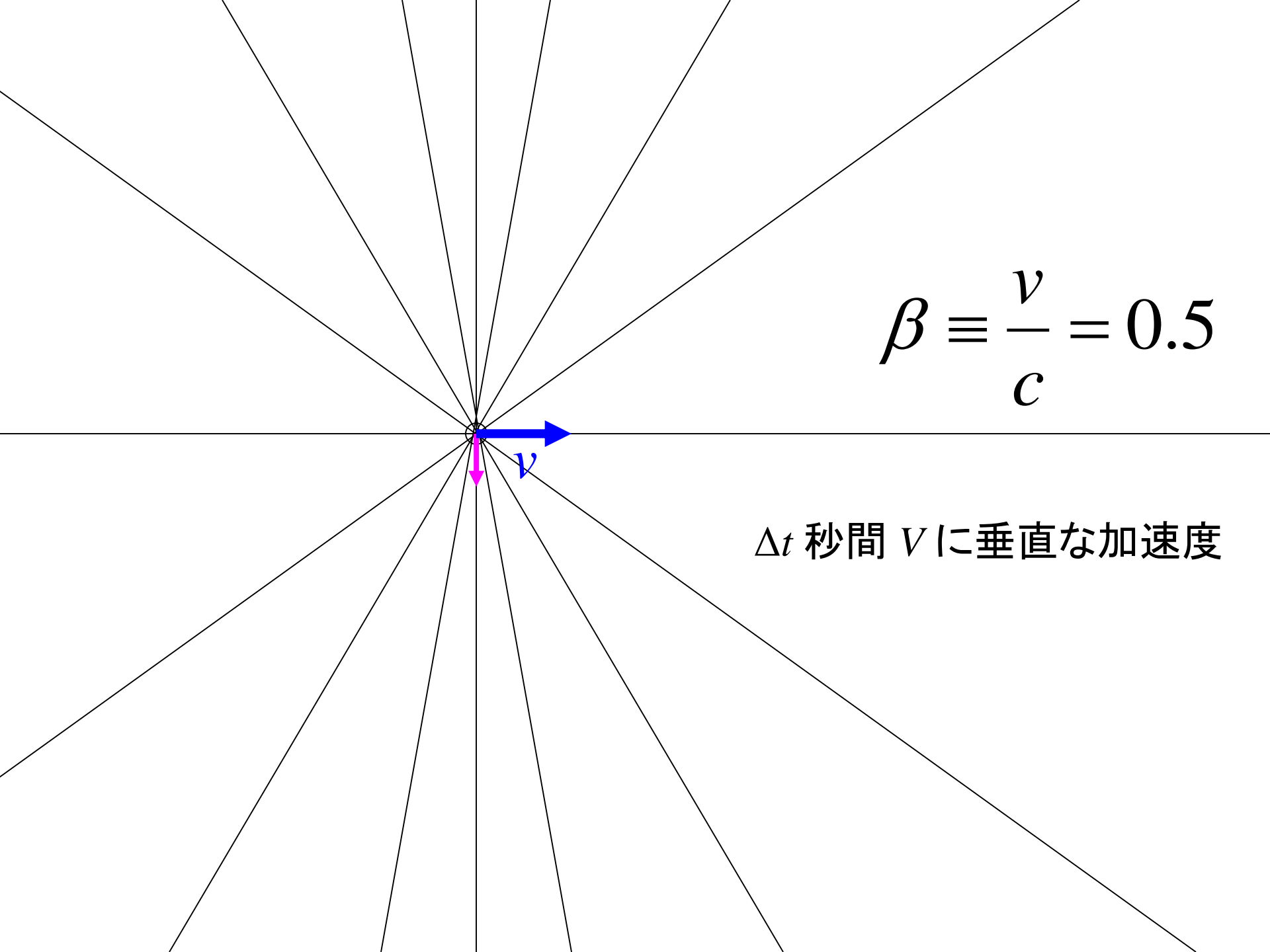


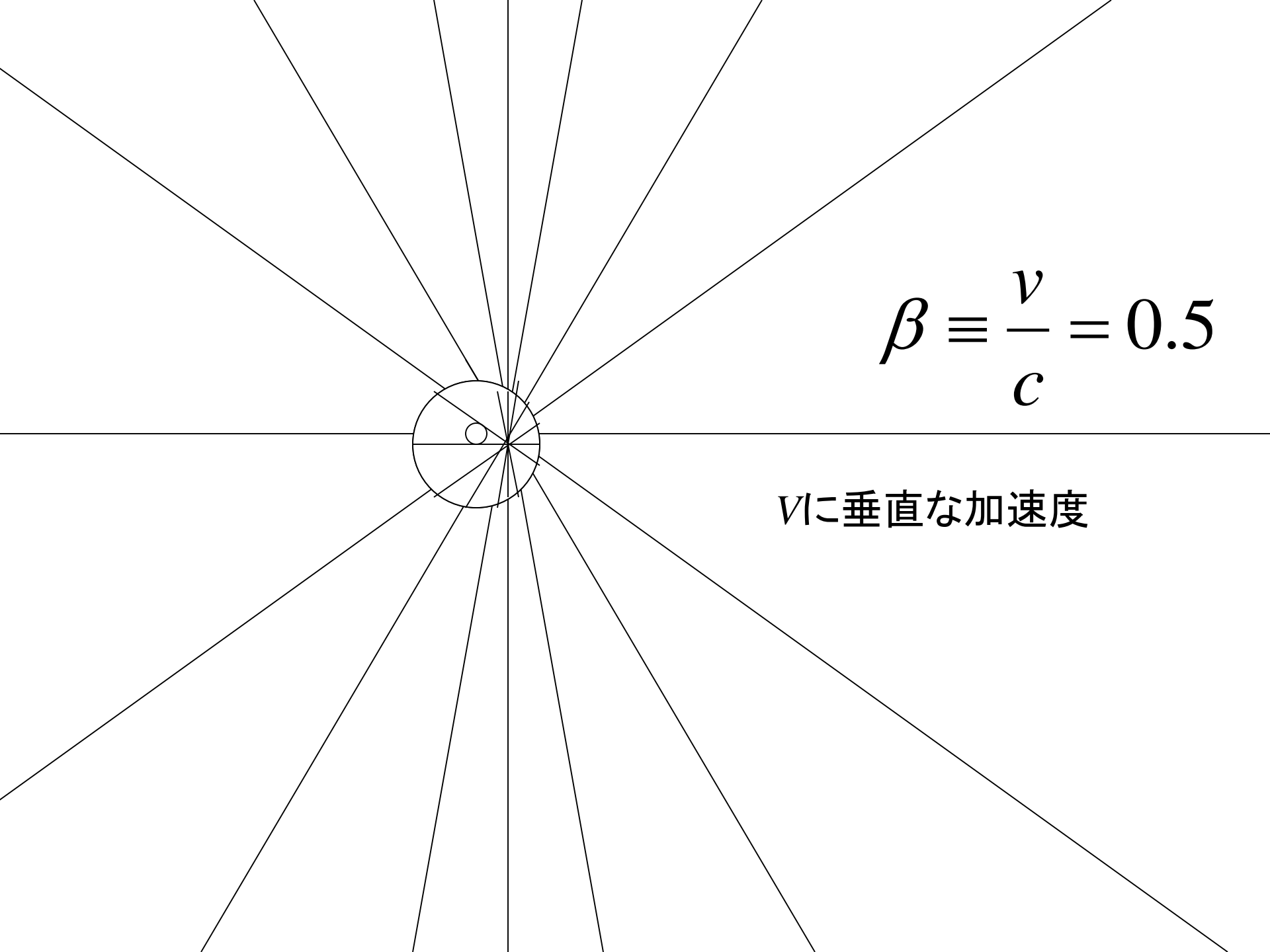
#### シンクロトロン輻射

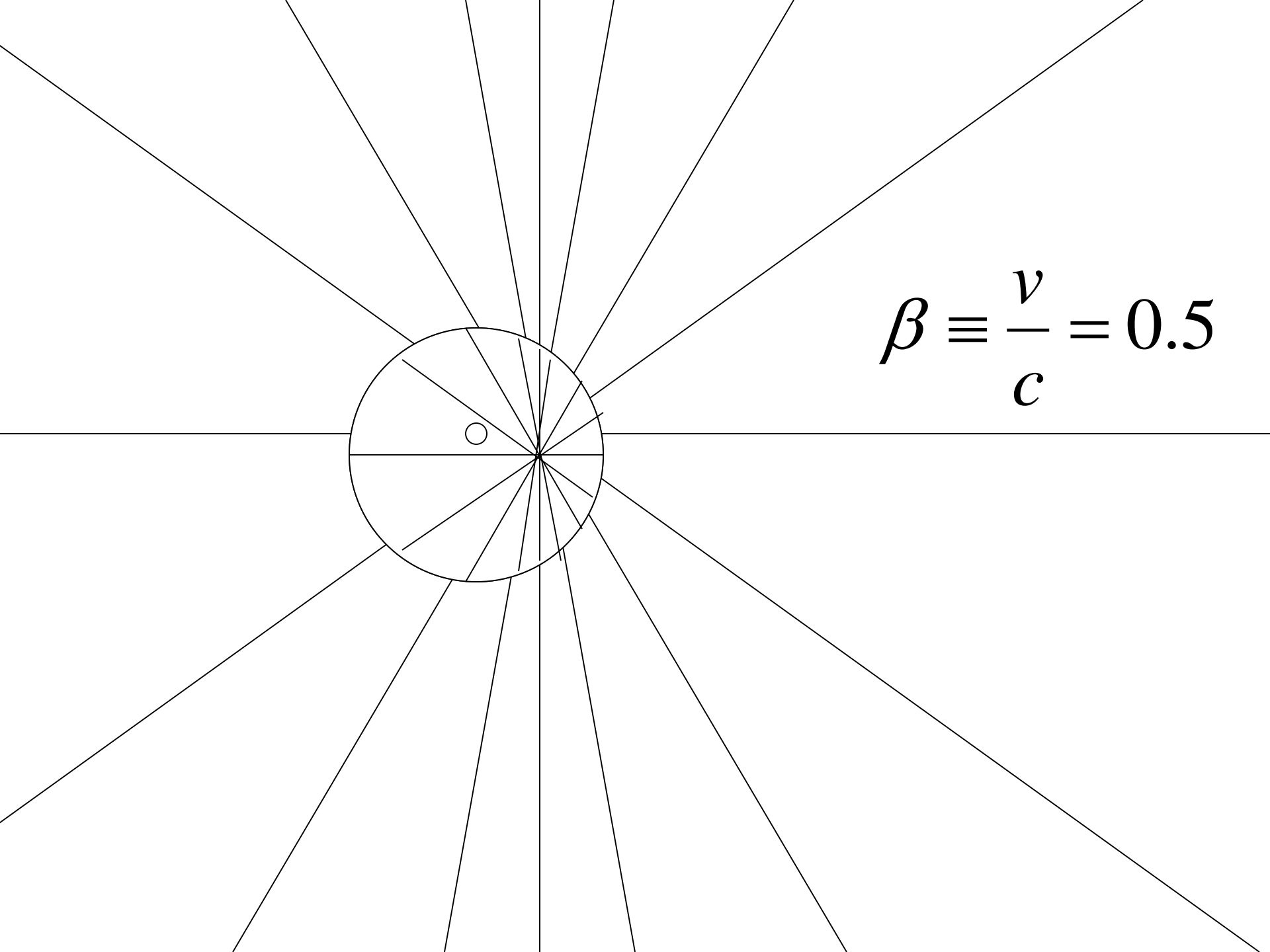
p.487 Figs. 11.14, 11.15

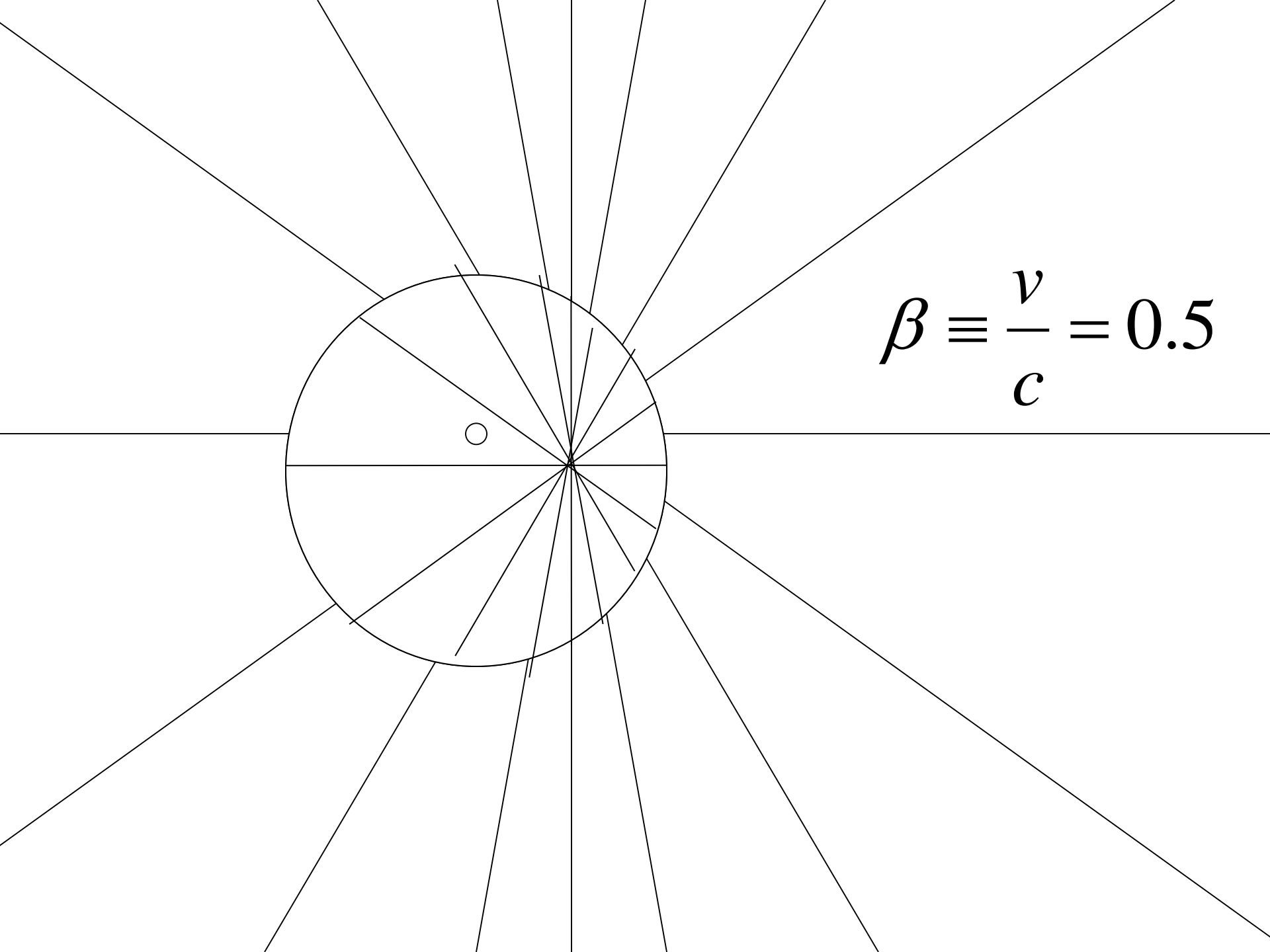
$$\phi = 0, \pi$$
 
$$\frac{dP}{d\Omega} \propto a^2 \frac{(\cos \theta - \beta)^2}{(1 - \beta \cos \theta)^5}$$
 xz面内

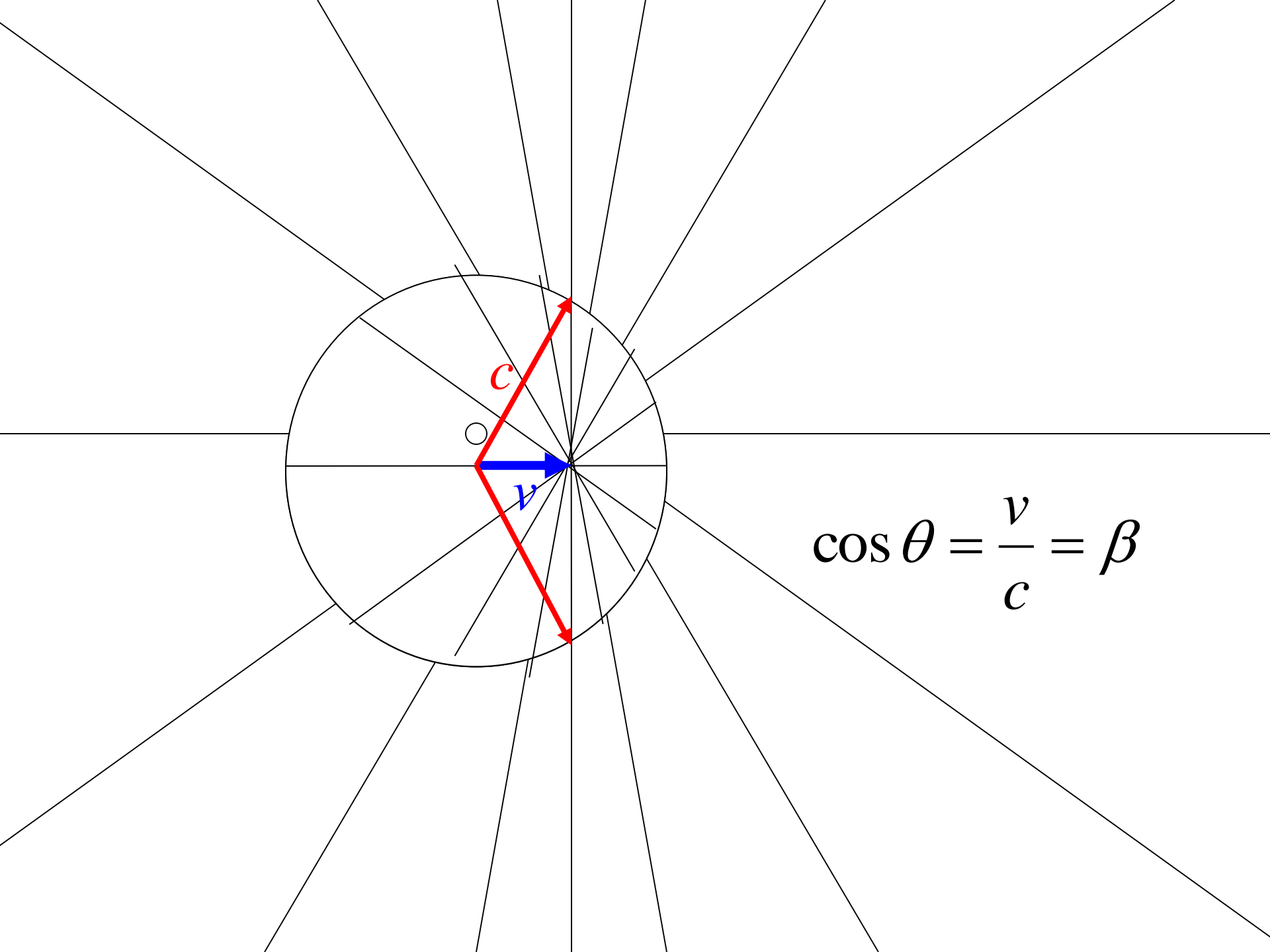
$$\phi = \frac{\pi}{2}, \frac{3\pi}{2} \quad \frac{dP}{d\Omega} \propto a^2 \frac{1}{(1 - \beta \cos \theta)^3} \quad yz$$
 面内









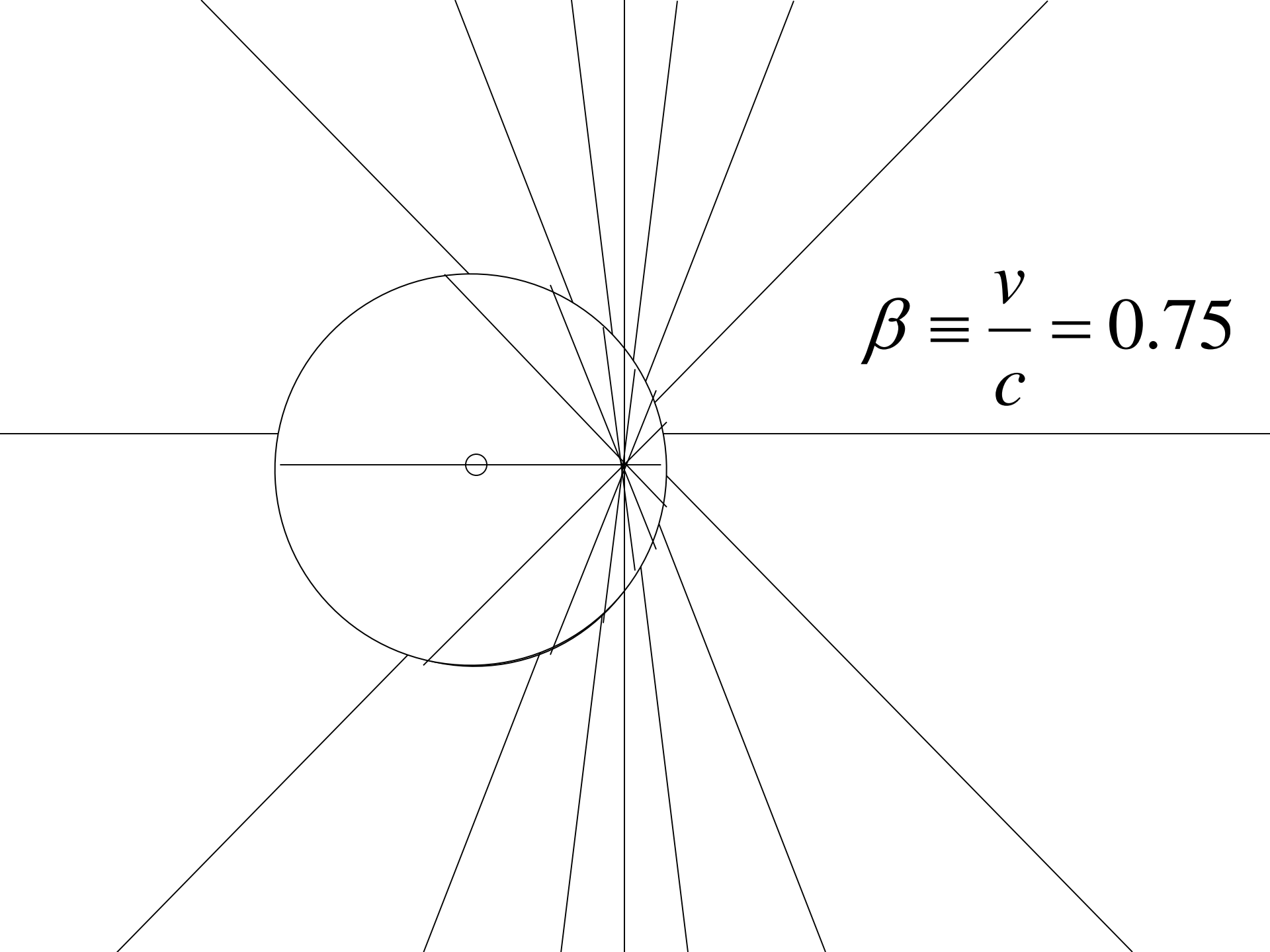


#### シンクロトロン輻射

p.465 Figs. 11.15, 11.16 p.463 Figs. 14, 15

$$\phi = 0, \pi$$
 
$$\frac{dP}{d\Omega} \propto a^2 \frac{(\cos \theta - \beta)^2}{(1 - \beta \cos \theta)^5}$$
  $xz$ 面内

$$\phi = \frac{\pi}{2}, \frac{3\pi}{2} \quad \frac{dP}{d\Omega} \propto a^2 \frac{1}{(1 - \beta \cos \theta)^3} \quad yz$$
 in  $\Delta \theta$ 



放射光 理研•播磨 Spring-8 **SACLA** Super Photon Ring 8GeV 和歌山毒物カレー クライストロン 加速器

KEK **KEK-Photon Factory** KEK-B KEK ツアー

導波管

透明な物質が1より大きい屈折率を持つのはなぜ?

屈折率の分散はなぜ生じるか(赤より青で屈折率大)

屈折率 n が1より大きいと電磁波の位相速度が遅くなるのはなぜ?(c/n)

### 電磁波

電荷の変位

$$x = x_0 \cos \omega t$$

$$v = -\omega x_0 \sin \omega t$$

$$a = -\omega^2 x_0 \cos \omega t$$

放射電磁波

$$E \propto a = -\omega^2 x_0 \cos \omega t$$

電磁波のエネルギー  $\propto E^2 \propto \omega^4$ 

#### 光電場と分極との関係

分極  $P = \varepsilon_0 \chi E$  線形相互作用

$$P = \varepsilon_0(\chi^{(1)} + \chi^{(2)}E + \chi^{(3)}E^2 \cdots)E$$
  
=  $\varepsilon_0(\chi^{(1)}E + \chi^{(2)}E^2 + \chi^{(3)}E^3 \cdots)$ 

非線形相互作用、非線形光学効果

光磁場の効果は?

#### 光と物質の相互作用 光磁場の効果は小さい

$$\nabla \times \boldsymbol{E} = -\frac{\partial}{\partial t} \boldsymbol{B}$$

$$E, B \propto e^{i(\omega t - k \cdot r)}$$
  $B = \frac{k}{\omega} E \approx \frac{E}{c}$ 

$$F = q(E + v \times B)$$

第1項 qE 第2項 q = E

#### 光と物質の相互作用の古典モデル

固有周波数 $\omega_0$ のバネでつながれた質量mの電荷q(ローレンツモデル、電気双極子=調和振動子)

$$m(\frac{d^2}{dt^2}x + \Gamma_0 \frac{d}{dt}x + \omega_0^2 x) = qE$$
$$= qE_0 e^{-i\omega t}$$

物理学実験3 力学振動子

$$x = x_0 e^{-i\omega t}$$

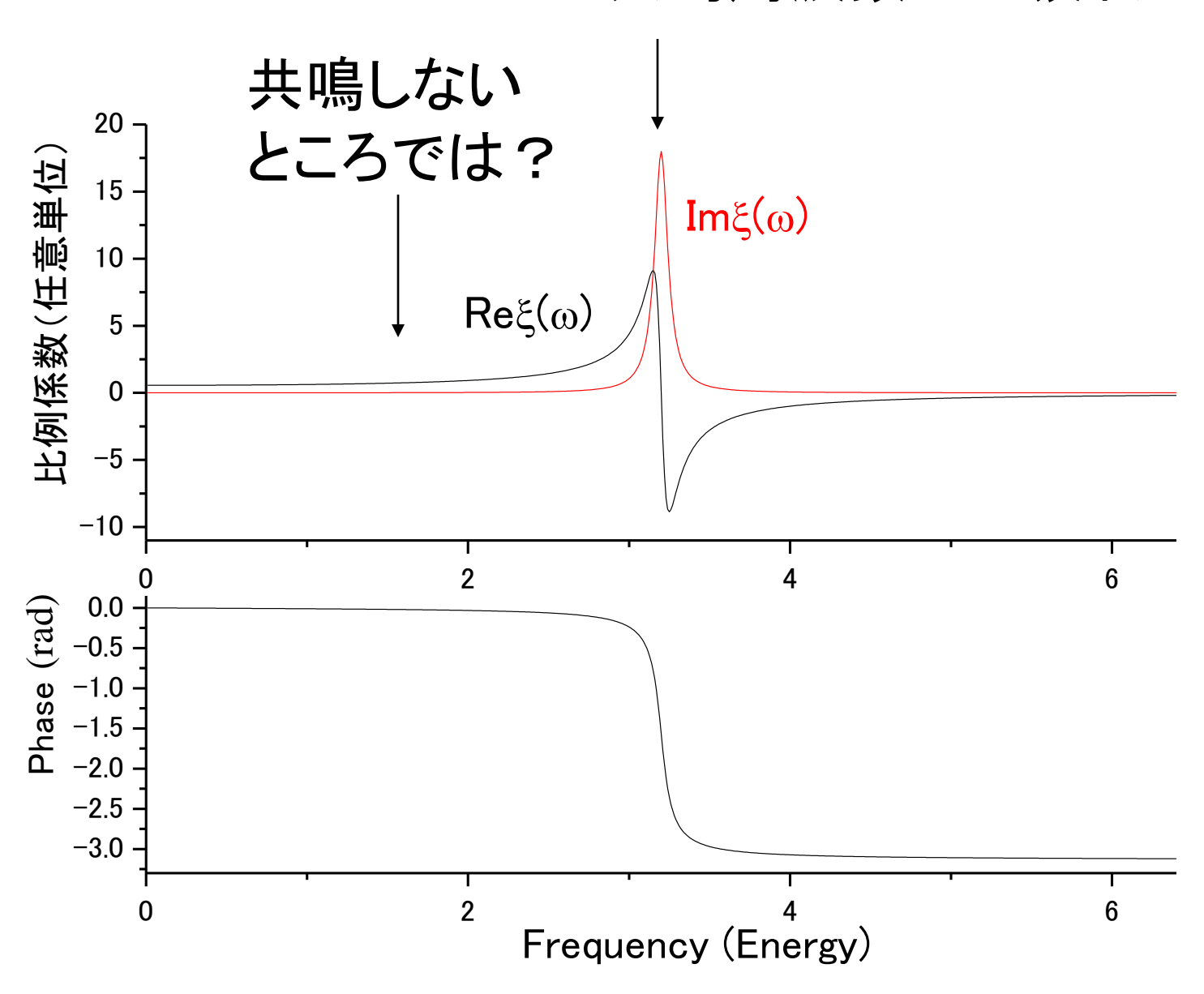
$$x_0 = \frac{q/m}{\omega_0^2 - \omega^2 - i\omega\Gamma_0} E_0 = \xi(\omega)E_0$$

$$= \frac{q/m}{\sqrt{(\omega_0^2 - \omega^2)^2 + \omega^2 \Gamma_0^2}} e^{i\delta} E_0 = |\xi(\omega)| e^{i\delta} E_0$$

$$p = qx = qx_0e^{-i\omega t} = q|\xi(\omega)|E_0e^{-i(\omega t - \delta)}$$

$$P = \frac{N_0}{V} p = \varepsilon_0 \chi^{(1)} E$$
 マクロな分極 
$$\chi^{(1)}(\omega) = \frac{1}{\varepsilon_0} \frac{N_0}{V} \frac{q^2}{m} \frac{1}{\omega_0^2 - \omega^2 - i\omega\Gamma_0}$$

#### 共鳴周波数では吸収が起こる



$$D = \varepsilon E = \varepsilon_0 E + P = \varepsilon_0 E + \varepsilon_0 \chi E \quad \varepsilon = \varepsilon_0 + \varepsilon_0 \chi = (\varepsilon_0 + \varepsilon_0 \operatorname{Re} \chi) + i\varepsilon_0 \operatorname{Im} \chi$$

真空中 
$$E = E_0 e^{-i(\omega t - kx)}$$
  $k = \omega/c$ 

物質中 複素屈折率
$$n_c = n + i\kappa$$
  $E = E_0 e^{-i(\omega t - n_c kx)} = E_0 e^{-i[\omega t - (n + i\kappa)kx]}$ 

光強度 
$$I \propto EE^* = |E_0|^2 e^{-2\kappa kx}$$
 吸収係数 $\alpha = 2\kappa k = 2\kappa \omega/c$ 

複素屈折率
$$n_c = \sqrt{\frac{\varepsilon_c}{\varepsilon_0}} = \sqrt{\frac{\operatorname{Re}\varepsilon + i\operatorname{Im}\varepsilon}{\varepsilon_0}} = \sqrt{\frac{\varepsilon_0 + \varepsilon_0\operatorname{Re}\chi + i\varepsilon_0\operatorname{Im}\chi}{\varepsilon_0}} = \sqrt{1 + \operatorname{Re}\chi + i\operatorname{Im}\chi} \approx 1 + \frac{1}{2}(\operatorname{Re}\chi + i\operatorname{Im}\chi)$$

$$n($$
実部 $) \approx 1 + \frac{1}{2} \operatorname{Re} \chi$ 

$$\alpha = 2\kappa k = 2k \operatorname{Im} n_c \approx 2k \cdot \frac{1}{2} \operatorname{Im} \chi = k \operatorname{Im} \chi$$

入射電磁波  $E_i = E_0 \cos \omega t = \text{Re}(E_0 e^{-i\omega t})$ 

$$m(\frac{d^2}{dt^2} + \Gamma \frac{d}{dt} + \omega_0^2)x = qE_i$$
 束縛電子

$$x_0 = \frac{q}{m} \frac{E_0}{\omega_0^2 - \omega^2 - i\omega\Gamma} \quad x = \text{Re}(x_0 e^{-i\omega t})$$

$$\omega_0 >> \omega$$
 のとき $x_0 \cong \frac{q}{m} \frac{E_0}{\omega_0^2}$ 

$$x_0 \cos \omega t \propto \frac{q}{m} \frac{E_0}{\omega_0^2} \cos \omega t$$

散乱電磁波 
$$E_s \propto a = -\omega^2 \frac{q}{m} \frac{E_0}{\omega_0^2} \cos \omega t$$

散乱電磁波の強度  $\propto E_s^2 \propto \omega^4$ 

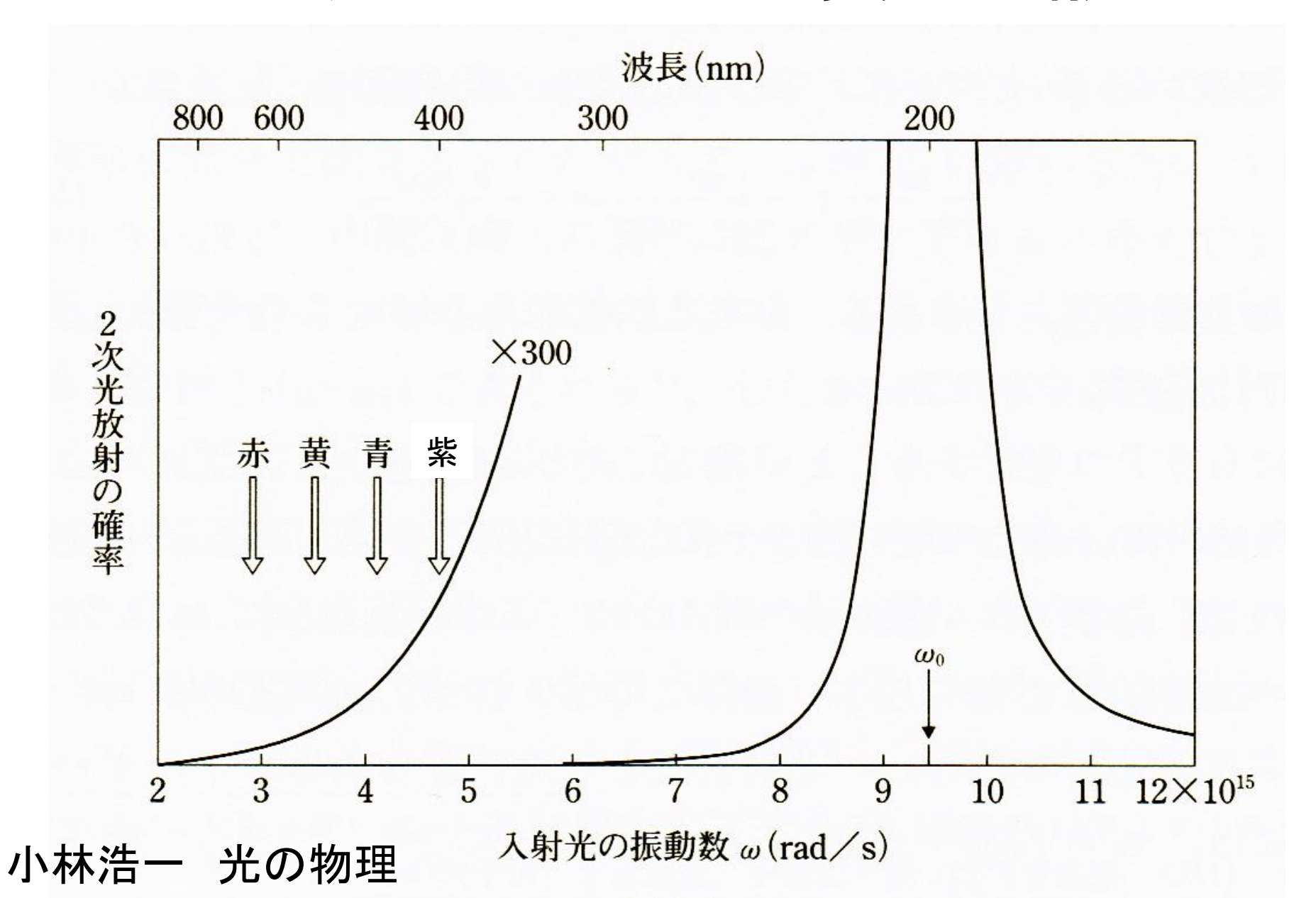
レイリ一散乱

#### 問題

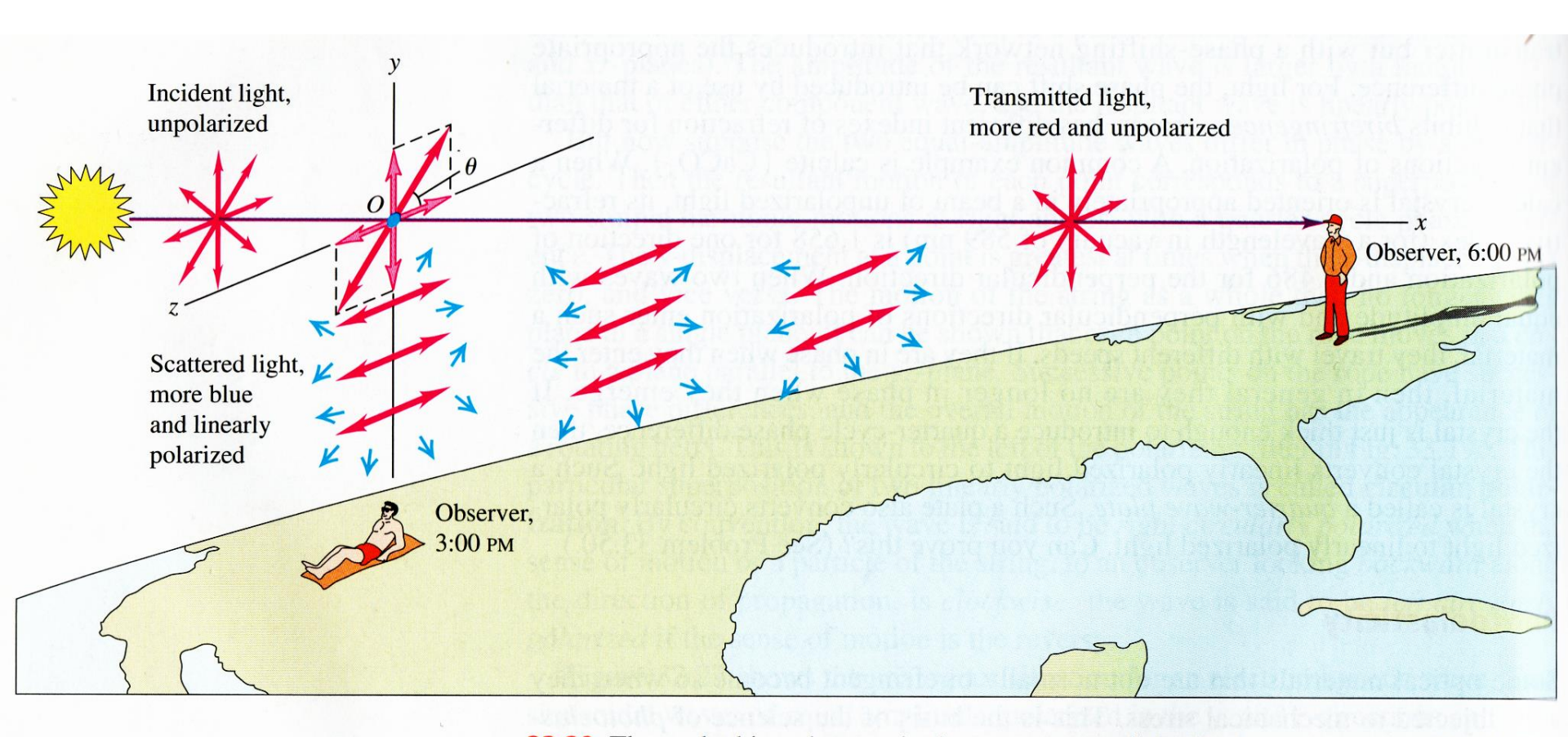
入射電磁波の自由電子による散乱強度 の周波数依存性は?

X線の原子による散乱は?

# 空気の分子による太陽光の散乱

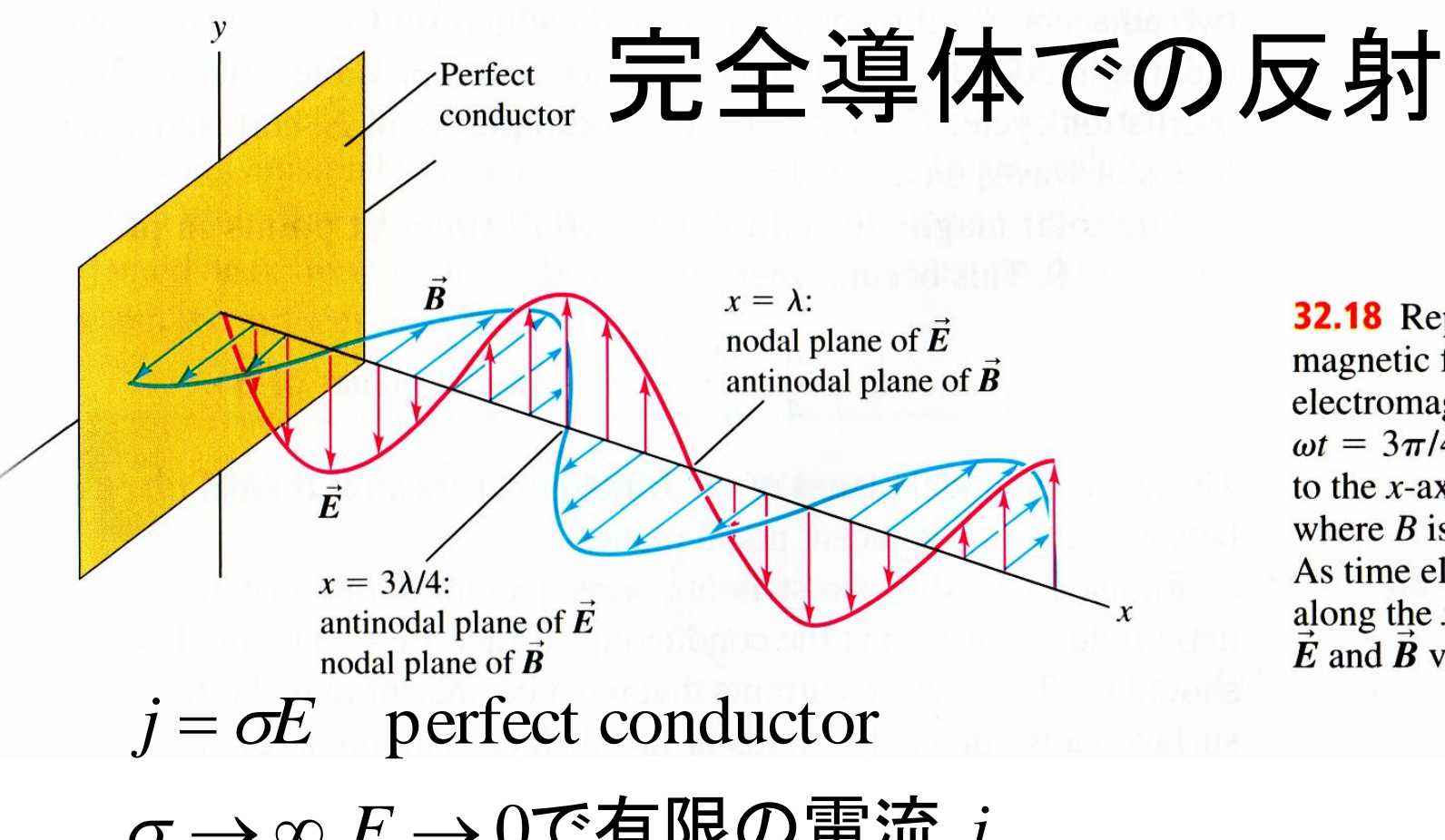


# 散乱とは何か (屈折、反射との違いは?)



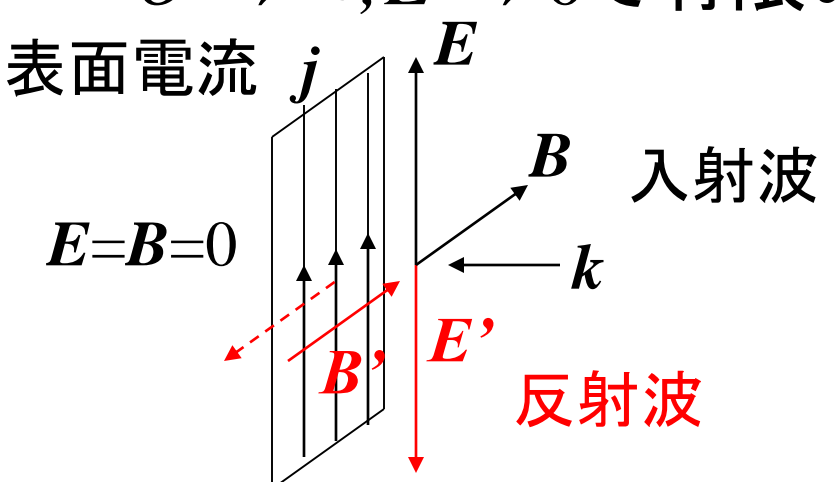
33.29 The sunbathing observer in the west sees sunlight that has been scattered by 90°. This scattered light is linearly polarized and contains predominantly light from the blue end of the spectrum. The white sunlight loses this blue light as it travels through the atmosphere, and the transmitted light seen by the observer in the east contains predominantly light from the red end of the spectrum.

# 反射、屈折

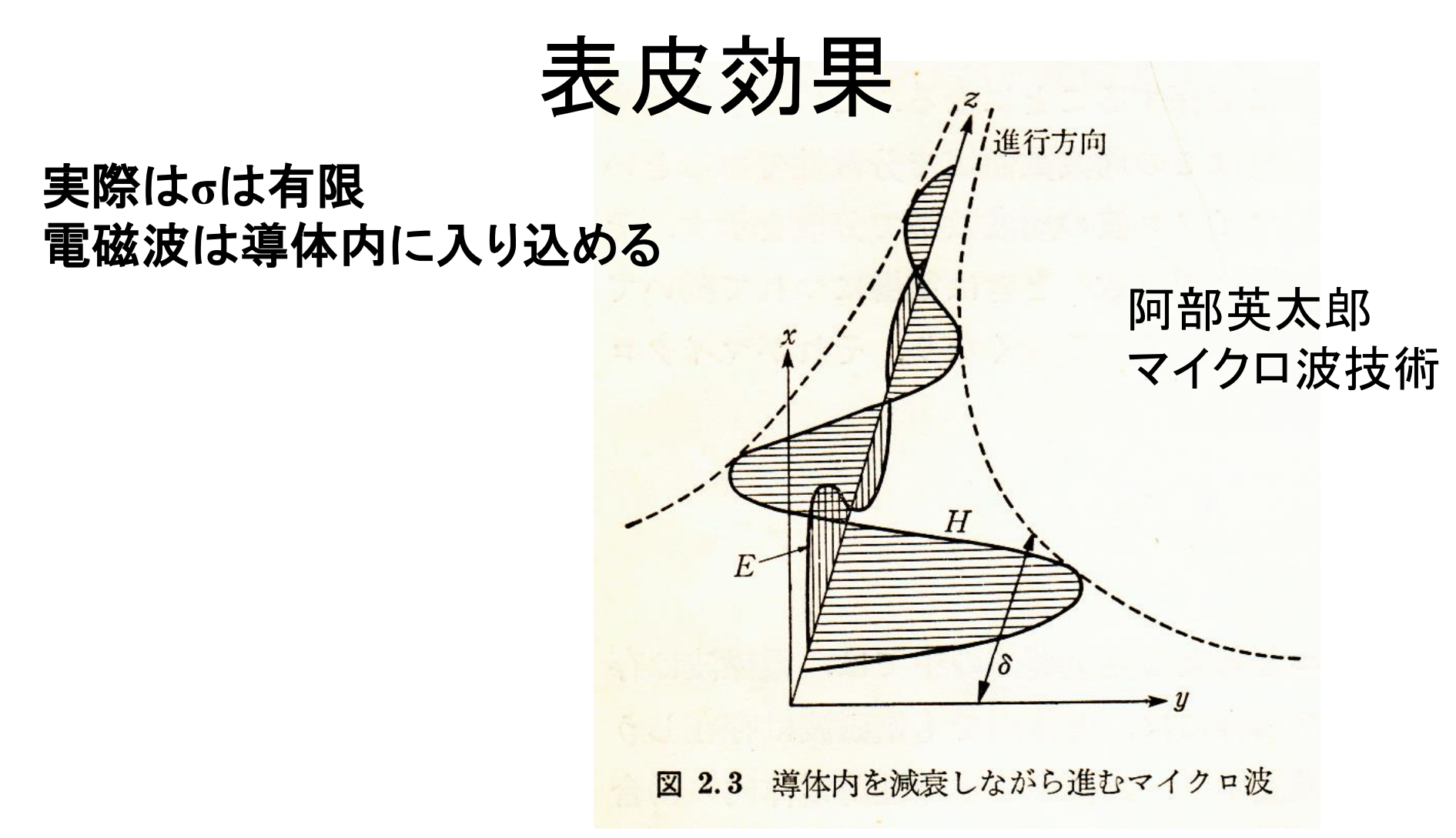


**32.18** Representation of the magnetic fields of a linearly p electromagnetic standing way  $\omega t = 3\pi/4$  rad. In any plane to the x-axis, E is maximum ( where B is zero (a node), and As time elapses, the pattern d along the x-axis; instead, at ev E and B vectors simply oscill

$$\sigma \rightarrow \infty, E \rightarrow 0$$
で有限の電流  $j$ 



$$F = q(E + v \times B)$$



振幅が1/eに減衰する深さ=表皮厚さ(skin depth)

室温の銅 10kHz (長波 30km)

0.7mm

500kHz (ラジオ波 600m)

0.1mm

10GHz (マイクロ波 3cm)

 $0.7\mu m$ 

$$\nabla \times \mathbf{B} = \mu \mathbf{j} + \mu \varepsilon \frac{\partial \mathbf{E}}{\partial t}$$
 表皮効果

$$\nabla \times \mathbf{B} = \mu \sigma \mathbf{E} + \mu \varepsilon \frac{\partial \mathbf{E}}{\partial t}$$

$$\nabla^2 \mathbf{E} = \mu \varepsilon \frac{\partial^2 \mathbf{E}}{\partial t^2} + \mu \sigma \frac{\partial \mathbf{E}}{\partial t}$$

$$E = E_0 \exp[i(\mathbf{k} \cdot \mathbf{r} - \omega t)]$$
  $B = B_0 \exp[i(\mathbf{k} \cdot \mathbf{r} - \omega t)]$ 

$$k^2 = \mu \varepsilon \omega^2 + i\mu \sigma \omega$$

$$\frac{n^2}{c^2} = \frac{1}{v^2} = \frac{k^2}{\omega^2} = \mu \varepsilon + i \frac{\mu \sigma}{\omega}$$

$$\frac{n}{c^2} = \frac{1}{v^2} = \frac{\kappa}{\omega^2} = \mu \varepsilon + i \frac{\mu \sigma}{\omega}$$

$$n^2 = \frac{c^2}{v^2} = \frac{c^2 k^2}{\omega^2} = \frac{\mu \varepsilon}{\mu_0 \varepsilon_0} + i \frac{\mu \sigma}{\mu_0 \varepsilon_0 \omega}$$

$$\mu = \mu_0 \quad n^2 = \frac{\mathcal{E}}{\mathcal{E}_0} + i \frac{\sigma}{\mathcal{E}_0 \omega}$$

$$\omega = 0 \quad \frac{\sigma}{\omega} \to \infty$$

$$\omega \neq 0$$
  $\frac{\sigma}{\omega}$ :有限

透明な物質が1より大きい屈折率を持つのはなぜ?

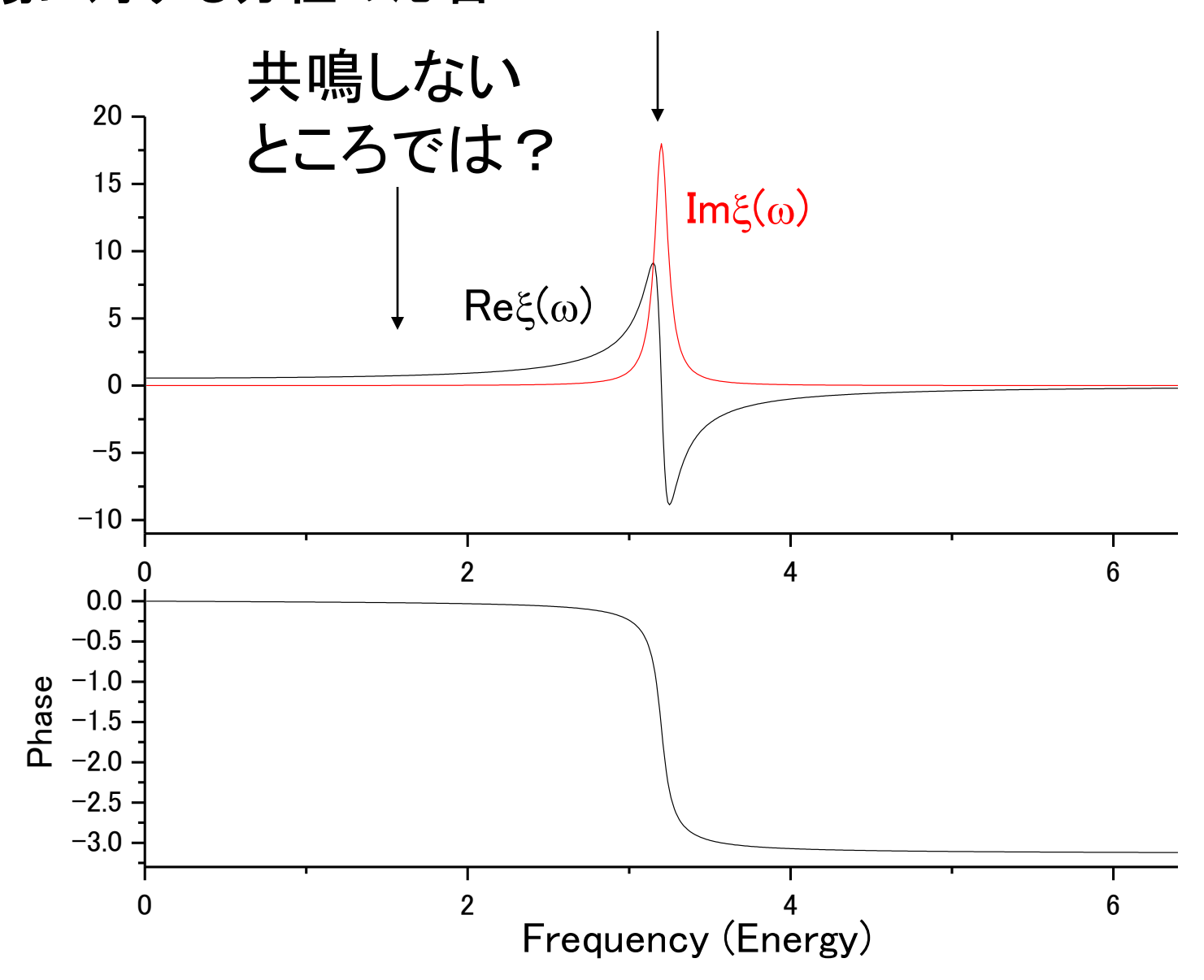
屈折率の分散はなぜ生じるか(赤より青で屈折率大)

屈折率 n が1より大きいと電磁波の位相速度が遅くなるのはなぜ?(c/n)

# 束縛電子

光電場に対する分極の応答

共鳴周波数では吸収が起こる



入射電磁波  $E_i = E_0 \cos \omega t = \text{Re}(E_0 e^{-i\omega t})$ 

$$m(\frac{d^2}{dt^2} + \Gamma \frac{d}{dt} + \omega_0^2)x = qE_i$$

$$x_0 = \frac{q}{m} \frac{E_0}{{\omega_0}^2 - {\omega}^2 - i\omega\Gamma} \qquad x = \text{Re}(x_0 e^{-i\omega t})$$

$$x_0 \cos \omega t \propto \frac{q}{m} \frac{E_0}{{\omega_0}^2 - {\omega}^2} \cos \omega t$$

散乱電磁波  $E_s \propto a = -\omega^2 \frac{q}{m} \frac{E_0}{{\omega_0}^2 - \omega^2} \cos \omega t$   $q < 0, \omega < \omega_0 \mathcal{O}$  とき、 $E_s$ は $E_i$ と同位相

 $q < 0, \omega < \omega_0$ のときは やはり同位相 なぜか?  $= \sum_s (z L_i \subset |\Gamma|) |\Gamma|$ 

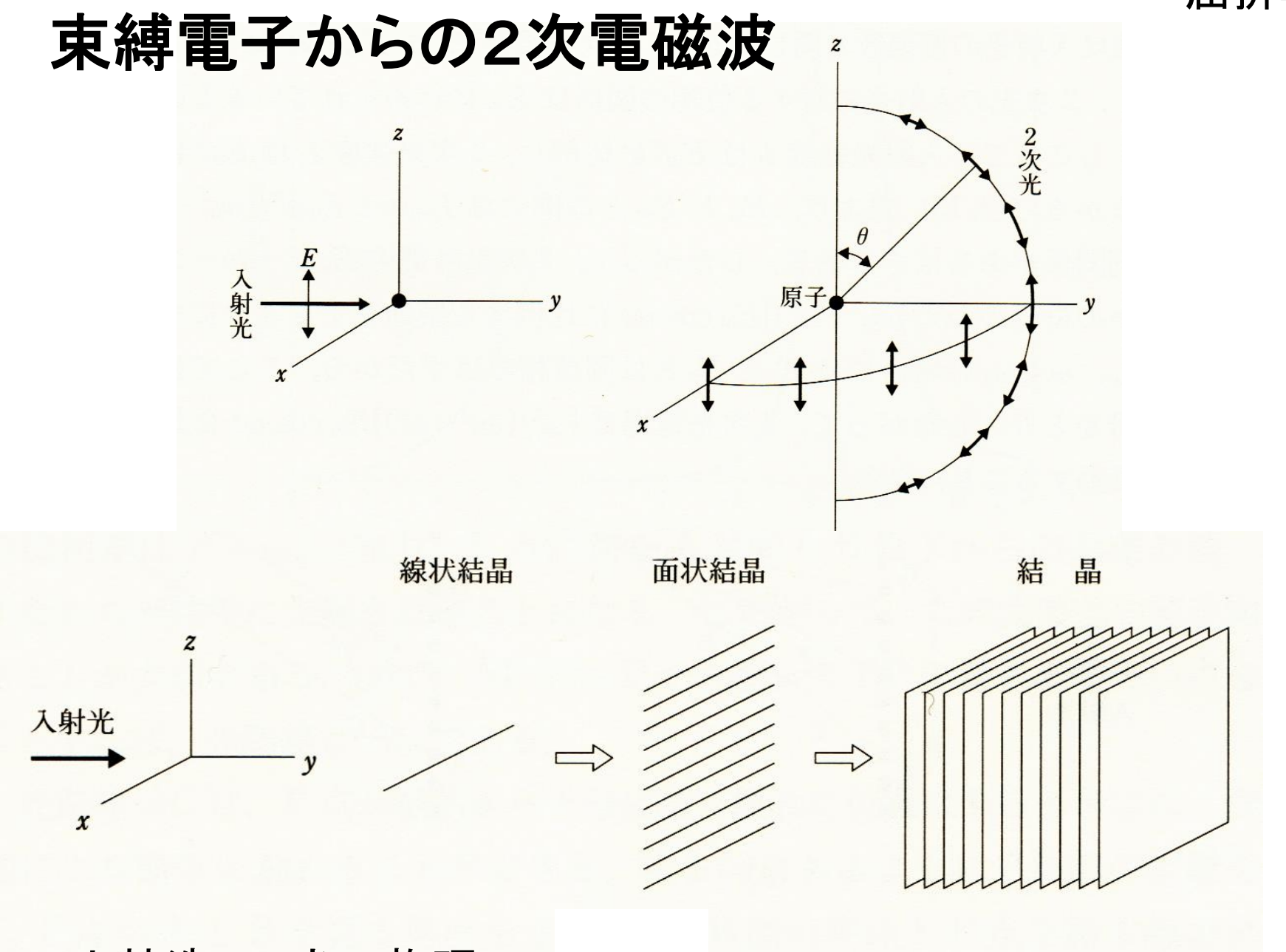
# 補足

$$\boldsymbol{E} = c\boldsymbol{B} \times \hat{\boldsymbol{r}} = \frac{\mu_0}{4\pi} \frac{1}{r} \left[ \left( \frac{\partial^2}{\partial t^2} \boldsymbol{p} \right) \times \hat{\boldsymbol{r}} \right] \times \hat{\boldsymbol{r}}$$
 (11.56)電磁気学3

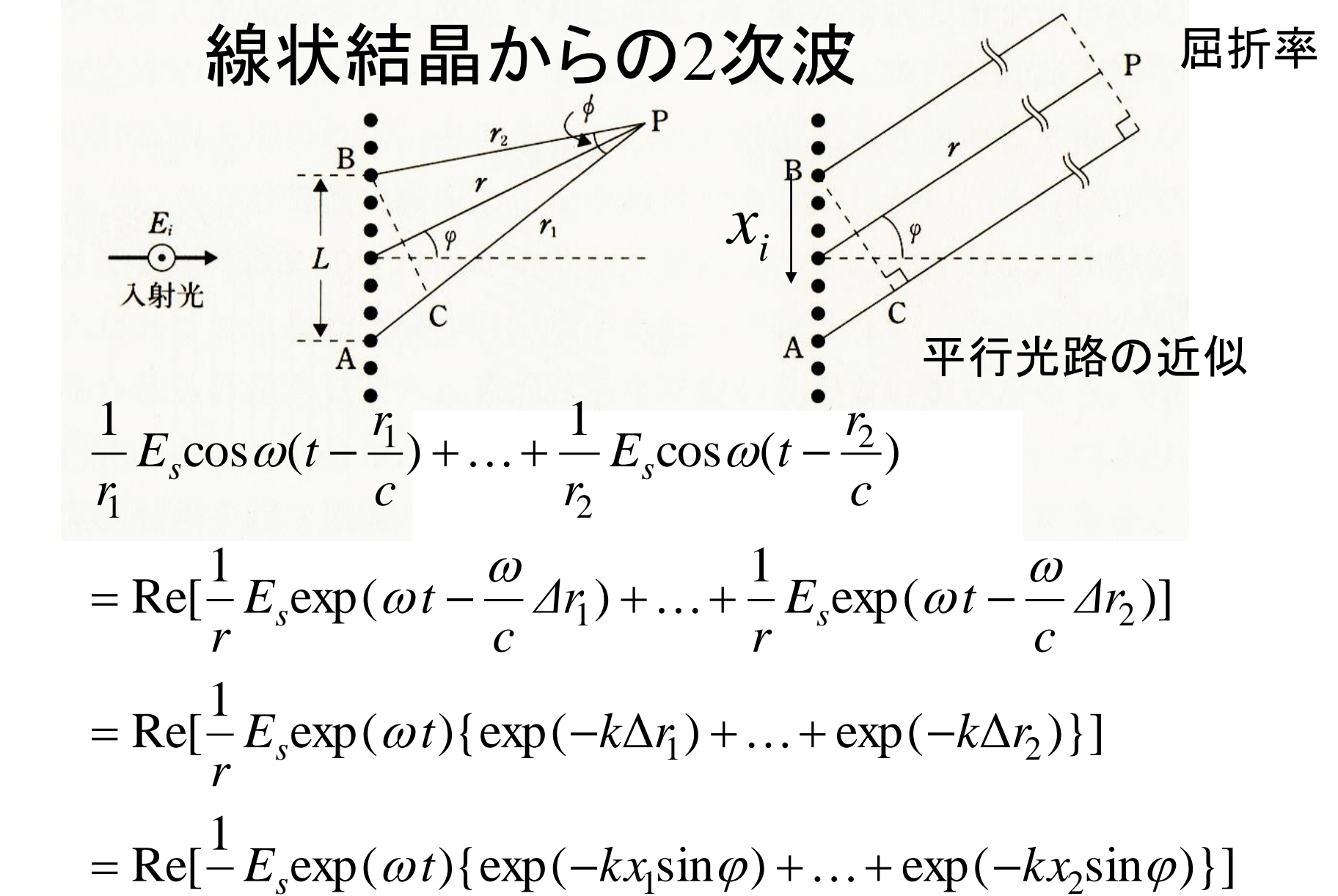
$$\boldsymbol{E} \propto -\frac{\partial^2}{\partial t^2} \boldsymbol{p}$$

$$x_0 = \frac{q}{m} \frac{E_0}{\omega_0^2 - \omega^2 - i\omega\Gamma} \qquad p = qx = qx_0 \cos \omega t = \frac{q^2}{m} \frac{E_0}{\omega_0^2 - \omega^2 - i\omega\Gamma} \cos \omega t$$

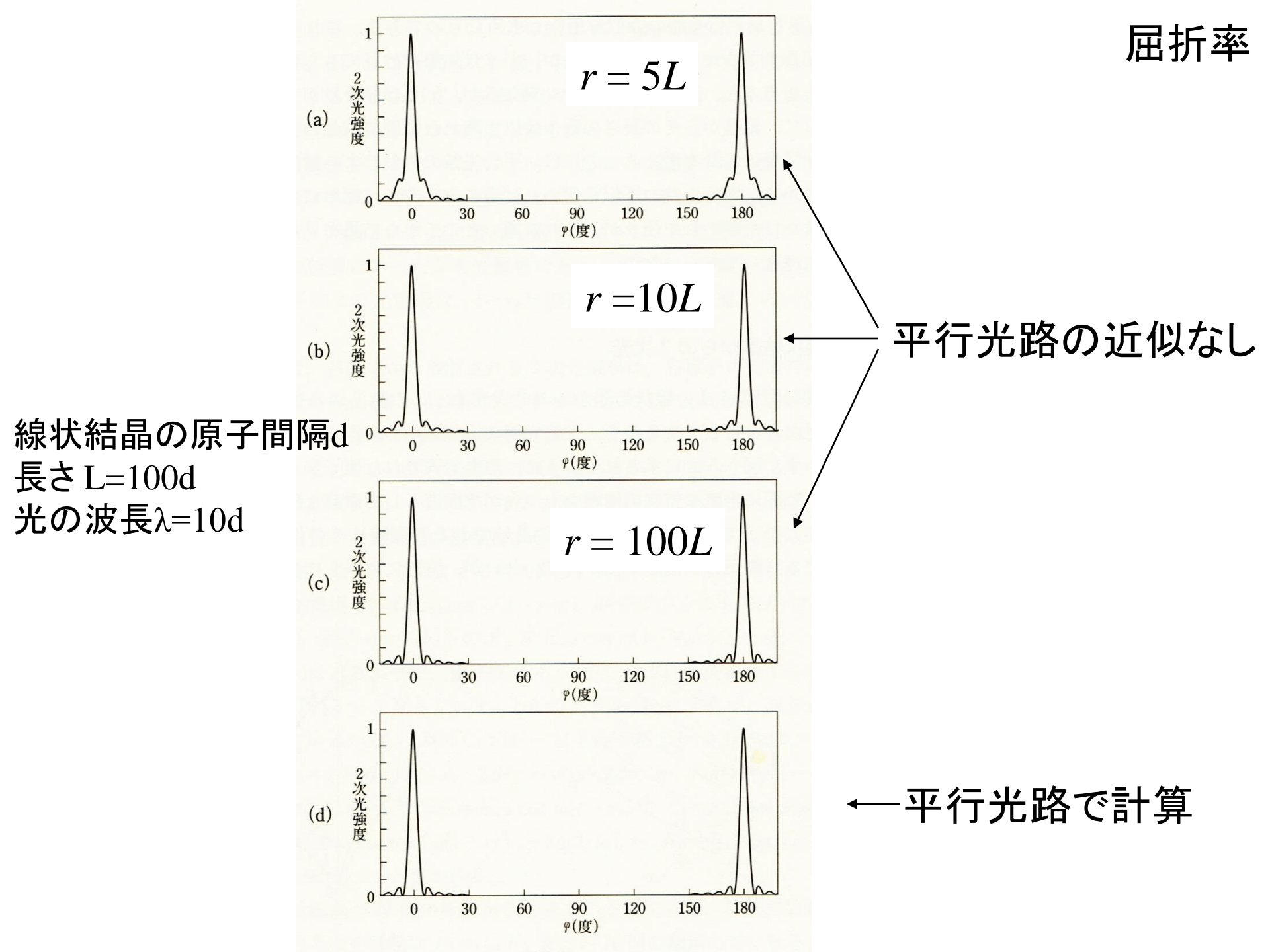
$$E \propto \omega^2 \frac{q^2}{m} \frac{E_0}{{\omega_0}^2 - \omega^2 - i\omega\Gamma} \cos \omega t$$
  $\omega_0 > \omega$ なら同位相



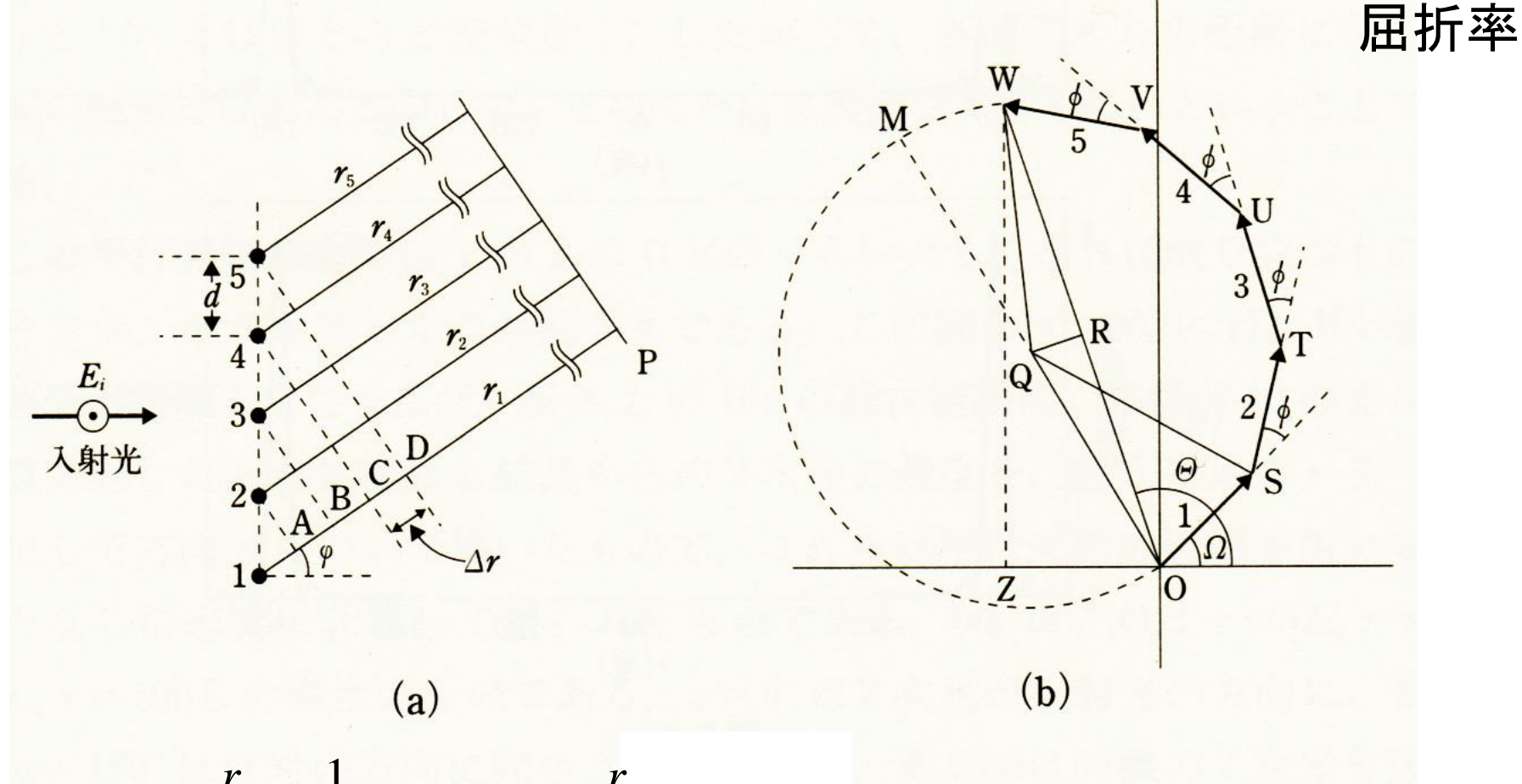
以下、小林浩一 光の物理



$$= \operatorname{Re}\left[\frac{1}{r}E_{s}\exp(\omega t)\frac{1}{L}\int_{0}^{L}\exp(-k_{x}x)dx\right]$$



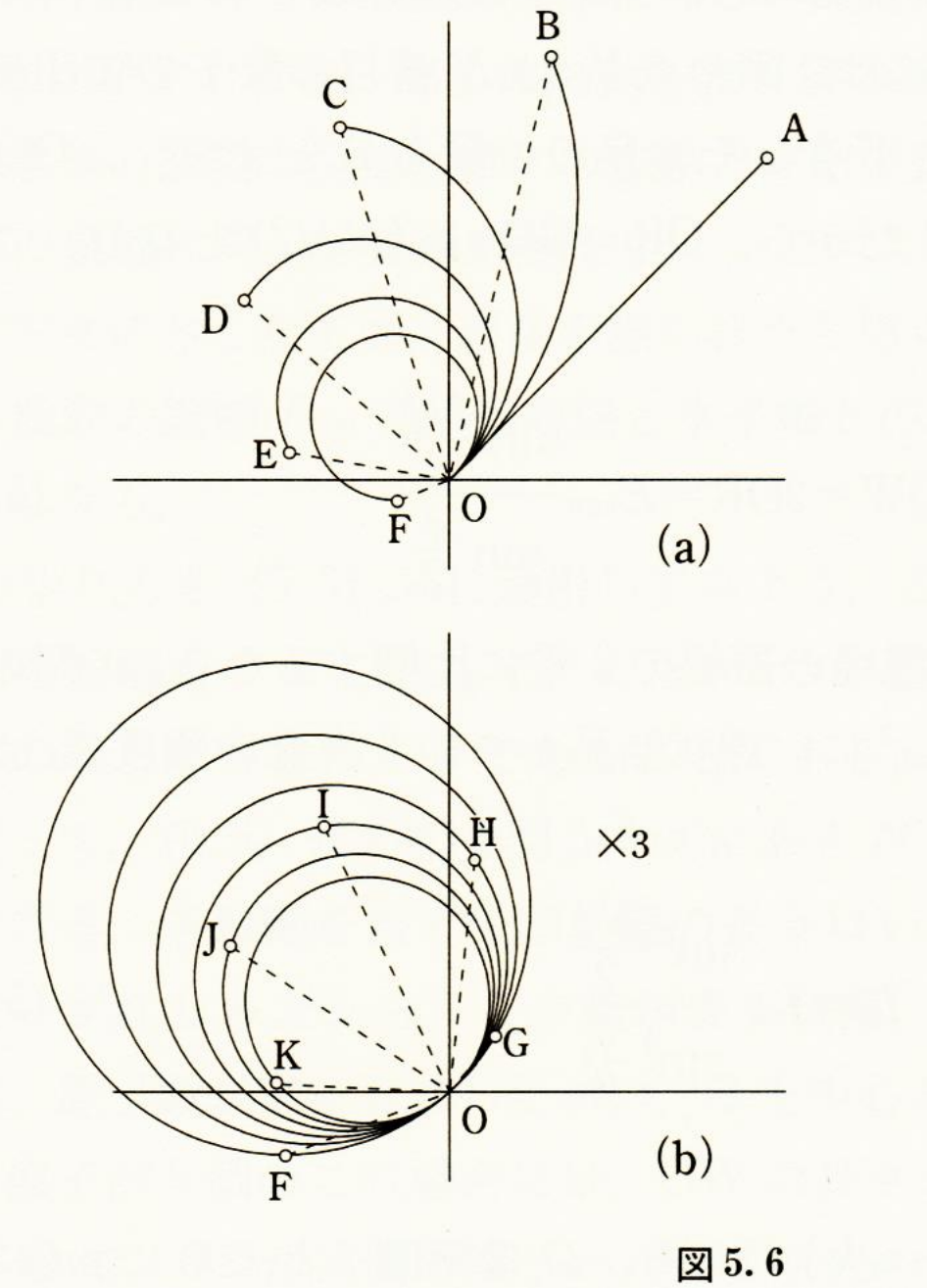




$$\frac{1}{r_1}E_s\cos\omega(t-\frac{r_1}{c})+\frac{1}{r_2}E_s\cos\omega(t-\frac{r_2}{c})+\dots$$

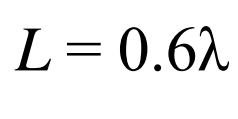
$$=\frac{1}{r_1}E_s\cos\omega(t-\frac{r_1}{c})+\frac{1}{r_2}E_s\cos[\omega(t-\frac{r_1}{c})+\omega\frac{\Delta r}{c}]+\frac{1}{r_3}E_s\cos[\omega(t-\frac{r_1}{c})+2\omega\frac{\Delta r}{c}]+\dots$$

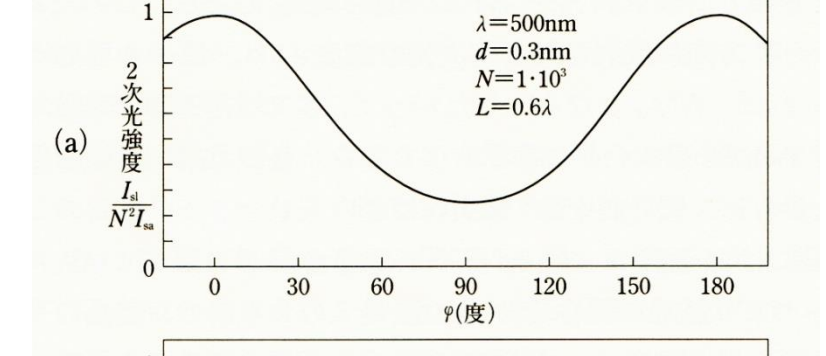
$$\cong \frac{1}{\kappa} E_s [\cos \Omega + \cos(\Omega + \phi) + \cos(\Omega + 2\phi) + \dots]$$



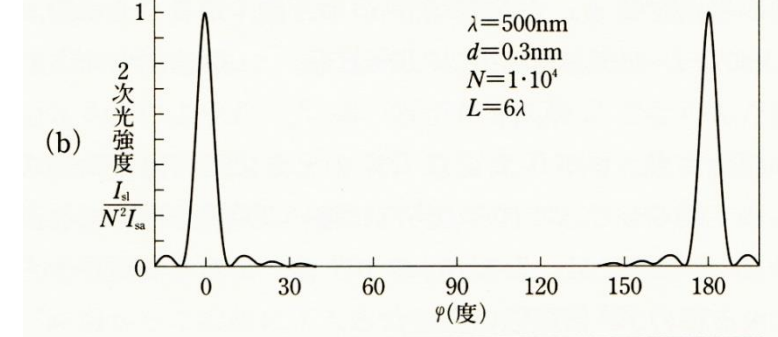
°B 2 次 光 強 0.5 OD 2 4 6 φ(度) 10 8 0 (c)

単スリットによる回折と同じ

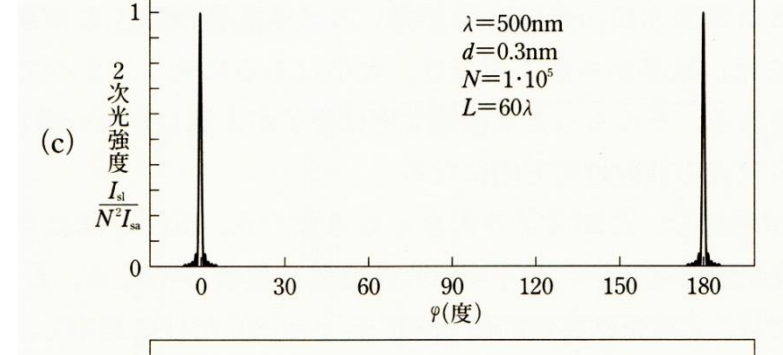


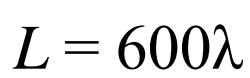


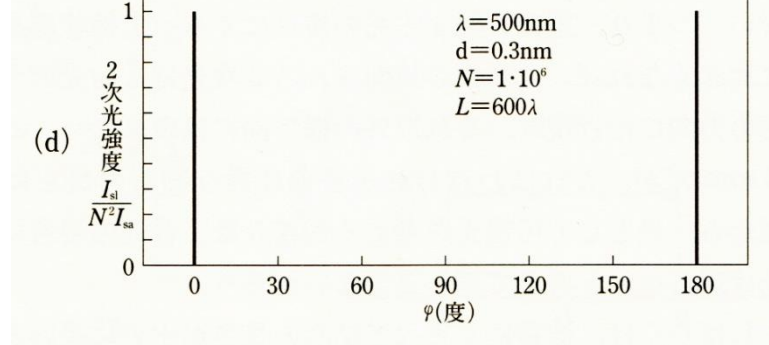


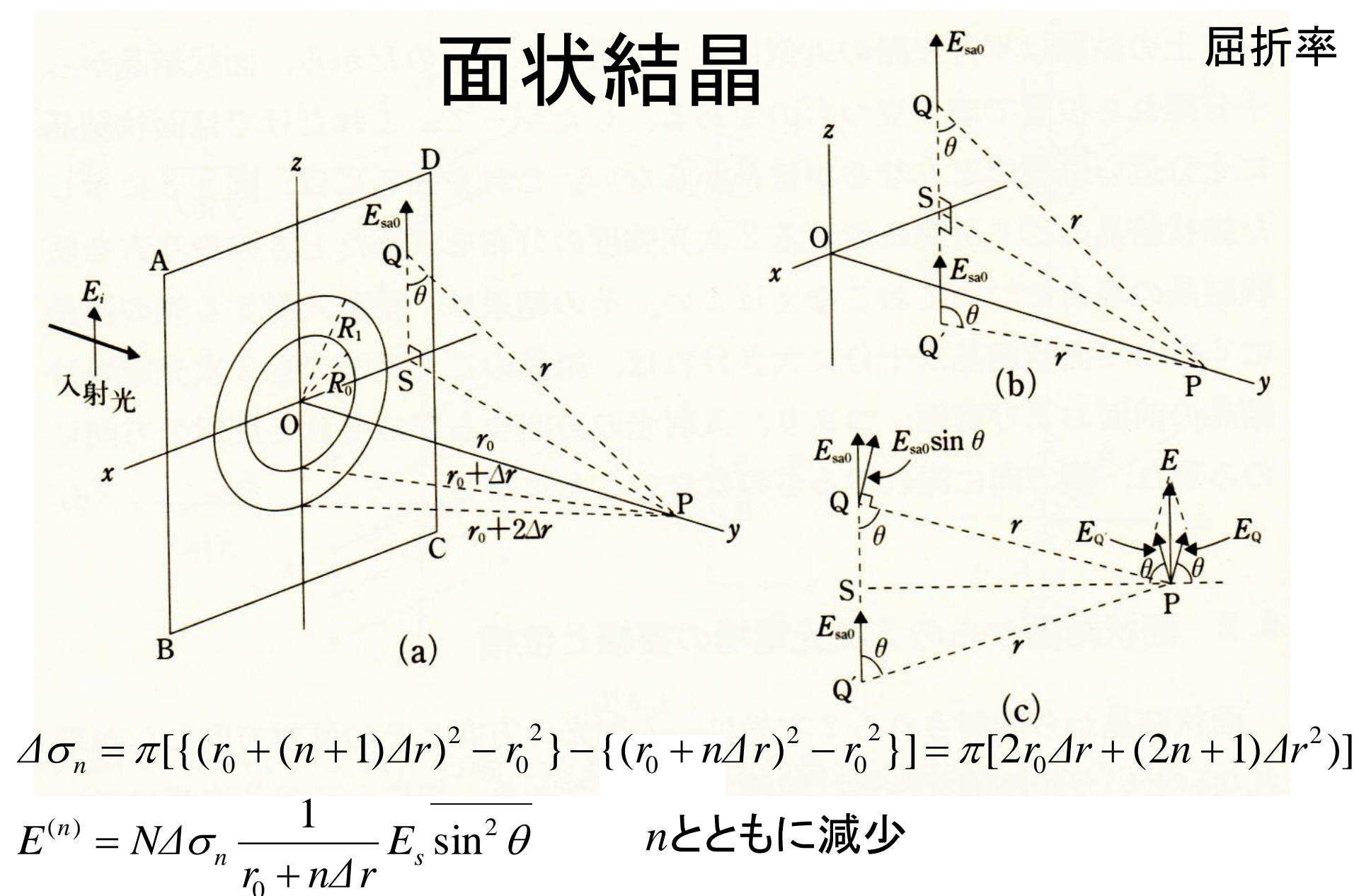


 $L = 60\lambda$ 

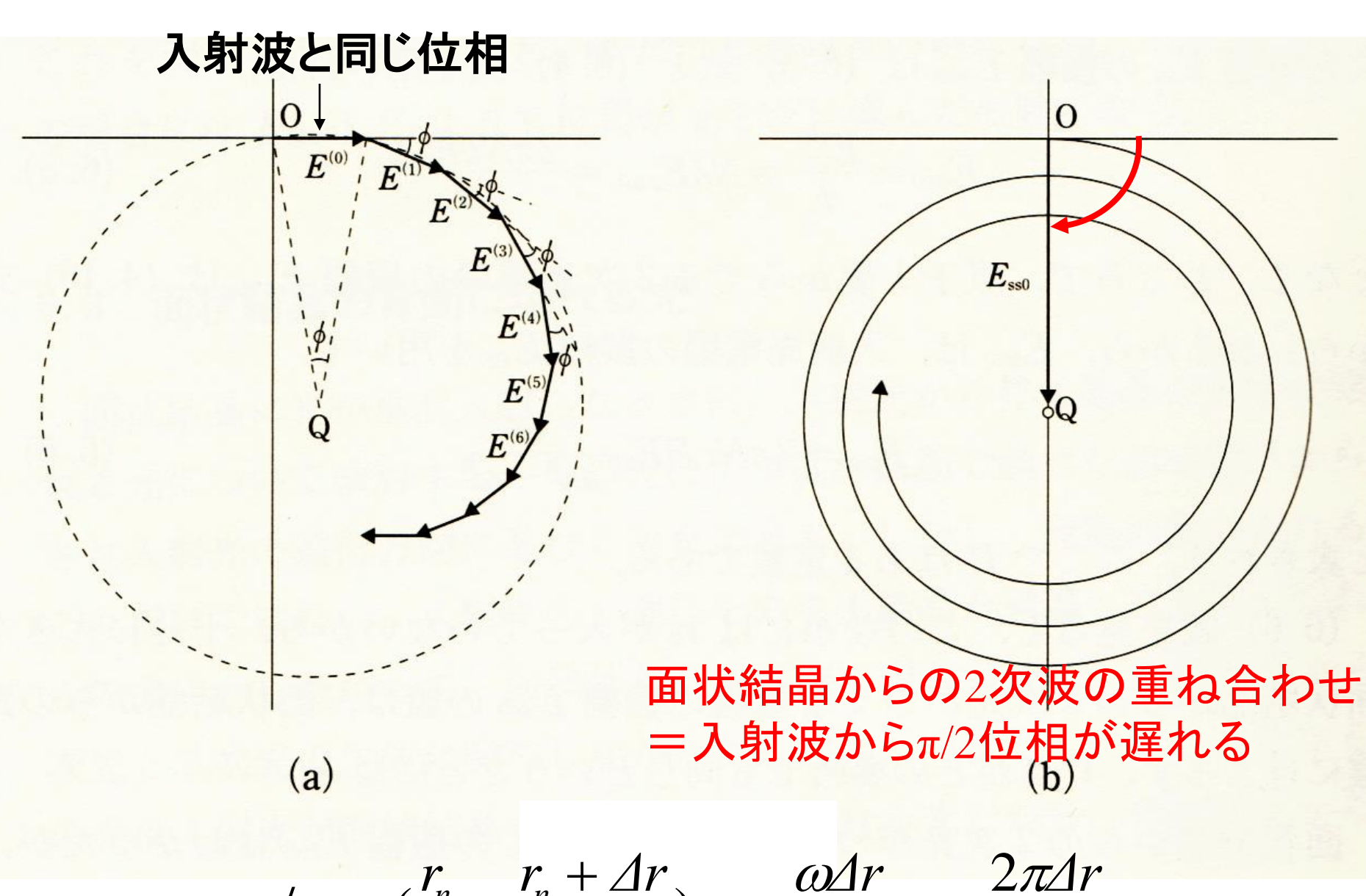


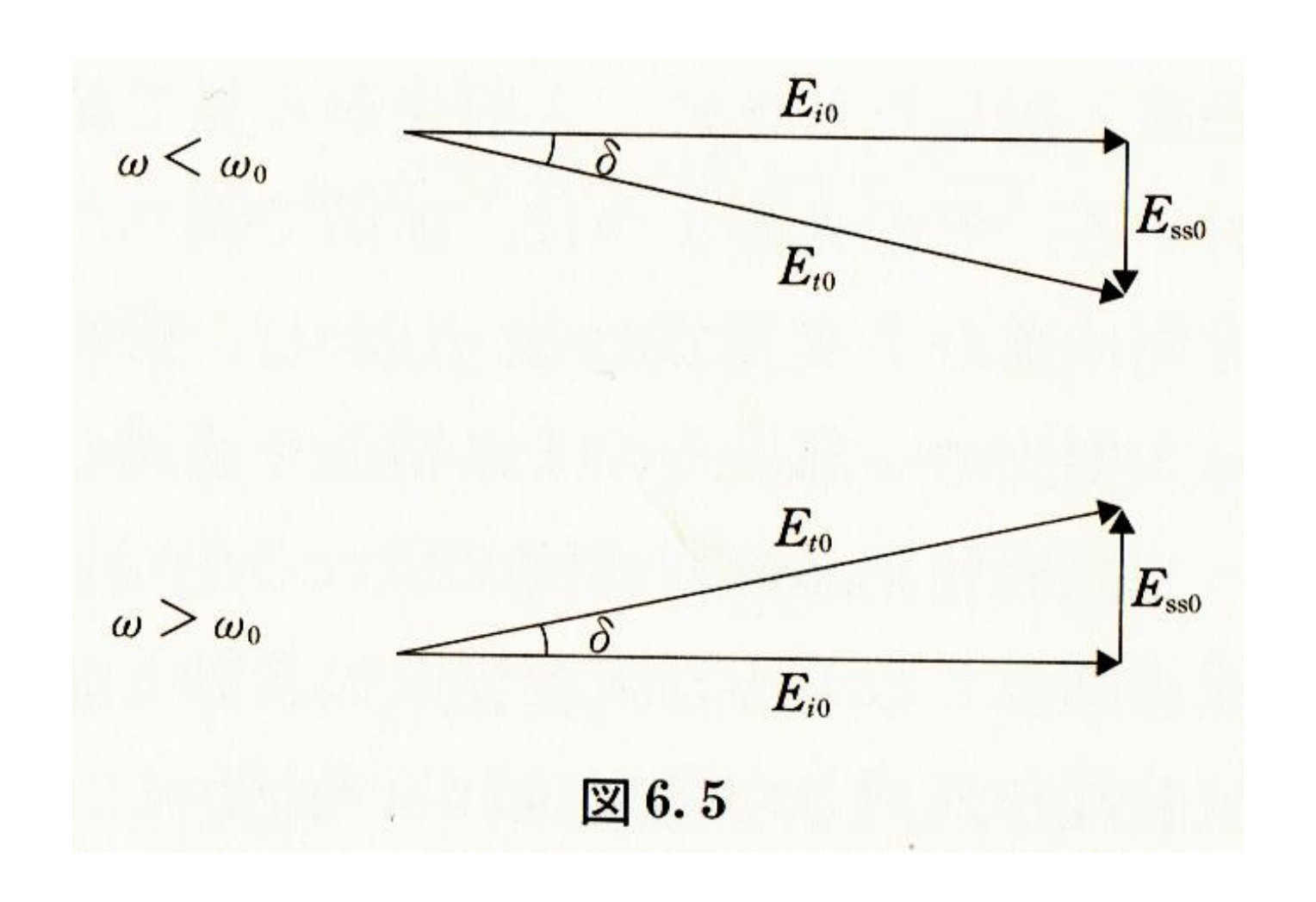


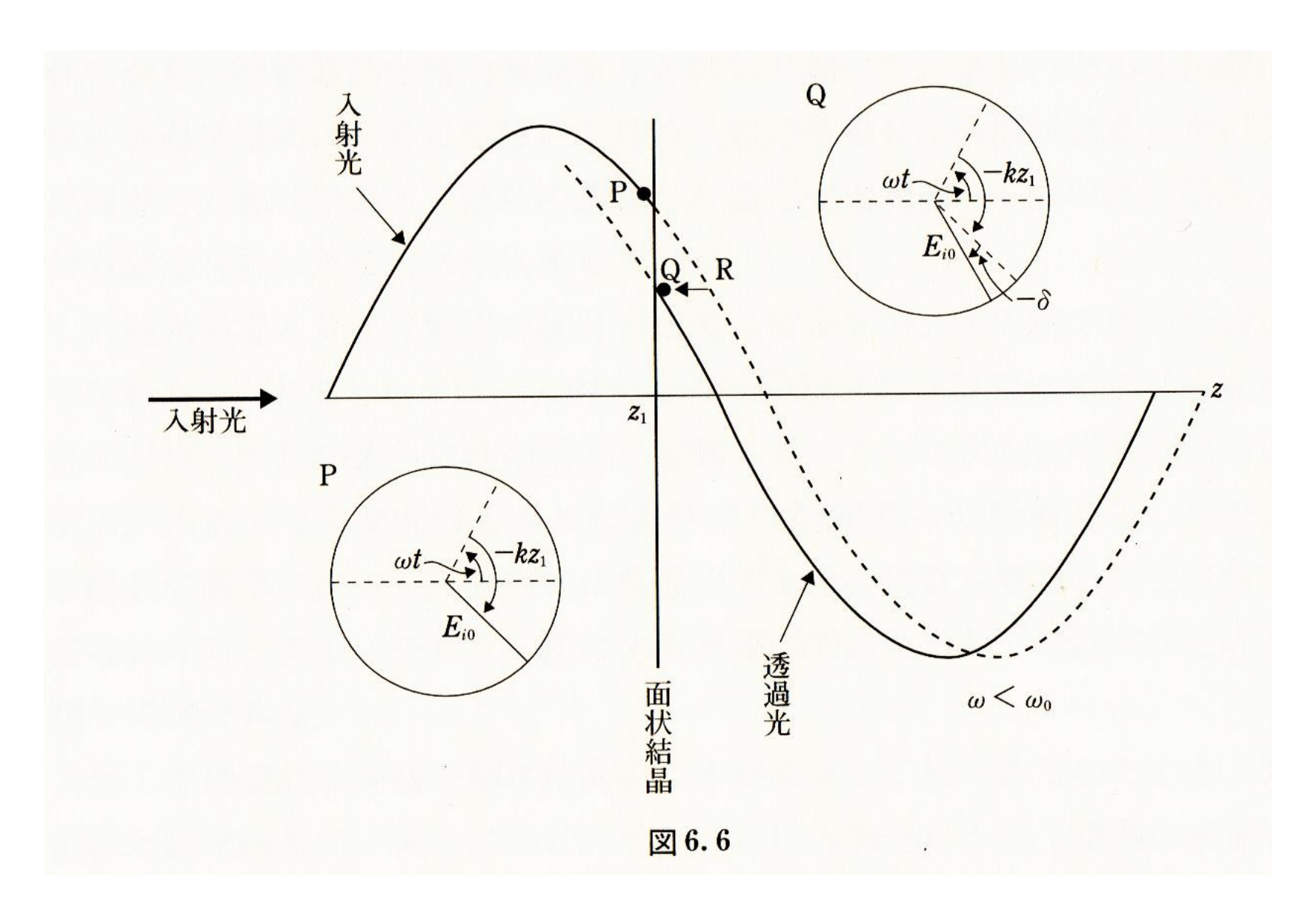




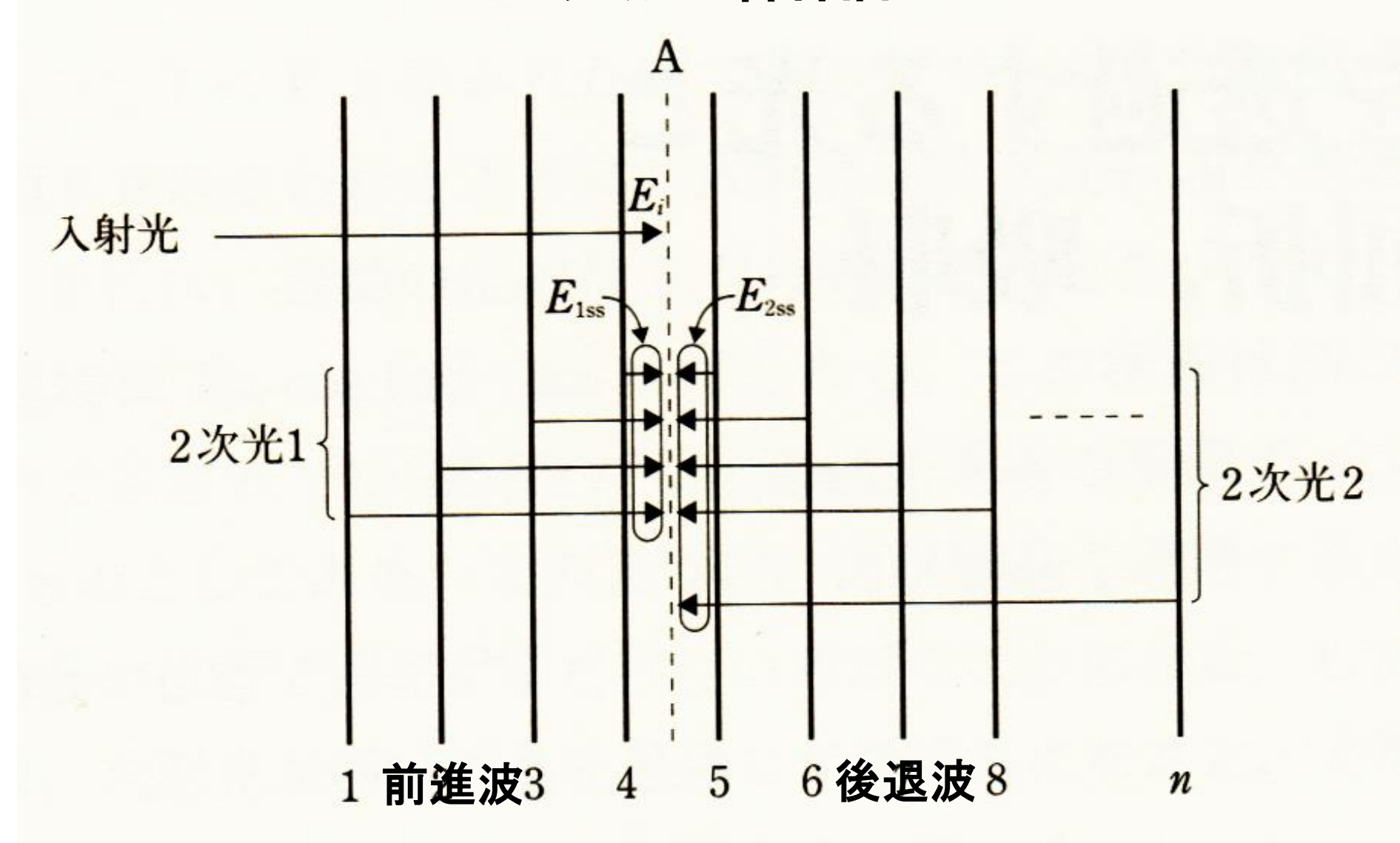
3年後期前半の物性論2Cで詳しく扱う





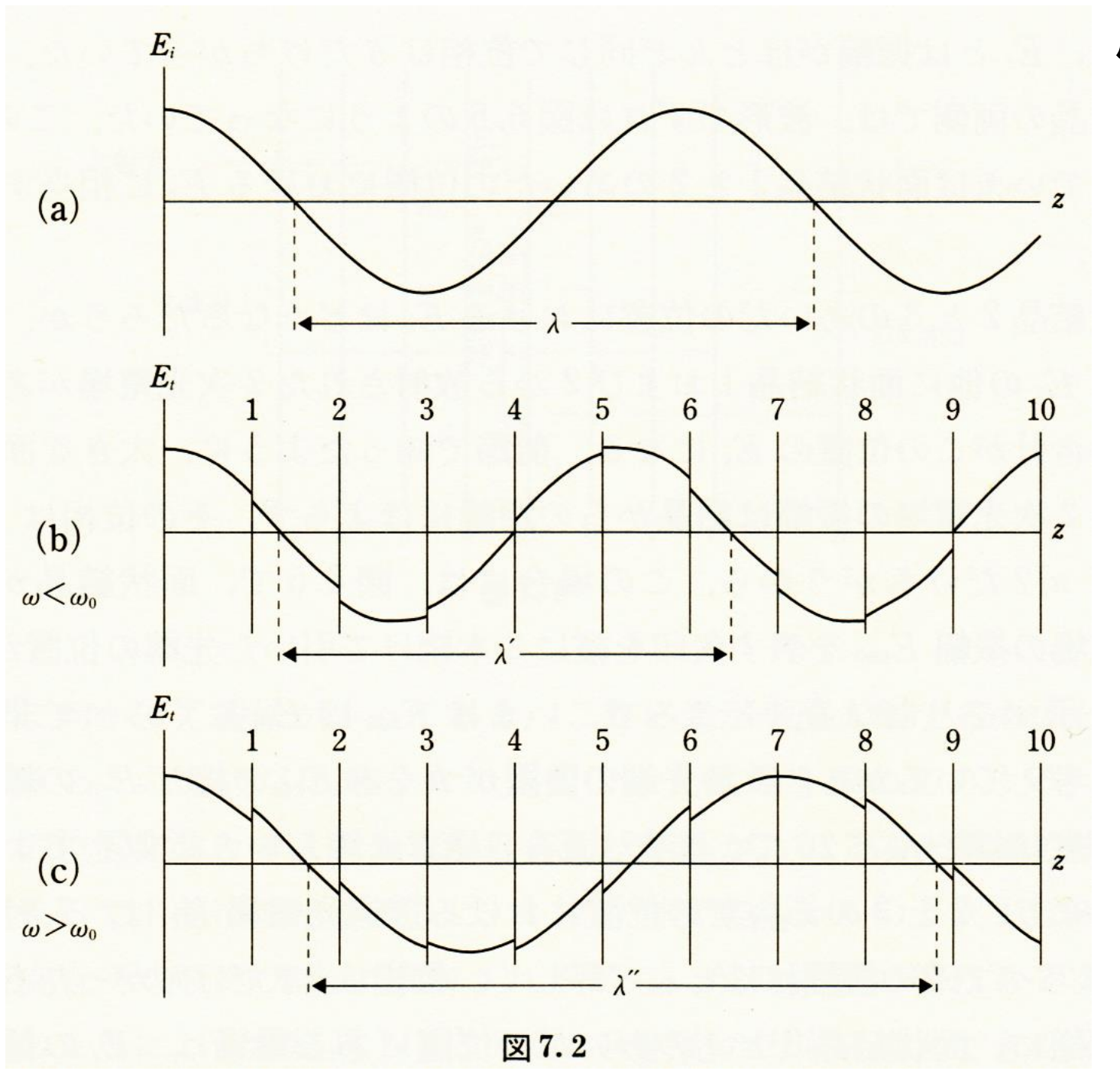


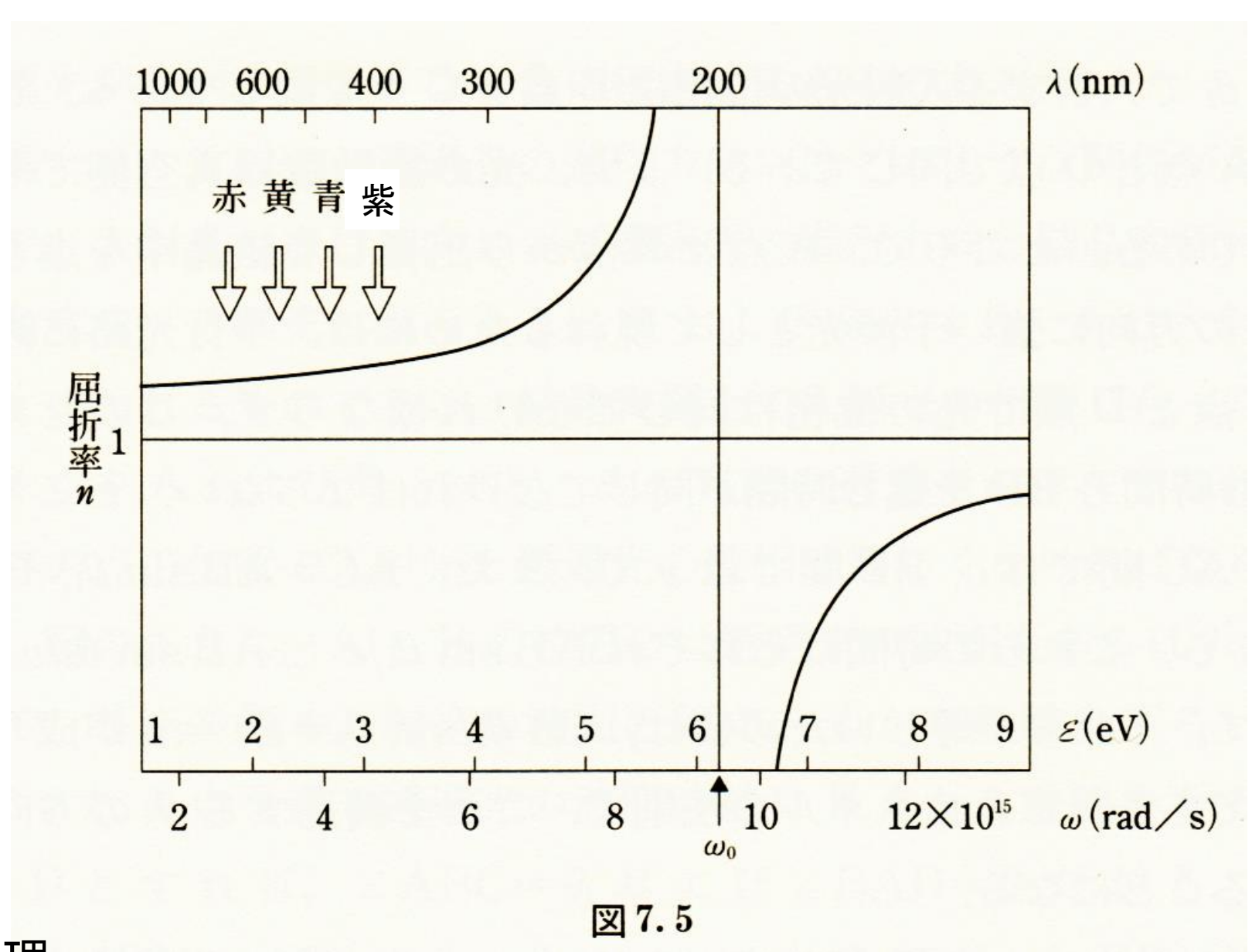
# 3次元結晶

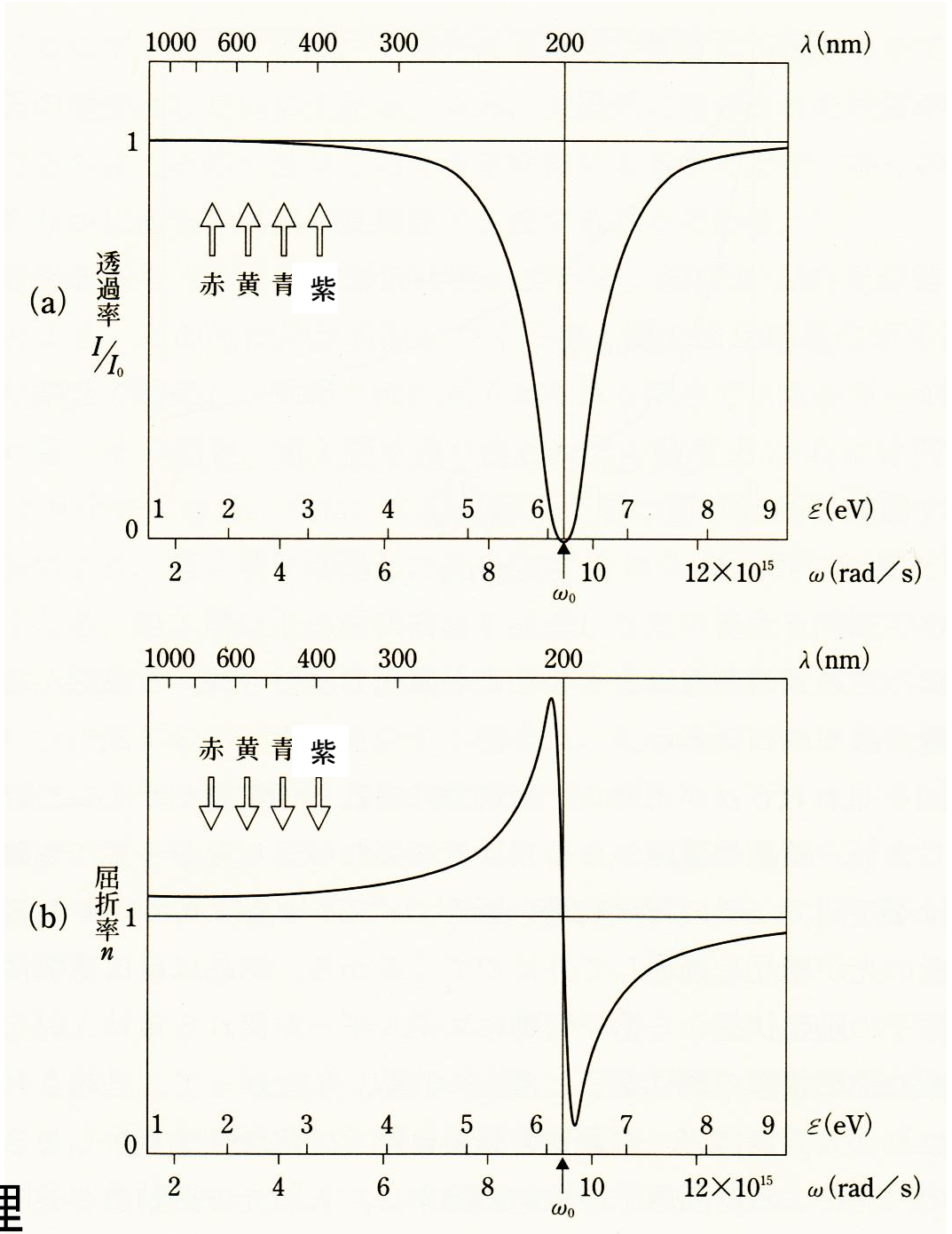


光の物理

図 7.1



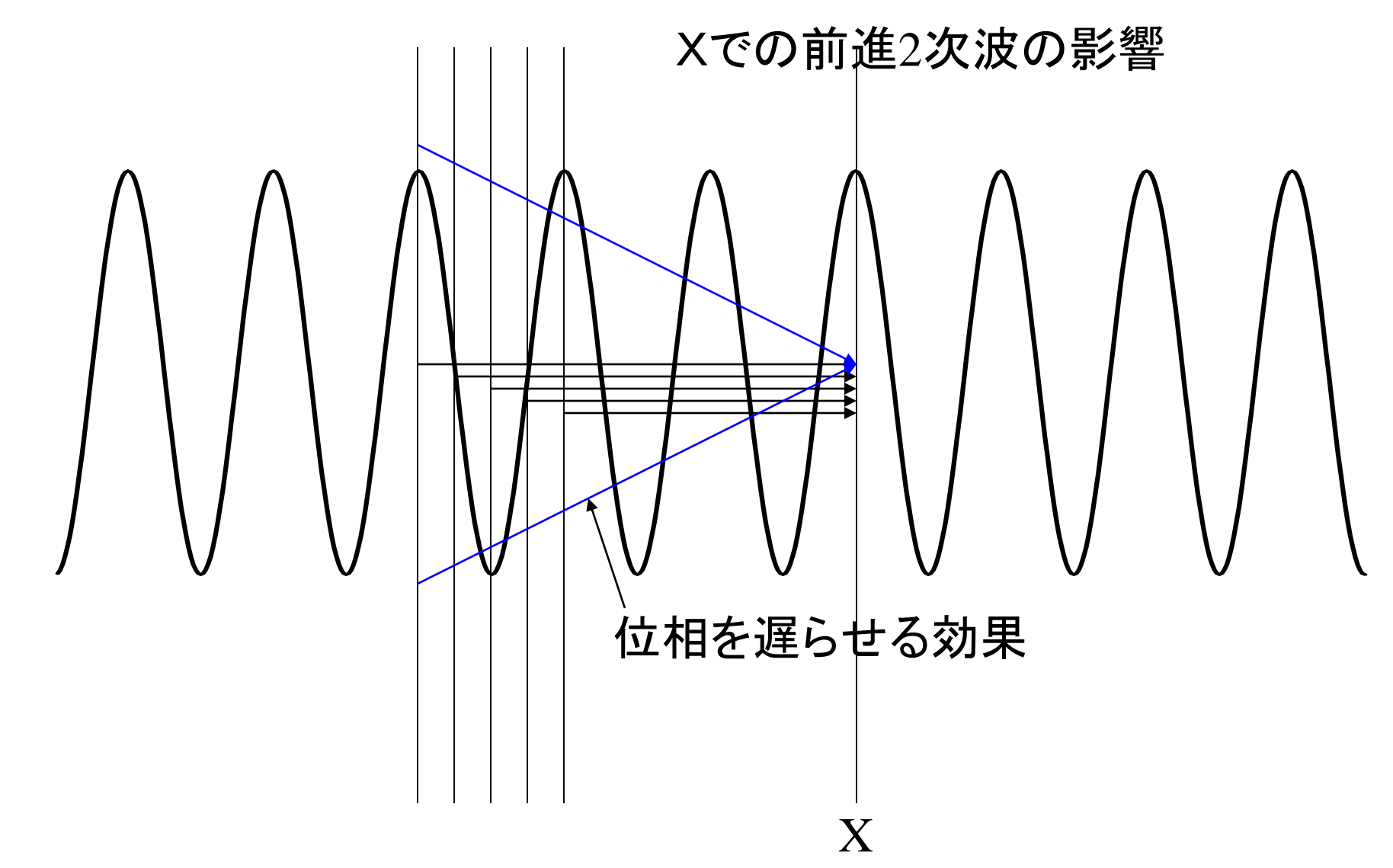


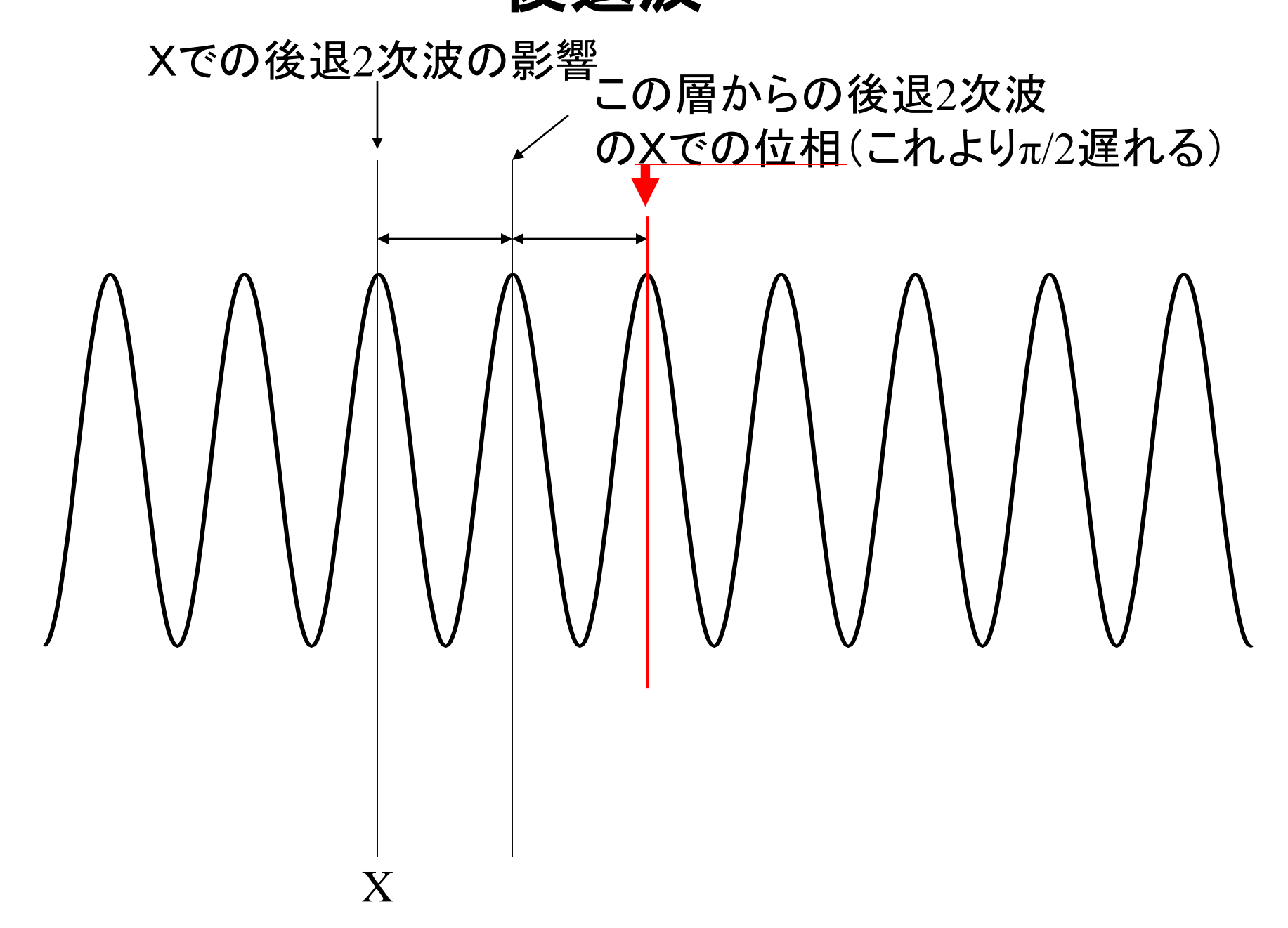


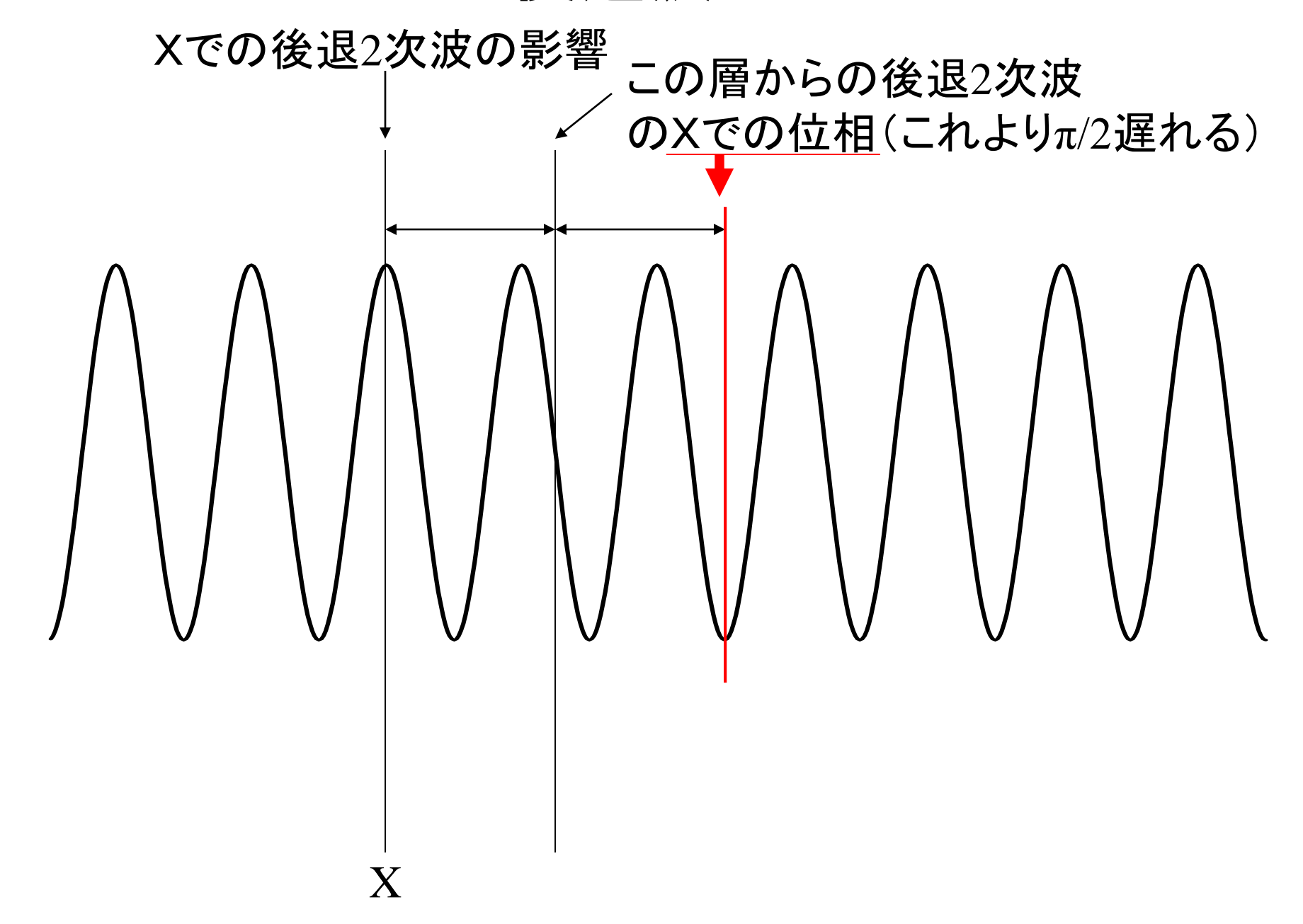
光の物理

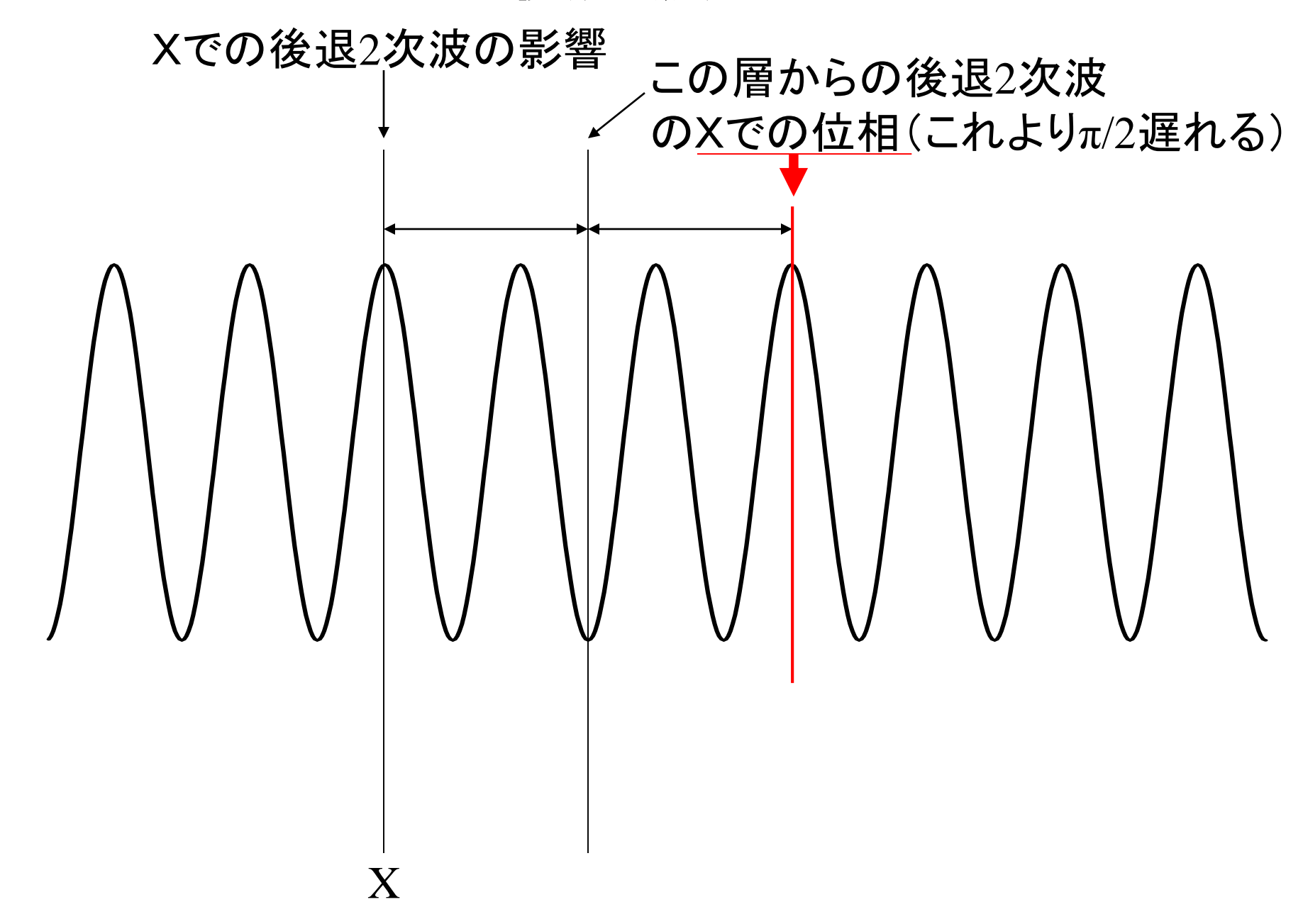
### 前進波

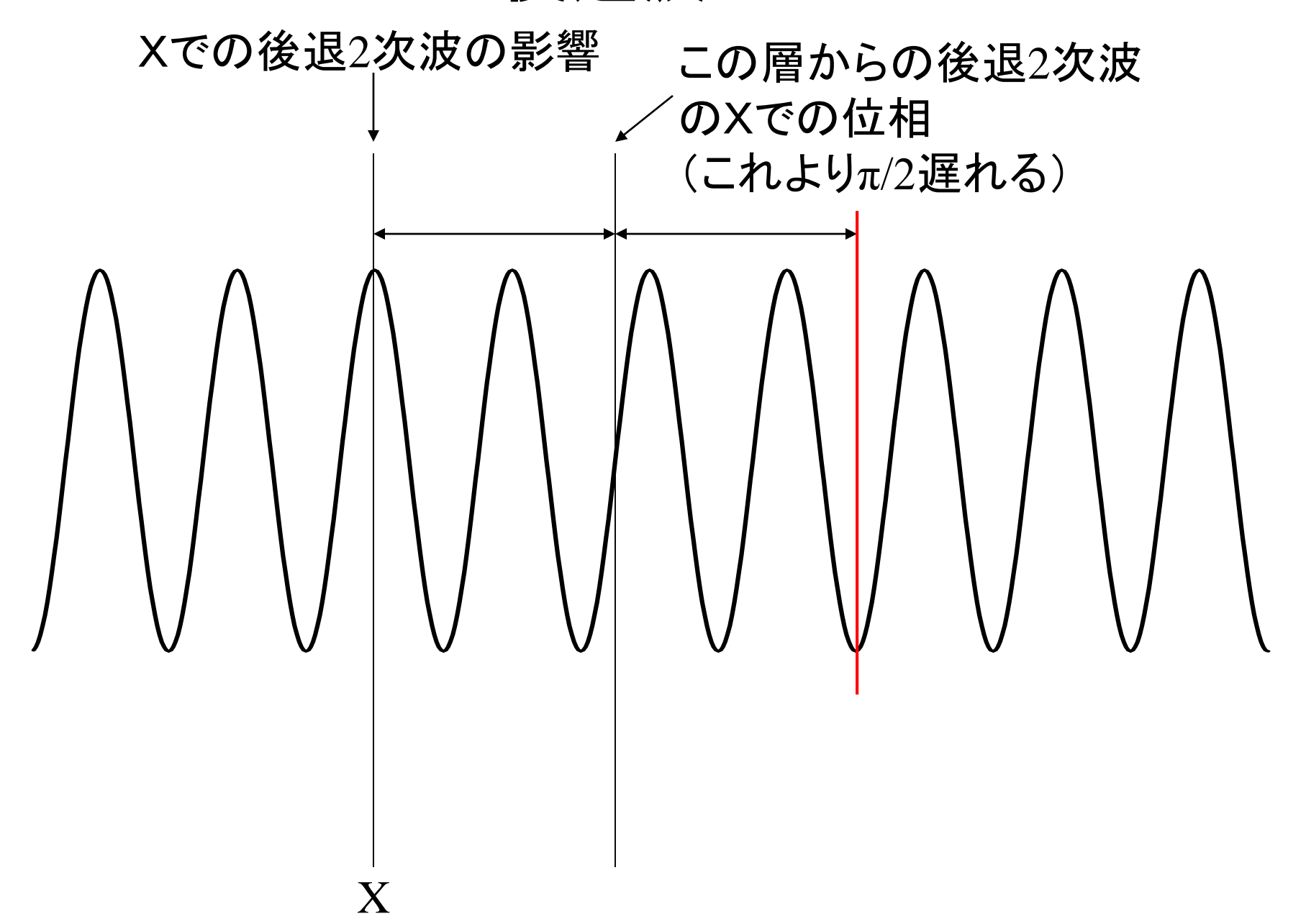
すべての層からの前進2次波は Xで等位相で重なる(Xでの位相よりπ/2遅れる)

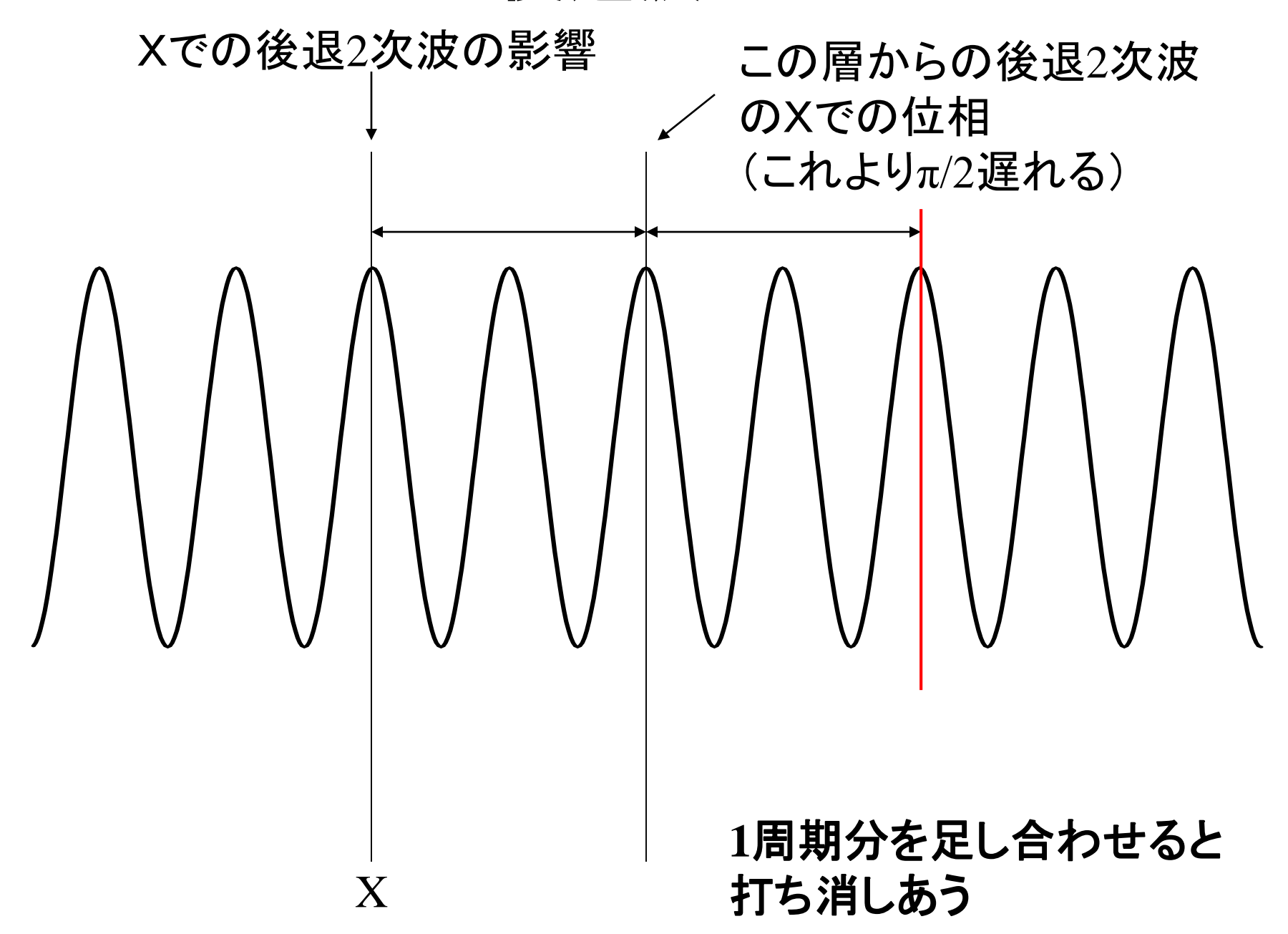












### 質問

# なぜ電磁波の放射に電荷の 加速度運動が必要?

# 物質と光でなぜ以下の違いがあるのか?

物質 
$$\left\{ \begin{aligned} p &= mV \\ E &= \frac{1}{2}mV^2 \end{aligned} \right\} E = \frac{1}{2}pV$$

光子 
$$\left\{ \begin{array}{l} p = \hbar k \\ E = \hbar \omega \end{array} \right\} E = pc \quad \omega = kc \quad 2\pi v = \frac{2\pi}{\lambda} c \quad v\lambda = c$$

# 雷磁気学と相対論

$$\nabla \cdot \boldsymbol{E} = \frac{\rho}{\varepsilon_0}$$

$$\nabla \cdot \boldsymbol{B} = 0$$

Ampere's law 
$$\nabla \times \mathbf{B} = \mu_0 \mathbf{j} + \mu_0 \varepsilon_0 \frac{\partial \mathbf{E}}{\partial t}$$

$$\nabla \times \boldsymbol{E} = -\frac{\partial \boldsymbol{B}}{\partial t}$$

Equation of motion 
$$\mathbf{F} = \frac{d\mathbf{p}}{dt} = q(\mathbf{E} + \mathbf{v} \times \mathbf{B})$$

# 相対性原理

すべての物理法則は、相対速度が一定であるすべての 観測者にとって、同じ形に書かれなければならない

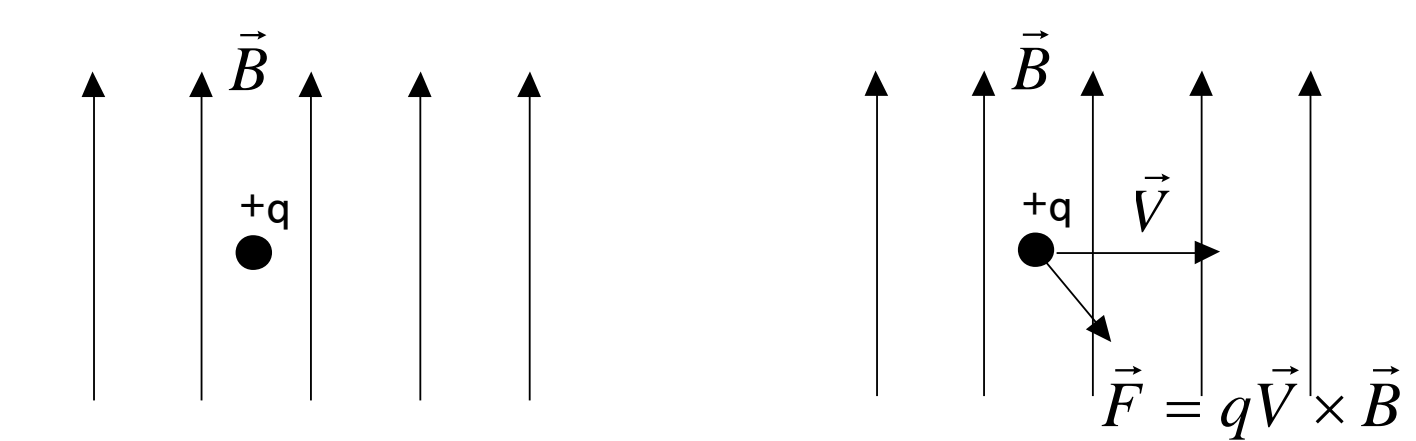
特殊相対性理論

一般相対性理論 加速度運動をしている座標系に拡張

## 質問

ー様な磁場の中の静止して いる荷電粒子

速度-Vで動いている観測者



観測者の速度によって、電荷の運動が異なる?

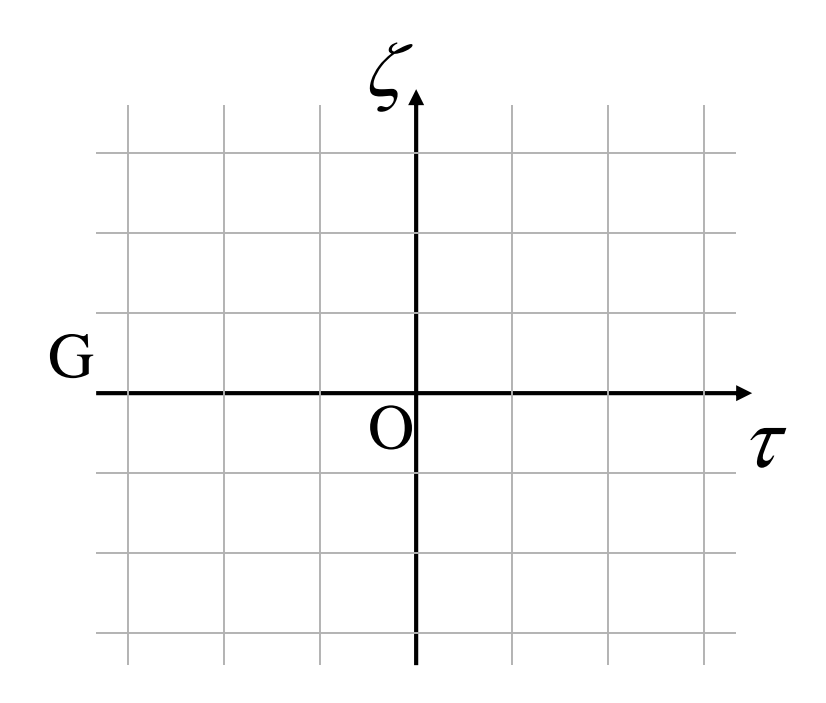
# ガリレイ変換

$$t = \tau$$

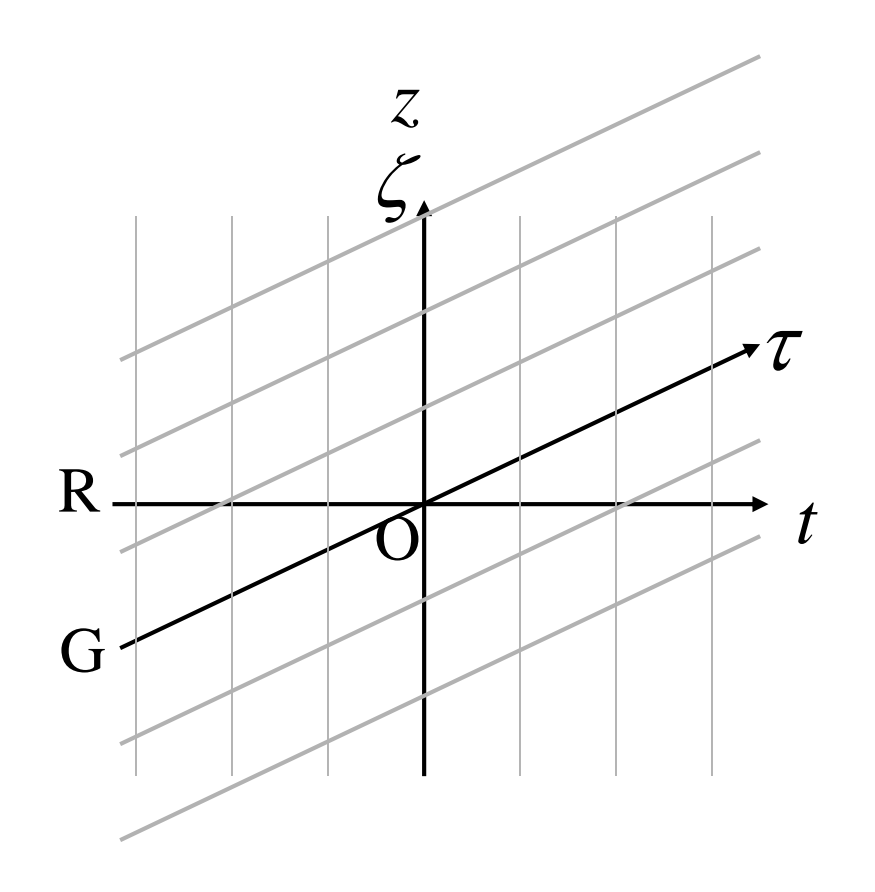
$$z = \zeta + v\tau$$

$$(t) (1 0)(\tau)$$

$$\begin{pmatrix} t \\ z \end{pmatrix} = \begin{pmatrix} 1 & 0 \\ v & 1 \end{pmatrix} \begin{pmatrix} \tau \\ \zeta \end{pmatrix}$$



観測者 G は 観測者R の z 軸上を正の向きに(速度v)で移動



ガリレイ変換はニュートンの運動方程式を不変に保つが、マックスウェルの方程式は異なる形になる

# 計量テンソル

4次元時空間の1点 事象 
$$x = \begin{pmatrix} ct \\ x \\ y \\ z \end{pmatrix}$$

計量テンソル 
$$G$$
 で内積を定義
$$Q = \mathbf{x}^{\mathsf{T}} G \mathbf{x} = \begin{pmatrix} ct & x & y & z \end{pmatrix} \begin{pmatrix} 1 & 0 & 0 & 0 & ct \\ 0 & -1 & 0 & 0 & x \\ 0 & 0 & -1 & 0 & y \\ 0 & 0 & 0 & -1 & z \end{pmatrix}$$

# ローレンツ変換不変量

時空間での2点(2事象)間の間隔

4次元時空の事象P = (ct, x, y, z)のノルム

$$S(P) = c^2 t^2 - x^2 - y^2 - z^2$$

$$||P|| = \begin{cases} \sqrt{S} & \text{for } S > 0\\ \sqrt{-S} & \text{for } S < 0 \end{cases}$$

ローレンツ変換はこの間隔を不変に保つ 計量テンソルが決まれば、それによって決まる内積を不変に する座標変換が定まる

ユークリッド 空間での回転による座標変換で2点間の距離  $\sqrt{x^2+y^2+z^2}$  が不変 であることと対応

# エネルギーと運動量

静止質量 m はローレンツ変換で不変

$$(mc^2)^2 = E^2 - (pc)^2$$

$$E = \frac{mc^2}{\sqrt{1 - v^2/c^2}} = mc^2 + \frac{1}{2}mv^2 + \frac{3}{8}\frac{v^4}{c^2} + \cdots$$

相対論的エネルギー

$$p = \frac{mv}{\sqrt{1 - v^2/c^2}}$$
 相対論的運動量

$$\left\{egin{array}{ll} m{P}=0 & E=mc^2 & \mathtt{x}$$
 エネルギーと質量は等価 原子力 太陽  $m=0$  (光子)  $E=pc$  ( $E=hv$ ,  $p=rac{h}{\lambda}$  より  $v=rac{c}{\lambda}$ )

$$E = pc$$
  $(E = hv, p = \frac{h}{\lambda} \text{ Jy } v = \frac{c}{\lambda})$ 

# 電場・磁場のローレンツ変換

速度-Vで動いている観測者から見て

$$\boldsymbol{B}_{\perp}' = \frac{(\boldsymbol{B} + \boldsymbol{V}/c^2 \times \boldsymbol{E})_{\perp}}{\sqrt{1 - \boldsymbol{V}^2/c^2}} \quad \boldsymbol{E}_{\perp}' = \frac{(\boldsymbol{E} - \boldsymbol{V} \times \boldsymbol{B})_{\perp}}{\sqrt{1 - \boldsymbol{V}^2/c^2}}$$

#### マックスウェル方程式はローレンツ変換で不変

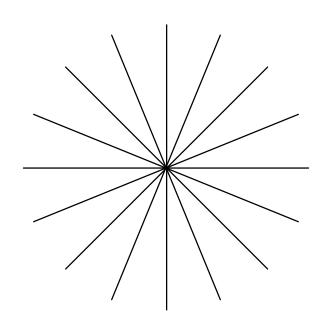
静止系でE=0の場合

$$B'_{\perp} = \frac{B_{\perp}}{\sqrt{1 - V^2 / c^2}}$$
  $E'_{\perp} = \frac{-V \times B_{\perp}}{\sqrt{1 - V^2 / c^2}}$ 

⊥:Vに垂直

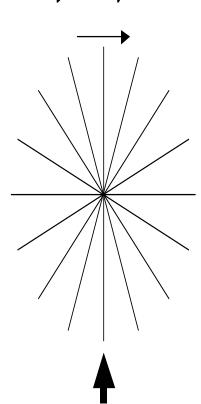
#### 等速直線運動する荷電粒子の作る電場





$$E = \frac{q}{4\pi\varepsilon_0} \frac{1}{r^2}$$

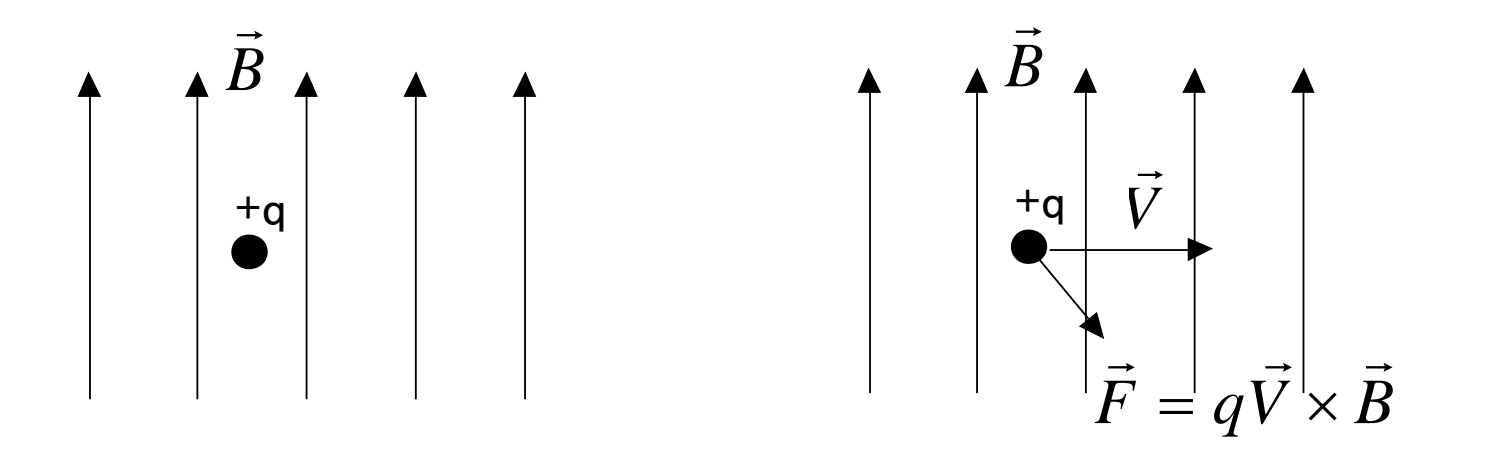
$$v = V$$



$$E = \frac{q}{4\pi\varepsilon_0} \frac{1}{r^2} \frac{1}{\sqrt{1 - V^2 / c^2}}$$

ー様な磁場の中の静止して いる荷電粒子

速度-Vで動いている観測者



速度-Vの観測者には電場E'も存在し、ローレンツ力と釣り合う

静止系 
$$m{B} = m{B}_{\perp}$$
  $m{E} = 0$   $m{F} = rac{dm{p}}{dt} = 0$  荷電粒子は静止

#### ーVで動く観測者から見て

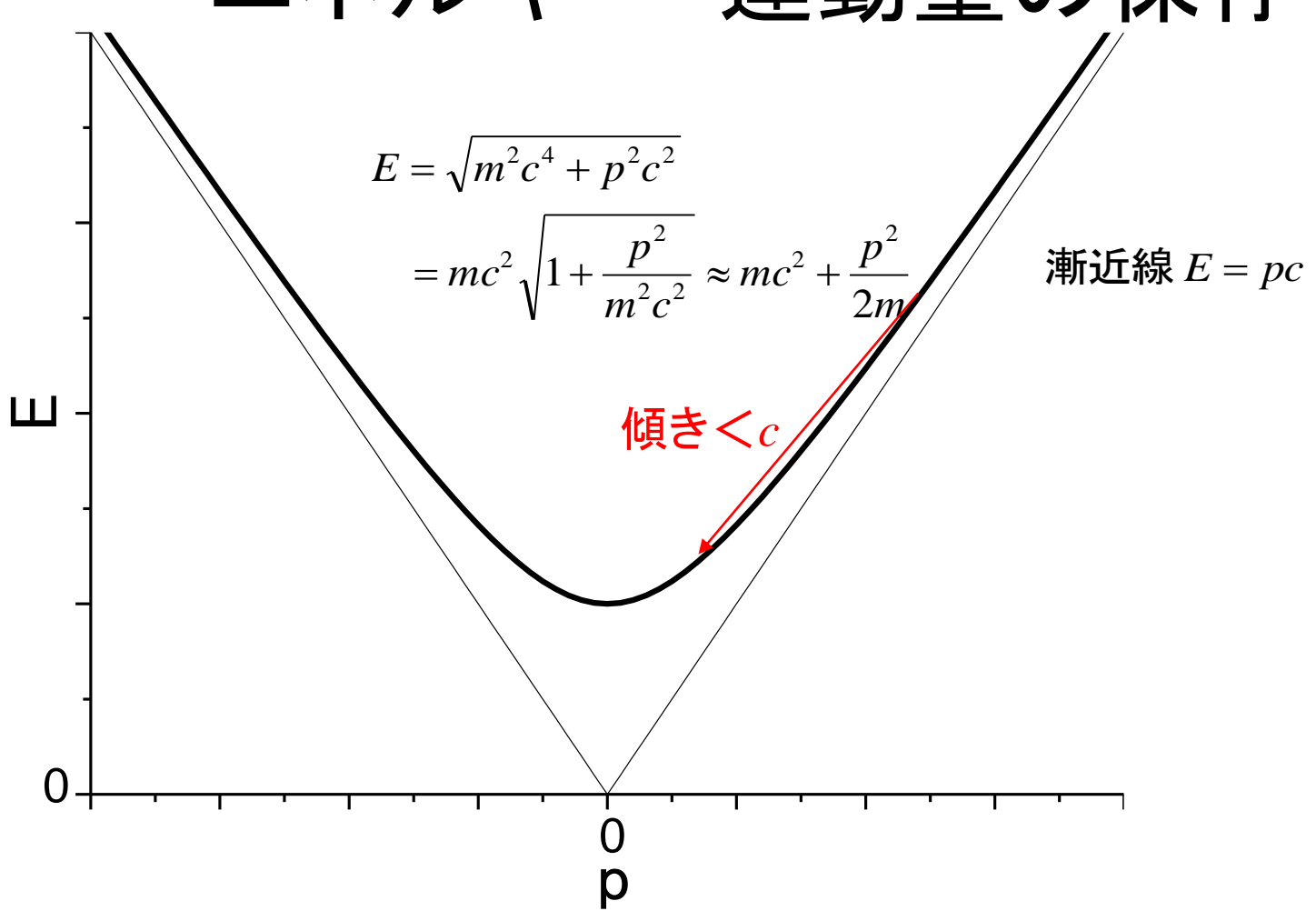
荷電粒子の速度V

$$\boldsymbol{B}_{\perp}' = \frac{\boldsymbol{B}_{\perp}}{\sqrt{1 - V^2 / c^2}} \quad \boldsymbol{E}_{\perp}' = \frac{-V \times \boldsymbol{B}_{\perp}}{\sqrt{1 - V^2 / c^2}}$$

$$F' = qE'_{\perp} + qV \times B'_{\perp} = q \frac{-V \times B_{\perp}}{\sqrt{1 - V^2/c^2}} + q \frac{V \times B_{\perp}}{\sqrt{1 - V^2/c^2}} = 0$$

荷電粒子は等速度Vで運動 横方向には変位しない

# 電子からの光の放出の理解エネルギー・運動量の保存

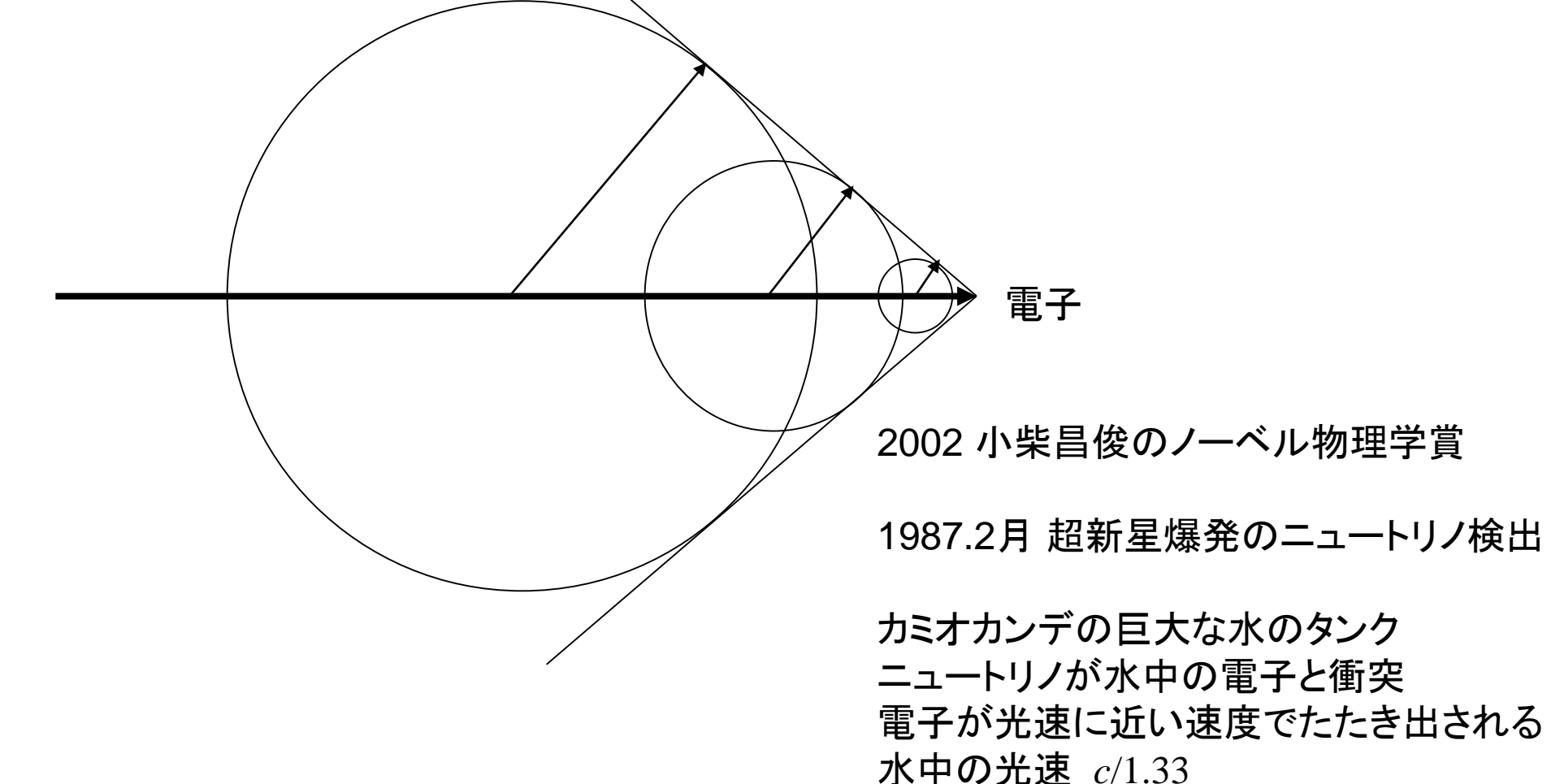


自由粒子のエネルギー
$$E_i = \sqrt{m^2c^4 + p_i^2c^2}$$
  
光子のエネルギー $E = pc$   
エネルギー保存: $E_1 = E_2 + E$   
運動量保存:  $p_1 = p_2 + p$   
 $\sqrt{m^2c^4 + p_1^2c^2} = \sqrt{m^2c^4 + p_2^2c^2} + pc$   
 $p_1^2 = p_2^2 + 2p_2p\cos\theta + p^2$   
 $m^2c^4 + p_1^2c^2 = m^2c^4 + p_2^2c^2 + 2pc\sqrt{m^2c^4 + p_2^2c^2} + p^2c^2$   
 $p_1^2 = p_2^2 + 2p\sqrt{m^2c^2 + p_2^2} + p^2$   
 $p_2^2 + 2p_2p\cos\theta + p^2 = p_2^2 + 2p\sqrt{m^2c^2 + p_2^2} + p^2$   
 $p_2\cos\theta = \sqrt{m^2c^2 + p_2^2}$  成り立たない

等速運動する電子は電磁波を放射しない(電子の速さく光速 のとき)電磁放射するにはポテンシャル下での加速度運動が必要

# チェレンコフ放射

電子の速さ>媒質中の光速 のとき



光電子増倍管でチェレンコフ光を検出

$$\Delta t = \frac{\Delta t_0}{\sqrt{1 - u^2/c^2}} = \gamma \Delta t_0 \qquad \text{(time dilation)}$$

$$l = l_0 \sqrt{1 - \frac{u^2}{c^2}} = \frac{l_0}{\gamma}$$
 (length contraction)

$$\gamma = \frac{1}{\sqrt{1 - u^2/c^2}}$$

$$t' = \frac{t - ux/c^{2}}{\sqrt{1 - u^{2}/c^{2}}} = \gamma(t - ux/c^{2})$$

$$x' = \frac{x - ut}{\sqrt{1 - u^{2}/c^{2}}} = \gamma(x - ut)$$

(Lorentz coordinate transformation)

$$v'_{x} = \frac{v_{x} - u}{1 - uv_{x}/c^{2}}$$

$$v_{x} = \frac{v'_{x} + u}{1 + uv'_{x}/c^{2}}$$

(Lorentz velocity transformation)

$$f = \sqrt{\frac{c+u}{c-u}} f_0$$
 (Doppler effect, electromagnetic waves)  $\vec{p} = \frac{m\vec{v}}{\sqrt{1-v^2/c^2}}$  (relativistic momentum)  $\vec{p} = \gamma m\vec{v}$ 

$$K = \frac{mc^2}{\sqrt{1 - v^2/c^2}} - mc^2 = (\gamma - 1)mc^2$$
 (relativistic kinetic energy)

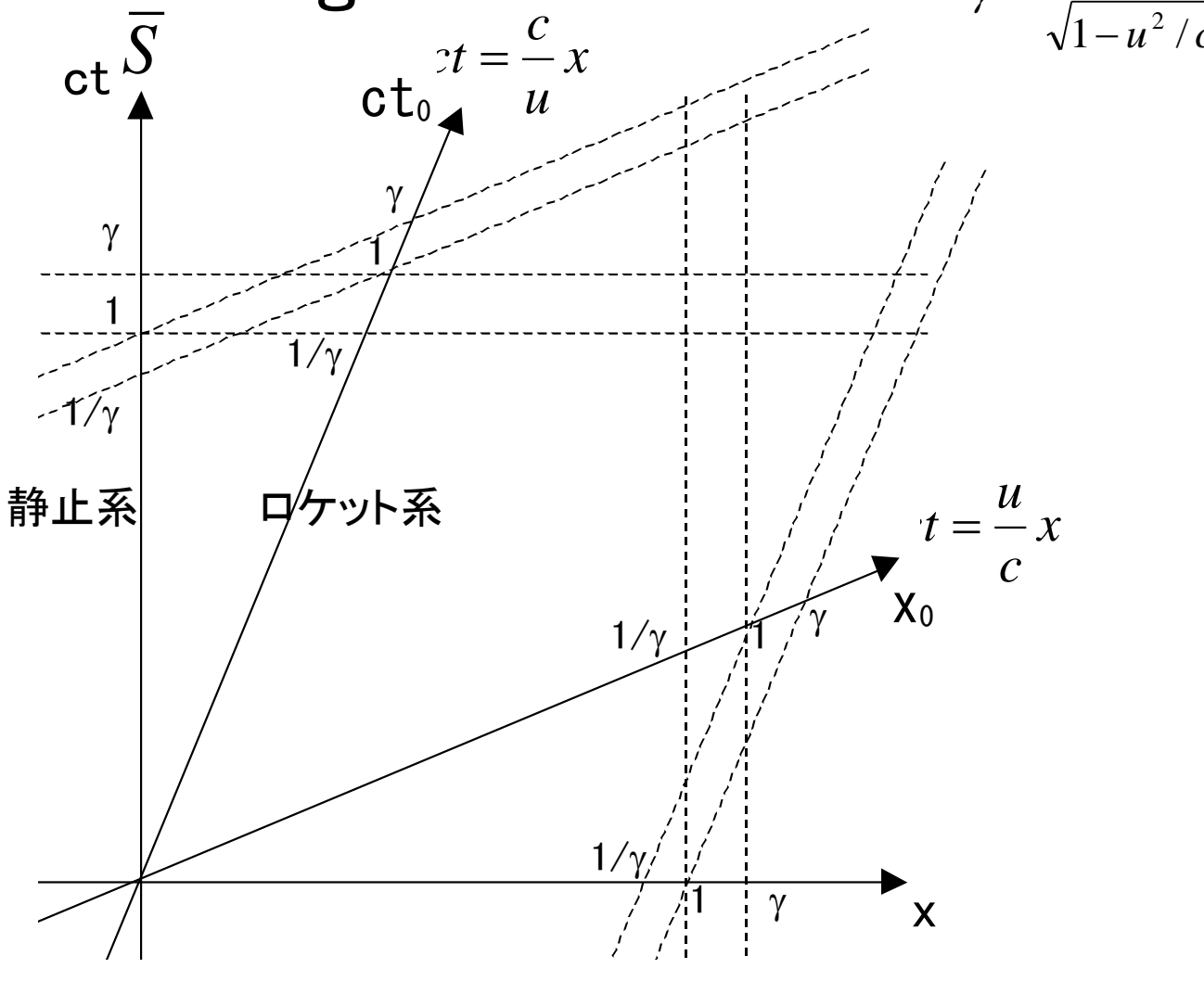
$$E = K + mc^2 = \frac{mc^2}{\sqrt{1 - v^2/c^2}} = \gamma mc^2 \quad \text{(total energy of a particle)}$$

$$E^2 = (mc^2)^2 + (pc)^2$$
 (total energy, rest energy, and momentum)

- 時間の膨張 time dilation (日本語教科書 時間の遅れ)
- 長さの収縮 length contraction

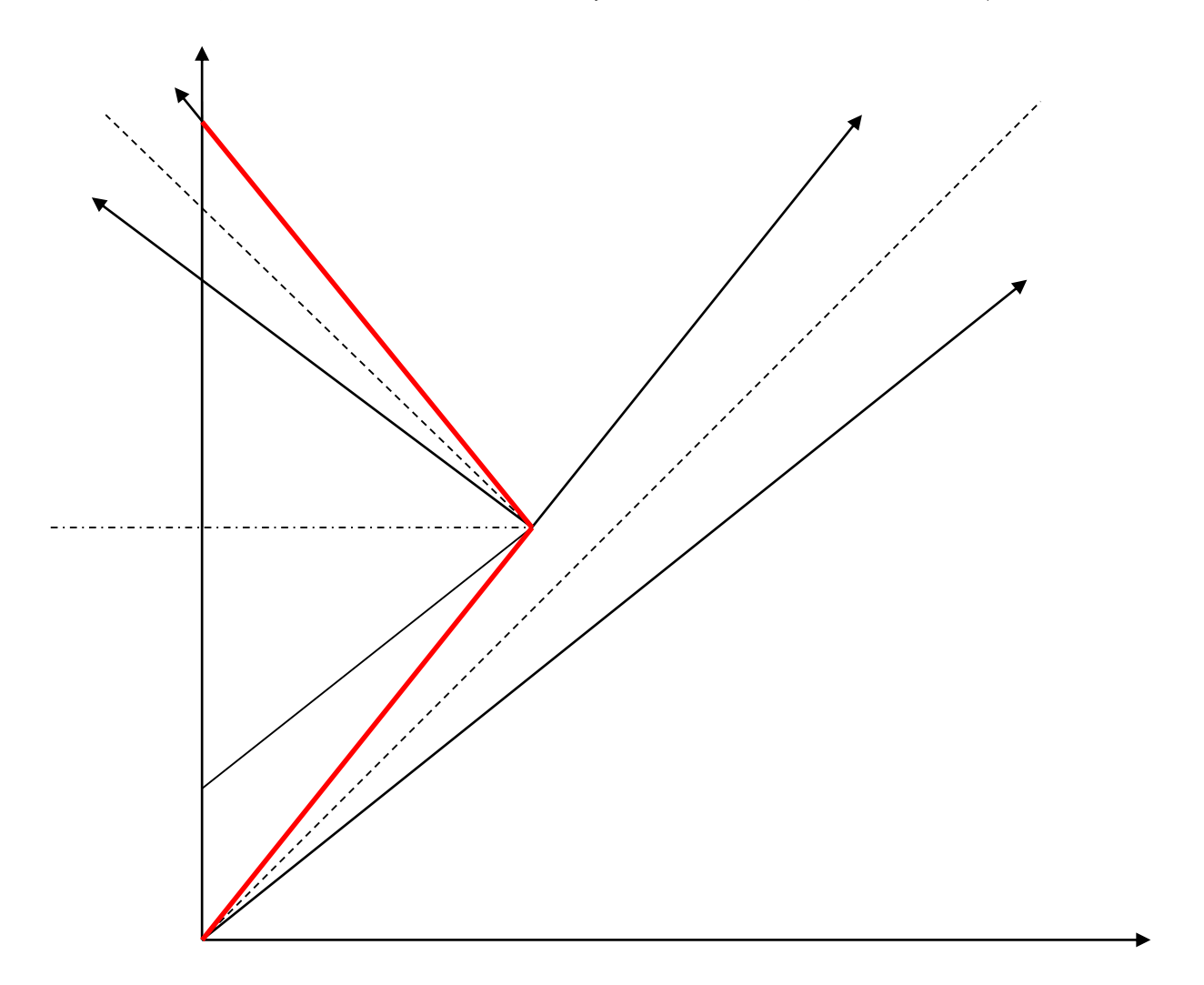
# この非対称性はどこから?

### Spacetime-diagram<sup>S</sup>

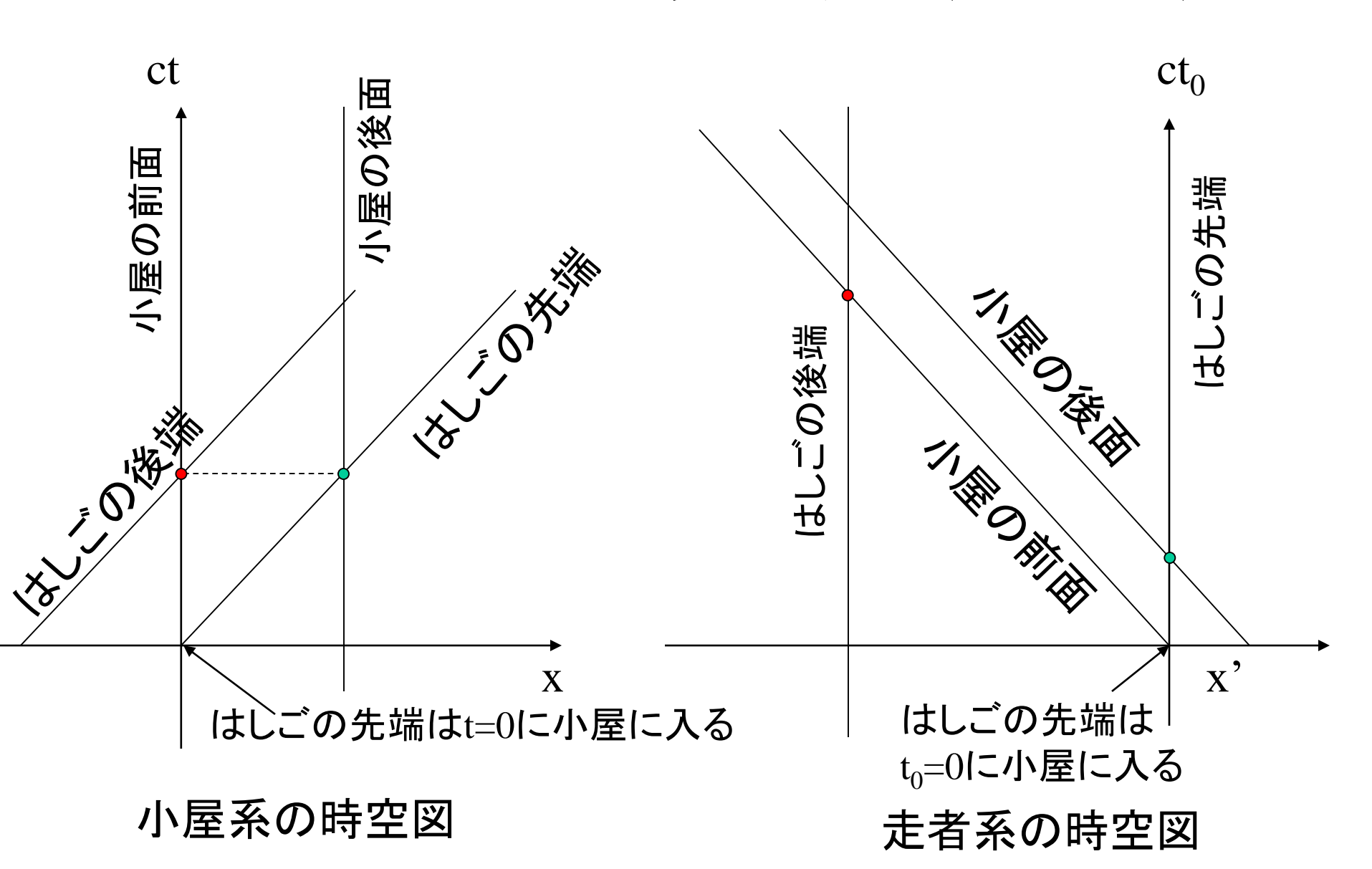


$$ct=1$$
 静止系と同時刻で(ロケット系の同位置で)  $ct_0=1/\gamma$   $t=\gamma t_0$  time dilation  $x_0=1$  静止系の同時刻で(ロケット系の同位置で)  $x=1/\gamma$   $x=x_0/\gamma$  length contraction  $[x=1]$  静止系と同位置で(ロケット系の同時刻で)  $x_0=1/\gamma$   $x=\gamma x_0$ 

# 双子のパラドックス(Ex.12.2)



#### 小屋とはしごのパラドックス(Ex.12.3)



$$cosh x = \frac{e^x + e^{-x}}{2}$$

$$\sinh x = \frac{e^x - e^{-x}}{2}$$

$$\cosh^2 x - \sinh^2 x = \frac{(e^x + e^{-x})^2}{4} - \frac{(e^x - e^{-x})^2}{4} = \frac{4}{4} = 1$$

$$\tanh x = \frac{\sinh x}{\cosh x} = \frac{e^x - e^{-x}}{e^x + e^{-x}}$$

$$1 - \tanh^2 x = 1 - \left(\frac{e^x - e^{-x}}{e^x + e^{-x}}\right)^2 = \frac{4}{(e^x + e^{-x})^2} = \frac{1}{\cosh^2 x}$$

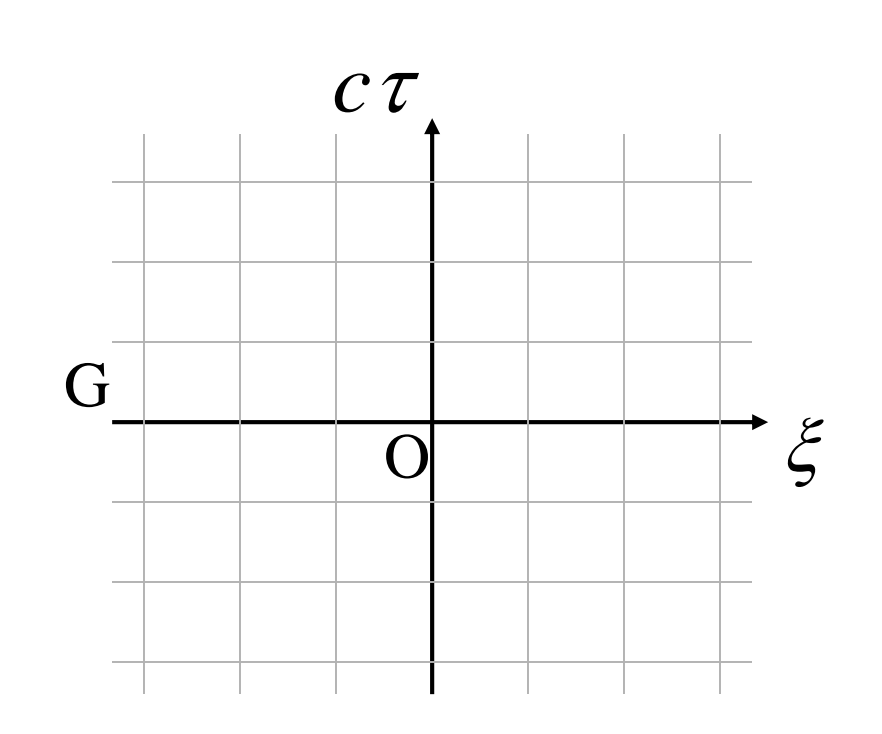
$$\cosh x = \frac{1}{\sqrt{1 - \tanh^2 x}}$$

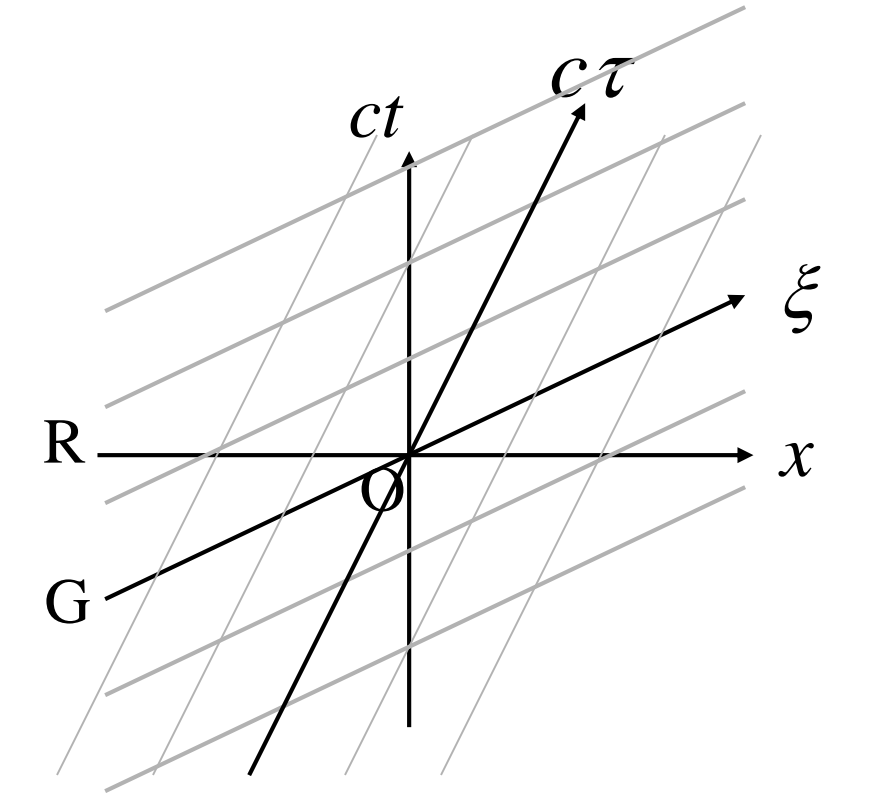
$$\sinh x = \cosh x \tanh x = \frac{\tanh x}{\sqrt{1 - \tanh^2 x}}$$

# ローレンツ変換

$$\begin{pmatrix} ct \\ x \end{pmatrix} = \begin{pmatrix} \cosh \theta & \sinh \theta \\ \sinh \theta & \cosh \theta \end{pmatrix} \begin{pmatrix} c\tau \\ \xi \end{pmatrix}$$
 観測者 G は 観測者R の  $x$  軸上を正 の向きに(速度 $v$ )で移動

$$v/c = \tanh \theta \quad \cosh \theta = \frac{1}{\sqrt{1 - (v/c)^2}} \quad \sinh \theta = \frac{v/c}{\sqrt{1 - (v/c)^2}}$$





$$ct = c\tau \cosh\theta + \xi \sinh\theta$$

#### $x = c \tau \sinh \theta + \xi \cosh \theta$

$$S = (ct)^2 - x^2$$

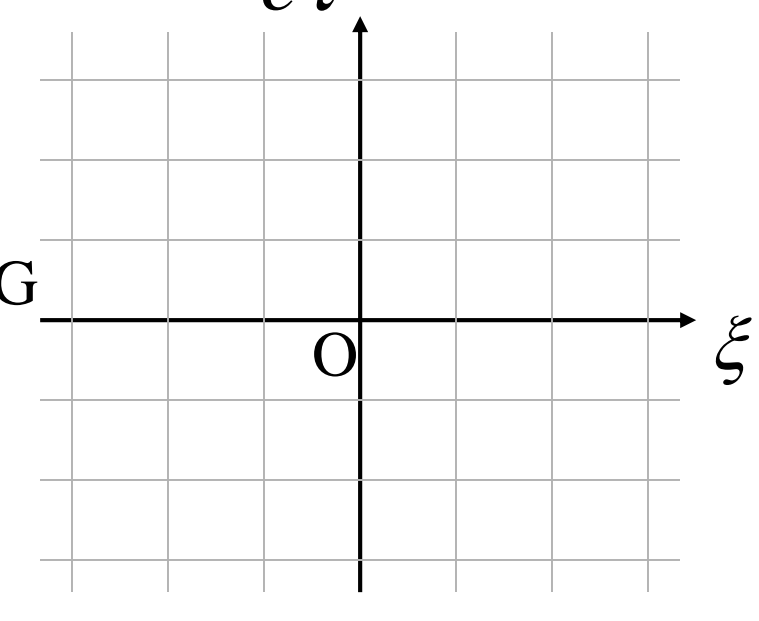
#### ローレンツ変換不変量

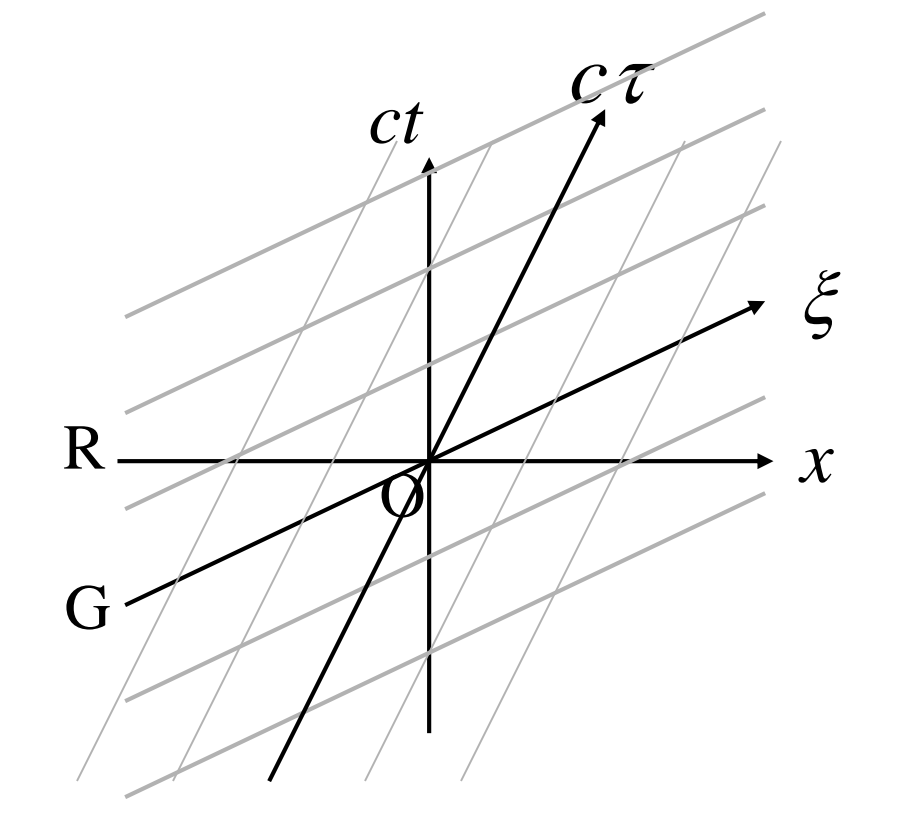
観測者 G は 観測者R の x 軸上を正の向きに(速度v)で移動

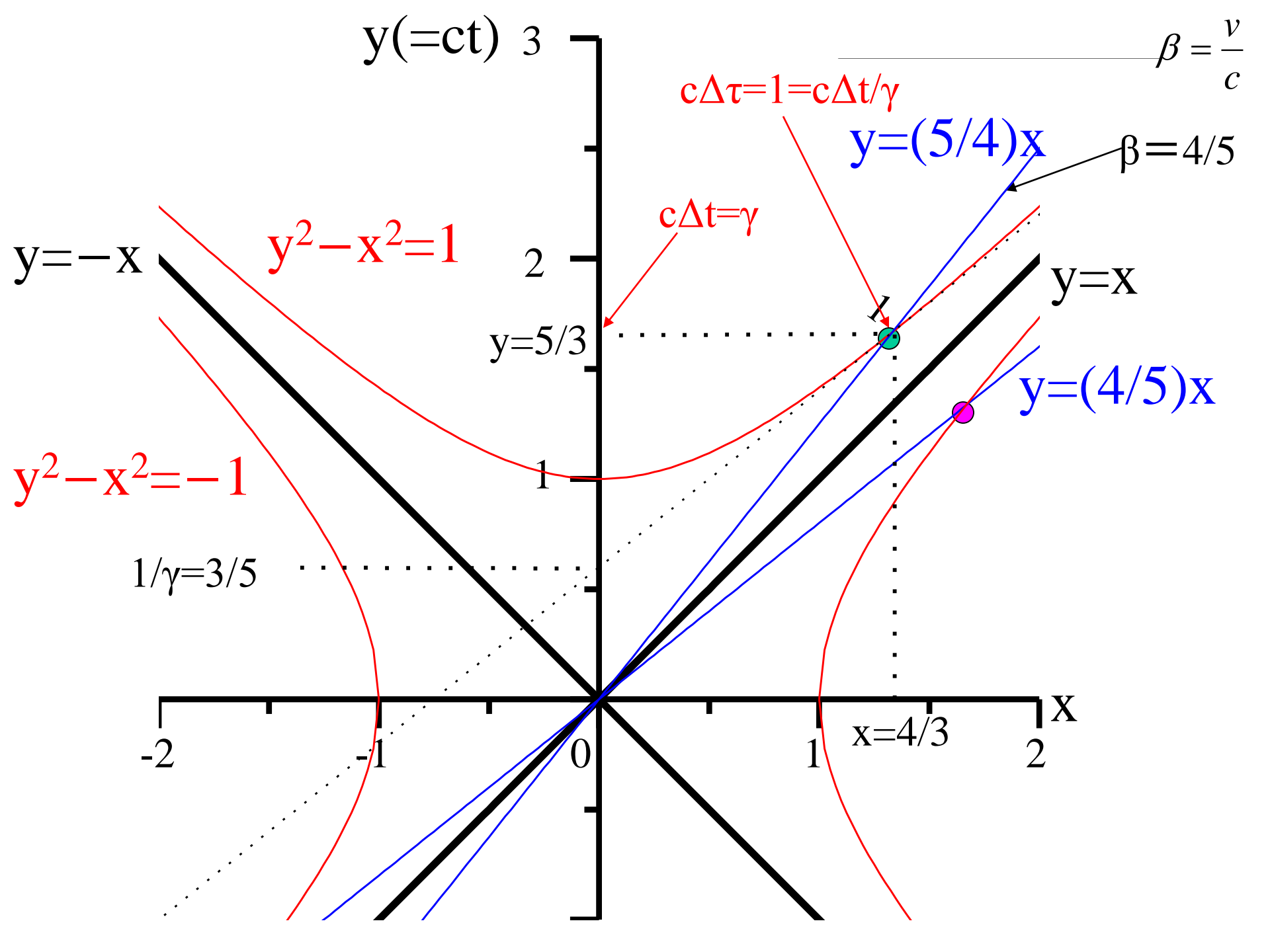
$$= (c\tau \cosh\theta + \xi \sinh\theta)^2 - (c\tau \sinh\theta + \xi \cosh\theta)^2$$

$$= \{(c\tau)^2 - \xi^2\}(\cosh^2\theta - \sinh^2\theta)$$

$$= (c\tau)^2 - \xi^2$$







#### ●点の座標

$$\begin{pmatrix} ct \\ x \end{pmatrix} = \begin{pmatrix} \cosh \theta & \sinh \theta \\ \sinh \theta & \cosh \theta \end{pmatrix} \begin{pmatrix} c\tau \\ \xi \end{pmatrix}$$

$$\binom{5/3}{4/3} = \binom{5/3}{4/3} \binom{4/3}{5/3} \binom{1}{0} \qquad \binom{c\tau}{\xi} = \binom{1}{0} \quad \text{proper time}$$

$$\binom{4/3}{5/3} = \binom{5/3}{4/3} \binom{4/3}{5/3} \binom{0}{1} \qquad \binom{c\tau}{\xi} = \binom{0}{1} \quad \text{proper length}$$
 (distance)

 $= (ct)^{2} \{1 - (v/c)^{2}\}$   $= (c\tau)^{2} \quad \tau = \frac{t}{\gamma}$ 

 $\xi = -ct \sinh \theta + vt \cosh \theta = 0$ 

 $\begin{pmatrix} c\tau \\ \xi \end{pmatrix} = \begin{pmatrix} \cosh\theta & -\sinh\theta \\ -\sinh\theta & \cosh\theta \end{pmatrix} \begin{pmatrix} ct \\ x \end{pmatrix}$ 

x = vt

 $S = (ct)^2 - x^2$ 

 $=(ct)^{2}-(vt)^{2}$ 

 $v/c = \tanh \theta \quad \cosh \theta = \frac{1}{\sqrt{1 - (v/c)^2}} \quad \sinh \theta = \frac{v/c}{\sqrt{1 - (v/c)^2}}$ 

 $c\tau = ct \cosh \theta - vt \sinh \theta = \frac{ct - v^2 t/c}{\sqrt{1 - (v/c)^2}} = ct \sqrt{1 - (v/c)^2}$ 

# 相対論的エネルギー・運動量ベクトルの不変量

$$p^{\mu} = (E/c, p) = (\frac{mc}{\sqrt{1 - (v/c)^2}}, \frac{mv}{\sqrt{1 - (v/c)^2}}) = mc(\cosh\theta, \sinh\theta)$$

$$v/c = \tanh \theta$$
  $\cosh \theta = \frac{1}{\sqrt{1 - (v/c)^2}}$   $\sinh \theta = \frac{v/c}{\sqrt{1 - (v/c)^2}}$ 

 $p^{\mu}p_{\mu} = m^2c^2(\cosh^2\theta - \sinh^2\theta) = m^2c^2$ : proper energy =質量これは以下と同じ構造

$$\begin{pmatrix} ct \\ x \end{pmatrix} = \begin{pmatrix} \cosh \theta & \sinh \theta \\ \sinh \theta & \cosh \theta \end{pmatrix} \begin{pmatrix} c\tau \\ \xi \end{pmatrix}, \quad \begin{pmatrix} c\tau \\ \xi \end{pmatrix} = \begin{pmatrix} c\tau \\ 0 \end{pmatrix} \emptyset \geq 3$$

 $x^{\mu} = (ct, x) = c \tau(\cosh \theta, \sinh \theta)$ 

 $x^{\mu}x_{\mu} = c^2\tau^2(\cosh^2\theta - \sinh^2\theta) = c^2\tau^2$ : proper time

### 4元速度ベクトルの不変量

$$\eta^{\mu} = \left(\frac{c}{\sqrt{1 - (v/c)^2}}, \frac{v}{\sqrt{1 - (v/c)^2}}\right) = c(\cosh\theta, \sinh\theta)$$

$$v/c = \tanh \theta \quad \cosh \theta = \frac{1}{\sqrt{1 - (v/c)^2}} \quad \sinh \theta = \frac{v/c}{\sqrt{1 - (v/c)^2}}$$

 $\eta^{\mu}\eta_{\mu} = c^2(\cosh^2\theta - \sinh^2\theta) = c^2$ : proper velocity = 光速度 これは以下と同じ構造

$$\begin{pmatrix} ct \\ x \end{pmatrix} = \begin{pmatrix} \cosh \theta & \sinh \theta \\ \sinh \theta & \cosh \theta \end{pmatrix} \begin{pmatrix} c\tau \\ \xi \end{pmatrix}, \quad \begin{pmatrix} c\tau \\ \xi \end{pmatrix} = \begin{pmatrix} c\tau \\ 0 \end{pmatrix} \text{ if } \xi$$

$$x^{\mu} = (ct, x) = c \tau(\cosh \theta, \sinh \theta)$$

$$x^{\mu}x_{\mu} = c^2\tau^2(\cosh^2\theta - \sinh^2\theta) = c^2\tau^2$$
: proper time

#### 相対論的運動量(Prob. 12.29)

運動量の定義がp = muのとき

$$m_A u_A + m_B u_B = m_C u_C + m_D u_D$$

$$u_{i} = \frac{\overline{u}_{i} + v}{1 + \overline{u}_{i}v/c^{2}} \quad \left[\overline{u}_{i} = \frac{u_{i} - v}{1 - u_{i}v/c^{2}}\right]$$

$$m_{A} \frac{\overline{u}_{A} + v}{1 + \overline{u}_{A} v / c^{2}} + m_{B} \frac{\overline{u}_{B} + v}{1 + \overline{u}_{B} v / c^{2}} = m_{C} \frac{\overline{u}_{C} + v}{1 + \overline{u}_{C} v / c^{2}} + m_{D} \frac{\overline{u}_{D} + v}{1 + \overline{u}_{D} v / c^{2}}$$

一般に 
$$m_A \overline{u}_A + m_B \overline{u}_B \neq m_C \overline{u}_C + m_D \overline{u}_D$$
 運動量は保存しない

特別な場合

S系, 
$$m_A = m_B = m_C = m_D = m$$
,  $u_A = -u_B = v$ ,  $u_C = u_D = 0$ (完全非弹性衝突)

$$\overline{u}_i = \frac{u_i - v}{1 - u \cdot v / c^2}, \quad \overline{u}_A = 0, \quad \overline{u}_B = \frac{-2v}{1 + v^2 / c^2}, \quad \overline{u}_C = \overline{u}_D = -v$$

$$\overline{S}$$
  $\widetilde{S}$ ,  $m\frac{-2v}{1+v^2/c^2} \neq -2mv$ 

#### 相対論的運動量(Prob. 12.29)

運動量の定義が
$$p = m\eta$$
のとき
$$m_A\eta_A + m_B\eta_B = m_C\eta_C + m_D\eta_D$$

$$\eta_i = \gamma(\overline{\eta_i} + \beta\overline{\eta_i}^0)$$

$$m_A\gamma(\overline{\eta_A} + \beta\overline{\eta_A}^0) + m_B\gamma(\overline{\eta_B} + \beta\overline{\eta_B}^0) = m_C\gamma(\overline{\eta_C} + \beta\overline{\eta_C}^0) + m_D\gamma(\overline{\eta_D} + \beta\overline{\eta_D}^0)$$

$$m_A\overline{\eta_A} + m_B\overline{\eta_B} + \beta(m_A\overline{\eta_A}^0 + m_B\overline{\eta_B}^0) = m_C\overline{\eta_C} + m_D\overline{\eta_D} + \beta(m_C\overline{\eta_C}^0 + m_D\overline{\eta_D}^0)$$

$$m_i\eta_i^0 = p^0 = E_i/c$$

$$\nabla C \otimes C$$

$$\nabla C \otimes C$$

$$\nabla C \otimes C$$

$$\nabla C \otimes C$$

$$\nabla C \otimes C$$

$$\nabla C \otimes C$$

$$\nabla C \otimes C$$

$$\nabla C \otimes C$$

$$\nabla C \otimes C$$

$$\nabla C \otimes C$$

$$\nabla C \otimes C \otimes C \otimes C \otimes C \otimes C \otimes C$$

$$\nabla C \otimes C \otimes C \otimes C \otimes C \otimes C$$

$$\nabla C \otimes C \otimes C \otimes C \otimes C \otimes C$$

$$\nabla C \otimes C \otimes C \otimes C \otimes C$$

$$\nabla C \otimes C \otimes C \otimes C \otimes C$$

$$\nabla C \otimes C \otimes C \otimes C \otimes C$$

$$\nabla C \otimes C$$

# 4元ベクトル $(x^{\mu}$ と同じ変換をする)

位置 
$$x^{\mu} = (x^0, x^1, x^2, x^3) = (ct, x, y, z) = (ct, \mathbf{r})$$

(事象の座標)

事象の座標)  
速度 
$$\eta^{\mu} = (\gamma c, \eta)$$
  $\eta = \frac{d\mathbf{r}}{d\tau}$   $d\tau = \frac{dt}{\gamma}$   $\mathbf{v} = \frac{d\mathbf{r}}{dt}$   $\eta = \gamma \mathbf{v}$ 

運動量 
$$p^{\mu} = (\frac{E}{c}, \mathbf{p})$$
  $\mathbf{p} = m\mathbf{\eta}$   $E = \gamma mc^2$ 

波数 
$$k^{\mu} = (\frac{\omega}{c}, \mathbf{k})$$
  $p^{\mu} = \hbar k^{\mu}$ 

$$\mathcal{T} \qquad K^{\mu} = \frac{dp^{\mu}}{d\tau} = (\frac{1}{c} \frac{dE}{d\tau}, K) \quad K = \frac{dp}{d\tau} \quad F = \frac{dp}{dt}$$

電流密度 
$$J^{\mu} = \rho_0 \eta^{\mu} = (c \gamma \rho_0, \mathbf{J}) = (c \rho, \mathbf{J})$$
  $\mathbf{J} = \rho_0 \boldsymbol{\eta} = \rho \mathbf{v}$ 

ポテンシャル 
$$A^{\mu} = (\frac{\phi}{c}, A)$$

#### ローレンツ変換不変量

4元ベクトル 
$$A^{\mu} = (A^0, A)$$
 のローレンツ変換

$$\overline{A}^{0} = \gamma (A^{0} - \frac{v}{c} A_{//}) \quad \overline{A} = A_{\perp} + \gamma (A_{//} - \frac{v}{c} A^{0}) \qquad B^{\mu} = (B^{0}, \mathbf{B})$$

$$g_{\mu\nu} A^{\mu} B^{\nu} = A^{\mu} g_{\mu\nu} B^{\nu} = A^{\mu} B_{\mu} = -A^{0} B^{0} + \mathbf{A} \cdot \mathbf{B}$$

$$\overline{A}^{\mu}\overline{B}_{\mu} = -\overline{A}^{0}\overline{B}^{0} + \overline{A} \cdot \overline{B}$$

$$= -\gamma (A^{0} - \frac{v}{c} A_{//}) \gamma (B^{0} - \frac{v}{c} B_{//}) + \{A_{\perp} + \gamma (A_{//} - \frac{v}{c} A^{0})\} \cdot \{B_{\perp} + \gamma (B_{//} - \frac{v}{c} B^{0})\}$$

$$= -\gamma^{2} (A^{0} B^{0} + \beta^{2} A_{//} B_{//} - \beta A^{0} B_{//} - \beta B^{0} A_{//}) + A_{\perp} B_{\perp}$$

$$+ \gamma^2 (A_{\prime\prime} B_{\prime\prime} + \beta^2 A^0 B^0 - \beta A^0 B_{\prime\prime} - \beta B^0 A_{\prime\prime})$$

$$= -\gamma^2 (A^0 B^0 + \beta^2 A_{//} B_{//} - A_{//} B_{//} - \beta^2 A^0 B^0) + A_{\perp} B_{\perp}$$

$$= -A^0 B^0 + A_{//} B_{//} + A_{\perp} B_{\perp}$$

$$=A^{\mu}B_{\mu}$$

### 4元ベクトルの不変量

位置 
$$x^{\mu} = (ct, x, y, z) = (ct, r)$$
 固有時間 $c\tau = \frac{ct}{\gamma}$ 

速度 
$$\eta^{\mu} = (\gamma c, \eta)$$
  $\eta = \frac{d\mathbf{r}}{d\tau}$   $d\tau = \frac{dt}{\gamma}$  固有速度  $c$ 

運動量 
$$p^{\mu} = (\frac{E}{c}, \mathbf{p})$$
  $\mathbf{p} = m\eta, E = \gamma mc^2$  固有エネルギー $mc$ 

波数 
$$k^{\mu} = (\frac{\omega}{c}, \mathbf{k})$$
  $p^{\mu} = \hbar k^{\mu}$  位相  $k^{\mu} x_{\mu} = \omega t - \mathbf{k} \cdot \mathbf{r}$ 

$$\mathcal{J}K^{\mu} = \frac{dp^{\mu}}{d\tau} = (\frac{1}{c}\frac{dE}{d\tau}, \mathbf{K}) \quad \mathbf{K} = \frac{d\mathbf{p}}{d\tau} \quad \mathbf{F} = \frac{d\mathbf{p}}{dt}$$

電流密度 
$$J^{\mu}=\rho_0\eta^{\mu}=(c\rho,\boldsymbol{J})=(c\gamma\rho_0,\rho_0\boldsymbol{\eta})$$
静止電流密度  $c\rho_0$ 

ポテンシャル 
$$A^{\mu} = (\frac{\phi}{c}, A)$$
  $J^{\mu}A_{\mu} = \rho\phi - J \cdot A$ 

#### 微分演算子のローレンツ変換

$$ct' = \gamma(ct - \beta x)$$
  $t' = \gamma(t - \frac{\beta}{c}x)$ 

$$x' = \gamma(x - \beta ct)$$
  $x' = \gamma(x - c\beta t)$ 

$$\frac{\partial t'}{\partial t} = \frac{1}{\sqrt{1 - \beta^2}} = \gamma \qquad \frac{\partial x'}{\partial t} = \frac{-c\beta}{\sqrt{1 - \beta^2}} = -\gamma c\beta$$

$$\frac{\partial t'}{\partial x} = \frac{-\beta/c}{\sqrt{1-\beta^2}} = -\gamma \frac{\beta}{c} \quad \frac{\partial x'}{\partial x} = \frac{1}{\sqrt{1-\beta^2}} = \gamma$$

$$f' = f'(t', x')$$
  $t' = t'(t, x)$   $x' = x'(t, x)$ 

$$\frac{\partial f'(t',x')}{\partial t} = \frac{\partial f'(t'(t,x),x'(t,x))}{\partial t} = \frac{\partial t'}{\partial t} \frac{\partial f'(t',x')}{\partial t'} + \frac{\partial x'}{\partial t} \frac{\partial f'(t',x')}{\partial x'} = \gamma \frac{\partial f'(t',x')}{\partial t'} - \gamma c \beta \frac{\partial f'(t',x')}{\partial x'}$$

$$\frac{\partial f'(t',x')}{\partial x} = \frac{\partial f'(t'(t,x),x'(t,x))}{\partial x} = \frac{\partial t'}{\partial x} \frac{\partial f'(t',x')}{\partial t'} + \frac{\partial x'}{\partial x} \frac{\partial f'(t',x')}{\partial x'} = -\gamma \frac{\beta}{c} \frac{\partial f'(t',x')}{\partial t'} + \gamma \frac{\partial f'(t',x')}{\partial x'}$$

これを逆に解いて

$$\frac{\partial f'(t', x')}{\partial t'} = \gamma \left( \frac{\partial f'(t', x')}{\partial t} + c\beta \frac{\partial f'(t', x')}{\partial x} \right)$$

$$\frac{\partial f'(t',x')}{\partial x'} = \gamma \left( \frac{\beta}{c} \frac{\partial f'(t',x')}{\partial t} + \frac{\partial f'(t',x')}{\partial x} \right) \qquad \partial_{\mu} = \frac{\partial}{\partial x^{\mu}} = \left( \frac{\partial}{c\partial t}, \frac{\partial}{\partial x}, \frac{\partial}{\partial y}, \frac{\partial}{\partial z} \right) i \ddagger 4 \overrightarrow{\pi} \checkmark \cancel{D} + \cancel{D} \checkmark \cancel{D}$$

$$4元ポテンシャルから電磁場テンソル$$
 $u = \frac{\partial}{\partial x_{\mu}} = (-\frac{\partial}{c\partial t}, \frac{\partial}{\partial x}, \frac{\partial}{\partial y}, \frac{\partial}{\partial z})$ も4元ベクトル

$$F^{\mu\nu} = \partial^{\mu}A^{\nu} - \partial^{\nu}A^{\mu}$$

$$= \begin{pmatrix} -\frac{\partial}{c\partial t} \\ \frac{\partial}{\partial x} \\ \frac{\partial}{\partial y} \\ \frac{\partial}{\partial z} \end{pmatrix} \begin{pmatrix} \phi \\ c \end{pmatrix} A_x \quad A_y \quad A_z \end{pmatrix} - \begin{pmatrix} -\frac{\partial}{c\partial t} \\ \frac{\partial}{\partial x} \\ \frac{\partial}{\partial y} \\ \frac{\partial}{\partial z} \end{pmatrix} \begin{pmatrix} \phi \\ c \end{pmatrix} A_x \quad A_y \quad A_z \end{pmatrix}$$

$$= \begin{bmatrix} -\frac{1}{c^2} \frac{\partial \phi}{\partial t} & -\frac{1}{c} \frac{\partial A_x}{\partial t} & -\frac{1}{c} \frac{\partial A_y}{\partial t} & -\frac{1}{c} \frac{\partial A_z}{\partial t} \\ \frac{1}{c} \frac{\partial \phi}{\partial x} & \frac{\partial A_x}{\partial x} & \frac{\partial A_y}{\partial x} & \frac{\partial A_z}{\partial x} \\ \frac{1}{c} \frac{\partial \phi}{\partial y} & \frac{\partial A_x}{\partial y} & \frac{\partial A_y}{\partial y} & \frac{\partial A_z}{\partial y} \\ \frac{1}{c} \frac{\partial \phi}{\partial z} & \frac{\partial A_x}{\partial z} & \frac{\partial A_y}{\partial z} & \frac{\partial A_z}{\partial z} \\ \frac{1}{c} \frac{\partial \phi}{\partial z} & \frac{\partial A_x}{\partial z} & \frac{\partial A_y}{\partial z} & \frac{\partial A_z}{\partial z} \\ -\frac{1}{c} \frac{\partial A_y}{\partial z} & \frac{\partial A_y}{\partial z} & \frac{\partial A_y}{\partial z} & \frac{\partial A_z}{\partial z} \\ -\frac{1}{c} \frac{\partial A_y}{\partial z} & \frac{\partial A_y}{\partial z} & \frac{\partial A_y}{\partial z} & \frac{\partial A_z}{\partial z} \\ -\frac{1}{c} \frac{\partial A_z}{\partial z} & \frac{\partial A_z}{\partial z} & \frac{\partial A_z}{\partial z} & \frac{\partial A_z}{\partial z} \\ -\frac{1}{c} \frac{\partial A_z}{\partial z} & \frac{\partial A_z}{\partial z} & \frac{\partial A_z}{\partial z} & \frac{\partial A_z}{\partial z} \\ -\frac{1}{c} \frac{\partial A_z}{\partial z} & \frac{\partial A_z}{\partial z} & \frac{\partial A_z}{\partial z} & \frac{\partial A_z}{\partial z} \\ -\frac{1}{c} \frac{\partial A_z}{\partial z} & \frac{\partial A_z}{\partial z} & \frac{\partial A_z}{\partial z} & \frac{\partial A_z}{\partial z} \\ -\frac{1}{c} \frac{\partial A_z}{\partial z} & \frac{\partial A_z}{\partial z} & \frac{\partial A_z}{\partial z} & \frac{\partial A_z}{\partial z} \\ -\frac{1}{c} \frac{\partial A_z}{\partial z} & \frac{\partial A_z}{\partial z} & \frac{\partial A_z}{\partial z} & \frac{\partial A_z}{\partial z} \\ -\frac{1}{c} \frac{\partial A_z}{\partial z} & \frac{\partial A_z}{\partial z} & \frac{\partial A_z}{\partial z} & \frac{\partial A_z}{\partial z} \\ -\frac{1}{c} \frac{\partial A_z}{\partial z} & \frac{\partial A_z}{\partial z} & \frac{\partial A_z}{\partial z} & \frac{\partial A_z}{\partial z} \\ -\frac{1}{c} \frac{\partial A_z}{\partial z} & \frac{\partial A_z}{\partial z} & \frac{\partial A_z}{\partial z} & \frac{\partial A_z}{\partial z} \\ -\frac{1}{c} \frac{\partial A_z}{\partial z} & \frac{\partial A_z}{\partial z} & \frac{\partial A_z}{\partial z} & \frac{\partial A_z}{\partial z} \\ -\frac{1}{c} \frac{\partial A_z}{\partial z} & \frac{\partial A_z}{\partial z} & \frac{\partial A_z}{\partial z} & \frac{\partial A_z}{\partial z} \\ -\frac{1}{c} \frac{\partial A_z}{\partial z} & \frac{\partial A_z}{\partial z} & \frac{\partial A_z}{\partial z} & \frac{\partial A_z}{\partial z} \\ -\frac{1}{c} \frac{\partial A_z}{\partial z} & \frac{\partial A_z}{\partial z} & \frac{\partial A_z}{\partial z} & \frac{\partial A_z}{\partial z} \\ -\frac{1}{c} \frac{\partial A_z}{\partial z} & \frac{\partial A_z}{\partial z} & \frac{\partial A_z}{\partial z} & \frac{\partial A_z}{\partial z} \\ -\frac{1}{c} \frac{\partial A_z}{\partial z} & \frac{\partial A_z}{\partial z} & \frac{\partial A_z}{\partial z} & \frac{\partial A_z}{\partial z} \\ -\frac{1}{c} \frac{\partial A_z}{\partial z} & \frac{\partial A_z}{\partial z} & \frac{\partial A_z}{\partial z} & \frac{\partial A_z}{\partial z} \\ -\frac{1}{c} \frac{\partial A_z}{\partial z} & \frac{\partial A_z}{\partial z} & \frac{\partial A_z}{\partial z} & \frac{\partial A_z}{\partial z} \\ -\frac{1}{c} \frac{\partial A_z}{\partial z} & \frac{\partial A_z}{\partial z} & \frac{\partial A_z}{\partial z} & \frac{\partial A_z}{\partial z} \\ -\frac{1}{c} \frac{\partial A_z}{\partial z} & \frac{\partial A_z}{\partial z} & \frac{\partial A_z}{\partial z} & \frac{\partial A_z}{\partial z} \\ -\frac{1}{c} \frac{\partial A_z}{\partial z} & \frac{\partial A_z}{\partial z} & \frac{\partial A_z}{\partial z} & \frac{\partial A_z}{\partial z} \\ -\frac{1}{c} \frac{\partial A_z}{\partial z} & \frac{\partial A_z}{\partial z} & \frac{\partial A_z}{\partial z$$

#### 4元ポテンシャルから電磁場テンソル

$$= \begin{pmatrix} 0 & -\frac{1}{c} \frac{\partial A_{x}}{\partial t} - \frac{1}{c} \frac{\partial \phi}{\partial x} & -\frac{1}{c} \frac{\partial A_{y}}{\partial t} - \frac{1}{c} \frac{\partial \phi}{\partial y} & -\frac{1}{c} \frac{\partial A_{z}}{\partial t} - \frac{1}{c} \frac{\partial \phi}{\partial z} \\ \frac{1}{c} \frac{\partial \phi}{\partial x} + \frac{1}{c} \frac{\partial A_{x}}{\partial t} & 0 & \frac{\partial A_{y}}{\partial x} - \frac{\partial A_{x}}{\partial y} & \frac{\partial A_{z}}{\partial x} - \frac{\partial A_{x}}{\partial z} \\ \frac{1}{c} \frac{\partial \phi}{\partial y} + \frac{1}{c} \frac{\partial A_{y}}{\partial t} & \frac{\partial A_{x}}{\partial y} - \frac{\partial A_{y}}{\partial x} & 0 & \frac{\partial A_{z}}{\partial y} - \frac{\partial A_{y}}{\partial z} \\ \frac{1}{c} \frac{\partial \phi}{\partial z} + \frac{1}{c} \frac{\partial A_{z}}{\partial t} & \frac{\partial A_{x}}{\partial z} - \frac{\partial A_{z}}{\partial x} & \frac{\partial A_{y}}{\partial z} - \frac{\partial A_{z}}{\partial y} & 0 \end{pmatrix}$$

$$= \begin{pmatrix} 0 & \frac{E_{x}}{c} & \frac{E_{y}}{c} & \frac{E_{z}}{c} \\ -\frac{E_{x}}{c} & 0 & B_{z} & -B_{y} \\ -\frac{E_{y}}{c} & -B_{z} & 0 & B_{x} \\ -\frac{E_{z}}{c} & B_{y} & -B_{x} & 0 \end{pmatrix}$$

#### 電磁場テンソルのローレンツ変換

$$T'_{rs} = a_{ri}a_{sj}T_{ij} = a_{ri}T_{ij}a_{js}^{\mathrm{T}} = ATA^{\mathrm{T}}$$

$$F^{ij} = \begin{pmatrix} 0 & E_x/c & E_y/c & E_z/c \\ -E_x/c & 0 & B_z & -B_y \\ -E_y/c & -B_z & 0 & B_x \\ -E_z/c & B_y & -B_x & 0 \end{pmatrix}$$

$$\overline{F}^{rs} = \Lambda_i^r \Lambda_i^s F^{ij} = \Lambda F \Lambda^{\mathrm{T}}$$

$$= \begin{pmatrix} \gamma & -\gamma\beta & 0 & 0 \\ -\gamma\beta & \gamma & 0 & 0 \\ 0 & 0 & 1 & 0 \\ 0 & 0 & 0 & 1 \end{pmatrix} \begin{pmatrix} 0 & E_x/c & E_y/c & E_z/c \\ -E_x/c & 0 & B_z & -B_y \\ -E_y/c & -B_z & 0 & B_x \\ -E_z/c & B_y & -B_x & 0 \end{pmatrix} \begin{pmatrix} \gamma & -\gamma\beta & 0 & 0 \\ -\gamma\beta & \gamma & 0 & 0 \\ 0 & 0 & 1 & 0 \\ 0 & 0 & 0 & 1 \end{pmatrix}$$

 $= \begin{pmatrix} \gamma \beta E_x / c & \gamma E_x / c & \gamma E_y / c - \gamma \beta B_z & \gamma E_z / c + \gamma \beta B_y \\ -\gamma E_x / c & -\gamma \beta E_x / c & -\gamma \beta E_y / c + \gamma B_z & -\gamma \beta E_z / c - \gamma B_y \\ -E_y / c & -B_z & 0 & B_x \\ -E_z / c & B_y & -B_x & 0 \end{pmatrix} \begin{pmatrix} \gamma & -\gamma \beta & 0 & 0 \\ -\gamma \beta & \gamma & 0 & 0 \\ 0 & 0 & 1 & 0 \\ 0 & 0 & 0 & 1 \end{pmatrix}$ 

$$\begin{pmatrix} \gamma \beta E_{x} / c & \gamma E_{x} / c & \gamma E_{y} / c - \gamma \beta B_{z} & \gamma E_{z} / c + \gamma \beta B_{y} \\ -\gamma E_{x} / c & -\gamma \beta E_{x} / c & -\gamma \beta E_{y} / c + \gamma B_{z} & -\gamma \beta E_{z} / c - \gamma B_{y} \\ -E_{y} / c & -B_{z} & 0 & B_{x} \\ -E_{z} / c & B_{y} & -B_{x} & 0 \end{pmatrix} \begin{pmatrix} \gamma & -\gamma \beta & 0 & 0 \\ -\gamma \beta & \gamma & 0 & 0 \\ 0 & 0 & 1 & 0 \\ 0 & 0 & 0 & 1 \end{pmatrix}$$

$$\begin{pmatrix} \gamma^{2} \beta E_{x} / c - \gamma^{2} \beta E_{x} / c & -\gamma^{2} \beta^{2} E_{x} / c + \gamma^{2} E_{x} / c & \gamma E_{x} / c - \gamma \beta B_{x} & \gamma E_{x} / c + \gamma B_{x} \end{pmatrix}$$

$$\begin{cases}
\gamma^{2}\beta E_{x}/c - \gamma^{2}\beta E_{x}/c & -\gamma^{2}\beta^{2}E_{x}/c + \gamma^{2}E_{x}/c & \gamma E_{y}/c - \gamma \beta B_{z} & \gamma E_{z}/c + \gamma \beta B_{y} \\
-\gamma^{2}E_{x}/c + \gamma^{2}\beta^{2}E_{x}/c & \gamma^{2}\beta E_{x}/c - \gamma^{2}\beta E_{x}/c & -\gamma \beta E_{y}/c + \gamma B_{z} & -\gamma \beta E_{z}/c - \gamma B_{y} \\
-\gamma E_{y}/c + \gamma \beta B_{z} & \gamma \beta E_{y}/c - \gamma B_{z} & 0 & B_{x} \\
-\gamma E_{z}/c - \gamma \beta B_{y} & \gamma \beta E_{z}/c + \gamma B_{y} & -B_{x} & 0
\end{cases}$$

$$\begin{pmatrix}
0 & \gamma^{2}(1-\beta^{2})E_{x}/c & \gamma(E_{y}/c-\beta B_{z}) & \gamma(E_{z}/c+\beta B_{y}) \\
-\gamma^{2}(1-\beta^{2})E_{x}/c & 0 & -\gamma(\beta E_{y}/c-B_{z}) & -\gamma(\beta E_{z}/c+B_{y}) \\
-\gamma(E_{y}/c-\beta B_{z}) & \gamma(\beta E_{y}/c-B_{z}) & 0 & B_{x} \\
-\gamma(E_{z}/c+\beta B_{y}) & \gamma(\beta E_{z}/c+B_{y}) & -B_{x} & 0
\end{pmatrix}$$

$$\begin{pmatrix}
0 & E_{x}/c & \gamma(E_{y}-vB_{z})/c & \gamma(E_{z}+vB_{y})/c
\end{pmatrix}$$

$$\begin{pmatrix} 0 & E_{x}/c & \gamma(E_{y}-vB_{z})/c & \gamma(E_{z}+vB_{y})/c \\ -E_{x}/c & 0 & \gamma(B_{z}-vE_{y}/c^{2}) & -\gamma(B_{y}+vE_{z}/c^{2}) \\ -\gamma(E_{y}-vB_{z})/c & -\gamma(B_{z}-vE_{y}/c^{2}) & 0 & B_{x} \\ -\gamma(E_{z}+vB_{y})/c & \gamma(B_{y}+vE_{z}/c^{2}) & -B_{x} & 0 \end{pmatrix}$$

# 場の不変量(Prob.12.47)

$$E' \cdot B' = E_{//} \cdot B_{//} + \gamma^2 (1 - \beta^2) E_{\perp} \cdot B_{\perp} = E \cdot B$$

$$E'^2 - c^2 B'^2 = E_{//}^2 - c B_{//}^2 + \gamma^2 (1 - \beta^2) (E_{\perp}^2 - c^2 B_{\perp}^2) = E^2 - c^2 B^2$$

ある慣性系で電場と磁場が垂直ならば、他のすべての慣性系で垂直ある慣性系でE=cBならば、他のすべての慣性系でE'=cB'

例:電磁波

ある慣性系でE>cBならば、すべての慣性系でE'>cB'

 $E \cdot B = 0$ ならば、E = 0あるいはB = 0となる慣性系が必ずある

ある慣性系でE=0あるいはB=0ならば、他のすべての慣性系で垂直

解析力学

電荷密度 $\rho$ 、電流密度Jが分布するとき

 $L' = -\rho_m c^2 + J^{\mu} A_{\mu} + \frac{1}{2} \varepsilon_0 (E^2 - c^2 B^2)$  (ラグランジアン密度、 $\rho_m$ :固有密度)

$$J^{\mu}A_{\mu} = -\rho\phi + J \cdot A \quad F^{\mu\nu}F_{\mu\nu} = 2(B^2 - E^2/c^2)$$

これを4次元体積 $d\Omega = dtdxdydz = dtdV$ (ローレンツ

変換不変)で積分したものが作用

荷電粒子の質量m、電荷q、速度v

$$L = -mc^{2}\sqrt{1 - v^{2}/c^{2}} - q\phi + qv \cdot A + \frac{1}{2}\varepsilon_{0}\int (E^{2} - c^{2}B^{2})dV$$

$$S = \int Ldt$$

$$= \int (-mc^2 \sqrt{1 - v^2 / c^2}) dt + \int (-q\phi + q\mathbf{v} \cdot \mathbf{A}) dt + \frac{1}{2} \varepsilon_0 \int (E^2 - c^2 B^2) d\Omega$$

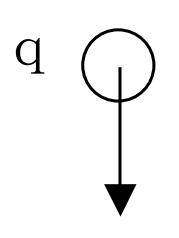
$$= \int (-mc^2)dt/\gamma + \int (-q\gamma c\frac{\phi}{c} + q\gamma v \cdot A)dt/\gamma + \frac{1}{2}\varepsilon_0 \int (E^2 - c^2B^2)d\Omega$$

$$=\int (-mc^2)d\tau + \int (q\eta^\mu A_\mu)d\tau + \frac{1}{2}\varepsilon_0\int (E^2-c^2B^2)d\Omega$$

#### 一対の静止している正の荷電粒子

$$E = \frac{1}{4\pi\varepsilon_0} \frac{q}{r^2}$$

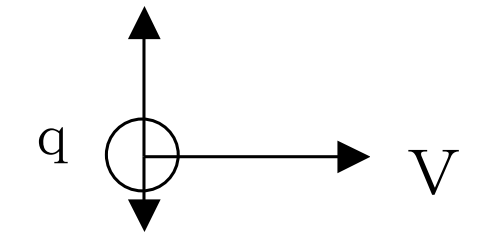
$$\oint F = q$$

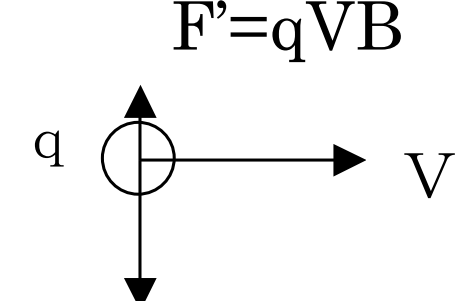


S 荷電粒子の静止系

#### 速度 $_{-}V$ の観測者

$$B = \frac{\mu_0}{4\pi} \frac{qV}{r^2}$$





荷電粒子:ロケット系

 $\bar{S}$  観測者の静止系(観測者から見て)

静止電荷に働く力 
$$\vec{E}_0 = \frac{q}{4\pi\varepsilon_0} \frac{\vec{r}}{r^3}$$
  $\vec{B}_0 = 0$ 

$$F_0 = \frac{q^2}{4\pi\varepsilon r^2} \quad \Delta P_0 = F_0 \Delta t_0$$

### S 荷電粒子の静止系 (ロケット内)

#### 一様な速度Vで動いている電荷の作る電場と磁場

$$\vec{E} = \frac{q}{4\pi\varepsilon_0} \frac{\vec{r}}{r^3} \frac{1}{\sqrt{1 - V^2 / c^2}}$$

$$\vec{B} = \frac{\mu_0 q}{4\pi} \frac{\vec{V} \times \vec{r}}{r^3} \frac{1}{\sqrt{1 - V^2/c^2}} = \frac{1}{c^2} \vec{V} \times \vec{E} = \frac{1}{c^2} \frac{\vec{V} \times \vec{E}_0}{\sqrt{1 - V^2/c^2}}$$

$$\mu_0 = \frac{1}{\varepsilon_0 c^2}$$

$$F = \left| q\vec{E} + q\vec{V} \times \vec{B} \right|$$

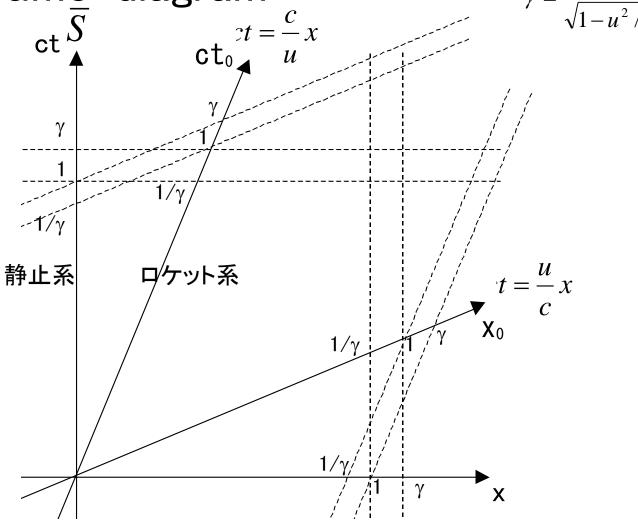
$$=\frac{q^2}{4\pi\varepsilon_0 r^2} \frac{1}{\sqrt{1-V^2/c^2}} - \frac{q^2}{4\pi\varepsilon_0 r^2} \frac{V^2}{c^2} \frac{1}{\sqrt{1-V^2/c^2}} = \frac{q^2}{4\pi\varepsilon_0 r^2} \sqrt{1-V^2/c^2}$$

$$\Delta P = F\Delta t = \frac{q^2}{4\pi\varepsilon_0 r^2} \sqrt{1 - V^2 / c^2} \frac{\Delta t_0}{\sqrt{1 - V^2 / c^2}} = F_0 \Delta t_0 = \Delta P_0$$

 $t = \gamma t_0$   $\Delta t$  (観測者の静止系) =  $\gamma \Delta t_0$  (電荷と同じ速度で動くロケット系)

 $\overline{S}$  観測者が静止 荷電粒子を載せた ロケットがVで動く

### Spacetime-diagram<sup>S</sup>



ct=1 静止系と同時刻で(ロケット系の同位置で)  $ct_0=1/\gamma$   $t=\gamma t_0$  time dilation  $x_0=1$  静止系の同時刻で(ロケット系の同位置で)  $x=1/\gamma$   $x=x_0/\gamma$  length contraction [x=1] 静止系の同位置で(ロケット系の同時刻で)  $x_0=1/\gamma$   $x=\gamma x_0$ 

#### 直線電流の作る磁場中の 速度 V の荷電粒子

$$\vec{F} = q\vec{V} \times \vec{B} \qquad ; \qquad B = \frac{\mu_0 I}{2\pi r}$$

$$\rho^{+} = +\rho \quad v^{+} = 0 \quad \rho^{-} = -\rho \quad v^{-} = V$$

$$S \bigcirc \qquad \longleftarrow \qquad I$$

電流

$$I = (\rho^{+}v^{+} + \rho^{-}v^{-})S = -\rho VS$$

電荷密度

$$\rho_{tot} = \rho^+ + \rho^- = 0$$

#### 荷電粒子:ロケット系

#### 速度Vで動いている観測者

$$B = \frac{\mu_0 I}{2\pi r}$$

$$\bigotimes \bigotimes \bigotimes \bigotimes$$

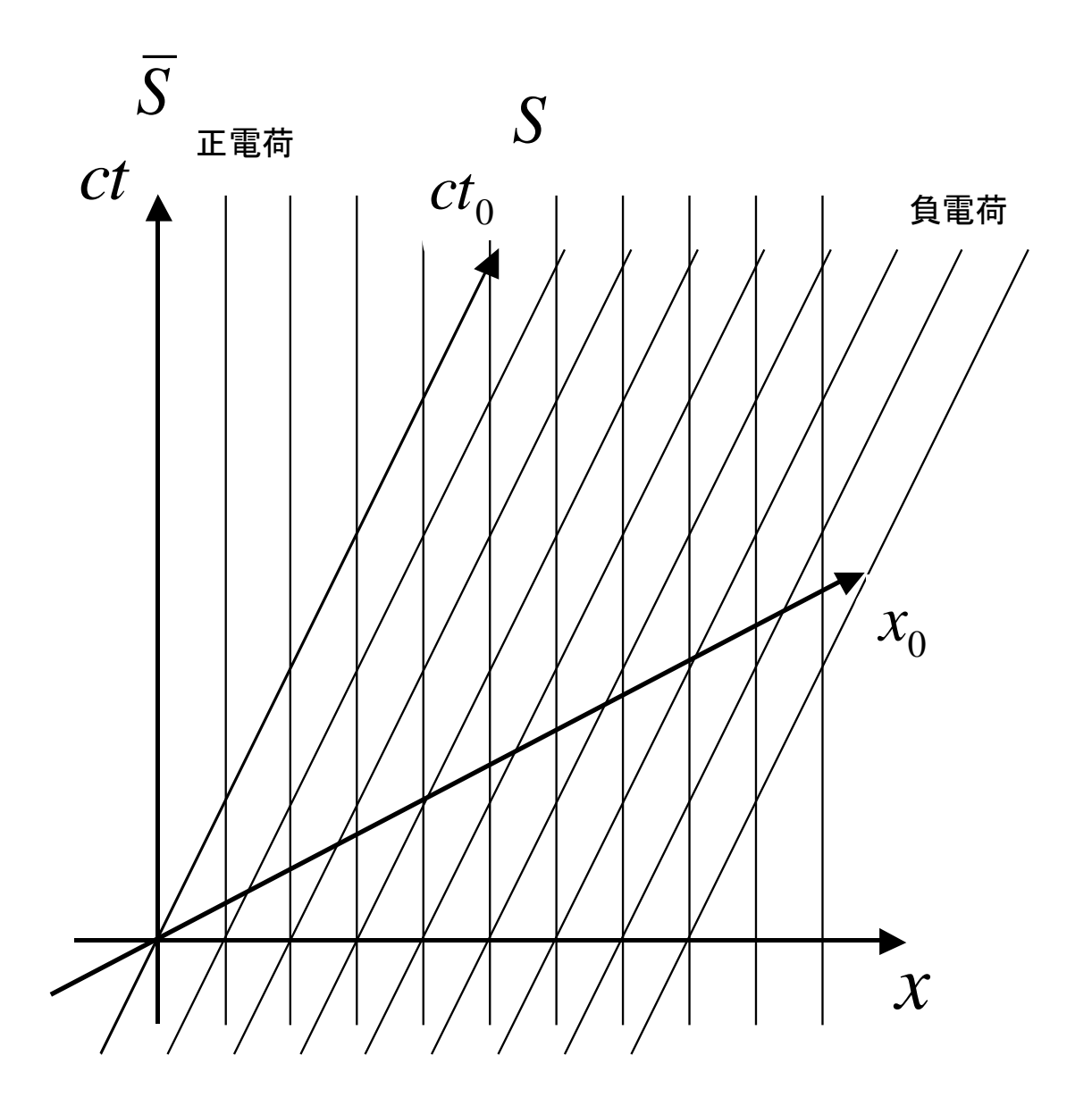
$$\rho^+ = +\rho \quad v^+ = -V \quad \rho^- = -\rho \quad v^- = 0$$

$$I = -\rho VS$$

$$\rho_{tot} = 0$$

S 荷電粒子の静止系

 $\bar{S}$  観測者の静止系(観測者から見て)



直線電流の作る磁場中の速度Vの荷電粒子  $ho^+$ の静止系 $(
ho^-$ がV)

$$B = \frac{\mu_0 I}{2\pi r}$$
  $F = |q\vec{V} \times \vec{B}| = \left| \frac{\mu_0}{2\pi} \frac{qVI}{r} \right| = \frac{1}{2\pi \varepsilon_0} \frac{q\rho S}{r} \frac{V^2}{c^2}$  観測者が静止  $I = -\rho VS$   $\rho^+ = +\rho$   $v^+ = 0$   $\rho^- = -\rho$   $v^- = V$   $Q^+ = \rho^+ LS$   $Q^- = \rho^- LS$ 

速度Vの観測者(荷電粒子の静止系, $ho_0^-$ の静止系, $ho_0^+$ が-V)

$$Q^{+} = \frac{\rho^{+}}{\sqrt{1 - V^{2}/c^{2}}} \cdot L\sqrt{1 - V^{2}/c^{2}} \cdot S = \rho_{0}^{+}L_{0}S$$

$$\rho_{0}^{+} = \frac{\rho^{+}}{\sqrt{1 - V^{2}/c^{2}}} \quad \rho^{-} = \frac{\rho_{0}^{-}}{\sqrt{1 - V^{2}/c^{2}}}$$

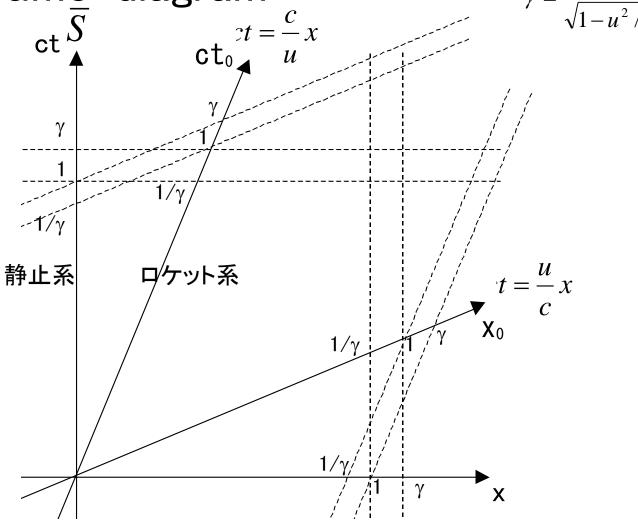
$$S \stackrel{\text{荷電粒子の静止系}}{(ロケット内)}$$

$$\rho_{0} = \rho_{0}^{+} + \rho_{0}^{-} = \frac{\rho^{+}}{\sqrt{1 - V^{2}/c^{2}}} + \rho^{-}\sqrt{1 - V^{2}/c^{2}} = \frac{\rho \cdot V^{2}/c^{2}}{\sqrt{1 - V^{2}/c^{2}}}$$

$$\oint E_{0}dS_{0} = \frac{Q}{\varepsilon_{0}} \quad 2\pi r L_{0}E_{0} = \frac{\rho_{0}L_{0}S}{\varepsilon_{0}} \quad E_{0} = \frac{1}{2\pi\varepsilon_{0}} \frac{\rho_{0}S}{r}$$

 $F_{0} = qE_{0} = \frac{1}{2\pi\varepsilon_{0}} \frac{q\rho S}{r} \frac{V^{2}}{c^{2}} \frac{1}{\sqrt{1-V^{2}/c^{2}}} = \frac{F}{\sqrt{1-V^{2}/c^{2}}} \qquad \Delta t_{0} = \Delta t \sqrt{1-V^{2}/c^{2}}$   $\Delta P_{0} = F_{0} \Delta t_{0} = F \Delta t = \Delta P$   $t_{0} = \frac{1}{\gamma} t \quad \Delta t_{0} ( 電荷を乗せたロケット系) = \frac{1}{\gamma} \Delta t ( 観測者の静止系)$ 

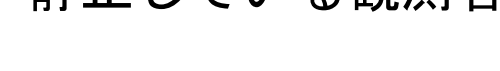
### Spacetime-diagram<sup>S</sup>



ct=1 静止系と同時刻で(ロケット系の同位置で)  $ct_0=1/\gamma$   $t=\gamma t_0$  time dilation  $x_0=1$  静止系の同時刻で(ロケット系の同位置で)  $x=1/\gamma$   $x=x_0/\gamma$  length contraction [x=1] 静止系の同位置で(ロケット系の同時刻で)  $x_0=1/\gamma$   $x=\gamma x_0$ 

### 電流回路の帯電

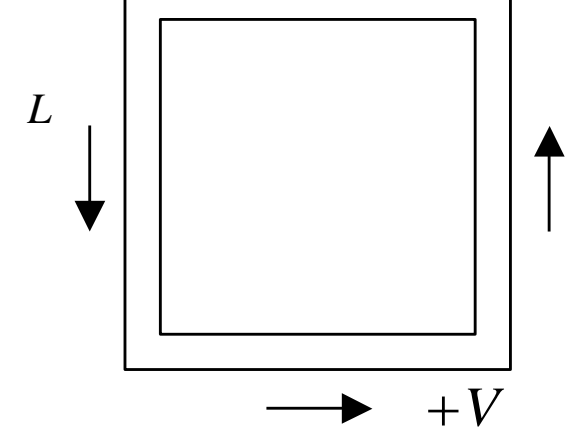
静止している観測者



$$v^{+} = 0 \qquad \rho^{+} = +\rho$$

$$v^{-} = -V \qquad \rho^{-} = -\rho$$

$$L \qquad v^{-} = -V$$

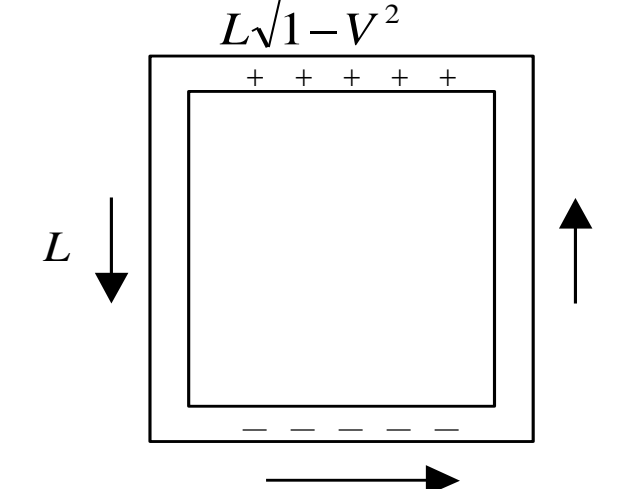


$$v^{+} = 0 \qquad \rho^{+} = +\rho$$
$$v^{-} = +V \qquad \rho^{-} = -\rho$$

#### -V で運動している観測者

$$v_0^+ = +V \quad \rho_0^+ = \frac{+\rho}{\sqrt{1-V^2}} \\ v_0^- = 0 \quad \rho_0^- = -\rho\sqrt{1-V^2} \quad \rho_0^+ + \rho_0^- = +\frac{V^2}{\sqrt{1-V^2}}\rho$$

c = 1



$$v_{0}^{-} = +\frac{2V}{1+V^{2}}$$

$$v_{0}^{+} = +V$$

$$\rho_{0}^{+} = \frac{+\rho}{\sqrt{1-V^{2}}}$$

$$v_{0}^{-} = +\frac{2V}{1+V^{2}}$$

$$\rho_{0}^{-} = -\rho \frac{\sqrt{1-V^{2}}}{\sqrt{1-v_{0}^{-2}}}$$

$$\rho_{0}^{+} + \rho_{0}^{-} = -\frac{V^{2}}{\sqrt{1-V^{2}}}\rho$$

# 磁場の効果の大きさ

点電荷
$$q[C]$$
  $\vec{E} = \frac{1}{4\pi\varepsilon_0} \frac{q}{r^2} \hat{r}$  点磁荷 $q_m[A \cdot m]$   $\vec{B} = \frac{\mu_0}{4\pi} \frac{q_m}{r^2} \hat{r}$ 

$$ec{m{B}}=rac{\mu_0}{4\pi}rac{q_m}{r^2}ec{m{r}}$$

$$\vec{\mathbf{B}} = \frac{\mu_0}{4\pi} \frac{q\vec{\mathbf{v}} \times \hat{\mathbf{r}}}{r^2} = \frac{\vec{\mathbf{v}}}{c^2} \times \vec{\mathbf{E}} \qquad \varepsilon_0 \mu_0 = \frac{1}{c^2}$$

$$q\vec{\mathbf{v}} \times \vec{\mathbf{B}} = q\vec{\mathbf{v}} \times (\frac{\vec{\mathbf{v}}}{c^2} \times \vec{\mathbf{E}}) = \frac{q}{c^2} [\vec{\mathbf{v}} (\vec{\mathbf{v}} \cdot \vec{\mathbf{E}}) - \vec{\mathbf{E}} (\vec{\mathbf{v}} \cdot \vec{\mathbf{v}})] = -\frac{v^2}{c^2} q\vec{\mathbf{E}}$$

電流要素 
$$Id\vec{l}$$
 [A·m]  $d\vec{B} = \frac{\mu_0}{4\pi} \frac{Id\vec{l} \times \hat{r}}{r^2}$ 

線電荷
$$\lambda$$
[C/m]  $E_{\rho} = \frac{1}{2\pi\varepsilon_0} \frac{\lambda}{\rho}$ 

直線電流
$$I[A]$$
  $B_{\theta} = \frac{\mu_0}{2\pi} \frac{I}{\rho} = \frac{1}{2\pi\varepsilon_0 c^2} \frac{\lambda v}{\rho}, qvB = \frac{q}{2\pi\varepsilon_0} \frac{\lambda}{\rho} \frac{v^2}{c^2} = qE \frac{v^2}{c^2}$ 

### 質問

電磁場が物質に与える力の磁場成分の寄与は小さい

$$F = q(E + v \times B)$$
  $B = E/c$ 

第1項 qE 第2項 q = E

電場に対して磁場は相対論を満たすための副次的なもの?

磁気単極子(点磁荷)が存在すれば、電場と磁場は 等価になるだろうか? あるいは、等価になるための点磁荷の条件とは? 点磁荷が存在するときのMaxwell方程式、 点磁荷に対する運動方程式は?

# 点磁荷による磁場(クーロンの法則)

(*EB*対応)

点磁荷
$$q_m[A \cdot m]$$
  $[C \cdot m/s]$ 

$$B_r = \frac{\mu_0}{4\pi} \frac{q_m}{r^2} \left[ \frac{N}{A \cdot m} \right] \left[ \frac{Wb}{m^2} \right] \quad F = q_m B$$

$$\mu_0 = 4\pi \times 10^{-7} \text{ N/A}^2$$

(*EH*対応)

点磁荷
$$\tilde{q}_m = \mu_0 q_m [(N/A^2)(A \cdot m)] = \mu_0 q_m [N \cdot m/A] = \mu_0 q_m [Wb]$$
  
 $B = \mu_0 H \quad H[A/m] = H[N/Wb]$ 

$$H_r = \frac{1}{4\pi\mu_0} \frac{\tilde{q}_m}{r^2} [A/m] \quad F = \tilde{q}_m H$$

# 磁場の単位

$$\begin{split} 1 & T = 10000 \ G \\ 1 & Oe = (1/4\pi) \, 1000 \ A/m = 10^{-4} \ N/(A \cdot m) = 1 \ G \\ H & [A/m] \\ B & [N/(A \cdot m)] = \mu_0 H = (4\pi \times 10^{-7}) H \quad [(N/A^2)(A/m)] \\ & [T] = [Wb/m^2] = [N /(A \cdot m)] \end{split}$$

電場 
$$[N/C]$$
÷速度 $[m/s] = \frac{N}{C} \frac{s}{m} = \frac{N}{A \cdot m}$ 

$$\vec{F} = \frac{d\vec{p}}{dt} = q(\vec{E} + \vec{v} \times \vec{B})$$

# 真空のインピーダンス

$$\frac{E[V/m]}{H[A/m]} = \frac{cB}{B/\mu_0} = \mu_0 c = \mu_0 \frac{1}{\sqrt{\varepsilon_0 \mu_0}} = \sqrt{\frac{\mu_0}{\varepsilon_0}} = 376.7 \Omega$$

電磁波の振動磁場が変位電流に由来し、それと電場との比を表す

媒質の特性インピーダンスが 波(電磁波)の境界面での反射・透過を支配する 電気回路におけるインピーダンス整合と同じ

# マックスウェル方程式

Gauss's law for 
$$\vec{E}$$
 
$$\int_{S} \vec{E} \cdot d\vec{S} = \frac{Q_{\text{encl}}}{\varepsilon_{0}} \qquad \vec{\nabla} \cdot \vec{E} = \frac{\rho}{\varepsilon_{0}}$$

$$\vec{\nabla} \cdot \vec{E} = \frac{\rho}{\varepsilon_0}$$

Gauss's law for 
$$\vec{B}$$
  $\int_{S} \vec{B} \cdot d\vec{S} = 0$ 

$$\vec{\nabla} \cdot \vec{\boldsymbol{B}} = 0$$

Ampere's law 
$$\oint \vec{B} \cdot d\vec{l} = \mu_0 \left( I + \varepsilon_0 \frac{d\Phi_E}{dt} \right)_{\text{encl}} \quad \vec{\nabla} \times \vec{B} = \mu_0 \vec{j} + \mu_0 \varepsilon_0 \frac{\partial \vec{E}}{\partial t}$$

Faraday's law 
$$\int \vec{E} \cdot d\vec{l} = -\frac{d\Phi_B}{dt}$$
  $\vec{\nabla} \times \vec{E} = -\frac{\partial B}{\partial t}$ 

Equation of motion 
$$\vec{F} = \frac{d\vec{p}}{dt} = q(\vec{E} + \vec{v} \times \vec{B})$$

## マックスウェル方程式(点磁荷が存在)

Gauss's law for 
$$\vec{E}$$
 
$$\int_{S} \vec{E} \cdot d\vec{S} = \frac{Q_{\text{encl}}}{\varepsilon_0}$$

$$\vec{
abla} \cdot \vec{m{E}} = rac{
ho}{arepsilon_0}$$

Gauss's law for 
$$\vec{B}$$
  $\int_{S} \vec{B} \cdot d\vec{S} = \mu_0 Q_m$ 

$$ec{
abla} \cdot ec{m{B}} = oldsymbol{\mu}_0 
ho_m$$

Ampere's law 
$$\oint \vec{B} \cdot d\vec{l} = \mu_0 \left( I + \varepsilon_0 \frac{d\Phi_E}{dt} \right)_{\text{and}} \vec{\nabla} \times \vec{B} = \mu_0 \vec{j} + \mu_0 \varepsilon_0 \frac{\partial E}{\partial t}$$

Faraday's law 
$$\oint \vec{E} \cdot d\vec{l} = -\mu_0 I_m - \frac{d\Phi_B}{dt}$$
  $\vec{\nabla} \times \vec{E} = -\mu_0 \vec{j}_m - \frac{\partial \vec{B}}{\partial t}$ 

Equation of motion 
$$\vec{F} = \frac{d\vec{p}}{dt} = q(\vec{E} + \vec{v} \times \vec{B})$$

$$\vec{F} = \frac{d\vec{p}}{dt} = q_m(\vec{B} - \frac{\vec{v}}{c^2} \times \vec{E})$$

## マックスウェル方程式(点磁荷が存在)

Gauss's law for 
$$\vec{E}$$
 
$$\int_{S} \vec{E} \cdot d\vec{S} = \frac{Q_{\text{encl}}}{\varepsilon_0}$$

$$\vec{\nabla} \cdot \vec{\boldsymbol{D}} = \rho$$

Gauss's law for 
$$\vec{B}$$
  $\int_{S} \vec{B} \cdot d\vec{S} = \mu_0 Q_m$ 

$$ec{
abla}\cdotec{m{H}}=
ho_m$$

Ampere's law 
$$\oint \vec{B} \cdot d\vec{l} = \mu_0 \left( I + \varepsilon_0 \frac{d\Phi_E}{dt} \right)_{\text{encl}} \vec{\nabla} \times \vec{H} = \vec{j} + \frac{\partial D}{\partial t}$$

Faraday's law 
$$\oint \vec{E} \cdot d\vec{l} = -\mu_0 I_m - \frac{d\Phi_B}{dt}$$
  $\vec{\nabla} \times \vec{D} = -\frac{1}{c^2} \vec{j}_m - \frac{1}{c^2} \frac{\partial \vec{H}}{\partial t}$ 

Equation of motion 
$$\vec{F} = \frac{d\vec{p}}{dt} = q(\vec{E} + \vec{v} \times \vec{B})$$

$$\vec{F} = \frac{d\vec{p}}{dt} = q_m(\vec{B} - \frac{\vec{v}}{c^2} \times \vec{E})$$

点磁荷
$$q_m[A \cdot m]$$
  $[C \cdot m/s]$ 

$$B_r = \frac{\mu_0}{4\pi} \frac{q_m}{r^2} \left[ \frac{N}{A \cdot m} \right] \left[ \frac{Wb}{m^2} \right] \quad F = q_m B$$

$$q_m = qc \not \supset \mathcal{O} \not \subset q'_m = \frac{q_m}{c} = q \succeq \mathsf{LTVZ}$$

### の定義を変えると

### (*EB*対応)

点磁荷
$$q_m[A \cdot m]$$

$$B'_r = cB_r = \frac{1}{4\pi\varepsilon_0} \frac{q'_m}{r^2} \left[ \frac{N}{A \cdot s} \right]$$

$$F = q_m B = q'_m B'$$

$$q'_m = \frac{q_m}{c} [A \cdot s] = \frac{q_m}{c} [C]$$

$$j'_m = q'_m v = \frac{j_m}{c}$$

$$F = q_m B = q'_m B'$$

$$\vec{B}' = c\vec{B}$$

$$q'_m = \frac{q_m}{c}[\mathbf{A} \cdot \mathbf{s}] = \frac{q_m}{c}[\mathbf{C}]$$

$$j_{\rm m}' = q_{\rm m}' v = \frac{J_{\rm m}}{c}$$

$$\frac{1}{1} = 9.0 \times 10^9 \,\mathrm{N} \cdot \mathrm{m}^2/\mathrm{C}^2$$
  $\mu_0 = 4\pi \times 10^{-7} \,\mathrm{N/A}^2$ 

### $\overline{4}\pi\varepsilon_0$ マックスウェル方程式(点磁荷が存在)

点磁荷 $q_m[A \cdot m]$ 

$$B'_r = cB_r = \frac{1}{4\pi\varepsilon_0} \frac{q'_m}{r^2} \left[ \frac{N}{A \cdot s} \right]$$

$$F = q_m B = q'_m B'$$

$$\vec{B}' = c\vec{B}$$

$$q'_m = \frac{q_m}{c}[A \cdot s] = \frac{q_m}{c}[C]$$

$$j_{\mathrm{m}}'=q_{m}'v=rac{j_{m}}{c}$$

Gauss's law for  $\vec{E}$   $\vec{\nabla} \cdot \vec{E} = \frac{\rho}{2}$ 

Gauss's law for  $\vec{B}$   $\vec{\nabla} \cdot \vec{B}' = \frac{\rho'_m}{m}$ 

 $B'_{r} = cB_{r} = \frac{1}{4\pi\varepsilon_{0}} \frac{q'_{m}}{r^{2}} \left[ \frac{N}{A \cdot s} \right]$  Ampere's law  $\vec{\nabla} \times \vec{B}' = \sqrt{\frac{\mu_{0}}{\varepsilon_{0}}} \vec{j} + \frac{1}{c} \frac{\partial \vec{E}}{\partial t}$ 

Faraday's law  $\vec{\nabla} \times \vec{E} = -\sqrt{\frac{\mu_0}{\varepsilon_0}} \vec{j}'_m - \frac{1}{c} \frac{\partial B'}{\partial t}$ 

Equation of motion 
$$\vec{F} = \frac{d\vec{p}}{dt} = q(\vec{E} + \frac{\vec{v}}{c} \times \vec{B}')$$
Equation of motion 
$$\vec{F} = \frac{d\vec{p}}{dt} = q'_m(\vec{B}' - \frac{\vec{v}}{c} \times \vec{E})$$

Ampere's law 
$$\vec{\nabla} \times \vec{B}' = \sqrt{\frac{\mu_0}{\varepsilon_0}} \vec{j} + \frac{1}{c} \frac{\partial E}{\partial t}$$

$$\vec{j} \quad \left[\frac{C}{m^2 \cdot s}\right] = \left[\frac{A}{m^2}\right] \qquad \frac{1}{c} \frac{\partial \vec{E}}{\partial t} \quad \left[\frac{s}{m} \cdot \frac{1}{s} \cdot \frac{V}{m}\right] = \left[\frac{V}{m^2}\right]$$

$$\sqrt{rac{\mu_0}{\mathcal{E}_0}}$$
  $\left[\Omega
ight]$ 

$$S = \frac{1}{\mu_0} (\mathbf{E} \times \mathbf{B}) = \frac{1}{\mu_0} (\mathbf{E} \times \frac{\mathbf{B}'}{c}) = \sqrt{\frac{\varepsilon_0}{\mu_0}} (\mathbf{E} \times \mathbf{B}') \quad \left[ \frac{1}{R} \frac{V}{m} \frac{V}{m} \right]$$

$$= \sqrt{\frac{\varepsilon_0}{\mu_0}} (\varepsilon_0 \boldsymbol{E} \times \frac{\boldsymbol{B'}}{\mu_0}) = \sqrt{\frac{\mu_0}{\varepsilon_0}} (\boldsymbol{D} \times \boldsymbol{H'})$$

### もっと簡単にならないか? ガウス単位系

(例えば ランダウ・リフシッツ 場の古典論)

$$F = \frac{1}{4\pi\varepsilon_0} \frac{Q_1 Q_2}{r^2} \quad F = \frac{Q_1' Q_2'}{r^2} \quad Q' = \frac{Q}{\sqrt{4\pi\varepsilon_0}}$$

$$F = QE \quad E = \frac{1}{4\pi\varepsilon_0} \frac{Q}{r^2} \quad F = Q'E' \quad E' = \sqrt{4\pi\varepsilon_0} E \quad E' = \frac{1}{\sqrt{4\pi\varepsilon_0}} \frac{Q}{r^2} = \frac{Q'}{r^2}$$

$$F = \frac{\mu_0}{4\pi} \frac{Q_1 v_1 Q_2 v_2}{r^2} \quad B = \frac{\mu_0}{4\pi} \frac{Q v}{r^2} \quad F = \frac{\alpha \mu_0}{4\pi} \frac{I_1 \Delta s_1 I_2 \Delta s_2}{r^2}$$

$$F = \frac{\mu_0}{4\pi} \frac{Q_{m1}Q_{m2}}{r^2}$$
  $Q_m = Qc$   $B = \frac{\mu_0}{4\pi} \frac{Q_m}{r^2}$   $F = Q_m B$ 

$$F = \frac{Q'_{m1}Q'_{m2}}{r^2} \quad Q'_{m} = \sqrt{\frac{\mu_0}{4\pi}}Qc \quad F = Q'_{m}B' \quad B' = \sqrt{\frac{\mu_0}{4\pi}}\frac{Q_{m}}{r^2} = \frac{Q'_{m}}{r^2}$$

$$B' = \sqrt{\frac{4\pi}{\mu_0}}B \quad F = QvB = \sqrt{4\pi\varepsilon_0}Q'v\sqrt{\frac{\mu_0}{4\pi}}B' = Q'\frac{v}{c}B' \quad E' = D' \quad H' = B'$$

### ガウス単位系

$$E' = \frac{Q'}{r^2} \int_{V} (\nabla \cdot \boldsymbol{E}') dV = \int_{S} E' dS = \frac{Q'}{r^2} 4\pi r^2 = 4\pi Q' = 4\pi \int_{V} \rho' dV$$

$$\nabla \cdot \boldsymbol{E} = \frac{\rho}{\varepsilon_0} \quad \nabla \cdot \frac{\boldsymbol{E'}}{\sqrt{4\pi\varepsilon_0}} = \frac{\sqrt{4\pi\varepsilon_0}\rho'}{\varepsilon_0} \quad \nabla \cdot \boldsymbol{E'} = 4\pi\rho'$$

$$\nabla \times \mathbf{B} = \mu_0 \mathbf{j} + \mu_0 \varepsilon_0 \frac{\partial \mathbf{E}}{\partial t}$$
 SI単位系

$$\nabla \times (\sqrt{\frac{\mu_0}{4\pi}} \mathbf{B}') = \mu_0 \sqrt{4\pi\varepsilon_0} \mathbf{j}' + \mu_0 \varepsilon_0 \frac{1}{\sqrt{4\pi\varepsilon_0}} \frac{\partial \mathbf{E}'}{\partial t}$$

$$\nabla \times \boldsymbol{B'} = 4\pi \sqrt{\varepsilon_0 \mu_0} \boldsymbol{j'} + \sqrt{\varepsilon_0 \mu_0} \frac{\partial \boldsymbol{E'}}{\partial t}$$

$$\nabla \times \mathbf{B'} = \frac{4\pi}{c} \mathbf{j'} + \frac{1}{c} \frac{\partial \mathbf{E'}}{\partial t} \qquad \mathbf{F} = Q'(\mathbf{E'} + \frac{\mathbf{v}}{c} \times \mathbf{B'})$$

$$F = Q'(E' + \frac{v}{c} \times B')$$

### ガウス単位系での電磁波

$$E = cB \quad \frac{E'}{\sqrt{4\pi\varepsilon_0}} = c\sqrt{\frac{\mu_0}{4\pi}}B' \quad E' = B'$$

$$S = \frac{1}{\mu_0} \boldsymbol{E} \times \boldsymbol{B} = \frac{1}{\mu_0} \frac{\boldsymbol{E'}}{\sqrt{4\pi\varepsilon_0}} \times \sqrt{\frac{\mu_0}{4\pi}} \boldsymbol{B'} = \frac{c}{4\pi} \boldsymbol{E'} \times \boldsymbol{B'}$$

$$\frac{E'}{H'} = \frac{E'}{R'} = 1$$

# ヘビサイド-ローレンツ単位系

$$F = \frac{1}{4\pi\varepsilon_0} \frac{Q_1 Q_2}{r^2} \quad F = \frac{1}{4\pi} \frac{Q_1' Q_2'}{r^2} \quad Q' = \frac{Q}{\sqrt{\varepsilon_0}} \qquad F = \frac{Q_1' Q_2'}{r^2} \quad Q' = \frac{Q}{\sqrt{4\pi\varepsilon_0}}$$

$$F = \frac{Q_1'Q_2'}{r^2} \quad Q' = \frac{Q}{\sqrt{4\pi\varepsilon_0}}$$

$$F = QE \quad E = \frac{1}{4\pi\varepsilon_0} \frac{Q}{r^2} \quad F = Q'E' \quad E' = \sqrt{\varepsilon_0}E \quad E' = \frac{1}{4\pi\sqrt{\varepsilon_0}} \frac{Q}{r^2} = \frac{1}{4\pi} \frac{Q'}{r^2}$$

$$F = \frac{\mu_0}{4\pi} \frac{Q_1 v_1 Q_2 v_2}{r^2} \quad B = \frac{\mu_0}{4\pi} \frac{Q v}{r^2} \quad F = \frac{\alpha \mu_0}{4\pi} \frac{I_1 \Delta s_1 I_2 \Delta s_2}{r^2}$$

$$F = \frac{\mu_0}{4\pi} \frac{Q_{m1}Q_{m2}}{r^2}$$
  $Q_m = Qc$   $B = \frac{\mu_0}{4\pi} \frac{Q_m}{r^2}$   $F = Q_m B$ 

$$F = \frac{1}{4\pi} \frac{Q'_{m1}Q'_{m2}}{r^2} \quad Q'_{m} = \sqrt{\mu_{0}}Qc \quad F = Q'_{m}B' \quad B' = \frac{\sqrt{\mu_{0}}}{4\pi} \frac{Q_{m}}{r^2} = \frac{1}{4\pi} \frac{Q'_{m}}{r^2}$$

$$B' = \frac{1}{\sqrt{\mu_0}}B \quad F = QvB = \sqrt{\varepsilon_0}Q'v\sqrt{\mu_0}B' = Q'\frac{v}{c}B' \quad E' = D' \quad H' = B'$$

## ヘビサイド-ローレンツ単位系

$$E' = \frac{1}{4\pi} \frac{Q'}{r^2} \int_{V} (\nabla \cdot E') dV = \int_{S} E' dS = \frac{1}{4\pi} \frac{Q'}{r^2} 4\pi r^2 = Q' = \int_{V} \rho' dV$$

$$\nabla \cdot \boldsymbol{E} = \frac{\rho}{\varepsilon_0} \quad \nabla \cdot \frac{\boldsymbol{E'}}{\sqrt{\varepsilon_0}} = \frac{\sqrt{\varepsilon_0} \rho'}{\varepsilon_0} \quad \nabla \cdot \boldsymbol{E'} = \rho'$$

$$\nabla \times \boldsymbol{B} = \mu_0 \boldsymbol{j} + \mu_0 \varepsilon_0 \frac{\partial \boldsymbol{E}}{\partial t}$$
 SI単位系

$$\nabla \times (\sqrt{\mu_0} \mathbf{B'}) = \mu_0 \sqrt{\varepsilon_0} \mathbf{j'} + \mu_0 \varepsilon_0 \frac{1}{\sqrt{\varepsilon_0}} \frac{\partial \mathbf{E'}}{\partial t}$$

$$\nabla \cdot \mathbf{B'} = 0 \left[ = \rho'_m \right]$$

$$\nabla \times \boldsymbol{B}' = \sqrt{\varepsilon_0 \mu_0} \boldsymbol{j}' + \sqrt{\varepsilon_0 \mu_0} \frac{\partial \boldsymbol{E}'}{\partial t}$$

$$\nabla \times \boldsymbol{B}' = \frac{1}{c} \frac{\partial \boldsymbol{E}'}{\partial t} + \frac{1}{c} \boldsymbol{j}'$$

$$\nabla \times \boldsymbol{E'} = -\frac{1}{c} \frac{\partial \boldsymbol{B'}}{\partial t} \left[ -\frac{1}{c} \boldsymbol{j'_m} \right]$$

### ヘビサイド・ローレンツ単位系

$$\boldsymbol{F} = Q'(\boldsymbol{E'} + \frac{\boldsymbol{v}}{c} \times \boldsymbol{B'})$$

$$[\boldsymbol{F} = Q'_m(\boldsymbol{B'} - \frac{\boldsymbol{v}}{c} \times \boldsymbol{E'})]$$

# ヘビサイド-ローレンツ単位系での電磁波

$$E = cB \qquad \frac{E'}{\sqrt{\varepsilon_0}} = c\sqrt{\mu_0}B' \qquad E' = B'$$

$$S = \frac{1}{\mu_0} \boldsymbol{E} \times \boldsymbol{B} = \frac{1}{\mu_0} \frac{\boldsymbol{E}'}{\sqrt{\varepsilon_0}} \times \sqrt{\mu_0} \boldsymbol{B}' = c \boldsymbol{E}' \times \boldsymbol{B}'$$

$$\frac{E'}{H'} = \frac{E'}{B'} = 1$$

# 教科書、参考書、引用文献

D.J. Griffiths Introduction to Electrodynamics

Young&Freedman University Physics 11th edition

ファインマン物理学 岩波書店 ランダウ・リフシッツ 場の古典論 東京図書 砂川重信 理論電磁気学 紀伊国屋書店

丸善

阿部英太郎 マイクロ波技術 高橋秀俊 電磁気学 後藤尚久 図説・アンテナ

小林浩一 光の物理

### 光電場の複素表示

#### 直線偏光

$$\boldsymbol{E} = \boldsymbol{E}_0 e^{-i(\omega t - kz + \phi)} = \boldsymbol{E}_0 e^{-i\phi} e^{-i(\omega t - kz)} = \boldsymbol{\tilde{E}}_0 e^{-i(\omega t - kz)}$$

$$\boldsymbol{E} = \operatorname{Re} \widetilde{\boldsymbol{E}}_{0} e^{-i(\omega t - kz)} = \boldsymbol{E}_{0} \cos(\omega t - kz + \phi)$$

ただし Eに関する線形方程式のみ

非線形方程式 
$$\frac{\partial^2}{\partial z^2}E - \mu_0 \varepsilon \frac{\partial^2}{\partial t^2}E = \mu_0 \frac{\partial^2}{\partial t^2}P_{NL}(P_{NL} = \varepsilon_0 \chi^{(2)}E^2)$$

$$\mathbf{IE}: E^2 = E_0^2 \cos^2(\omega t - kz) = \frac{1}{2} E_0^2 [1 + \cos 2(\omega t - kz)]$$

誤:
$$E^2 = E_0^2 e^{-i2(\omega t - kz)}$$
 Re =  $E_0^2 \cos 2(\omega t - kz)$ 

# 光強度

光検出器 光のエネルギーを検出 光の振動数で変化する速い変化に追随できない

サイクル平均が測定される

$$E = E_0 \cos(\omega t - kz)$$
  $S = E \times H$ 

 $I \equiv |\overline{S}|$  サイクル平均光強度

$$|S| = E_0 H_0 \cos^2(\omega t - kz) = E_0 H_0 \frac{1 + \cos 2(\omega t - kz)}{2}$$

(サイクル平均強度) = 
$$\frac{E_0 H_0}{2} = \frac{E_0}{2} \sqrt{\frac{\varepsilon_0}{\mu_0}} E_0 = \frac{1}{2} \varepsilon_0 |E_0|^2 c [J/(m^2 \cdot s)] \propto |E_0|^2$$

したがって複素表示 $E = E_0 e^{-i(\omega t - kz)}$ で表して $I \propto EE^*$ でよい

# 干渉縞の計算

$$\begin{split} E_1 &= E_0 \cos(\mathbf{k}_1 \cdot \mathbf{x} - \omega t) \\ E_2 &= E_0 \cos(\mathbf{k}_2 \cdot \mathbf{x} - \omega t + \phi) \\ (E_1 + E_2)^2 &= E_0^2 \frac{1 + \cos 2(\mathbf{k}_1 \cdot \mathbf{x} - \omega t)}{2} + E_0^2 \frac{1 + \cos 2(\mathbf{k}_2 \cdot \mathbf{x} - \omega t + \phi)}{2} \\ &\quad + E_0^2 \{\cos[(\mathbf{k}_1 + \mathbf{k}_2) \cdot \mathbf{x} - 2\omega t + \phi] + \cos[(\mathbf{k}_1 - \mathbf{k}_2) \cdot \mathbf{x} - \phi]\} \\ (サイクル平均) &= E_0^2 + E_0^2 \cos[(\mathbf{k}_1 - \mathbf{k}_2) \cdot \mathbf{x} - \phi] \end{split}$$

複素表示を使う方法

$$\begin{split} E_1 &= E_0 e^{i(\pmb{k}_1 \cdot \pmb{x} - \omega t)} \quad E_2 = E_0 e^{i(\pmb{k}_2 \cdot \pmb{x} - \omega t + \phi)} \\ |E_1 + E_2|^2 &= (E_0 e^{i(\pmb{k}_1 \cdot \pmb{x} - \omega t)} + E_0 e^{i(\pmb{k}_2 \cdot \pmb{x} - \omega t + \phi)}) (E_0 e^{-i(\pmb{k}_1 \cdot \pmb{x} - \omega t)} + E_0 e^{-i(\pmb{k}_2 \cdot \pmb{x} - \omega t + \phi)}) \\ &= E_0^2 + E_0^2 + E_0^2 e^{i[(\pmb{k}_1 - \pmb{k}_2) \cdot \pmb{x} - \phi]} + E_0^2 e^{-i[(\pmb{k}_1 - \pmb{k}_2) \cdot \pmb{x} - \phi]} \\ &= 2E_0^2 \{1 + \cos[(\pmb{k}_1 - \pmb{k}_2) \cdot \pmb{x} - \phi]\} \end{split}$$

# 終わり